Karen Ørbog Oftedal og Merete Moe Henriksen

Arkeologisk undersøkelse av steinalderlokalitet ved Fillan Trafo (Valen) 2017, Hitra, Trøndelag



NTNU Vitenskapsmuseet
arkeologisk rapport 2019-6

NTNU
Vitenskapsmuseet

NTNU Vitenskapsmuseet arkeologisk rapport 2019:6

Karen Ørbog Oftedal og Merete Moe Henriksen

Arkeologisk undersøkelse av steinalderlokalitet ved Fillan Trafostasjon (Valen), Hitra, Trøndelag

NTNU
Vitenskapsmuseet

NTNU Vitenskapsmuseet arkeologisk rapport

Dette er en elektronisk serie fra 2014. Serien er ikke periodisk, og antall nummer varierer per år. Rapportserien benyttes ved endelig rapportering fra prosjekter eller utredninger, der det også forutsettes en mer grundig faglig bearbeidelse.

Tidligere utgivelser: http://www.ntnu.no/vitenskapsmuseet/publikasjoner

Referanse
Oftedal, K.Ø. og Henriksen, M.M. 2018. NTNU Vitenskapsmuseet arkeologisk rapport 2019:6. Arkeologisk undersøkelse av steinalderlokalitet ved Fillan Trafo (Valen), Hitra, Trøndelag

Trondheim, januar 2019

Utgiver
NTNU Vitenskapsmuseet
Institutt for arkeologi og kulturhistorie
7491 Trondheim
Telefon: 73 59 21 45
e-post: postmottak@museum.ntnu.no

Ansvarlig signatur
Bernt Rundberget (instituttleder)

Kvalitetssikret av
Ellen Grav Ellingsen (serieredaktør)

Publiseringstype
Digitalt dokument (pdf)

Forsidefoto
Arbeidsfoto: mengder med overflatefunn, graving med høyspentmaster i bakgrunnen, Da62592_069. Foto: Åge Hojem, NTNU Vitenskapsmuseet

www.ntnu.no/vitenskapsmuseet

ISBN 978-82-8322-181-7
ISSN 2387-3965

Sammendrag

Oftedal, K.Ø. og Henriksen, M.M. 2018. NTNU Vitenskapsmuseet arkeologisk rapport 2019:6 Arkeologisk undersøkelse av steinalderlokalitet ved Fillan Trafostasjon (Valen), Hitra, Trøndelag.

I forbindelse med bygging av ny trafostasjon på Valen, Hitra kommune i Trøndelag, foretok NTNU Vitenskapsmuseet høsten 2017 en arkeologisk undersøkelse av en steinalderlokalitet (Askeladden ID 228908).

Lokaliteten lå i et utmarksområde, men i nærheten av den nåværende trafostasjonen og fylkesvei 714. Innenfor området ble det funnet 11 585 funn, hvorav mesteparten ble funnet i sørøstre del av lokaliteten. Av diagnostiske funn var en kniv i sandstein, lignende som fra Ormen Lange, datert til senmesolitikum. Det var også to trinnøkser og en trinnmeisel samt pilspisser. Funnene spredte seg over hele mesolitikum (8000-5500 f. Kr.), med hovedvekt på senmesolitikum (6000-5500 f. Kr.) og inn i neolitikum.

Metoden som ble brukt var graving av mekaniske lag på 5 cm i kvadranter, samt flateavdekking med maskin på deler av lokaliteten i etterkant. Det ble målt inn fire strukturer, hvorav ett ildsted og tre kulturlag. Kulturlagene lå i tilknytning til en svak forsenkning i samme område, som ble tolket som rester etter et grophus, hvor det ene laget var innenfor hustufta og det andre delvis i og utenfor. Ildstedet lå også inne i tufta, men det ble ikke påvist øvrige indikatorer på en tuft som stolpehull, grøfter, veggvoller, etc. Det ble sendt inn 25 prøver til datering, og dateringene spenner i tid fra senmesolitikum til yngre romertid. Det meste av aktiviteten på lokaliteten er fra senmesolitikum (SM2 og SM3). Det ble også sendt inn mikromorfologiske prøver av profilen i den mulige tufta for å få klarere svar på om dette var en tuft. Analysene viste spor etter et mulig hyttegulv og rester etter sammenraste konstruksjonselementer samt indikatorer på at lokaliteten har blitt oversvømt på et tidspunkt.

Nøkkelord: Eldre steinalder – Mesolitikum – Senmesolitikum – Tuft – Grophus – Flint – Hitra – Filllan

Karen Ørbog Oftedal og Merete Moe Henriksen, NTNU Vitenskapsmuseet, Institutt for arkeologi og kulturhistorie, NO-7491 Trondheim

Summary

Oftedal, K.Ø. og Henriksen, M.M. 2018. NTNU Vitenskapsmuseet arkeologisk rapport 2019:6 Arkeologisk undersøkelse av steinalderlokalitet ved Fillan Trafostasjon (Valen), Hitra, Trøndelag.

In 2017, NTNU University Museum undertook an archaeological excavation of a Stone age site (Askeladden ID 228908) in connection with the building of a new transformer station at Valen, Hitra municipality in Trøndelag. The site was situated in an uncultivated area not far from the old transformer station and county road 714. 11 585 finds were recorded, the majority of them from the southeastern part of the site. Diagnostic finds were a knife in sandstone, similar to a knife found at the Ormen Lange project, dated to late Mesolithic. Two round axes and a round chisel were found, all typical of the late Mesolithic period in Norway, as well as three tanged arrowheads. Based on the finds the site had traces from the Mesolithic (8000-5500 BC) and some Neolithic activity, but the main occupation phase date to the late Mesolithic period (6000-5500 BC).

The excavation was conducted using 5cm thick mechanical layers, in a grid of 100x100cm, divided into 50x50cm quadrants. A total of four features were found on the site, amongst them a fireplace and three cultural layers. The cultural layers were connected to a pit which might be interpreted as a dwelling or more specific, a housepit, with one of the cultural layers inside the dwelling and the other one partly inside and outside. Besides the pit with the cultural layers and the fireplace, no postholes, ditches or wallmounds were identified relating to the dwelling. A total of 25 samples were sent for dating, and the results span from the late Mesolithic to the early Roman period. Most of the activity at the site had taken place in the late Mesolithic (LM2 and LM3). Micromorphological analyses of samples from the profile of the possible dwelling showed remains of a possible hut construction and indications of a flood at the site.

Key words: Old Stone Age – Mesolithic – Late Mesolithic – Dwelling – Flint – Hitra – Fillan

Karen Ørbog Oftedal and Merete Moe Henriksen, NTNU University Museum, Department of Archaeology and Cultural History, NO-7491 Trondheim, Norway.

Arkivreferanser

Fillan Trafo 2017

Intrasisnr	2017_136
AskeladdenID	228908
Saksnummer (ePhorte)	2017/17278
Aksesjonsnummer	2017/136
Tilvekstnr	T27685
Fotonr	Da62529-62534
Kartskapnr	11405-11409

Fylke	Trøndelag
Kommune	Hitra
Gårdsnavn	Valen
Gårdsnummer	98
Lokalitet	Fillan trafo
Kulturminnetype	Bosetnings-aktivitetsområde
Datering	Senmesolitikum

Innhold

1. Bakgrunnen for undersøkelsen....11
1.1. Områdebeskrivelse....12
1.2. Kulturhistorisk bakgrunn og tidligere registreringer....14
2. Undersøkelsens rammer....17
2.1. Tid, deltagere....17
2.2. Problemstillinger....18
2.3. Metode....19
2.4. Dokumentasjon....22
2.5. Formidling....24
3. Gjennomføring av utgravingsprosjektet....25
3.1. Fillan Trafo (Valen) (Askeladden ID 228908)....27
3.1.1. Prøvekvadranter....28
3.1.2. Prioriterte områder....31
3.1.3. Flateavdekking med maskin....34
4. Funnmateriale....47
4.1. Gjenstandsfunn....50
4.1.1. Flekker og flekkelignende avslag....52
4.1.2. Avslagsmateriale....54
4.1.3. Kjerner og kjernefragment....56
4.1.4. Meisler og økser....57
4.1.5. Spisser....59
4.1.6. Skrapere....61
4.1.7. Kniver....62
4.1.8. Stikkel....65
4.1.9. Knakkesteiner....65
4.1.10. Slipeplater og slipesteiner....66
4.1.11. Andre funn....67
4.1.12. Råstoff....68
4.1.13. Funnspredning....70
4.2. Dateringer....75

4.2.1. C14-dateringer....75
4.2.2. Strandlinjedatering....84
4.3. Naturvitenskapelige prøver og analyser....85
4.3.1. Mikromorfologi....85
4.3.2. Okerprøve....89
5. Resultat....90
Litteratur....93
Vedlegg....95
Vedlegg 1 Sammendrag funn T27685....96
Vedlegg 2 Funnliste T27685....101
Vedlegg 3 Fotoliste, feltfoto Da62529....164
Vedlegg 4 Fotoliste fotogrammetri....172
Vedlegg 5 Spredningskart....173
Vedlegg 6 Rentegninger....183
Vedlegg 7 Strukturliste....186
Vedlegg 8 Resultater fra mikromorfologianalyse (tabell)....187

Figurliste

Figur 1. Lokalitetens beliggenhet, Fillan Hitra. Kart: Trønderenergi. 11
Figur 2. Oversiktsfoto (Da62529_003), vegetasjon på lokalitetsflata.....12
Figur 3. Oversiktsfoto (Da62529_064) over lokaliteten, tatt mot SV.....13
Figur 4. Strandlinjedatering fra Fillan trafo (Valen), Hitra. 13
Figur 5. Dronefoto (Da62529_054) over undersøkelsesområdet 15
Figur 6. Kart fra registreringsrapport med positive prøvestikk.....16
Figur 7. Gruppebilde i felt. 18
Figur 8. (Da62529_005) Signe krafser bort rester av torv. 20
Figur 9. Arbeidsfoto (Da62529_068), Katarzyna dokumenter en kvadrant.....21
Figur 10. (Da62529_039) Graving i regnvær. Tatt mot S-SØ.....22
Figur 11. (Da62529_076). Dokumentasjon av ruter og kvadranter i brakka.. 23
Figur 12. Arbeidsfoto (Da62529_044). Såldestasjon med vanntank og pumpe.....25
Figur 13. (Da62529_067) Panorama over undersøkelsesområdet 27
Figur 14. (Da62529_027) Ett av mange rotvelt på feltet.....28
Figur 15. (Da62529_056) Områdeinndeling av feltet, basert på funnkonsentrasjoner.....29
Figur 16. (Da62529_015) Østre del av lokaliteten under avtorving med maskin. 30
Figur 17. Oversikt over prøveruter og prøvestikk. 31
Figur 18. Oversikt over alle gravde mekaniske lag. 32
Figur 19. (Da62529_057) Dronefoto, underveis i graving av lag 1.. 33
Figur 20. Kart over området som ble flateavdekt. 35
Figur 21. Under flateavdekking på jakt etter strukturer og lag under det funnrike laget. 35
Figur 22. Strukturer og lag påvist etter flateavdekking.. 37
Figur 23. Foto av lag 1584 og forsenkningen som viser rester etter grophuset. 38
Figur 24. Ryddet flate der det mulige grophuset har vært……39
Figur 25. Steiner i og rundt tufta. Kart: Karen Ø. Oftedal/NTNU Vitenskapsmuseet.....39
Figur 26. Rentegning av profil gjennom tuft. 40
Figur 27. Tegning av profil sett mot sør i voll. Karen Ø. Oftedal/NTNU Vitenskapsmuseet. ..41
Figur 28. Snitt i voll (787), tatt mot N. Karen Ø. Oftedal/NTNU Vitenskapsmuseet. 42
Figur 29. (Da62529_120) Lag 1400 markert med gult på foto. Tatt mot N. 43
Figur 30. (Da62529_115) Foto av lag 1584 og deler av lag 1400. Tatt mot N.. 44
Figur 31. Da62529_113 Ildsted (ID 1534). Tatt mot NØ.....45

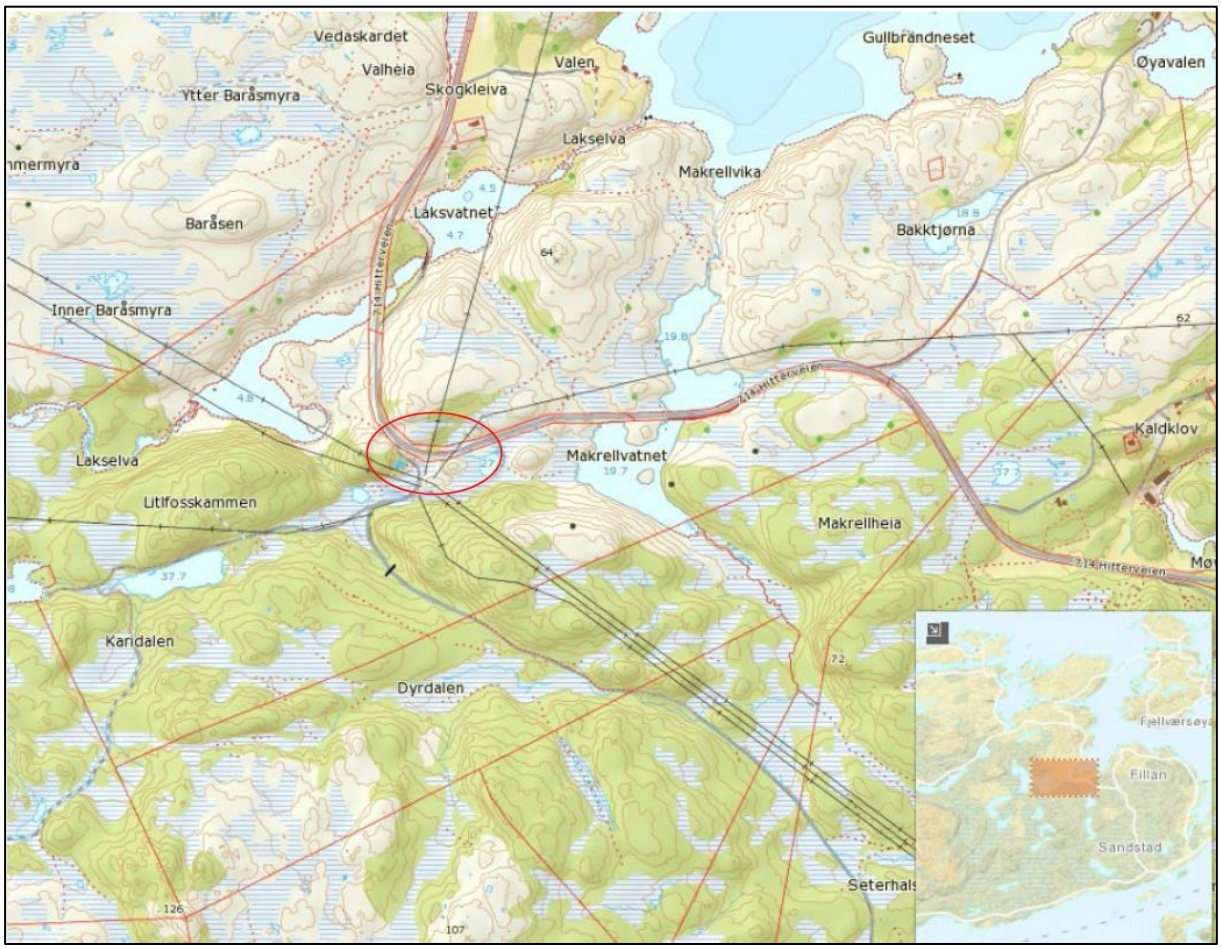
Figur 32. Kristin Eriksen gjør klart til å fly drone over lokaliteten.. 49
Figur 33. (Da62529_144) Flekker. 54
Figur 34. (Da62529_145) Kjerner. 57
Figur 35. (Da62529_154) Økser, meisel og emne 58
Figur 36. Foto Da62529_151. Pilspisser. 59
Figur 37. Tegning av T27685:2012. Katarzyna Rózanska. 59
Figur 38. (Da62529_149) Borspisser. 60
Figur 39. (Da62529_147) Skrapere 61
Figur 40. (Da62529_148) Skrapere. 62
Figur 41. Fra venstre: skraper i lokal bergart (T27685:2397) og T27685:2119. 62
Figur 42. (Da62529_150) Flekkekniver. 63
Figur 43. Tegning av slipt kniv i to fragmenter.. 64
Figur 44. (Da62592_046) Slipt kniv i rosa sandstein i to fragmenter.. 64
Figur 45. Da62592_152. Stikkel (T27685:2780), ubestemt stikkel, noe usikker. 65
Figur 46. (Da62529_155) Slipeplater 66
Figur 47. (Da62529_153) Hengesmykke: T27685:1368 (hengesmykke i skifer).. 67
Figur 48. (Da62529_146) Bipolare kjerner i ulike typer råstoff. 69
Figur 49. Oversikt over alle funn på lokaliteten, 1 prikk = 1 funn. 70
Figur 50. Alle funn, mek. lag. 1. Kart: Karen Ø. Oftedal/NTNU Vitenskapsmuseet. 71
Figur 51. Alle funn, mek. lag 2. Kart: Karen Ø. Oftedal /NTNU Vitenskapsmuseet. 71
Figur 52. Mek. lag. 2, område 1 og 2 med inntegnet tuft.. 72
Figur 53. Oversikt over alle varmepåvirkede funn, alle lag. 73
Figur 54. Spredning av varmepåvirkede funn, område 1 og 2. 73
Figur 55. Spredning av ulike gjenstandstyper på lokaliteten. 74
Figur 56. Utsnitt av strandlinjekurve fra Fillan Trafo (Isobase 72). 84
Figur 57: Utsnitt av tegning (Figur 30. Rentegning av profil gjennom tuft.). 86
Figur 58. (Da62529_141) Innsetting av prøver i profil 4 til mikromorfologi: A, B og C.. 86
Figur 59. (Da62529_142) Innsetting av prover i profil 4 til mikromorfologi: D og E. 87

Tabelliste

Tabell 1. Statistikk lok 1 - gravde kvadranter, areal, kubikk og funn.....30
Tabell 2: Strukturer og lag innenfor lokalitetsgrensa: 36
Tabell 3: Oversikt over vannrullet flint og varmepåvirket flint. 48
Tabell 4: Oversikt over funnkonsentrasjon over hele lokaliteten 49
Tabell 5: Oversikt over gjenstandstyper og antall 50
Tabell 6: Oversikt over flekker, diagnostiske avslag og retusjerte flekker.....52
Tabell 7: Oversikt over avslagsmateriale fra lokaliteten. 54
Tabell 8: Oversikt over kjerner og kjernefragment 56
Tabell 9: Meisel, øks og emne.....57
Tabell 10: Oversikt over øvrige funn.....67
Tabell 11: Råstoffordeling ved lokaliteten 68
Tabell 12: Oversikt over alle analyserte dateringsprøver. 76
Tabell 13: Periodebetegnelse etter Bjerck et al. 2008.....77
Tabell 14: Dateringsresultater og vedartsbestemmelser fra lokaliteten. 77
Tabell 15: Oversikt over dateringer (kronologisk).....80
Tabell 16: OxCal-kurve over alle dateringer på lokaliteten.....81
Tabell 17: OxCal-tabell over dateringer fra område 1. 82
Tabell 18: OxCal-tabell over dateringer fra område 2. 83
Tabell 19: OxCal-tabell over dateringer fra område 3. 83
Tabell 20: Oversikt over innsendte mikromorfologiprøver. 85

1. Bakgrunnen for undersøkelsen

Høsten 2017 ble det gjennomført utgraving av en steinalderlokalitet på Fillan trafostasjon på Valen på Hitra. Bakgrunnen for undersøkelsen var bygging av ny trafostasjon i forbindelse med utbygging av vindkraft på kysten av Trøndelag. Sør-Trøndelag fylkeskommune gjennomførte i den forbindelse registreringer høsten 2016 og våren 2017 (Auset og Haug 2017). Det ble da påvist en steinalderlokalitet som ville komme i konflikt med reguleringsplanen (Askeladden-ID 228908). Høsten 2017 ble det derfor gjennomført en arkeologisk undersøkelse av lokaliteten i regi av NTNU Vitenskapsmuseet. Denne rapporten omhandler den arkeologiske undersøkelsen av ID 228908 som i felt ble gjennomført av feltleder Karen Ørbog Oftedal. Prosjektleder var Merete Moe Henriksen og Birgitte Skar var fagkonsulent for prosjektet.



Figur 1. Lokalitetens beliggenhet, Fillan Hitra. Kart: Trønderenergi.

1.1. Områdebeskrivelse

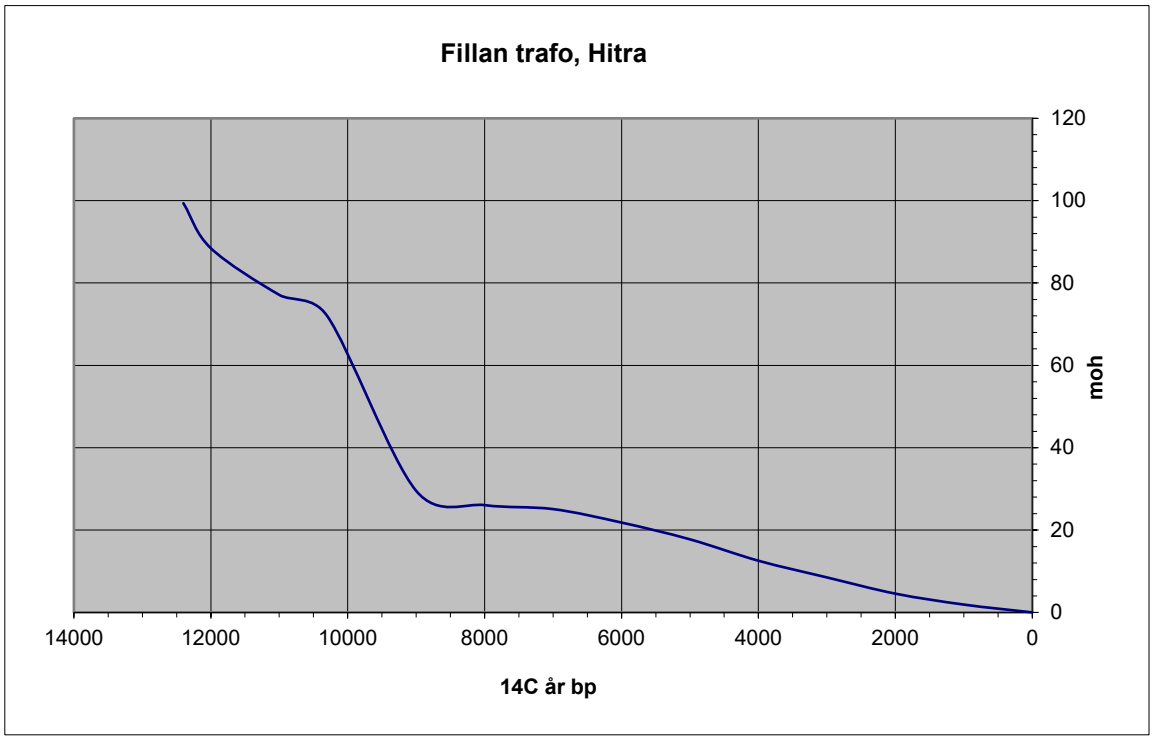
Det aktuelle området ligger øst på Hitra, ei øy sør i Trøndelag. Selve lokaliteten ligger på en liten høyde vest for den eksisterende trafostasjonen, og sørvest for fylkesvei 714. Lokaliteten ligger på en flate med løsmasser i form av sand og grus, og avgrenses av berg i nord og sør, før terrenget skråner bratt. Sørøst for lokaliteten er det en bratt skråning ned til området hvor dagens trafostasjon står. Det meste av lokaliteten ligger relativt flatt, men den sørøstre delen av lokaliteten heller ned mot den allerede nevnte bratte skråningen. Lokaliteten ligger på mellom 31-33 moh. Gjennom den sørlige delen av lokaliteten går det en grøft med høyspent, og en anleggsveg forstyrrer også denne delen av lokaliteten. På flaten er det furutrær og tuer med lyng og gress, og den vestlige delen av flaten fremstår som fuktig. I dag ligger lokaliteten et godt stykke fra sjøen, men da lokaliteten var i bruk i steinalderen har den trolig ligget på en liten holme.



Figur 2. Oversiktsfoto (Da62529_003), vegetasjon på lokalitetsflata. Oransje stikker markerer avgrensning. Tatt mot V-SV. Foto: Karen Ø. Oftedal, NTNU Vitenskapsmuseet.



Figur 3. Oversiktsfoto (Da62529_064) over lokaliteten, tatt mot SV. Foto: Karen Ø. Oftedal, NTNU Vitenskapsmuseet.



Figur 4. Strandlinjedatering fra Fillan trafo (Valen), Hitra.

1.2. Kulturhistorisk bakgrunn og tidligere registreringer

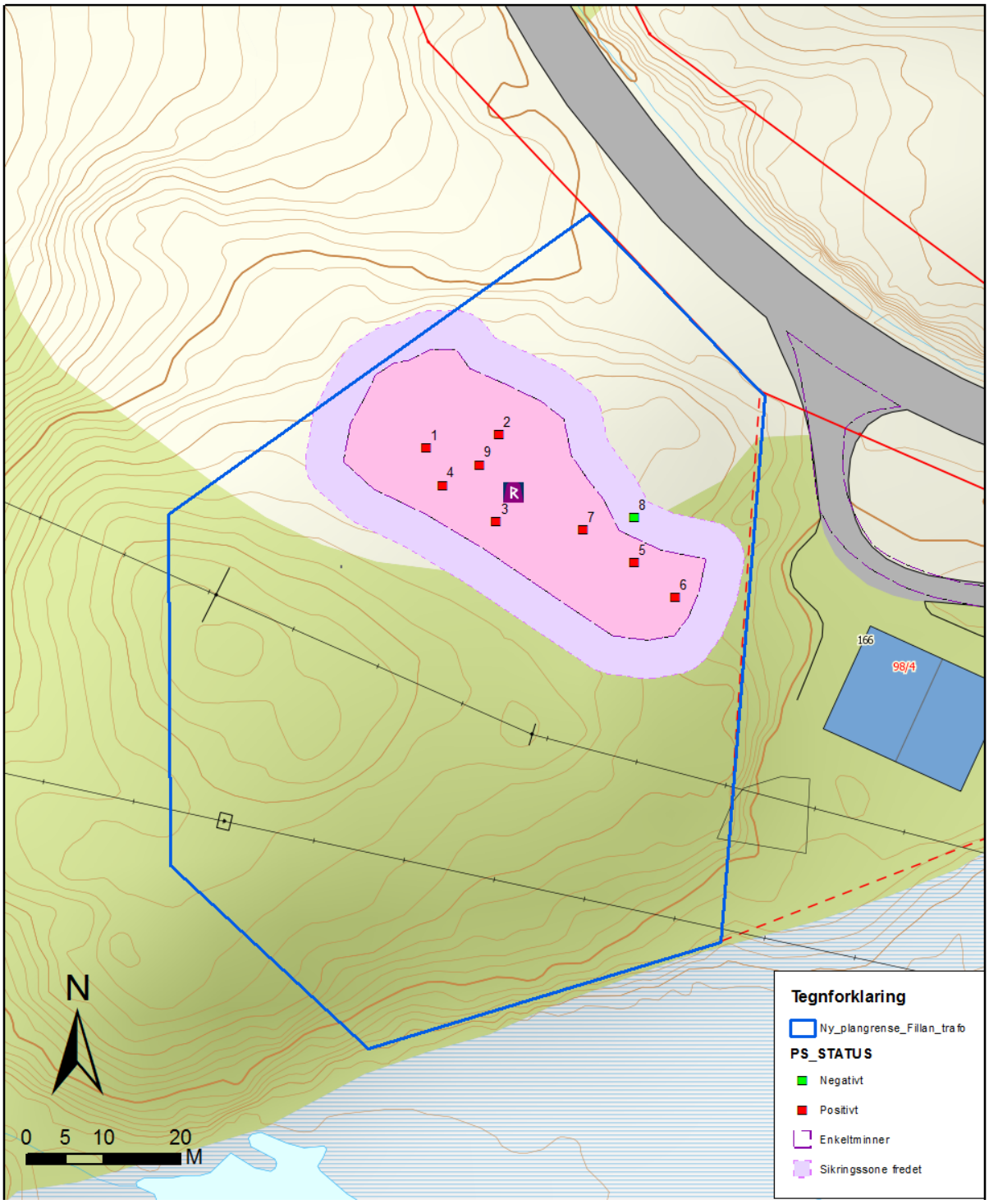
Hitra er et område som tidlig ble isfritt (ca.12 000 år siden), og det er registrert flere hundre lokaliteter fra steinalderen på øya. For steinaldermenneskene, som var avhengige av marine ressurser som fiske og sjøpattedyr, må dette området ha vært et eldorado med sund, øyer og kraftige strømmer. Spesielt i området rundt Dolmsundet er det registrert en stor konsentrasjon av lokaliteter fra steinalderen, men få av disse har blitt undersøkt.

Det er imidlertid gjennomført undersøkelser gjennom feltkurs over flere år av NTNU Vitenskapsmuseet, blant annet på lokaliteten Vikansvingen ved Barmfjorden (ID 108772) (Henriksen 2017). Under en forvaltningsundersøkelse på samme lokalitet i 2009 ble det påvist flere tufter fra senmesolitikum. I forbindelse med utvidelse av kommunesentrum på Fillan ble det gjennomført tre undersøkelser på 2000-tallet. Ved Storhaugen ble en boplass (ID 115021) datert til 6000 f. Kr. undersøkt og i 2007 ble to lokaliteter fra eldre (ID 88468) og yngre (ID 88467) steinalder undersøkt på Vikan.

I forbindelse med planene om bygging av ny trafostasjon utførte Sør-Trøndelag fylkeskommune en befaring og registrering av det aktuelle området den 22.11.16. Det ble gravd 5 mindre sjakter med minigraver, hvorav 4 av sjaktene var positive i form av flintavslag like under torva (Auset og Haug, 2017). På grunn av vær og vind ble avgrensningen av lokaliteten utsatt til våren 2017. Det ble da sondert med jordbor og gravd 9 prøvestikk på flaten med løsmasser. Av disse prøvestikkene var 8 positive, med blant annet funn av flere flekkelignende avslag og en mulig bipolar kjerne (totalt 23 funn, alle i flint). På grunn av værforhold ble ikke massene såldet, og det ble derfor tatt høyde for en noe større funnfrekvens. Ingen dateringer ble gjort, men basert på strandlinjekurven og funnene mente fylkeskommunen at lokaliteten kunne dateres til mellommesolitikum. Lokaliteten er på ca. 818 m² (uten sikringssone) og ligger på en flate mellom berg ca. 30-33 moh (Henriksen 2017). Planområdet strakk seg opprinnelig over et større område mot sør, men det ble ikke påvist noen kulturminner i dette området under registreringen. I eldre steinalder har nok lokaliteten ligget på en holme i et øyrike med god tilgang på marine ressurser blant holmer og skjær. Trolig har holmen også hatt flere mulige havner som kunne benyttes ved ulike vindforhold, men trolig har havnen i øst vært den beste på grunn av en jevn stigning og løsmasser mellom to knauser ideelt for å dra opp båten i strandkanten.



Figur 5. Dronefoto (Da62529_054) over undersøkelsesområdet (sørligøstlige del av undersøkelsesområdet er ikke åpnet på dette tidspunktet på grunn av aktiv kabelgrøft). Gammel trafostasjon øst for lokaliteten med brakker, påbegynt sprengning i sør og fylkesvei 714 nord i bildet. Foto: Kristin Eriksen, NTNU Vitenskapsmuseet.



Figur 6. Kart fra registreringsrapport med positive prøvestikk, planområdet og inntegnet høyspentkabel og høyspentlinje. Kart: Anne Haug, Trøndelag fylkeskommune.

2. Undersøkelsens rammer

I dette kapittelet presenteres praktiske opplysninger om gjennomføringen av den arkeologiske undersøkelsen. Undersøkelsen ble utført på bakgrunn av reguleringsplan for ny trafostasjon på Valen, Fillan, i forbindelse med utbygging av vindkraft på kysten av Trøndelag. Tiltakshaver var Trønderenergi Nett og Statnett (Henriksen 2017).

2.1. Tid, deltagere

Undersøkelsen ble utført i 8 uker i perioden 21.08.2017 - 13.10.2017 med i hovedsak 6 personer, med Karen Ørbog Oftedal som feltleder og Merete Moe Henriksen som prosjektleder. Utgravinga var da utvidet med to ekstra uker (fra 6 uker til 8 uker) på grunn av den store funnmengden samt at vi måtte vente med å åpne deler av lokaliteten i forbindelse med høyspentkabelen som lå innenfor området. Totalt 230 dagsverk ble brukt i felt av feltpersonalet.

Vi hadde 3 perioder med gravemaskin (totalt ca. 8 dagsverk). Maskinfører Magnus Furberg fra KN Entreprenør AS stilte med 8 tonns maskin og 1,3 m bred skuffebredde, mindre maskin (5 tonn) ble tatt inn i den siste perioden. Vanntilgang for sålding ble tilrettelagt av Trønderenergi med vanntank og pumpe fra trafostasjonen.

Følgende personer var med i felt:

Helene Blyverket	Feltassistent	21/08 – 06/10 (29/9)
Eystein Østmoe	Feltassistent	21/08 – 13/10
Øyunn Wathne Sæther	Feltassistent	21/08 – 13/10 (borte 19-22/09)
Signe Groot Terkelsen	Feltassistent	21/08 – 13/10
Katarzyna Różańska	Feltassistent	21/08 – 29/09
Jenny Kalseth	Feltassistent	11/09 – 22/09
Karen Ørbog Oftedal	Feltleder	21/08 – 13/10

I tillegg deltok prosjektleder Merete Moe Henriksen og faglig konsulent Birgitte Skar en del i felt. Kristin Eriksen var også i felt et par ganger, og tok blant annet dronebilder av lokaliteten (21/09).

Etterarbeidet foregikk fra midten av november 2017 - midten av mai 2018, og 3,5 uker totalt i desember 2018 og januar 2019. I etterarbeidet var Eystein Østmoe engasjert i forbindelse

med katalogisering av funn, i tillegg til Karen Ørbog Oftedal. Ellers er alt av etterarbeid og rapportskriving gjennomført av Karen Ørbog Oftedal. Rapporten ble ferdigstilt januar 2019.



Figur 7. Gruppebilde i felt. Bak fra venstre: prosjektleder Merete Moe Henriksen, Karen Ørbog Oftedal, Øyunn Wathne Sæther, Signe Groot Terkelsen, Katarzyna Różańska, Helene Blyverket, Eystein Østmo. Foto: Kristin Eriksen, NTNU Vitenskapsmuseet.

2.2. Problemstillinger

Basert på lokalitetens topografiske plassering, funnmateriale fra registreringen og høyde over havet ble det først antatt at lokaliteten var mellommesolittisk. Ettersom det var undersøkt få lokaliteter fra denne perioden i Midt-Norge som ikke er påvirket av Tapes transgresjonen og Storegga tsunamien (ca. 6250-6100 cal. BC), var det knyttet ekstra forventninger til lokaliteten.

Følgende problemstillinger ble skissert:

1) I hvilke tidsrom var lokaliteten bosatt?
2) Hvor stort areal har vært benyttet?
3) Er det bevart organisk materiale og makrofossiler på lokaliteten?
4) Kan det påvises kulturlag og strukturer på lokaliteten, boligenheter, groper, ildsteder og andre fyllskifter og hvilken karakter har disse?
5) En enkel analyse av avfall og redskaper kan føre til viktig ny informasjon om antall bosetninger og karakteren av aktiviteter på denne konkrete lokaliteten.
6) Hva kan eventuelle strukturer, analyser av jordsmonn, mulig økofakter samt avfall- og redskapssammensetning si om lokalitetens karakter, ressursutnyttelse, antall bosetninger og potensiell landskapssammenheng?

2.3. Metode

Ved hjelp av gravemaskin ble torva fjernet maskinelt i et område på omtrent 800m², og feltmannskapet krafset etter maskinen for å få oversikt over eventuelle lagskiller og strukturer. Underveis i avtorvingen ble det også tatt noen dypere «jafs» med maskin i utkanten av lokaliteten for å få en oversikt over lagskiller og sjekke at vi lå på riktig nivå. Under fylkeskommunens registrering var det en del funn i torva og overgangen mellom torv og undergrunn, så vi lot et tynt lag av torva ligge igjen til opprensing.

To personer gikk med krafse og dirigerte maskinen. Hele lokaliteten ble deretter renset opp med krafse og graveskje, og alle overflatefunn ble lagt i pose og satt ned på funnsted. Dette ga oss et bilde over funnkonsentrasjoner, og ga en indikasjon på hvilke områder som skulle prioriteres for videre undersøkelser.



Figur 8. (Da62529_005) Signe krafser bort rester av torv etter at maskinen har fjernet det meste. Tatt mot NØ. Foto: Karen Ø. Oftedal, NTNU Vitenskapsmuseet.

På det avdekte område ble det satt ut et koordinatsystem på 1x1 m ved bruk av innmålingsutstyret (TopCon CPOS) med X-aksen økende mot nord og Y-aksen mot øst. Basert på dette koordinatsystemet ble det gravd prøvekvadranter og deretter konvensjonell rutegraving i de prioriterte områdene. Under rutegraving ble 1-metersrutene (rute) delt i 4 (kvadrant) hvor både ruten og kvadrantene hadde en unik Intrasis-ID. I prosjektbeskrivelsen sto det at det skulle graves stratigrafisk/mekanisk i 5 cm lag, som fungerer slik at dersom det er et lag som skiller seg markant ut innen disse 5 cm blir disse massene gravd og såldet separat. Det var imidlertid ingen tydelige skiller i de første 10 cm, så vi gravde lagene mekanisk.

Prøvekvadrantene på 50 x 50 cm og 5 cm dybde ble satt ut for å få oversikt over funnspredning innenfor lokaliteten. I registreringsrapporten kom det fram at det funnrike laget var på ca.10 cm, og de første 5 cm ville derfor gi en god indikasjon på funntetthet på feltet. Disse prøvekvadrantene ble satt med 0,5-1,5 m mellomrom, i hovedsak med 1,5 m mellom hver, over store deler av flaten, totalt 72 stk. En erfaring gjort i ettertid er å ha brukt mindre tid på grave prøvekvadranter og satt disse med større mellomrom for mer effektiv oversikt over funndistribusjon.

Alle masser ble vannsåldet i 4 mm maskevidde i såldestasjonene som sto øst for lokaliteten. Et såld med 2 mm maskevidde lå også ved såldestasjonen til bruk dersom det dukket opp områder med mye mikroavslag, men disse såldene ble bare brukt i enkelte kvadranter for å se hvor mye mikroavslag vi gikk glipp av.

De av overflatefunnene som lå utenfor de gravde rutene ble samlet inn til slutt, og relatert til ruten de ble funnet innenfor som lag 0. De kunne derfor integreres i spredningskartene, noe vi gjorde fordi lokaliteten ikke var forstyrret av nyere tids dyrkning, og derfor ga overflatefunnene en «sikrere» kontekst.

Det ble også benyttet maskin på utvalgte områder for å fjerne masser ned til undergrunnen (maskinell flateavdekking) hvor eventuelle bosetnings-strukturer kunne påvises. Denne metoden er ikke utprøvd på NTNU Vitenskapsmuseet i forbindelse med steinalderundersøkelser tidligere, men er en vanlig metode blant annet ved Kulturhistorisk Museum, UiO.



Figur 9. Arbeidsfoto (Da62529_068), Katarzyna dokumenter en kvadrant. Foto: Åge Hojem, NTNU Vitenskapsmuseet.



Figur 10. (Da62529_039) Graving i regnvær. Tatt mot S-SØ. Foto: Karen Ø. Oftedal, NTNU Vitenskapsmuseet.

2.4. Dokumentasjon

Alle påviste lag, feltgrense, topografiske elementer samt strukturer, prøver og spesielle gjenstandsfunn ble målt inn i felt. Alle innmålinger og utsetting av koordinatsystem ble gjort med RTK-GPS og Topcon CPOS. Innmålingene ble i hovedsak gjort av feltleder Karen Ørbog Oftedal, men også feltarkeologene gjorde innmålinger når det trengtes. Alle feltarkeologene hadde hver sin Ipad hvor dokumentasjon fra rutene og/eller kvadrantene ble lagt inn i MUSITs filemakerskjema. Vi begynte med å dokumentere hver kvadrant, men etter hvert ble det bestemt at vi skulle grave en og en kvadrant, men samle dokumentasjonen til å omhandle hele ruten (Fileskjemaet på ipadene). Dette var for å spare tid ettersom den høye funnfrekvensen gjorde gravingen tidkrevende. Massene ble såldet innad i kvadranten, og lagt i egne poser markert med intrasisID, koordinater, kvadrant og antall funn. Dette gjorde arbeidet mer effektivt, men vi fikk allikevel funndistribusjon på et kvadrantnivå i stedet for på metersnivå. Det var også en egen Ipad der fotolisten ble ført. Innmålinger og dokumentasjon fra skjemaer ble senere importert og behandlet i Intrasis.

Det ble tatt fotogrammetri etter opprensing og for hvert mekaniske lag som ble gravd. Fotogrammetri ble brukt for å få fine oversiktsfoto over lokaliteten, og til senere bearbeiding ved etterarbeidet i kombinasjon med innmålingene. Det var satt ut georeferanser før fotogrammetriseriene ble tatt, og disse ble målt inn med innmålingsutstyret. Ved fotogrammetri ble appen PlayMemories Mobile brukt på mobil i kombinasjon med kamera og fotostang. Fotokamera som ble brukt både til fotogrammetriene og øvrige foto i felt ble tatt med Olympus digitalkamera og Sony speilreflekskamera i filene JPEG og TIFF. Under etterarbeidet ble bildene gjennomgått og lagt inn i Musit med informasjon fra fotolistene og eget DA-nummer. Fotoene fra fotogrammetriene ble kjørt i programmet Agisoft Photoscan, hvor fotoene ble satt sammen til en 3D-modell, og ortofotoene av disse ble lagt inn i Musit med egne DA-numre. Kristin Eriksen var også ute i felt og tok dronebilder av lokaliteten 21. september-17.

I etterarbeidet er innmålinger og fotogrammetri slått sammen og bearbeidet for å erstatte plantegninger. Profilene ble imidlertidig tegnet i felt ettersom fotogrammetriene av profilene ikke ble vellykket (trolig på grunn av lysforhold). Profilskissene ble rentegnet i Adobe Illustrator, og et utvalg av orginaltegningene ble arkivert under kartskapsnummer 11405-11409. Originalskisser av prøvestikkene ble lagt inn i dokumentmappe i arkivet. Under etterarbeidet ble alle funn katalogisert i MUSIT under museumsnr.T27685. Materialet er klassifisert med bakgrunn i *Definisjoner, steinaldernomenklatur, VM, V03* (August 2012).



Figur 11. (Da62529_076). Dokumentasjon av ruter og kvadranter i brakka. Foto Åge Hojem, NTNU Vitenskapsmuseet.

2.5. Formidling

Ettersom lokaliteten lå såpass nært høyspentmasten var det ikke ønskelig med besøkende fra tiltakshavers side. Vi hadde allikevel noen besøkende underveis i undersøkelsen som fikk en liten omvisning. Dette var blant annet styret fra Trønderenergi (ca. 15 stk) og arkeologer fra Trøndelag fylkeskommune; Anne Haug og Hans Marius Johansen (førstnevnte hadde gjort deler av registreringen).

På grunn av sikkerhetsårsaker ble det derfor satset på formidling gjennom andre kanaler. Underveis i undersøkelsen ble det skrevet et innlegg på Norark (www.norark.no), som er en felles blogg for universitetsmuseene i Norge, og vi hadde besøk av en journalist, noe som resulterte i en artikkel i lokalavisa Hitra Frøya (20/10). Det ble også skrevet en sak på NRK sine lokale internettsider, basert på norark-innlegget og intervju med prosjektleder Merete Moe Henriksen.

24.09.2017	Karen Ørbog Oftedal, blogginnlegg på norark.no: «På jakt etter boliger fra eldre steinalder.» http://www.norark.no/prosjekter/fillan-transformatorstasjon/pa-jakt-etter-mellommesolittiske-boliger/
30.09.2017	Espen Sandmo, NRK Trøndelag: «Denne kniven ble laget av en trønder for 10.000 år siden.» https://www.nrk.no/trondelag/denne-kniven-ble-laget-av-en-tronder-for-10.000-ar-siden-1.13707864 (oppdatert: 01.10.2017)
20.10.2017	Lars Otto Eide, Hitra Frøya (lokalavis): «Spor frå steinalder. Her bodde våre forfedre på en liten holme for 10.000 år siden.»

3. Gjennomføring av utgravingsprosjektet

Utgangspunktet for utgravingsprosjektet var undersøkelsen av lokaliteten Fillan Trafo, Valen (ID228908). Feltarbeidet ble utført i løpet av 40 dager, fra 21. august til og med 13. oktober 2017. Selve undersøkelsen ble gjort på 38 dager. Været var generelt svært godt med sol og opphold, med enkelte regndager og noe frost på slutten av oppholdet. Deler av lokaliteten i vest var svært fuktig på grunn av dårlige dreneringsforhold i undergrunnen. Det var også et fuktigere parti ca. midt på lokaliteten, hvor et søkk ledet ned mot bergknausene i nord. Ellers var undergrunnen undulerende slik at regnet fort la seg i pytter rundt på lokaliteten. Vannforsyningen kom i første omgang fra en vannkran på trafostasjonen, men denne ga for lite trykk, og i uke 3 av undersøkelsen fikk vi en vanntank og pumpe som gjorde såldearbeidet mer effektivt.



Figur 12. Arbeidsfoto (Da62529_044). Såldestasjon med vanntank og pumpe. Fillan Trafostasjon til høyre. Tatt mot SØ. Foto: Karen Ø. Oftedal, NTNU Vitenskapsmuseet.

Gjennom registreringsrapporten kom det fram at funnene dukket opp i overgangen mellom torv og undergrunn. Vi var derfor noe forsiktig med maskin, og opprensingen i etterkant tok lengre tid enn planlagt. Kombinasjonen av dette og den store mengden funn på lokaliteten gjorde at undersøkelsen ble forlenget med to uker. Til tross for at det gikk bort mer tid enn antatt på opprensing av flaten, ga denne opprensingen et informativt bilde av funnspredningen innenfor lokaliteten. Det var imidlertid ingen synlige strukturer i overflaten på dette funnrike laget som fremsto som et utvaskingslag. Deler av lokaliteten var forstyrret av røtter og rotvelt, spesielt i vest og sør, samt en høyspentgrøft i sørøst. Ettersom det gikk en høyspentkabel gjennom deler av lokaliteten, måtte vi vente med å avdekke dette området til kabelen ble slått av (18.september).

I prosjektplanen ble det foreslått at hele lokaliteten skulle avtorves, og at ca. 30% av lokaliteten skulle graves. Da vi begynte med maskin torvet vi ikke av området helt i nord og nordvest ettersom vi traff på berg relativt tidlig og det var ikke løsmasser. Her måtte vi også lage dreneringsgrøft ut av lokaliteten ettersom undergrunnen var lite selvdrenerende. Det ble derimot gravd noe utenfor lokalitetsgrensen i nordøst (se s. 27).

3.1. Fillan Trafo (Valen) (Askeladden ID 228908)

Avdekt areal: 998,294 m²

Maskinelt flateavdekt: 152,154 m²

Håndgravd kubikk/areal: 4,82 m³

Antall strukturer: 4 (3 lag, 1 struktur)

Antall funn: 11 554 (alle prøver utelatt)

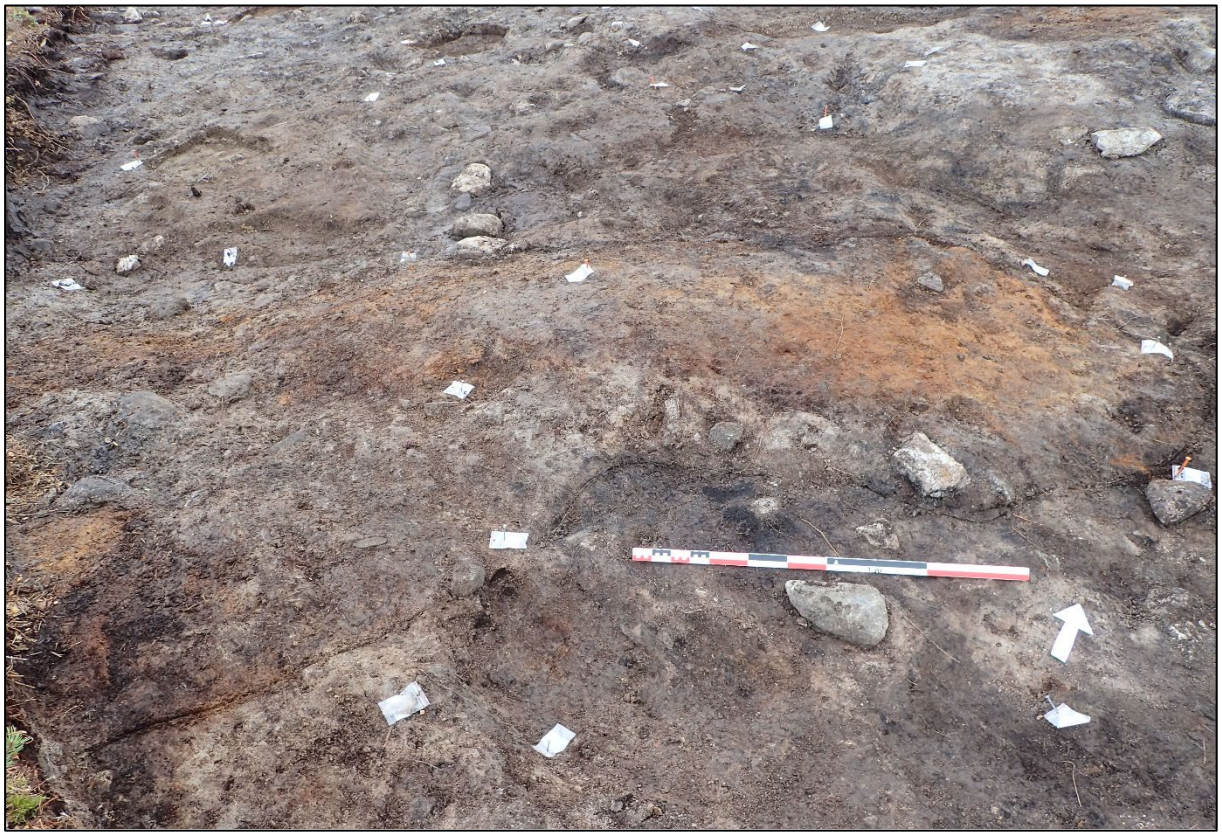
Utgravningsområdet målte til sammen 998 m² (med sikringssone: 1544,74 m²), og det ble torvet av noe mindre i vest og nord på grunn av berg og fordi området var svært fuktig her. I samråd med prosjektleder ble det derimot gravd ca. 6 m utenfor lokalitetens sikringssone mot nordøst, siden funnene fortsatte innover på denne flaten. Feltet ble naturlig avgrenset i nord med bergknauser, og i øst og vest med bratte skråninger. I sør var det også bergknauser, men et lite parti med løsmasser i sørøst strakk seg inn mot området som allerede var sprengt ut. Her ble det funnet flint i profilkanten til inngrepet, og vi satte da prøvestikk på andre siden av anleggsveien, noe som også bekreftet at lokaliteten fortsetter mot sørøst. Vi kunne imidlertid ikke gjøre noe mer i dette området på grunn av anleggsveien, og det var også sprengt ut berg like bortenfor. Torva var ca 20-30 cm tykk over store deler av lokaliteten, men ettersom det var utmark var overflaten svært undulerende med mye tuer, søkk og trestubber/rotvelt. Dette gjorde at det ble liggende igjen en del torv i forsenkninger i terrenget som måtte fjernes manuelt.



Figur 13. (Da62529_067) Panorama over undersøkelsesområdet med den gamle trafostasjonen til høyre i bildet. Tatt mot N-NØ. Foto: Karen Ø. Oftedal, NTNU Vitenskapsmuseet.

3.1.1. Prøvekvadranter

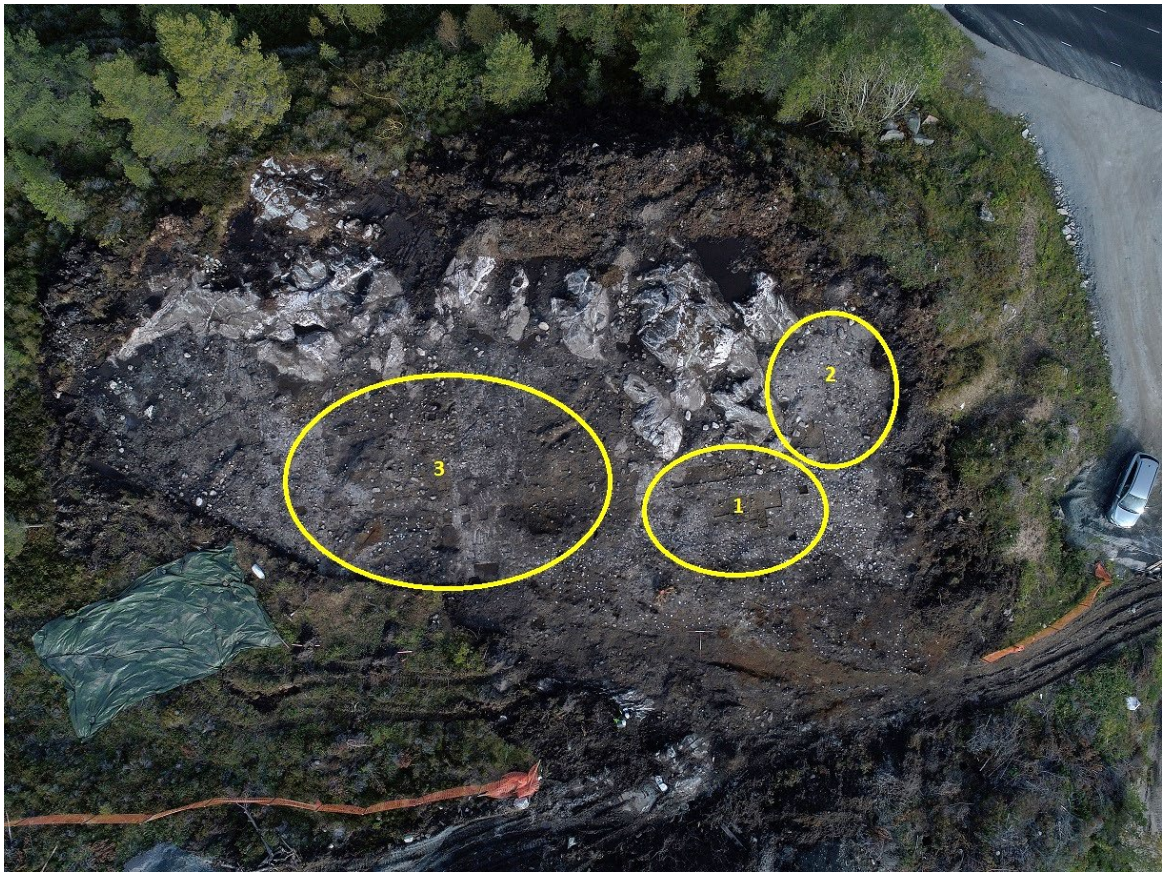
Etter at vi hadde torvet av lokaliteten ble det renset opp med krafse og graveskje. Det var flere store ovalformede strukturer over hele lokaliteten, spesielt i utkanten av lokalitetsgrensa. Strukturene var ovale i form med en størrelse på ca. 2,5-3 m x 2 m, og med en mørkere grøft rundt. Ved første øyekast kunne dette forveksles med tufter, men etter å ha testsnittet en av dem ble det konkludert med at dette var naturlige formasjoner etter rotvelt. Det var en del funn konsentrert i og rundt strukturene, men massene fremsto som svært omrotet, og deler av strukturene lå over den opprinnelige undergrunnen. Da vi skulle begynne å grave prøvekvadranter ble disse i hovedsak lagt utenfor områder med rotvelt. Dette var fordi rotveltene kunne gi et falskt bilde av funnkonsentrasjonen ettersom røttene kan ha dratt med seg funn innover når treet har veltet, og den arkeologiske funnkonteksten kan ha blitt forstyrret ved at en eventuell stratigrafi da blir omrotet (Jørgensen 2017), noe vi også fikk bekreftet gjennom snitting av et utvalgt rotvelt (IntrasisID: 224).



Figur 14. (Da62529_027) Ett av mange rotvelt på feltet, med 1m målestokk og nordpil. Foto: Eystein Østmoe, NTNU Vitenskapsmuseet.

Prøvekvadrantene ble for det meste gravd med en innbyrdes avstand på 1,5 m, og i mekaniske lag på 5 cm. I de fleste ble det bare gravd 1 mekanisk lag, men enkelte ble gravd ned til steril undergrunn for å få oversikt over stratigrafi. Både prøvekvadrantene og overflatefunn utpekte området i øst som svært funnrikt, men det var også en del funn på den største flaten, ca. midt på lokaliteten. På foto under (Figur 15) vises inndelingen av de tre områdene som hadde flest funn.

Arkeolog Silje Fretheim var også innom oss i felt. Hun kom med innspill til hvor de mest ideelle plassene for en tuft eller teltplass kunne være. Hun mente at område 1 og 2 hadde ideelle forhold med tanke på det svakt hellende terrenget og bergknausene som ly, samt den umiddelbare nærheten til strandkanten. De fleste av løsfunnene lå i den bratte skråningen sørøst for område 1. Dette området ble tolket som en utkastsone, og det ville derfor være interessant å grave i område 1 etter mulige boligstrukturer, like ovenfor dette utkastområdet.



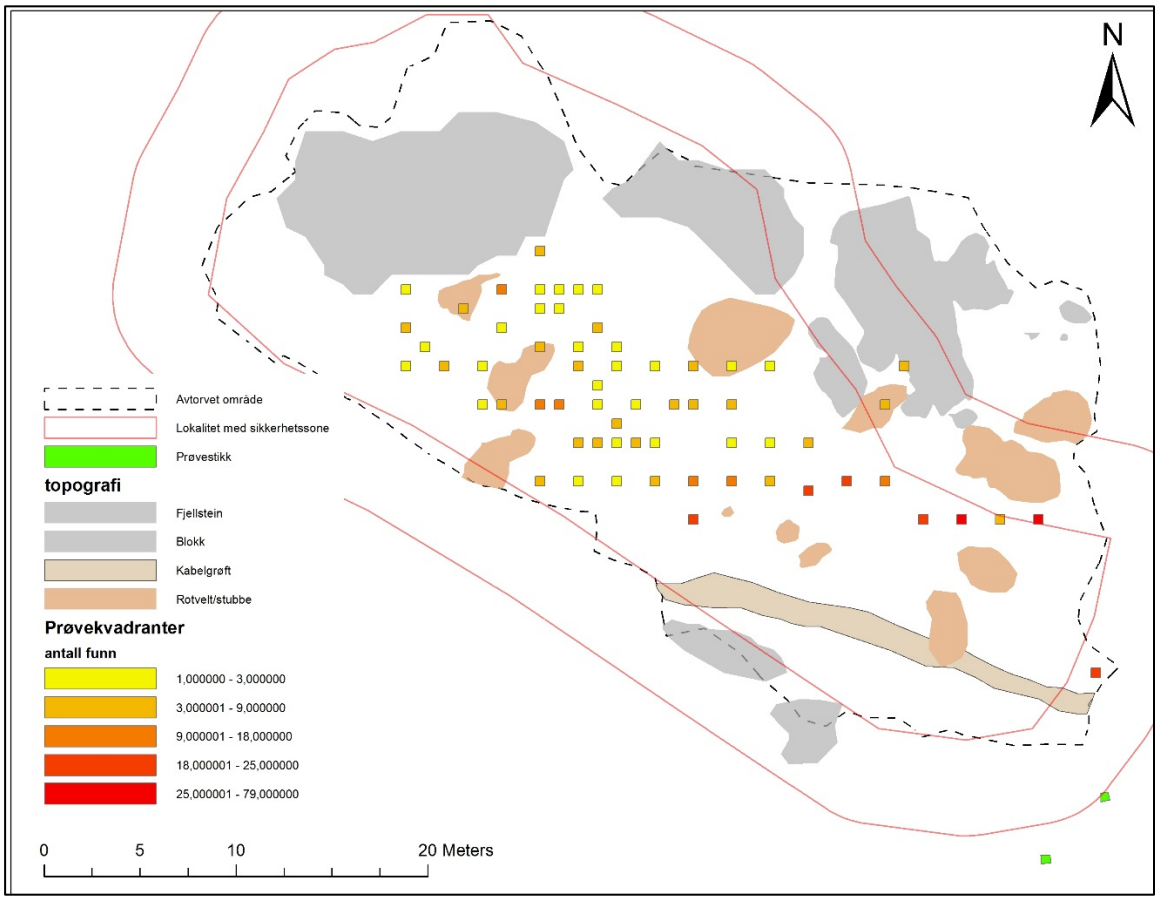
Figur 15. (Da62529_056) Områdeinndeling av feltet, basert på funnkonsentrasjoner. Alle de små hvite prikkene er poser med funn i. Dronefoto: Kristin Eriksen, NTNU Vitenskapsmuseet.



Figur 16. (Da62529_015) Østre del av lokaliteten under avtorving med maskin. Området er enda ikke renset opp, men allerede dukker det opp funn i det som senere ble tolket som en utkastsone for boplassen (funnene er markert med funnposer). Foto: Karen Ø. Oftedal, NTNU Vitenskapsmuseet.

Tabell 1. Statistikk lok 1 - gravde kvadranter, areal, kubikk og funn. Merk at overflatefunn (Lag 0) og løsfunn ikke er inkludert i denne tabellen.

Lok 1	Mek. 1, 0-5 cm	Mek. 2, 5-10 cm	Mek. 3, 10-15 cm	Mek. 4, 15-20 cm	Totalt
Antall kvadranter gravd	299	85	1	1	386
Antall m^2 gravd	74,75	21,25	0,25	0,25	96,50
Antall m^3 gravd	3,74	1,06	0,01	0,01	4,82
Antall funn	7241	1881	15	4	9141
Ant. funn pr. kvadrant	24,22	22,13	15	4	23,68



Figur 17. Oversikt over prøvekvadranter og prøvestikk. To prøvestikk ble satt utenfor lokaliteten. Det nordligste prøvestikket (PS 2) hadde 4 funn, og det sørligste prøvestikket (PS 1) hadde 15 funn. Figur: Karen Ø. Oftedal, NTNU Vitenskapsmuseet.

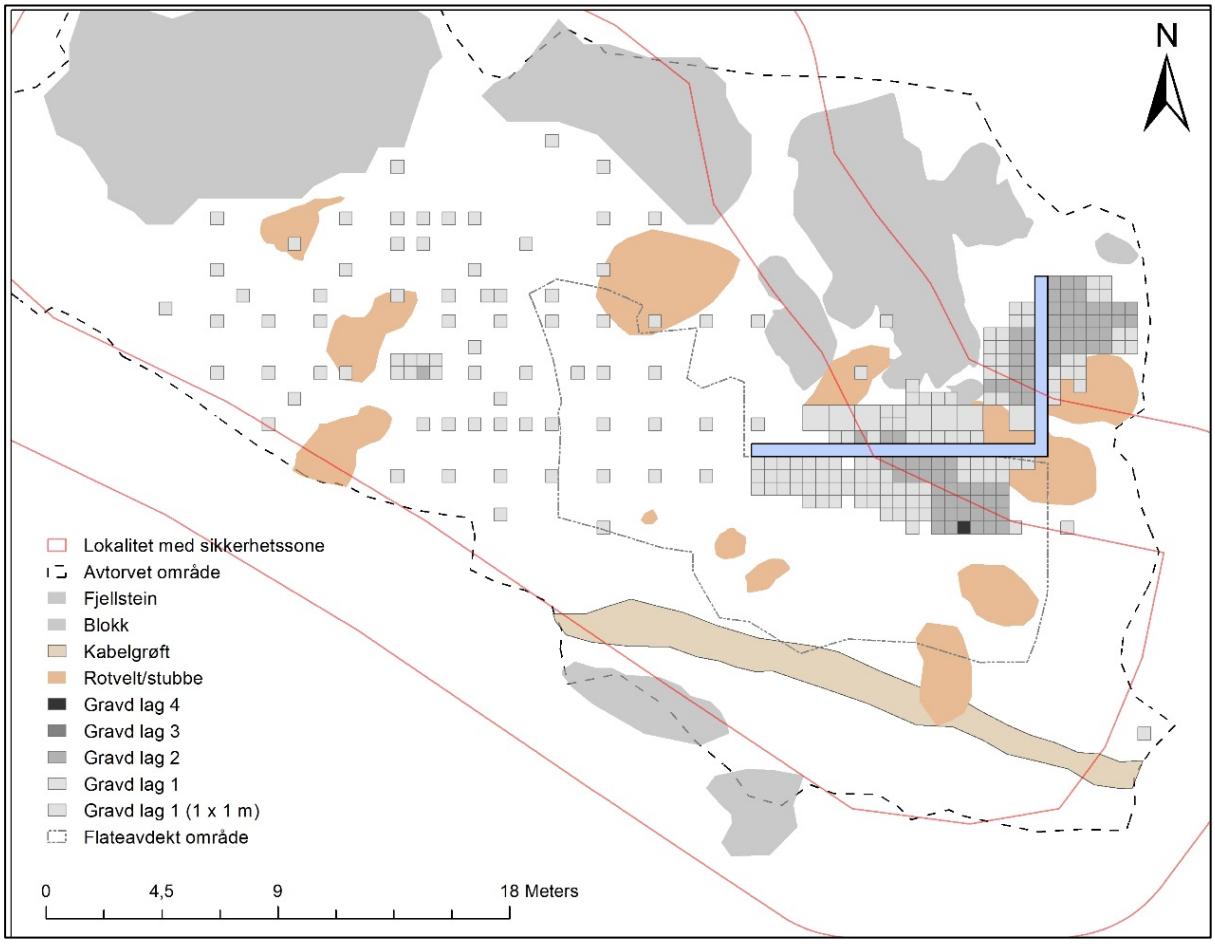
3.1.2. Prioriterte områder

Den østlige delen, hvor det var hellende terreng, ble delt inn i to graveområder (Figur 15) og et tredje område ble undersøkt der det var flest funn. Område 1 og 2 ligger i et hellende terreng, mens område 3 er noe flatere. Før utgraving av mekanisk lag 1 ble det lagt en profilbenk gjennom område 1 (i retning øst-vest) og i område 2 (i retning nord-sør). Dette var for å ha oversikt over eventuelle lagskiller samt for innsamlinger av prøver mot slutten av utgravingen. I hovedsak ble det bare gravd 10 cm dypt (mek. Lag 1 og 2) på lokaliteten, ettersom det var påvist at det var i dette sjiktet funnene var.

Det ble også gravd tre prøvestikk som ble satt utenfor lokalitetsgrensen etter at vi fant noe flint i en grøftekant inn mot området som allerede var sprengt ut i sør. Alle prøvestikkene inneholdt funn, og trolig har lokaliteten hatt en noe større utbredelse mot sørøst (sør for kabelgrøft).

Mekanisk lag 1

Mekanisk lag 1 hadde en utstrekning på 74,75 m² fordelt over de tre områdene. Alle de mekaniske lagene bestod av en lys gråbrun silt og grusblanding med enkelte kullbiter og funn. Antall funn var markant høyere i mekanisk lag 1, og ble gradvis færre jo dypere vi kom. Etter å ha påbegynt mekanisk lag 1 i de tre områdene ble det fort konstatert at vi måtte prioritere område 1 og 2 hvor det var høyere funntetthet enn ellers på feltet. På grunn av en misforståelse ble 7 ruter (1x1 m) gravd hvor funnene fra disse rutene ble slått sammen, og de viser derfor ikke funndistribusjon på et kvadrantnivå (se Figur 18). Ellers er alle funn i de mekaniske lagene knyttet til kvadrant og ikke rute.



Figur 18. Oversikt over alle gravde mekaniske lag. Kart: Karen Ø. Oftedal, NTNU Vitenskapsmuseet.

Mekanisk lag 2

Mekanisk lag 2 hadde en utstrekning på 21,25 m², og inneholdt noe mindre funn enn lag 1. Laget var likevel relativt funnrikt. På område 3 ble det gravd en kvadrant i lag 2, mens det i område 1 og 2 ble gravd 84 til sammen.

Mekanisk lag 3

Mekanisk lag 3 var merkbart mindre funnrikt enn de foregående mekaniske lagene, og fylkeskommunens registrering bekreftet også at funnene i hovedsak lå rett under torva i et 10 cm tykt grått sandlag (Auset og Haug 2017). Det ble derfor ikke prioritert å grave mer enn en kvadrant i lag 3.



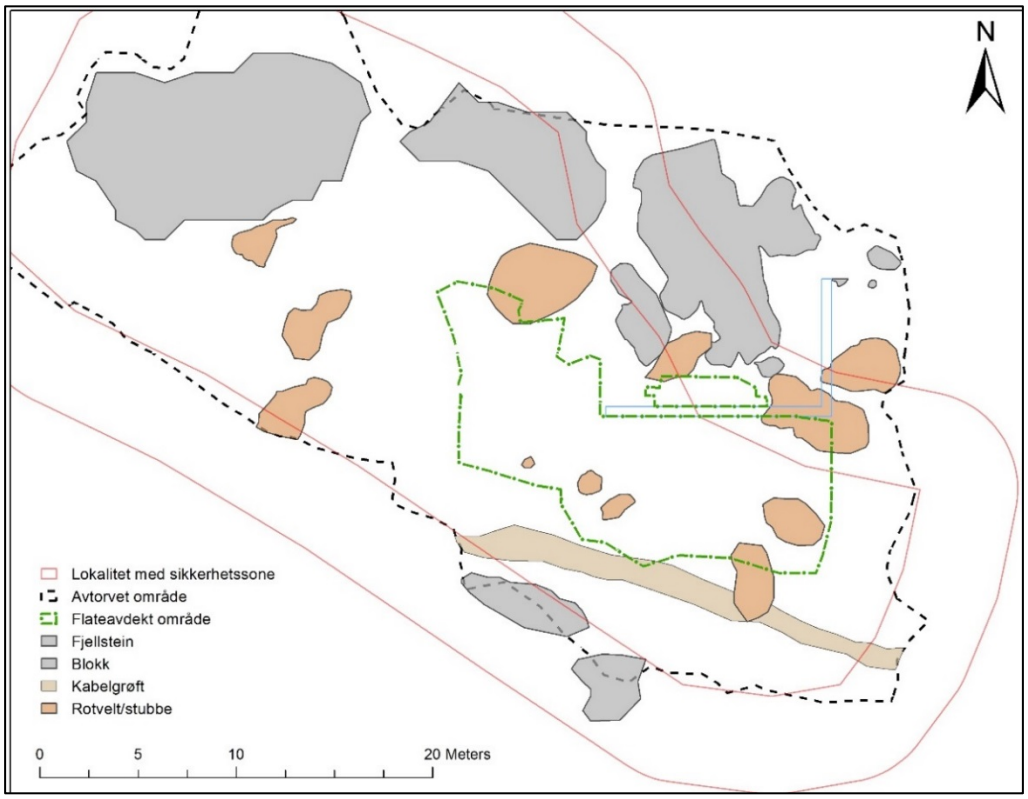
Figur 19. (Da62529_057) Dronefoto, underveis i graving av lag 1. Foto: Kristin Eriksen, NTNU Vitenskapsmuseet.

3.1.3. Flateavdekking med maskin

I de tidligere prøverutene og «jafsene» fra maskina ble det ikke påvist noe tydelig kulturlag, ei heller under fylkeskommunenes registrering. Gjennom den manuelle rutegravingen hadde vi fått inn store mengder funn, som ga en god oversikt over funndistribusjonen på lokaliteten, og vi prioriterte derfor å bruke resten av tiden i felt til å undersøke om det var boligstrukturer under det funnrike laget. Det ble fjernet masser på en flate tilsvarende 152 m² fra midten av lokaliteten og mot sørøst i et siste forsøk på å påvise eventuelle strukturer og/eller kulturlag. Det ble tatt utgangspunkt i den sørlige siden av profilbenken vi allerede hadde, slik at vi kunne ta prøver dersom det dukket opp lag på et dypere nivå. Til tross for mangelen på spor etter kulturlag i massene som vi gravde mekanisk (utvaskingslaget), fant vi boligstrukturer dypere ned i undergrunnen etter at vi tok i bruk maskin for å fjerne resten av utvaskingslaget. En forklaring kan være at det var bedre bevaringsforhold dypere ned i undergrunnen etter at de marine avsetningene har lagt et lokk over lokaliteten (se kap 4.3.1). Når lokaliteten har blitt utsatt for ulike værforhold er det også naturlig at for eksempel kull samles opp ned i mellom grusen.

I den vestlige delen av flateavdekkingsområdet besto undergrunnen av rødoransje grus med stein i ulike størrelser og tydelig jernutfelling i grunnen (aurhelle). Etter at vi bare hadde truffet på aurhelle i begynnelsen av flateavdekkingen dukket det opp interessante lagskiller under utvaskingslaget i øst, som nevnt i innledningen i dette kapittelet (3.1.3). Her ble det påvist to kulturlag. Begge lagene var svært vanskelige å se, og det var først på avstand at vi kunne konstatere at de skilte seg ut fra undergrunnen. Det ble også påvist en konsentrasjon med kull som senere ble tolket som et ildsted og en rest av et tredje kulturlag. Strukturen og de påviste kulturlagene ble satt i sammenheng med en nedgraving i det samme området og samlet ble dette tolket som rester etter en tuft/grophus. Senere i dette kapittelet kommer en grundigere gjennomgang over de aktuelle strukturene og lagene som ble påvist etter flateavdekkingen.

Av praktiske årsaker fjernet vi bare et område sør for profilbenken, men da vi fikk påvist kulturlag, fjernet vi også masser fra nordsiden av profilbenken. Her var det også et rotvelt som hadde forstyrret massene i den nordlige delen av kulturlagene og den mulige tufta/grophuset, men trolig hadde kulturlaget som ble påvist fortsatt noe innover mot berget i nord. Alle strukturene og lagene som ble påvist var i område 1.



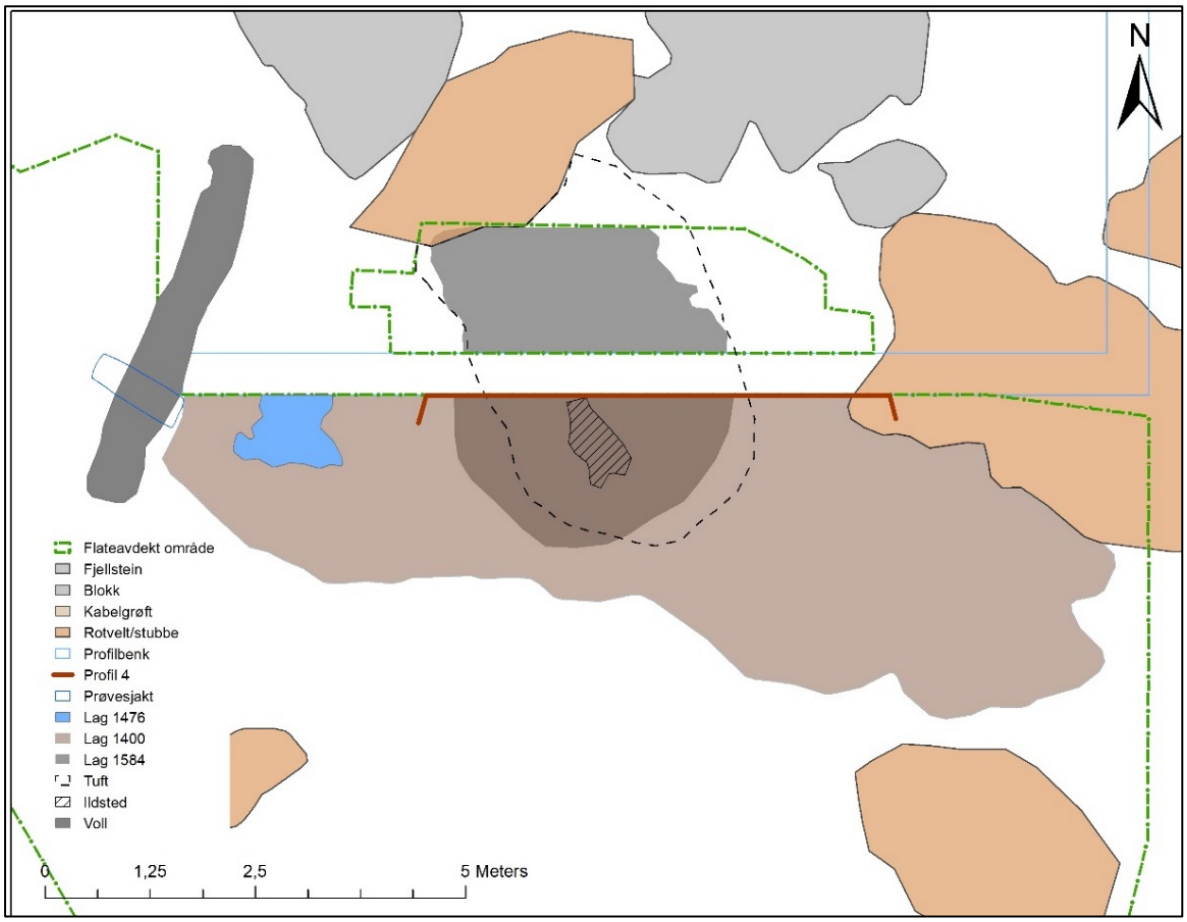
Figur 20. Kart over området som ble flateavdekket. Den største delen ble gravd med maskin, mens den mindre delen i nord måtte graves med spade. Kart: Karen Ø. Oftedal, NTNU Vitenskapsmuseet.



Figur 21. (Da62529_102) Under flateavdekking på jakt etter strukturer og lag under det funnrike laget. Lag 1400 kan så vidt skimtes bak Eystein og Helene. Tatt mot SØ. Foto: Karen Ø. Oftedal, NTNU Vitenskapsmuseet.

Tabell 2. Strukturer og lag innenfor lokalitetsgrensa:

Intrasis ID	Overordnet kontekst	Subclass	Undersøkt	Kommentar
787	Ca 3 m vest for den mulige tufta	Voll	Delvis	Tolket som en naturlig voll, men kan ha hatt en funksjon som vind- og vannsperre. 2904 +14/-14 (YBA), 6630 +19/-18 (SM2) og 6921 +18/-18 (SM2) (fra 3 forskjellige lag, se kap. 4.2.1.)
1400	Lag rundt mulig tuft	Lag	I plan	Prøvesjakt gjennom deler av laget for uttak av prøver og tegning av profil. 6821 +21/-21, 6920 +23/-22 og 6949 +24/-24 (alle SM2)
1584	Lag inne i tuft	Lag	I plan + sjakt	Prøvesjakt gjennom deler av laget for uttak av prøver og tegning av profil. 6829 +27/-27 (SM2)
1534	I lag 1400	Ildsted	Delvis	Snittet, funn av flekkekniv. Innsendt datering: - 6433 +23/-23 (SM3) og -6873 +25/-25 (SM2)
1476	Over lag 1400	Lag	I plan	Flekk med sand og kull. Usikker funksjon. Datering til 6789 +18/-18 (SM2)
865	I mek lag 1	Kullflekk	Totalgravd	Avskrevet
1150	I mek lag 1	Kullflekk	Totalgravd	Avskrevet
1251		Mulig stolpehull	Totalgravd	Avskrevet
1262		Mulig stolpehull	Totalgravd	Avskrevet
1271		Mulig stolpehull	Totalgravd	Avskrevet



Figur 22. Strukturer og lag påvist etter flateavdekking. Kart: Karen Ø. Oftedal, NTNU Vitenskapsmuseet.

Tuft eller grophus

Etter flateavdekking med maskin ble det påvist en forsenkning i terrenget i forbindelse med kulturlag 1584 (se senere i kapittelet). Da det også ble påvist et mulig ildsted innenfor denne nivåforskjellen jobbet vi ut ifra teorien om at dette kunne være en boligstruktur. I etterkant av undersøkelsen, når all dokumentasjon er gjennomgått og tolket, indikerer funnene at dette trolig var en boligstruktur, enten en tuft eller et grophus. Gjennomgangen av fotogrammetrier fra område 1 kan gi indikasjoner på denne boligstrukturen i toppen av lag 2, hvor det er en oval flate som fremstår som noe mer ryddet enn området rundt. Dette var det imidlertid vanskelig å se i felt da det var et rotvelt like ved som forstyrret deler av området der steinene var. Steinene har blitt tegnet inn i Intrasis, og det finnes også fotogrammetri av dem. Ettersom strukturen mangler både stolpehull og tydelige voller, men har ildsted og ligger på et lavere nivå enn området rundt, er det muligens rester etter et grophus (Fretheim 2017:14).

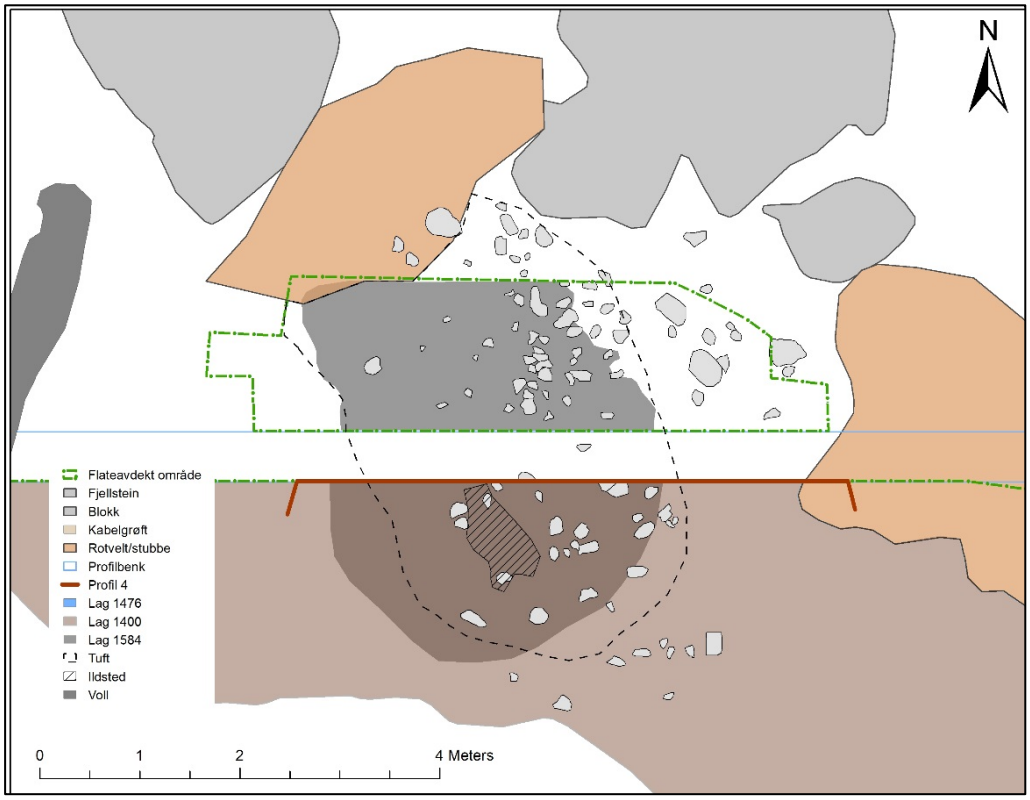
Tolkning: En tolkning er at den ovale flaten der selve grophuset har stått har blitt ryddet for stein som vi ser utenfor denne ovale flaten, og derfor også har fått et lavere nivå (se markering med røde piler Fig. 27, der en svak høydeforskjell kan sees på begge sider av lag 1584).



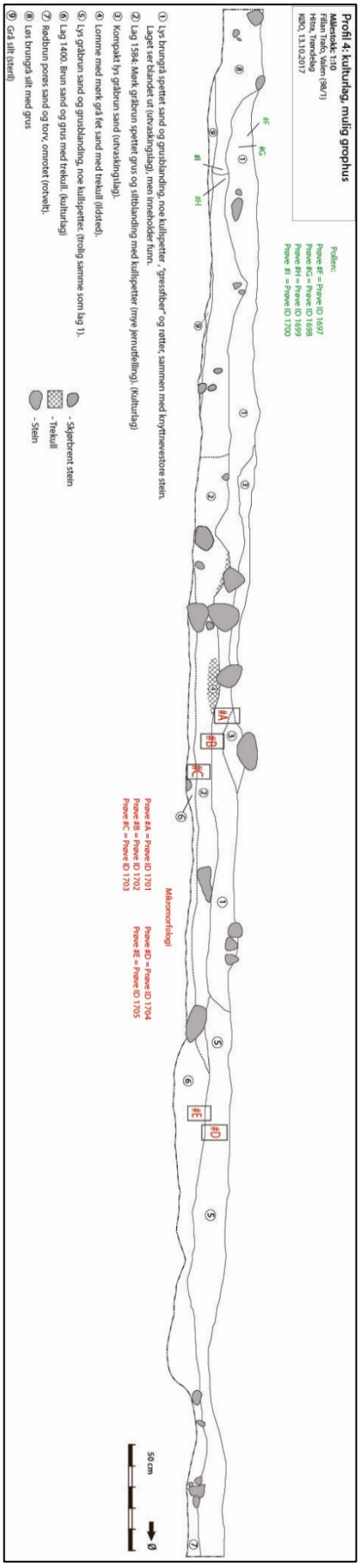
Figur 23. Foto av lag 1584 og forsenkningen som viser rester etter hvor grophuset kan ha ligget. Ildsted ligger mellom steinene innenfor den blå markeringen. Foto (mot NV): Karen Ø. Oftedal, NTNU Vitenskapsmuseet.



Figur 24. Dersom man ser for seg den lilla genseren som ca. sentrum for tufta/grophuset, kan man skimte en ryddet flate hvor steinene er konsentrert rundt denne ovale flaten. Tatt mot S. Foto: Karen Ø. Oftedal, NTNU Vitenskapsmuseet.



Figur 25. Steiner i og rundt tufta. Kart: Karen Ø. Oftedal, NTNU Vitenskapsmuseet.

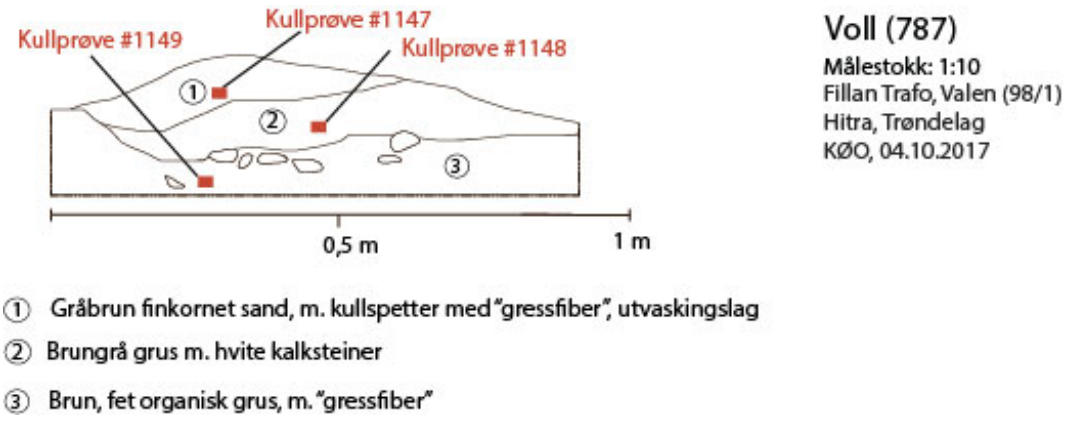


Figur 26. Rentegning av profil gjennom tuft.

Rentegnet av Karen Ø. Oftedal, NTNU Vitenskapsmuseet.

Struktur 787, voll:

Vollen lå i overgangen mellom område 1 og 3 i retning NØ-SV, der flaten (område 3) går over til en svak helling (område 1). Den var 4,5 m lang og ca. 0,6 m bred. Vollen ble påvist allerede etter opprensing, og så ut til å ha samme utvaskingslag i topp som ble påvist på resten av lokaliteten. Det var usikkert om denne vollen var et resultat av naturlige prosesser, eller om den var en del av den kulturelle aktiviteten på området. Det ble derfor lagt et snitt på tvers av vollen for å se oppbyggingen og for å ta ut prøver. Vollen besto av 3 lag, hvorav alle ble gravd separat og såldet. Det øverste laget (lag 1, på tegning) var det funnrike utvaskingslaget, det var også enkelte funn av flint blant massene i vollen. Lag 2 besto av brungrå grus med hvite «kalksteiner», her ble det påvist 23 funn (deriblant fragment av en makroflekke og en mikroflekke). Overgangen mellom lag 2 og 3 var gradvis, og massene ble stadig mørkere og fetere. I den sørlige profilen lå det flere mellomstore steiner i overgangen mellom lag 2 og 3, men dette fortsatte ikke i den nordlige profilen. I lag 3 var det 9 funn i flint, deriblant en mikroflekke og et vifteformet prepareringsavslag. Det ble tatt ut prøver til datering (T27685:2601-2603). Disse viste lag 1: yngre bronsealder, lag 2 og lag 3: sen mesolittisk tid (SM2). Det ble også tatt pollenprøver av de tre lagene i vollen, men disse ble ikke sendt inn.



Figur 27. Tegning av profil sett mot sør i voll. Tegning: Karen Ø. Oftedal, NTNU Vitenskapsmuseet.



Figur 28. (Da62529_093) Snitt i voll (787), tatt mot N. Foto: Karen Ø. Oftedal, NTNU Vitenskapsmuseet.

Tolkning: Vollen var svært rett, og det virket derfor ikke sannsynlig at det var en veggvoll i forbindelse med den mulige tufta, også på grunn av retning og avstanden til tufta. En mulig tolkning er at vollen har skapt ly ettersom den ligger mellom to bergknauser og binder disse sammen. På østsiden av vollen heller terrenget svakt i ca. 6-7 m før hellingen blir brattere (mye funn, trolig utkastsone). Vollen kan ha vært en form for oppdemning ettersom utvaskingslaget var mye tynnere på vestsiden av vollen, og vi kom raskt ned på en forsteinet grus som det ser ut til å ha stått vann over i en lengre periode (jernutfelling). Etter snitting av vollen ga den inntrykk av å ha oppstått som et resultat av naturlige prosesser. Den kan likevel ha skapt ly mot vær og vind for beboerne med tilhold i grophuset som ligger like øst for vollen. En mulig tolkning er at de marine avsetningene som blir omtalt i kap 4.3.1 har ansamlet seg her hvor overgangen mellom det flate partiet av lokaliteten går over i et mer hellende parti. Lag 2 og 3 i vollen (se tegning) er muligens en del av den opprinnelige steinalderoverflaten ettersom det også var en del funn i disse lagene.

Lag 1400

Laget bestod av heterogen brun kullspettet sand og grus, og var relativt kompakt. Laget fremstod som fett, og hadde en nærmest «blank» overflate. Det var diffuse overganger til undergrunnen mot sørøst, men mot sør var det relativt tydelig, og laget så ut til å gradvis

forsvinne nedover skråningen i øst. Laget hadde en utbredelse på 27,3 m². Det ble tatt ut dateringsprøver fra laget, og disse ble datert til senmesolittisk tid (SM2).

Tolkning: Laget er trolig rest etter et kulturlag som har oppstått som følge av menneskelig aktivitet, mest sannsynlig i forbindelse med grophuset som vi påviste rester etter like ved lag 1400. Området med lag 1400 har nok vært en aktivitetssone utenfor boligen, og laget strekker seg nedover i det brattere partiet som tolkes som utkastsone for boplassen. En mulighet er at laget bare er bevart i bunn, og at det funnrike laget over, som er tolket som et utvaskingslag, trolig har sammenheng med lag 1400. Dateringene fra mekanisk lag 1 og 2 i utvaskingslaget hadde da også en rekke dateringer til SM2. Lag 1400 er en del av de stratigrafiske lagene som ble sendt inn til mikromorfologianalyser (se kap. 4.3.1).



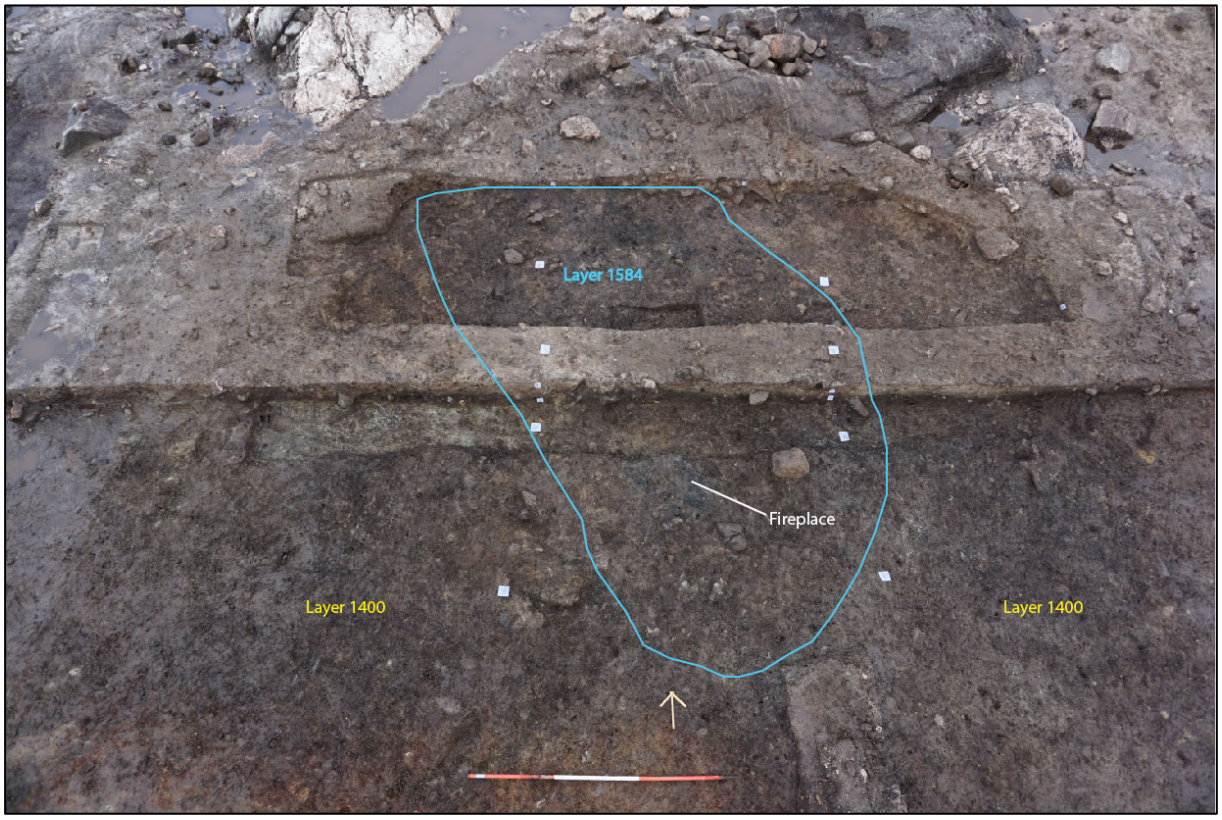
Figur 29. (Da62529_120) Lag 1400 markert med gult på foto. Tatt mot N. Foto: Karen Ø. Oftedal, NTNU Vitenskapsmuseet.

Lag 1584

1584 var et mørkt brungrått siltlag med fragmenter av trekull og noen større steiner, og fremstod som fett. Tykkelsen på laget var på ca. 3 cm. Det hadde en utbredelse på 3,8 x 3,2 m (ca. 8,9 m²), men har trolig hatt en større utstrekning innover mot berget. Relasjonene mellom lag 1400 og 1584 var noe diffuse, men slik det framsto i felt lå 1584 delvis i og over 1400. Det ble gravd en prøvesjakt gjennom laget, hvor profilen ble dokumentert gjennom foto

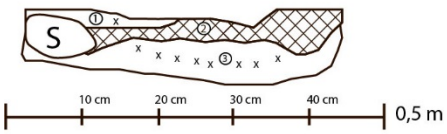
og tegning. Det ble også tatt ut dateringsprøver, og disse ble datert til sen mesolittisk tid (SM2).

Tolkning: Trolig er laget et kulturlag som er akkumulert på innsiden av en boligstruktur ettersom det er påvist innenfor et relativt begrenset område, og dette området ligger lavere enn den naturlige overflaten rundt. Kombinert med ildstedet som ligger sentralt i laget (se slutten av kapittel 3.1.3), er 1584 en sterk indikasjon på at dette er rester etter et grophus på lokaliteten. Prøver av laget ble sendt inn til mikromorfologisk analyse, og her ble det funnet fragmenter etter ubrent trevirke som trolig er rester etter et gulv eller en form for sammenrast boligkonstruksjon (se kapittel 4.3.1).



Figur 30. (Da62529_115) Foto av lag 1584 og deler av lag 1400. Tatt mot N. Foto: Signe Groot Terkelsen, NTNU Vitenskapsmuseet.

Profil av ildsted (1534)
Målestokk: 1:10
Fillan Trafo, Valen (98/1)
Hitra, Trøndelag
ØWS, 12.10.17
Snittet NØ-SV



① Brun fet kullholdig silt
② Tykt fett kullag (svart)
③ Brun sandholdig og kullholdig silt
x Trekull

Ildsted (ID 1534)

I tuftas sørlige side skilte en konsentrasjon av kull seg ut. Kullflekken var på 65 x 42 cm, 10 cm dyp og noe ujevn i plan. Enkelte steiner lå utenfor kullflekken, men ingen tydelig oppbygging ble påvist. Det var 3 tydelige lag i strukturen (se tegning). I strukturen ble det funnet en flekkekniv og en konisk kjerne (T27685:2422 og T27685:2421), og det ble tatt ut dateringsprøver. Strukturen ble tolket som et ildsted ettersom kullkonsentrasjonene var såpass konsentrerte og dype. Plasseringen i den mulige tufta/grophuset styrker også denne tolkningen. C14-prøvene viste en datering til senmesolittisk tid (SM2 og SM3).



Figur 31. Da62529_113 Ildsted (ID 1534). Tatt mot NØ. Foto: Eystein Østmo, NTNU Vitenskapsmuseet.

Lag 1476

Det ble påvist en flekk som framsto som en brungrå kullholdig sand og grusblanding over lag 1400. Laget var 0,8 x 1,2 m og ujevnt i form, med en tykkelse på ca. 2 cm. Strukturen ble snittet, men ikke undersøkt videre og framsto som en lagrest heller enn en nedgraving

ettersom det ikke var noe tydelig kutt og laget var relativt tynt. Det var imidlertid enkelte flintfunn i massene.

Tolkning: Laget er trolig en rest av noe som kan ha hatt sammenheng med boligflaten som ligger like øst for strukturen. Dateringen fra 1476 viste SM2, noe som styrker tolkningen om at laget har en sammenheng med resten av boplassflaten og grophuset.

Avskrevne strukturer

Under graving av de mekaniske lagene ble det også påvist to kullflekker, men disse ble avskrevet etter snitting fordi de fremsto som brente røtter ettersom kullet fortsatte under overflaten (ID: 865 og 1150). Andre strukturer som ble avskrevet var de mulige steinskodde stolpehullene som ble målt inn etter mekanisk lag 1. Disse stolpehullene hadde ingen fyllskifte etter stolpe og det var heller ikke noe system eller sammenheng mellom dem og/eller de øvrige strukturene og lagene.

4. Funnmateriale

Funnene fra lokaliteten ble gjennomgått og katalogisert av Eystein Østmo og Karen Ørbog Oftedal. I samråd med magasinforvalter Jenny Kalseth ble funnene lagt inn i rekkefølge basert på klassifiseringsnøkkelen i Gjenstandsbasen, bortsett fra at alle avslag og fragmenter ble lagt inn før flekker, ettersom disse fikk felles undernummer. Bortsett fra dette fulgte katalogiseringen stort sett denne klassifiseringen, som for øvrig steinaldernomenklaturen (2012) er basert på, men i en mer informativ og utfyllende variant. Materialet ble katalogisert på gjenstand, materialtype, form/størrelse, antall og plassering. Mikroavslag ble sortert ut etter samråd med prosjektets fagkonsulent Birgitte Skar, ettersom disse avslagene kunne gi en pekepinn på aktivitetsområder, og hvilke prosesser som foregikk hvor. Råstoffene er sortert i anbefalt rekkefølge: flint – kvarts – kvartsitt – bergkrystall – jaspis – bergart.

Eks: En pose for en kvadrant inneholder 4 avslag (3 flint og 1 bergkrystall), 5 mikroavslag (3 flint, 2 kvarts), 2 flekker (flint) og en bipolar kjerne.

1.	Avslag	3	flint
2.	Avslag	1	bergkrystall
3.	Avslag (mikro)	3	flint
4.	Avslag (mikro)	2	kvarts
5.	Flekke	1	flint
6.	Flekke	1	flint
7.	Bipolar kjerne	1	flint

I gjenstandsbasen ble det registrert om funnene var varmepåvirket eller vannrullet for å eventuelt påvise for eksempel ildsted, da en ansamling med varmepåvirkede funn kan gi en indikasjon på at et ildsted har ligget i nærheten. Dersom det er en stor andel vannrullet flint kan det gi en indikasjon på en oversvømt lokalitet, i forbindelse med transgresjon. Tabellen under viser antall vannrullet flint og varmepåvirket flint på lokaliteten i prosent utfra funnmengde i de ulike gravde lagene og overflatefunn (løsfunn og funn fra prøvestikk og strukturer er ikke med i denne beregningen).

Tabell 3. Oversikt over vannrullet flint og varmepåvirket flint.

	Lag 0 (overflatefunn)	**Lag 1**	**Lag 2**	**Lag 3**	**Lag 4**	**SUM**
Antall	1494	7241	1881	15	4	10635
Vannrullet	1 %	0,23 %	0,27 %	0 %	25 %	0,36 %
Varmepåvirket	14,46 %	15,11 %	15,52 %	20 %	0 %	16,46 %

Vannrulling

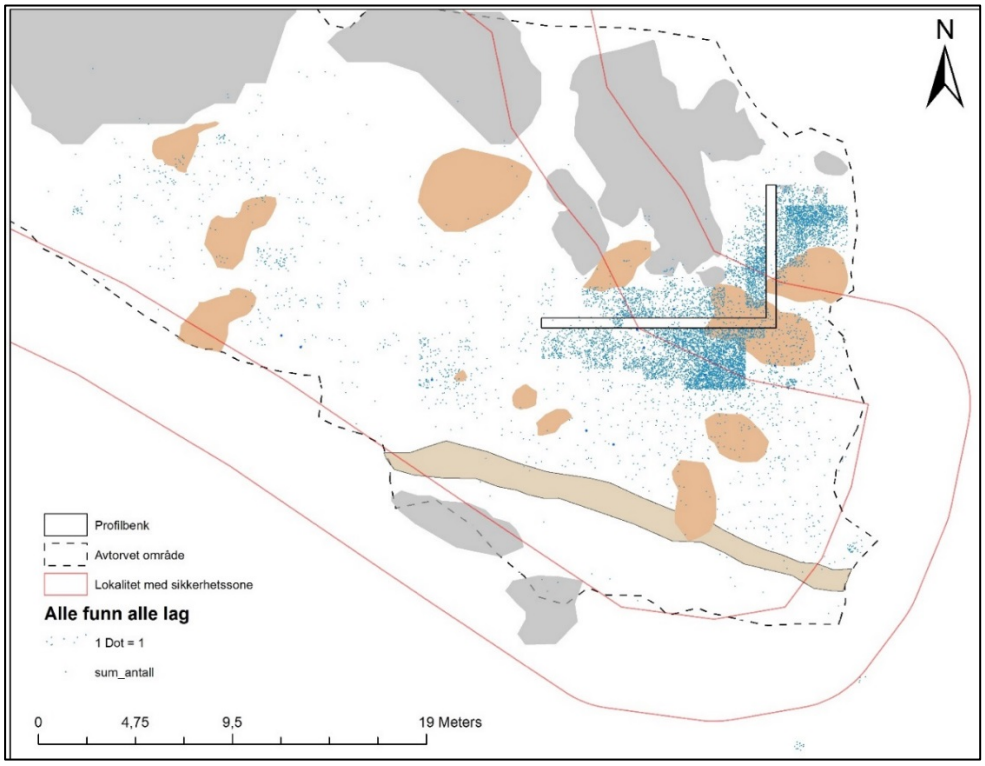
Bare 0,36 % av funnene på lokaliteten var vannrullet. En forklaring på dette kan være at lokaliteten ikke har blitt påvirket av transgresjon. Med utgangspunkt i strandlinjedateringen skal strandlinjen i SM2 og SM3 ha ligget på ca. 23-25 m, noe som vil si 5-7 m nedenfor boplassflaten. Den lave andelen med vannrullet materiale underbygger dette.

Varmepåvirkning

Det var 1751 funn som var varmepåvirket, det vil si 16,46 % av alle funn i lag 0-4. Det er forholdsvis høyt, men med tanke på at også overflatefunn (Lag 0) er med i totalen kan dette være en forklaring. I lag 0 (overflatefunnene) var det 14,46 % som var varmepåvirket, i lag 1 var det 15,11 % som var varmepåvirket. I lag 2 var det 15,52 % og i lag 3 var 20 % av funnene varmepåvirket. Det var derfor en relativ lik prosentdel med varmepåvirkning gjennom alle lagene, noe som kan tyde på at det ikke nødvendigvis har noe med lyngbrannen som er omtalt i kapittel 4.2.1. å gjøre. Se også spredningskart i kapittel 4.1.13 hvor spredningen av brent flint i plan blir omtalt.



Figur 32. (Da62529_052) Kristin Eriksen gjør klart til å fly drone over lokaliteten. Hvite funnposer markerer alle overflatefunn. Foto: Karen Ø. Oftedal, NTNU Vitenskapsmuseet.



Tabell 4. Oversikt over funnkonsentrasjon over hele lokaliteten, både gravde områder, overflatefunn og funn i prøvestikk. Hver blå prikk representerer et funn. Kart: Karen Ø. Oftedal, NTNU Vitenskapsmuseet.

4.1. Gjenstandsfunn

Det ble i alt gjort 11 585 funn på lokaliteten, lagt inn i Musit med T-nummer og undernummer fra T27685:1-2683. De 31 siste av disse under-numrene er prøvematerialer som ble gitt egne undernummer ved katalogisering, henholdsvis 25 trekullprøver (16 prøver med trekull og 9 brente hasselnøttskall) 1 okerprøve og 5 mikromorfologiprøver.

Da det var en del overflatefunn, ble disse lagt inn under ruten de tilhørte med eget undernummer og som lag 0 i de områder hvor vi ikke gravde på slutten av undersøkelsen. I de områder hvor vi gravde ruter ble overflatefunnene integrert i kvadranten de ble funnet innenfor. Løsfunn (det vil si funn fra bortgravde masser) er lagt inn under samlet kontekst «Løsfunn» i Musit.

Der hvor stubber ble fjernet manuelt og der det var rotvelt, ble alle funn innenfor dette området knyttet til strukturen, som da ble målt inn og fikk en egen intrasisid. Dette var for å unngå misvisende spredning på grunn av naturlige prosesser, som nevnt i kapittel 3.1.1. To prøvestikk ble gravd utenfor lokalitetsgrensen, og funn fra disse er lagt under hver sin kontekst med skilte bøttelag (BL1, 2, osv.) i stedet for i mekaniske lag.

Når det gjelder avslag ble bare mikroavslag skilt ut for å se om det kunne gi oss noen indikasjon på aktivitetsområder. Avslag med bruksspor ble også skilt ut, samt fragmenter.

Det ble funnet 11 554 funn på lokaliteten (prøver og hasselnøttskall ekskludert). Tabellen under viser en oversikt over funntyper og antall.

Tabell 5. Oversikt over gjenstandstyper og antall

Typer	Klassifiseringsbetegnelse	Antall
Flekker	Makroflekke	49
	Medioflekke	73
	Mikroflekke	172
Avslag	Mikroavslag	3062
	Mikroavslag med bruksspor	159
	Makroavslag med bruksspor	4
	Medioavslag med bruksspor	164
	Fragment	108
	Fragment med bruksspor	20
	Cortexflekke	7
Diagnostisk avslag	Flekkelignende avslag	72

	Eggoppskjerpingsavslag av skive/kjerneøks	1
	Konisk kjerne	4
Kjerne/Kjernefragment	Kjølformet kjerne	3
	Håndtakskjerne	1
	Ensidig kjerne	1
	Ensidig kjerne med en plattform	6
	Bipolar kjerne	314
	Ubestemt kjerne	9
	Ubestemt kjerne med en plattform	12
	Ubestemt kjerne med flere plattformer	10
	Kjernefragment	20
	Bipolart kjernefragment	94
	Plattformkjernefragment	6
	Overløpen flekke	5
	Ubestemt kjernefragment	3
	Ryggflekke	8
Prepareringsavslag	Ryggmedioflekke	3
	Ryggmikroflekke	1
	Plattformavslag	4
	Skiveformet plattformavslag	1
	Vingeformet plattformavslag	4
	Flekkefront	1
	Kjerneøks	1
Øks	Trinnøks	1
	Spissnakket trinnøks	1
	Trinnmeisel	1
Meisel	Annen skiferkniv	1
Kniv	Flekkekniv	1
	Skrå enderetusj	1
	Flekkekniv på brudd	1
	Annen flekkekniv	2
	Ubestemt bergartskniv	1
	Tangespiss med odd i proksimalenden	1
Pilspiss	Tangespiss med odd i distalenden	1
	Ubestemt tangespiss med kantretusj	1
	Borspiss	2
Borspiss	Borspiss på avslag	1
	Borspiss på kjerne/kjernefragment	2
	Borspiss på ryggflekke	1
	Endeskraper på avslag	7
Skraper	Flekkeskraper	1
	Ubestemt skraper	12
	Retusjert avslag	1

	Makroavslag med rett retusj	1
Retusjert avslag	Makroavslag med konkav retusj	4
	Retusjert medioavslag	7
	Medioavslag med rett retusj	9
	Medioavslag med konkav retusj	8
	Medioavslag med annen retusj	5
	Medioavslag med hjørneretusj	2
	Retusjert fragment	2
	Fragment med rett retusj	3
	Fragment med konkav retusj	1
	Fragment med annen retusj	2
Retusjert flekke	Retusjert medioflekke	2
	Medioflekke med rett enderetusj	2
	Medioflekke med annen retusj	4
Stikkel	Ubestemt stikkel	1
Slipeplate	Slipeplate	3
Knakkestein	Knakkestein	9
Slipestein	Slipestein	2
	Annen slipestein	3
Emne	Ubestemt slipt emne	1
Fragment	Slipt fragment	3
Stein	Stein	1
Hengesmykke	Annet hengesmykke	1
Brent leire	Brent leire	1
Knoll	Knoll	7
Annet ubearbeidet råstoff	Annet ubearbeidet råstoff	1

4.1.1. Flekker og flekkelignende avslag

Tabell 6. Oversikt over flekker, diagnostiske avslag og retusjerte flekker.

Flekke	**Flint**	**Kvarts**	**Kvartsitt**	**Bergkrystall**	**Antall**	**Sum**
Makroflekke	49				49	
Medioflekke	69		3	1	73	
Mikroflekke	161	1	2	8	172	294
Diagnostisk avslag					Antall	Sum
Cortexflekke	7				7	
Flekkelignende avslag	69	1	1	1	72	79
Retusjert flekke					Antall	Sum
retusjert medioflekke	8				8	8
SUM	**312**	**2**	**6**	**10**	**381**	

Flekkematerialet domineres av mikroflekker (totalt 172 stk), hvorav 93 flekker var hele. I tillegg var det en del fragmenter av flekker, og de det var flest av var proksimal+medial (31) deretter kom medial (13), proksimal (10), medial+distal (8) og distal (2). Mikroflekkematerialet inneholder også en del flekkefragmenter hvor det ikke var mulig å se hvilken del de var fra, og disse ble derfor lagt under fragment (15). Mikroflekker som gjenstandsgruppe er særlig knyttet til mellommesolitikum og senmesolitikum (Vitenskapsmuseet 2012). Dette stemmer også bra med dateringsresultatene fra lokaliteten på Fillan Trafo, Valen, som viser SM2 og SM3 (se 4.2.1).

Det var 73 medioflekker blant gjenstandsmaterialet hvorav 19 var hele flekker. De resterende medioflekkene var deler av flekker med distal (5), medial (14) og proksimal (11), samt medial+distal (6) og proksimal+medial (12).
Blant makroflekkene var det 49 totalt, og de var utelukkende i flint. Det var 6 hele makroflekker og flere deler av flekker som fordelte seg slik: Distal (6), medial (16) og proksimal (11). Noen av flekkene var både medial og distal (2) og enkelte av fragmenter var tydelig fra flekker, men uten at det var mulig å si fra hvilken del av flekken, og disse ble lagt inn som fragment (8 stk).

Det var 88 hele flekker av totalt 167, resten var deler av flekker. Det var 15 fragmenter det ikke var mulig å se hvilken del av flekken som var igjen, men utover disse ble det katalogisert distal (2), medial (13) og proksimal (10). Enkelte av flekkene besto av flere deler: Medial-distal (8) og proksimal+medial (31).

Av materialet dominerer flint, men det var også enkelte flekker i bergkrystall, da spesielt blant mikroflekkene.



Figur 33. (Da62529_144) Flekker, øverst fra venstre: T27685:2549, T27685:2199, T27685:2320, T27685:2473. Nederst, fra venstre: T27685:1190, T27685:1210, T27685:1290, T27685:1289. Foto: Åge Hojem, NTNU Vitenskapsmuseet.

4.1.2. Avslagsmateriale

Tabell 7. Oversikt over avslagsmateriale fra lokaliteten.

Kategori	Variant	Flint	Kvarts	Kvartsitt	Bergkrystall	Jaspis	Skifer	Bergart	Antall
Avslag	Avslag	6722	181	60	80	46	1	7	7097
	Mikroavslag	2861	37	8	50	16			2972
	Fragment	85	1	2	11	3			102
	Makroavslag med bruksspor	3						1	4
	Medioavslag med bruksspor	187							187
	Mikroavslag med bruksspor	157	1		3				161

	Fragment med bruksspor	18			1			1	20
Retusjert avslag	Retusjert makroavslag	5							5
	Retusjert medioavslag	32							32
	Retusjert fragment	8							8
Diagnostisk avslag	Ryggflekke	12							12
Prepareringsavslag	Plattformavslag	9							9
	Flekkefront	1							1
SUM									**10592**

Blant avslagene på lokaliteten dominerer flint som råstoff, deretter kvarts og bergkrystall. Mikroavslag ble sortert ut under katalogiseringen i håp om å finne aktivitetssoner på lokaliteten. På spredningskartene var det derimot ikke mulig å skille ut noen konsentrasjoner av denne gjenstandstypen.

Oversikten over avslagsmateriale viser av flere av avslagene hadde bruksspor, noe som tyder på at man også har sett nytten av «avfallsmateriale», og at det er en stor mengde uformelle redskaper i materialet som faller utenfor de former og kriterier vi bruker i redskapsdefinisjonene.

4.1.3. Kjerner og kjernefragment

Tabell 8. Oversikt over kjerner og kjernefragment

Kjerne	Flint	Kvarts	Kvartsitt	Bergkrystall	Jaspis	Bergart	Ant.	SUM
Kjølformet kjerne	3						3	359
Håndtakskjerne	1						1	
Bipolar kjerne	283	4	3	21	2		313	
Konisk kjerne	4						4	
Ensidig kjerne med en plattform	6			1			7	
Ubestemt kjerne	7	1		1			9	
Ubestemt kjerne med en plattform	10		1	1			12	
Ubestemt kjerne med flere plattformer	9			1			10	
Kjernefragment	**Flint**	**Kvarts**	**Kvartsitt**	**Bergkrystall**	**Jaspis**	**Bergart**		**SUM**
Kjernefragment	18			1	1		20	128
Bipolart kjernefragment	92	1		1			94	
Plattformkjernefragment	6						6	
Overløpen flekke	5						5	
Ubestemt kjernefragment	3						3	
SUM	447	6	4	25	3			485

Kjernematerialet domineres av bipolare kjerner og bipolare kjernefragment, noe som stemmer godt overens med dateringene til senmesolittisk tid. Det var også fire koniske kjerner i flint blant kjernematerialet, hvorav en av disse (T27685:1397) ble funnet i ildstedet på lokaliteten, og var kraftig varmepåvirket.

Et av kjernefragmentene var fra en konisk mikroflekkekjerne, hvor den siden som var bevart hadde minst 6 avspaltinger etter mikroflekker. Slike koniske mikroflekkekjerner er også typisk for perioden MM og SM.

Det er tydelig at flint har vært det mest anvendte råstoffet, men blant de bipolare kjernene var det også relativt mange i bergkrystall. To bipolare kjerner i jaspis var også blant gjenstands-funnene, og enkelte av avslagene så ut til å være i samme kvalitet.



Figur 34. (Da62529_145) Kjerner, øverst fra venstre: Kjølformet kjerne T27685:716, ensidig kjerne T27685:42, forarbeid til konisk kjerne T27685:1851. Nederst fra venstre: kjølformet kjerne T27685:2557, fragment av konisk kjerne (mikroflekker) og konisk kjerne (mikroflekker) T27685:1769. Foto: Åge Hojem, NTNU Vitenskapsmuseet.

4.1.4. Meisler og økser

Tabell 9. Meisel, øks og emne

Øks	**3**
Spissnakket trinnøks	1
Trinnøks	1
Kjerneøks	1
Meisel	**1**
Trinnmeisel	1
Emne	**1**
Ubestemt slipt emne	1

Det ble funnet to trinnøkser, hvorav T27685:1626 var tilhugget i sidene og hadde en tydelig slipt flate på hele den buede oversiden. Denne trinnøksen skilte seg fra den andre trinnøksen og meiselen (+det slipte emnet som også kunne være en meisel) ved å være betydelig lengre og smalere. Den andre trinnøksen (T27685:1431) var en spissnakket trinnøks av vestlandsk fasettslipt type. Denne ble beholdt i funnposen fra felt for å bevare eventuelle spor etter DNA, dersom senere undersøkelser skulle være aktuelt (ønske etter diskusjon med Heidi Mjelva Breivik og Jørgen Rosvold angående muligheter for å finne bevart DNA på redskaper), noe som også er nevnt i MUSIT. Begge disse trinnøksene kan tidfestes til mellommesolittisk og senmesolittisk tid.

Kjerneøksen i flint (T27685:2045) som ble funnet er noe usikker ettersom den også ligner på en kjerne, men avspaltningene ser mer ut til å være spor etter forming av et stykke heller enn for å produsere avslag, noe som styrker tolkningen av funnet som en kjerneøks. Ryggen på den ene siden er S-formet som på diskoskjerner. Kjerneøks som gjenstandstype er kjent fra tidligmesolittisk og mellommesolittisk tid, noe som kan tyde på et korttidsopphold i denne perioden på lokaliteten.

Meiselen i sandstein (T27685:1696) med ovalt tverrsnitt fremstår som svært erodert, med deler av den slipte overflaten bevart både på undersiden og oversiden ned mot eggen. Det er trolig en trinnmeisel som også er typisk for mellommesolittisk og senmesolittisk tid. Det ble også funnet et ubestemt slipt emne (T27685:1588) som kan være en meisel. Denne hadde samme størrelse, form og flater som meiselen i sandstein, men ettersom overflaten var erodert i så stor grad at det ikke var bevart noe overflate som var slipt, er den ikke katalogisert som meisel.



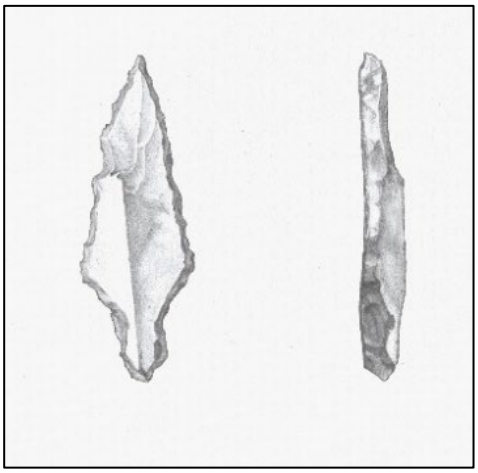
Figur 35. (Da62529_154) Økser, meisel og emne, fra venstre: T27685:1431 (spissnakket trinnøks), T27685:1626 (trinnøks), T27685:1696 (trinnmeisel), T27685:1588 (ubestemt slipt emne, mulig meisel) og T27685:2045 (kjerneøks). Foto: Åge Hojem, NTNU Vitenskapsmuseet.

4.1.5. Spisser



Figur 36. Foto Da62529_151. Pilspisser, fra venstre: T27685:2012 (ubestemt tangespiss), T27685:2423 (tangespiss med odd i distalenden) og T27685:718 (tangespiss med odd i proksimalenden). Foto: Åge Hojem, NTNU Vitenskapsmuseet.

Spisser	**3**
Ubestemt tangespiss	1
Tangespiss med odd i distalenden	1
Tangespiss med odd i proksimalenden	1
Borspiss	**6**
Borspiss på avslag	1
Borspiss på ryggflekke	1
Borspiss på kjerne/kjernefragment	2
Ubestemt borspiss	2



Figur 37. Tegning av T27685:2012. Katarzyna Rózanska.

Det ble totalt funnet tre pilspisser på lokaliteten, hvorav alle var ulike varianter av tangespisser. Spiss T27685:2012 er meget interessant da den ser ut til å være laget på en flekke som deretter er blitt patinert. Trolig har den ligget eksponert for sol og saltvann, for så å bli retusjert over alle sider for å gi den denne formen i senere tid. Det var ingen i felt som hadde sett noe lignende tidligere, og det ble derfor lagt ut bilde på Arkeologi i Norge for å se om det var noen som hadde noen innspill til hva dette kunne være. Vi fikk forslag om både tangespiss type A1 og bor. I MUSIT er den lagt inn som ubestemt tangespiss, mulig type A1, da trolig fra mellomneolittisk tid på grunn av den omfattende retusjeringen. På de to resterende spissene, T27685:2423 og T27685:718, kan det ha blitt brukt mikrostikkelteknikk, men dette er ikke tydelig nok, og kan derfor ikke konstateres.

Blant gjenstandsfunnene på på lokaliteten ble det funnet 6 borspisser, to av disse var borspisser på kjerne/kjernefragment. Borspissene fremsto som relativt varierte i form, og kan kan derfor ha hatt ulike funksjoner og bruks-områder innenfor borredskapets funksjon, for eksempel kan de ha vært brukt på ulike materialer.



Figur 38. (Da62529_149) Borspisser, øverst fra venstre: Borspiss på ryggflekke T27685:2019, borspiss på kjernefragment T27685:56, nederst fra venstre: T27685:543, borspiss på kjernefragment, borspiss på avslag T27685:1248. Foto: Åge Hojem, NTNU Vitenskapsmuseet.

4.1.6. Skrapere

Skraper	Flint	Bergart	Kvartsitt	Totalt: 20
Endeskraper på flekke	1			1
Endeskraper på avslag	5	1	1	7
Ubestemt skraper	12			12

Skraperne på lokaliteten viste et spredt register av forskjellige størrelser, og 8 av skraperne kunne katalogiseres som endeskrapere, henholdsvis 7 på avslag og 1 på flekke. Foruten om en skraper i kvartsitt og en i bergart, var resten i flint. To store runde steiner som var knekt i to ser også ut til å ha blitt brukt som en type skraper ettersom eggen har bruksspor på en av sidene og de ligger godt i hendene. Den ene er imidlertid katalogisert som fragment med bruksspor, da det ikke var tydelige spor etter retusj. Trolig har denne steinen hatt en lignende funksjon som en skaper.



Figur 39. (Da62529_147) Skrapere øverst fra venstre: ubestemt skraper T27685:2424, endeskraper på avslag T27685: 2257, ubestemt skraper T27685:2235. Nederst fra venstre: ubestemt skraper T27685:1163, endeskraper på avslag T27685:221, ubestemt skraper T27685:17 og endeskraper på avslag T27685:2579. Foto: Åge Hojem, NTNU Vitenskapsmuseet.



Figur 40. (Da62529_148) Skrapere fra venstre: endeskraper på avslag i kvartsitt T27685:2142 og ubestemt skraper T27685:2580. Foto: Åge Hojem, NTNU Vitenskapsmuseet.



Figur 41. (Da62529_156) Fra venstre: skraper i lokal bergart (T27685:2397) og T27685:2119 (har trolig også fungert som et redskap med lignende funksjon som en skraper). Foto: Åge Hojem, NTNU Vitenskapsmuseet.

4.1.7. Kniver

Kniv	7
Flekkekniv	5
Ubestemt bergartskniv (i to fragmenter)	1 (2)

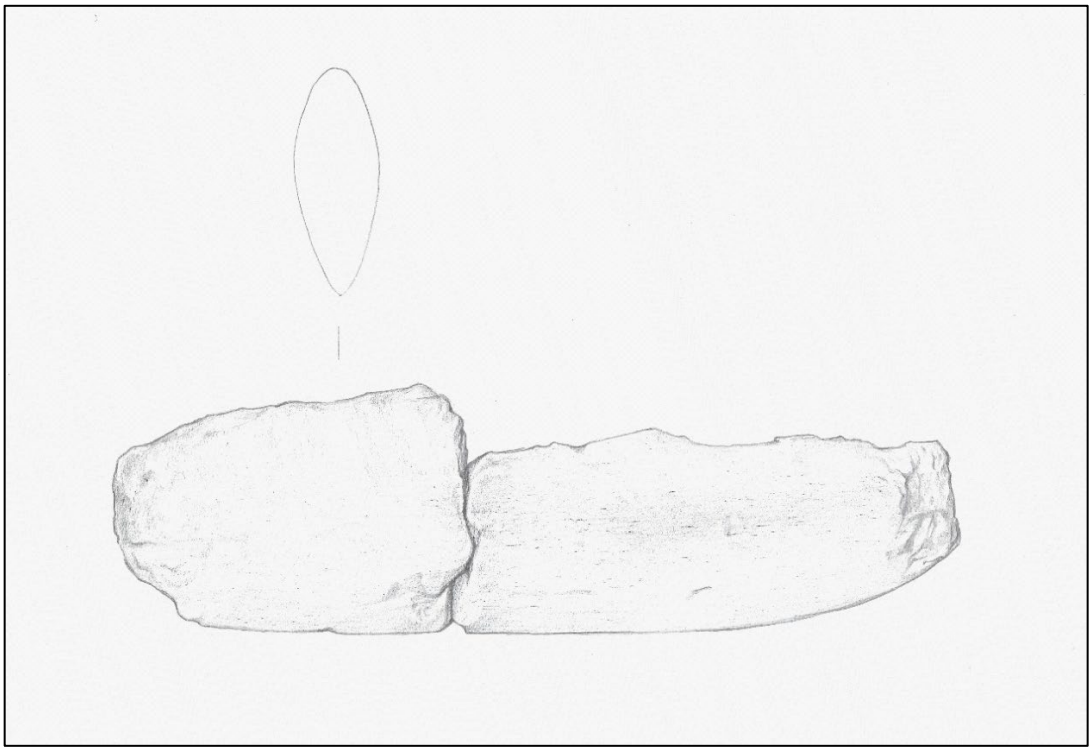
De fleste knivene som ble funnet var flekkekniver i ulike varianter, enkelte av disse hadde cortex der de andre var retusjerte, dette kan være et tegn på at de brukte faktorer som allerede lå i materialet for å gjøre kniven god å holde. Det er liten vits i å retusjere bort skarpe kanter der kniven skal holdes dersom denne kanten allerede består av avrundet cortex som gjør at den ligger godt i hånden.

Det ble også gjort funn av to fragmenter i en lys rosa sandstein med lyse gråbrune striper som kunne settes sammen til en kniv. Begge fragmentene var tilhugget i den ene siden, og slipt i den andre (eggen). Det kunne se ut til at de to fragmentene har tilhørt en kniv som har brukket. Deretter har odden blitt bearbeidet videre, og kniven er gjort noe smalere i bredden

ved hjelp av tilhugging. De to fragmentene ble også funnet relativt nært hverandre på lokaliteten. Begge fragmentene var overflatefunn som ble gjort utenfor selve hovedområdet hvor vi gravde i lag. En lignende type kniv er funnet på den senmesolittiske lokaliteten *Søndre Steghaugen (Lokalitet 68)* fra Ormen Lange-undersøkelsen på Nyhamna, Aukra (Bjerck et al. 2008:402, fig.3.523).



Figur 42. (Da62529_150) Flekkekniver fra venstre: T27685:2422, flekkekniv på brudd T27685:1452, T27685:1456, Flekkekniv med skrå enderetusj T27685:1839 og annen flekkekniv T27685:2578. Foto: Åge Hojem, NTNU Vitenskapsmuseet.



Figur 43. Tegning av slipt kniv i to fragmenter. Fra venstre: T27685:1855 og T27685:1856. Tegning: Katarzyna Rózanska, NTNU Vitenskapsmuseet.



Figur 44. (Da62592_046) Slipt kniv i rosa sandstein i to fragmenter. Fra venstre: T27685:1855 og T27685:1856. Foto: Karen Ø. Oftedal, NTNU Vitenskapsmuseet.

4.1.8. Stikkel

Stikkel	1
Ubestemt stikkel	1

Ubestemt stikkel på avslag med en avspaltning som har fjernet den skarpe eggen. Stikkelen er noe usikker ettersom den ikke har noen tydelige bruksspor. Stikkel som gjenstandsfunn er fra hele mesolitikum, men har en hovedvekt i tidlig mesolittisk tid.



Figur 45. Da62592_152. Stikkel (T27685:2780), ubestemt stikkel, noe usikker. Foto: Åge Hojem, NTNU Vitenskapsmuseet.

4.1.9. Knakkesteiner

Det ble funnet 9 knakkesteiner på lokaliteten, hvorav 7 var i bergart og 2 var i kvartsitt. T27685:845, som var en relativt liten og rund knakkestein i kvartsitt, skilte seg ut fra de andre ved å se ut til å være svært godt brukt, der overflaten ser både slipt (kan være vannrulling som har gjort den så glatt) og polert ut. Den glatte overflaten blir brutt av flere knusespor, både i endene og over store deler av overflaten. Parallelt med undersøkelsen på Fillan trafo ble det også gjennomført en utgraving av NTNU Vitenskapsmuseet på Hitra Helsetun hvor det ble funnet en påfallende lik knakkestein (T27682:2230) (Spjelkavik og Henriksen 2018:54).

4.1.10. Slipeplater og slipesteiner

På lokaliteten ble det funnet 3 slipeplater (T27685:2590, 1857 og 741), hvorav to var i bergart og fremsto som svært like, og en i sandstein. Alle slipeplatene hadde en tydelig forsenkning i midten, og det kan se ut til at de opprinnelig har vært større. Det er godt mulig at disse slipeplatene har blitt brukt til å slipe en eller flere av trinnøksene vi fant på lokaliteten. En mulighet kan også være at oker ble kvernet eller bearbeidet på slipeplatene. Vi kunne imidlertid ikke se spor etter dette på slipeplatene vi fant.



Figur 46. (Da62529_155) Slipeplater, fra venstre: T27685:741 og T27685:1857. Foto: Åge Hojem, NTNU Vitenskapsmuseet.

4.1.11. Andre funn

Tabell 10. Oversikt over øvrige funn

Gjenstand	Antall
Slipt fragment	3
Stein	1
Annet hengesmykke	1
Brent leire	1
Knoll	7
Annet ubearbeidet råstoff	1
Sum	15

Ett av gjenstandsfunnene på Fillan Trafo/Valen var et hengesmykke i mulig leirskifer. Smykket hadde en bruddflate i den ene siden, men var fasettslipt med fem tydelige slipte sider og en mulig sjette side i gjenstandens lengderetning. På Unimus er det en svært lik gjenstand (T15494) som også er funnet på Fillan, Hitra under veiarbeid på Ansnes, men den har tydeligere spor etter innhakk i sidene for feste av snor. Det var sammenligningen med denne gjenstanden som gjorde at også T27685:1368 ble tolket som et hengesmykke.

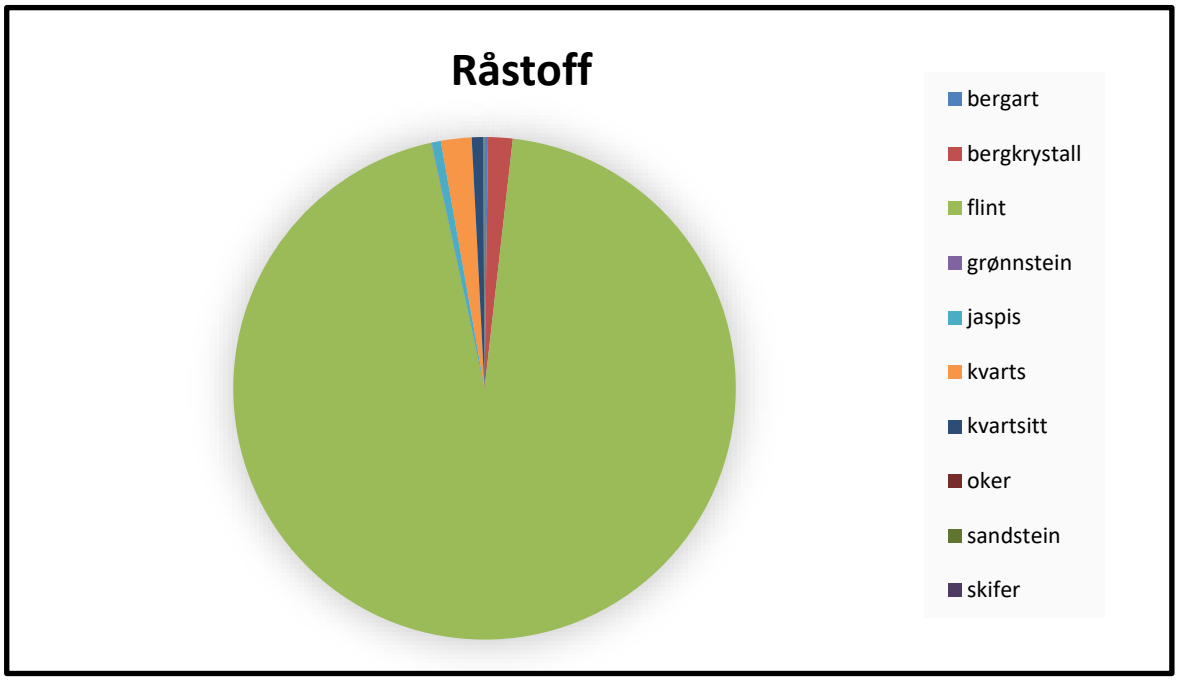


Figur 47. (Da62529_153) Hengesmykke: T27685:1368 (hengesmykke i skifer). Foto: Åge Hojem, NTNU Vitenskapsmuseet.

4.1.12. Råstoff

Tabell 11. Råstoffordeling ved lokaliteten

Råstoff	Antall	Prosent
Bergart	26	0,23 %
Bergkrystall	182	1,58 %
Flint	10953	94,79 %
Grønnstein	3	0,03 %
Jaspis	68	0,59 %
Kvarts	228	1,97 %
Kvartsitt	84	0,73 %
Leire	1	0,01 %
Oker	1	0,01 %
Sandstein	7	0,06 %
Skifer	2	0,02 %
SUM	11555	100 %



I tabellen er det bare gjort rede for råstoff, hvor prøvemateriale som for eksempel kull og hasselnøttskall er utelatt. Flint var klart det mest dominerende råstoffet på lokaliteten med hele 10953 funn, som utgjorde 94,79 % av alt råstoff innenfor lokaliteten. Det var ellers en del kvarts (228), bergkrystall (182) og noe kvartsitt (84) og jaspis (68).

Det ble funnet en del jaspis av ulik kvalitet under undersøkelsen. En tendens var at jaspisen med grovere kvalitet virket som den var naturlig på lokaliteten, da den fremsto som

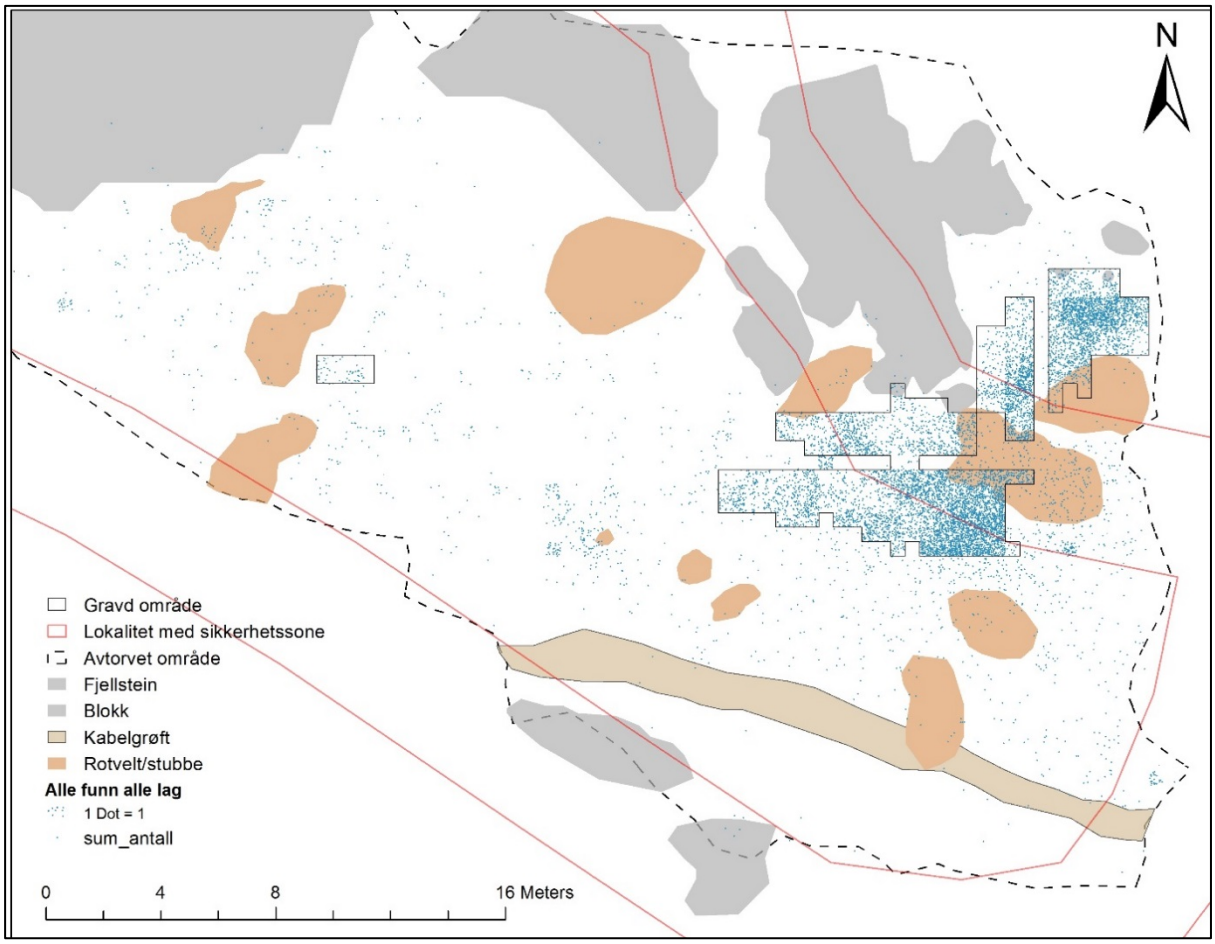
ubearbeidet og vannrullet. Fra lokaliteten på Hitra Helsetun ble det også gjort funn av jaspis (Spjelkavik og Henriksen 2018), så det er mulig at jaspis har forekommet naturlig i strandkanten i områder på Hitra. Jaspis av finere kvalitet (mer finkornet) ser imidlertid ut til å ha blitt bearbeidet, da vi fant både avslag og kjerner i denne kvaliteten. En mulighet er at det vi har tolket som jaspis av fin kvalitet kan være en type flint som er rød og oransjefarget, og at jaspisen er noe mer rosarød i fargen. Dette må det eventuelt forskes videre på, blant annet ved å undersøke jaspisbrudd i nærheten i Midt-Norge for å se etter likheter i kvalitet.

En kompakt klump med oker ble funnet i utkastsonen, like sørøst for tufta. Dette var en kompakt bit på 2,8 x 2,7 cm. Det er godt mulig at det er tatt i bruk bindemiddel (for eksempel animalsk fett) sammen med pigmentet for å holde den sammen, noe som det er muligheter for å etterprøve ved et eventuelt forskningsprosjekt av materiale fra Fillan trafostasjon/Valen (okeren er derfor lagt inn under «prøve» i Musit). En fordel med å bruke bindemiddel i oker kan være at den er lettere å ha med seg dersom den har en fastere form og deretter kvernes opp ved bruk. En annen mulighet er at okeren har fungert mer som en «tegnestift» (Watts, 2002:3).

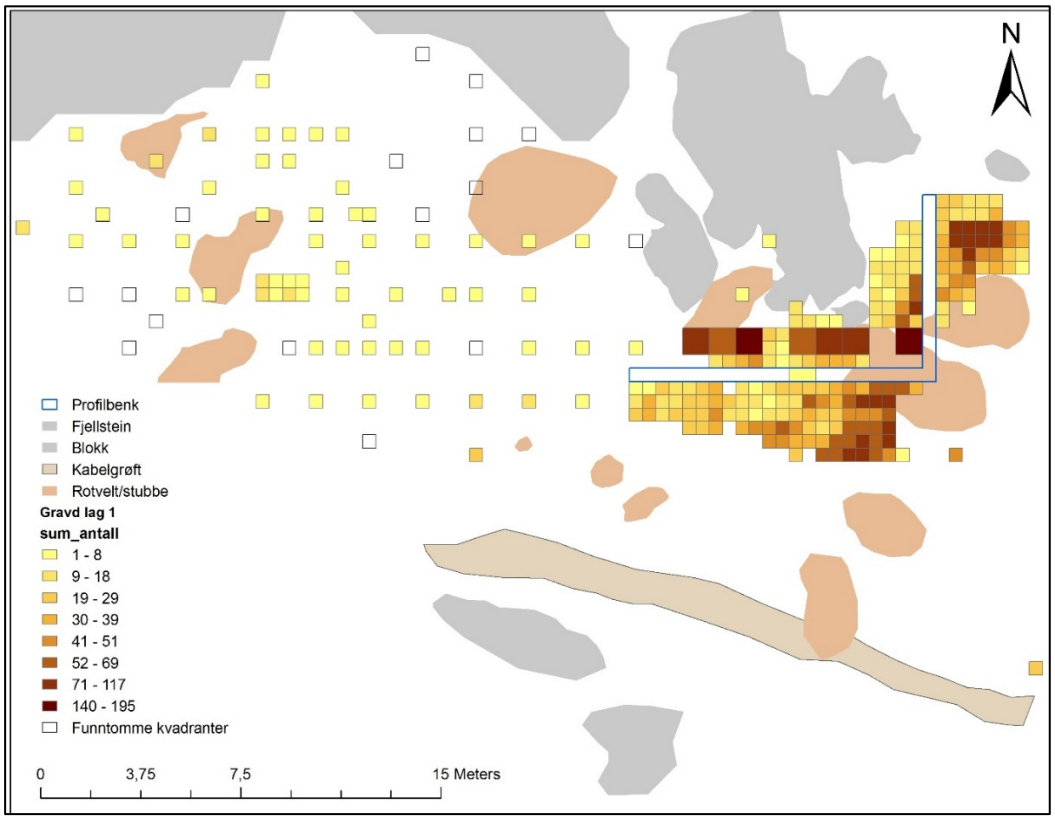


Figur 48. (Da62529_146) Bipolare kjerner i ulike typer råstoff. Fra venstre i kvartsitt T27685:1541, bergkrystall T27685:2059 og i jaspis T27685:2046. Foto: Åge Hojem, NTNU Vitenskapsmuseet.

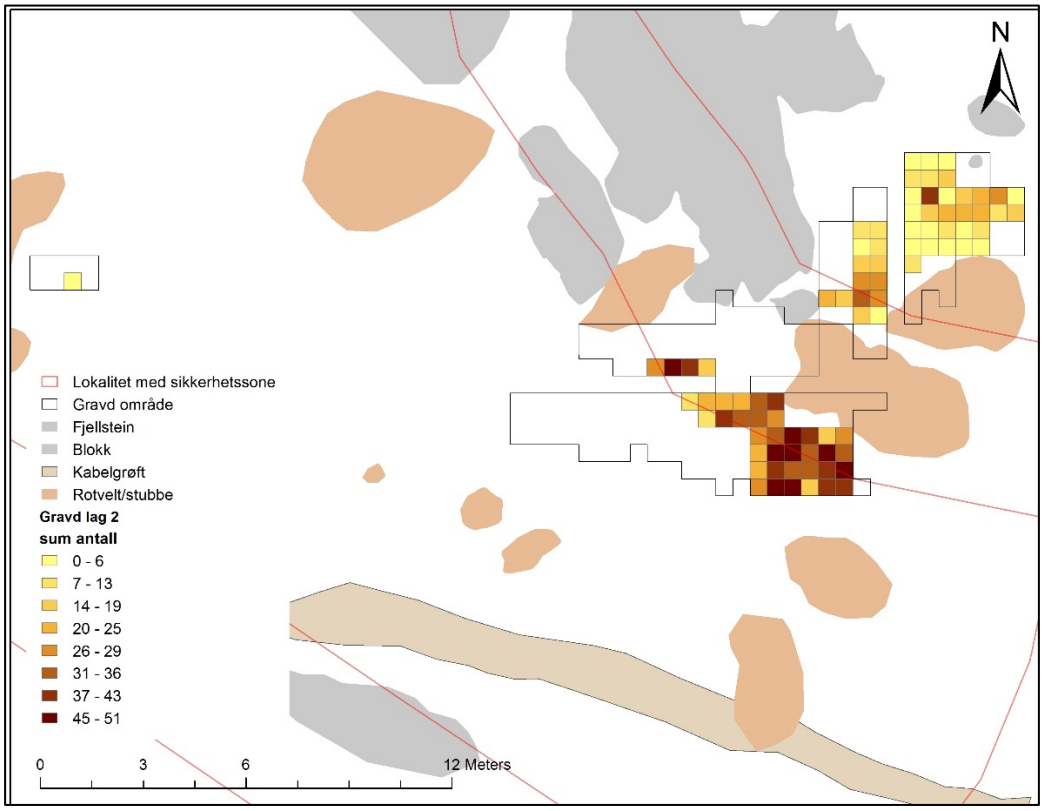
4.1.13. Funnspredning



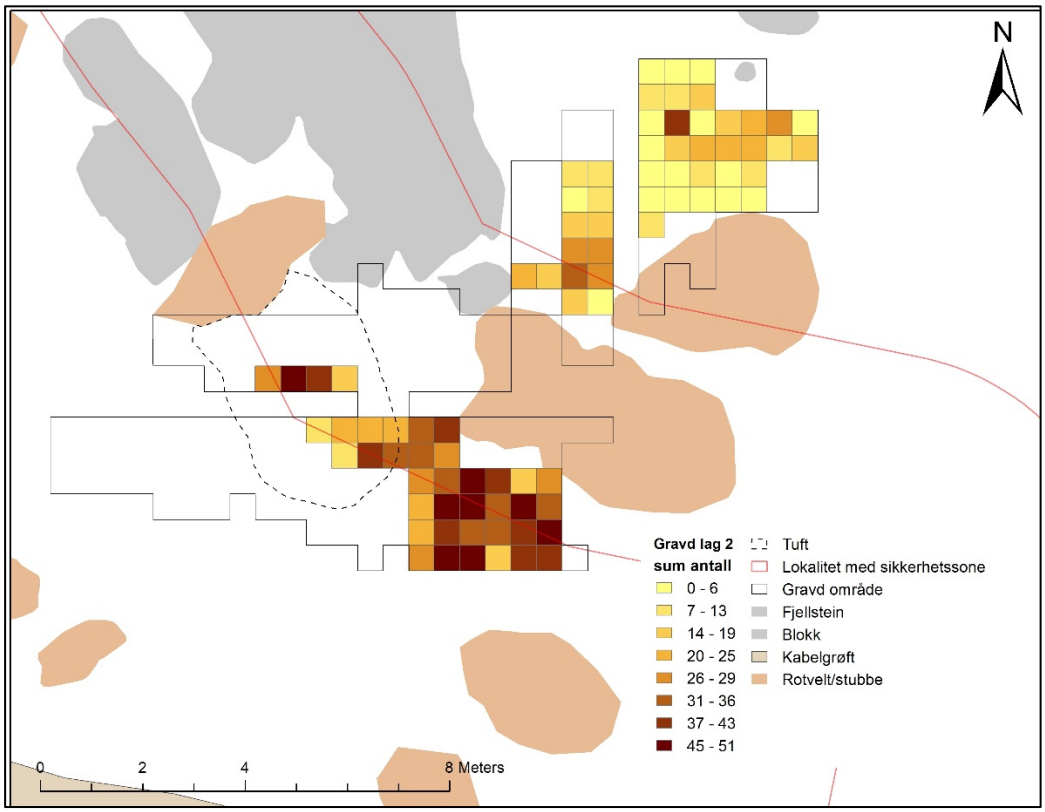
Figur 49. Oversikt over alle funn på lokaliteten, 1 prikk = 1 funn. Kart: Karen Ø. Oftedal, NTNU Vitenskapsmuseet.



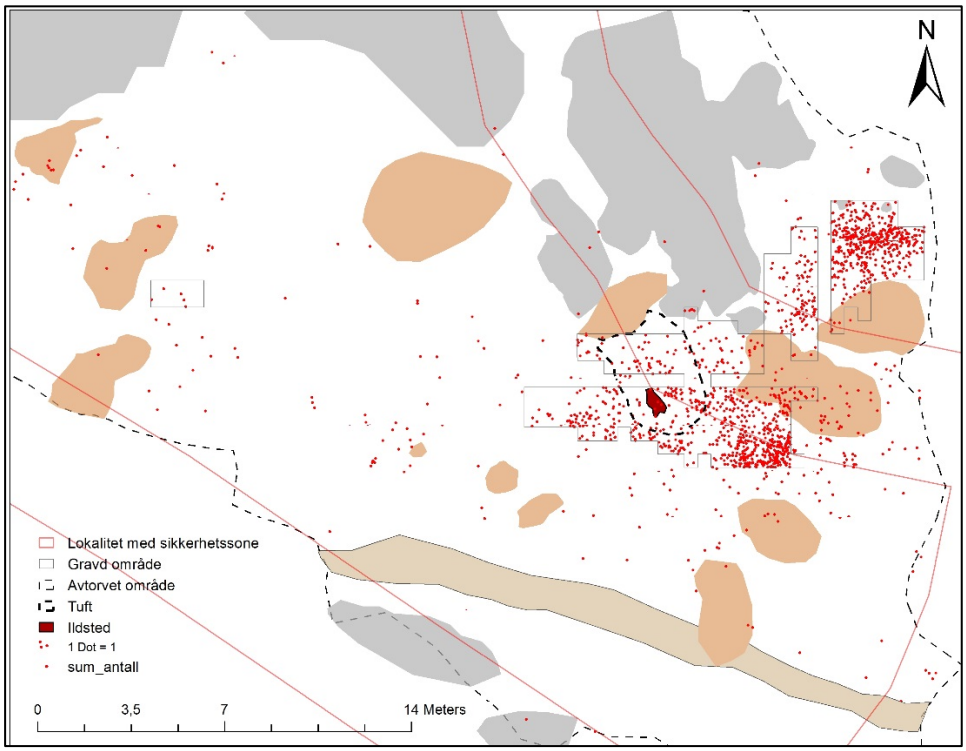
Figur 50. Alle funn, mek. lag. 1. Kart: Karen Ø. Oftedal, NTNU Vitenskapsmuseet.



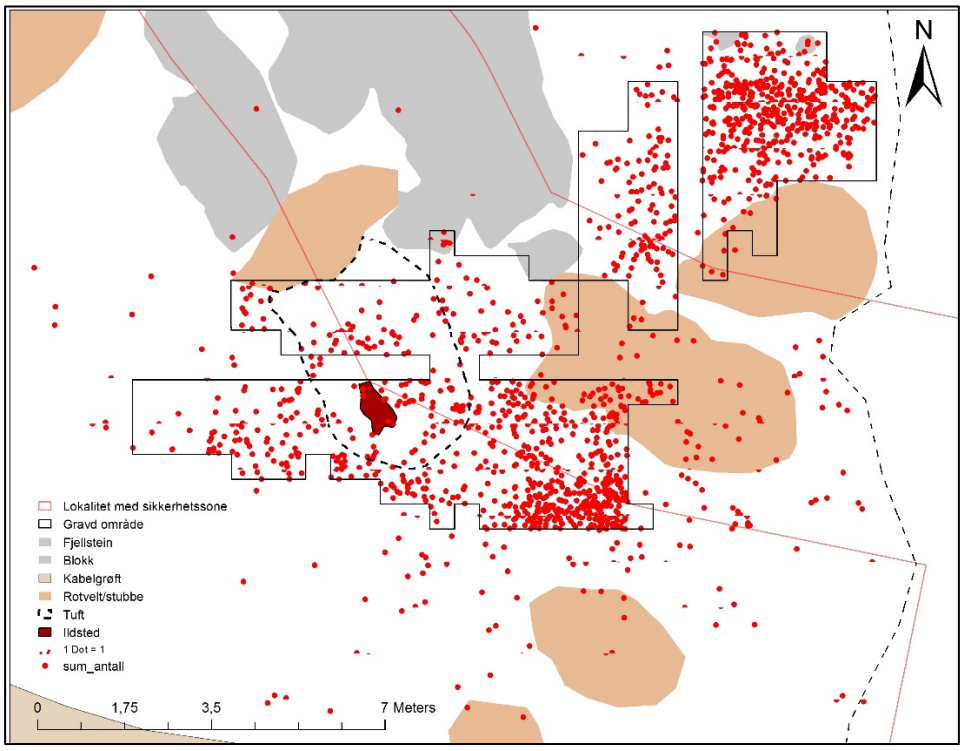
Figur 51. Alle funn, mek. lag 2. Kart: Karen Ø. Oftedal, NTNU Vitenskapsmuseet.



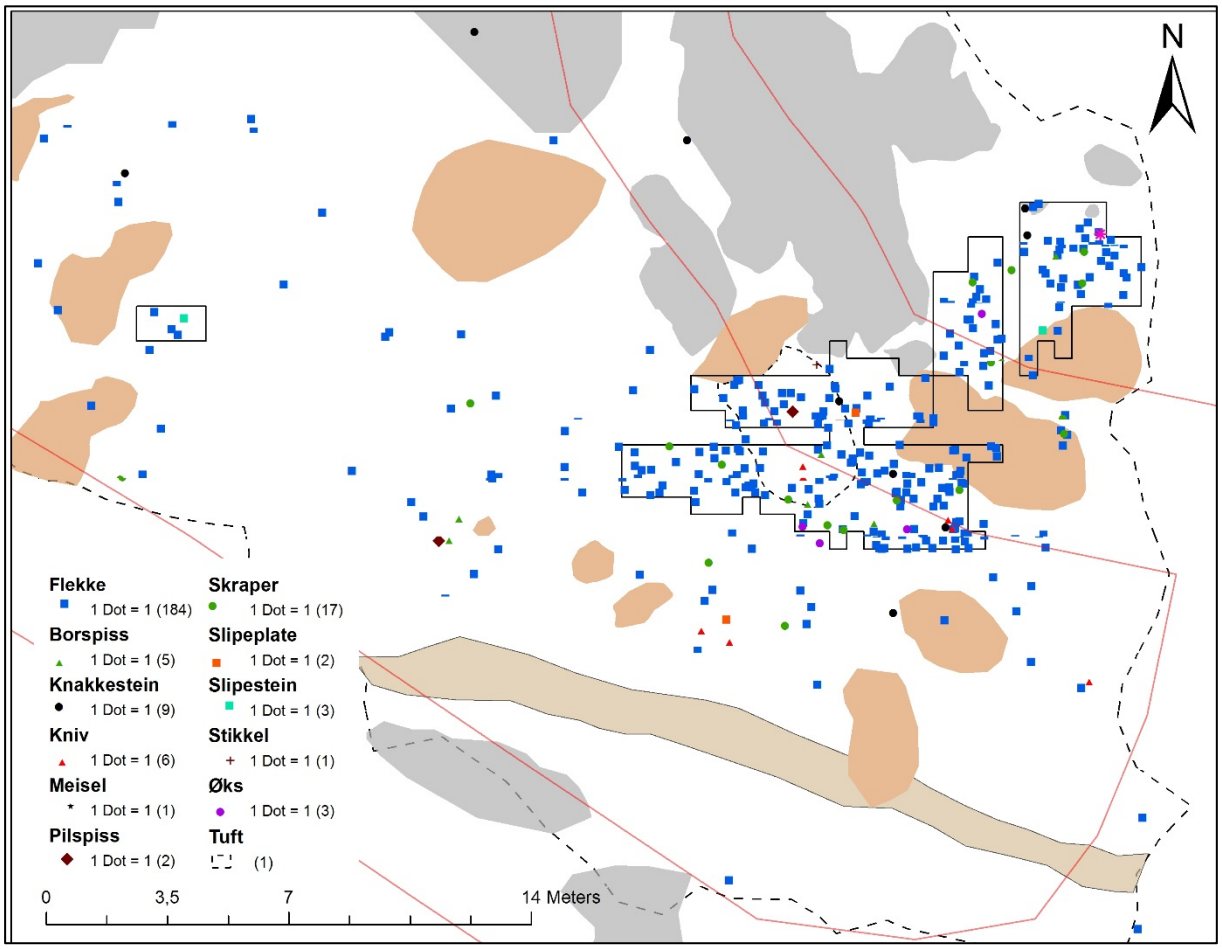
Figur 52. Mek. lag. 2, område 1 og 2 med inntegnet tuft. Kart: Karen Ø. Oftedal, NTNU Vitenskapsmuseet.



Figur 53. Oversikt over alle varmepåvirkede funn, alle lag. 1 rød prikk markerer ett varmepåvirket funn. Kart: Karen Ø. Oftedal, NTNU Vitenskapsmuseet.



Figur 54. Spredning av varmepåvirkede funn, område 1 og 2. En rød prikk markerer et varmepåvirket funn. Kart: Karen Ø. Oftedal, NTNU Vitenskapsmuseet.



Figur 55. Spredning av ulike gjenstandstyper på lokaliteten. Kart: Karen Ø. Oftedal, NTNU Vitenskapsmuseet.

Funnfordelingen viser tydelig to funnkonsentrasjoner i område 1 og 2. I område 1, spesielt like sørøst for tufta, er det en ansamling med funn, noe som støtter tolkningen av dette området som en utkastsone, nå også med mulig sammenheng med boligstrukturen. Ansamlingen med funn ligger skjermet inn mot berget hvor bakken heller svakt før det blir relativt bratt. Trolig har strandlinjen ligget lengre ned i dette bratte partiet, og flaten hvor grophuset har ligget har blitt ryddet ut mot delen av flaten hvor terrenget heller mer (utkastsonen). Under flateavdekking med maskin ble det heller ikke funnet noen strukturer etter bolig under det funnrike laget i utkastsonen. Denne flaten ville heller ikke vært ideell ettersom den er relativt bratt. Tolkningen om at funnene har blitt «ryddet» hit fra flaten rundt og i tufta er det derfor godt belegg for.

Når det gjelder varmepåvirkede funn, er det ikke noe spesielt som skiller seg ut når det gjelder spredningen på feltet. Funnene ser ut til å følge den øvrige funnmengden, og det er derfor noe mer varmepåvirkede funn i utkastsonen og i område 2.

Tre av øksene er funnet relativt konsentrert, like sør for tufta, noe som kan tyde på at de har sammenheng med et lengre opphold på lokaliteten i forbindelse med grophuset. Den siste øksen ble funnet i område 2.

Et interessant aspekt ved skraperne som ble funnet på lokaliteten var at de var spredt jevnt over blant annet område 1, men det var ingen skrapere på flaten hvor grophuset ble påvist. Dette kan tyde på at bearbeiding av skinn og huder foregikk utenfor boligen under gode lysforhold.

Avslag er ikke med på spredningskartet, men var generelt likt fordelt med funnspredningen på lokaliteten. Det ser imidlertid ut til at de fleste redskaper er funnet på den østlige delen av lokaliteten. Det er også her det ble gravd mest, men tendensen ser ut til å fortsette også utenfor markeringen for «gravd område» basert på overflatefunn, noe som underbygger tolkningen om at dette er den delen av flaten som har vært ansett som best egnet som bosted under senmesolitikum.

4.2. Dateringer

4.2.1. C14-dateringer

Det ble sendt inn totalt 25 prøver til C14 datering. Alle 25 prøver ble sendt inn til Nasjonallaboratoriet for datering, NTNU Vitenskapsmuseet i Trondheim. Nasjonallaboratoriet har brukt siste versjon av OxCal og kurven IntCal13 ved kalibreringen (OxCal v4.2.4 Bronk Ramsey (2013); IntCal13 atmospheric curve (Reimer et al 2013)). Tabellen nedenfor gir uttrykk for prøvenes kontekst, midlertidige og endelige funnummer (Tnr.), Nasjonal-laboratoriets referansenummer og dateringer.

I hovedsak ble det sendt inn prøver av trekull og hasselnøttskall fra de mekanisk gravde lagene, samt fra lag og strukturer knyttet til tufta. Det ble også sendt inn en datering fra et tynt kullag i bunn av torva som lå over hele lokaliteten. Trolig er dette kullaget et resultat av en lyngbrann fra nyere tid.

Resultatene viste at med unntak av noen få dateringer var det en tydelig hovedvekt i perioden SM2 og noe i SM3. Hele 19 av 25 prøver ble datert til SM2, 2 til SM3 og 1 til overgangen mellom SM2-3. De øvrige 3 dateringsprøvene er fra område 3, og ble datert til

førromersk jernalder og romertid (lyngbrann under dagens torv), yngre bronsealder og tidligneolittisk tid.

Tabell 12. Oversikt over alle analyserte dateringsprøver.

Undernr.	Lab.ref.	IntrasisId	Kontekst	Materiale	Lab
T27685:2598	TRa-12919	863	101x115y NØ (mek.lag 2, omr.1)	Trekull	Nasjonallab., NTNU
T27685:2599	TRa-12920	864	102x113y SV (mek.lag 2, omr.1)	Trekull	Nasjonallab., NTNU
T27685:2600	TRa-12921	1143	102X112Y SØ (mek.lag 2, omr.1)	Trekull	Nasjonallab., NTNU
T27685:2601	TRa-12922	1147	Lag 1 i voll (787)	Trekull	Nasjonallab., NTNU
T27685:2602	TRa-12923	1148	Lag 2 i voll (787)	Trekull	Nasjonallab., NTNU
T27685:2603	TRa-12924	1149	Lag 3 i voll (787)	Trekull	Nasjonallab., NTNU
T27685:2604	TRa-12925	1396	Fra ildsted 1534 (område 1)	Trekull	Nasjonallab., NTNU
T27685:2605	TRa-12926	1475	Lag 1400 (kulturlag)	Trekull	Nasjonallab., NTNU
T27685:2606	TRa-12927	1502	Sand og kullflekk (1476)	Trekull	Nasjonallab., NTNU
T27685:2607	TRa-12928	1530	Område 1, lag 1400 (kulturlag, topp)	Trekull	Nasjonallab., NTNU
T27685:2608	TRa-12929	1531	Område 1, lag 1400 (kulturlag, bunn)	Trekull	Nasjonallab., NTNU
T27685:2609	TRa-12930	1532	Brannlag i bunn av torv	Trekull	Nasjonallab., NTNU
T27685:2610	TRa-12931	1577	108x117y SV, mek.lag 2	Trekull	Nasjonallab., NTNU
T27685:2611	TRa-12932	1581	Område 3, mek.lag 2	Trekull	Nasjonallab., NTNU
T27685:2612	TRa-12933	1693	Fett kullag fra tuft (1584)	Trekull	Nasjonallab., NTNU
T27685:2613	TRa-12934	1694	Fra ildsted i tuft (1534)	Trekull	Nasjonallab., NTNU
T27685:2614	TRa-12935	200118	Område 1 (100x112yNV, mek.lag 1)	Hasselnøtt	Nasjonallab., NTNU
T27685:2615	TRa-12936	200128	Område 1 (101x110ySV, lag 1400)	Hasselnøtt	Nasjonallab., NTNU
T27685:2616	TRa-12937	200136	Område 2 (106x118yNV, mek.lag 2)	Hasselnøtt	Nasjonallab., NTNU
T27685:2617	TRa-12938	200144	Område 1 (100x115yNØ, mek.lag 2)	Hasselnøtt	Nasjonallab., NTNU
T27685:2618	TRa-12939	200147	Område 1 (101x115ySV, mek.lag 2)	Hasselnøtt	Nasjonallab., NTNU
T27685:2619	TRa-12940	200148	Område 1 (102x113ySØ, mek.lag 2)	Hasselnøtt	Nasjonallab., NTNU
T27685:2620	TRa-12941	200150	Område 1 (103x110yNØ, mek.lag 2)	Hasselnøtt	Nasjonallab., NTNU

T27685:2621	TRa-12942	200151	Område 1 (103x111yNV, mek.lag 2)	Hasselnøtt	Nasjonallab., NTNU
T27685:2622	TRa-12943	200152	Område 2 (106x116yNØ, mek.lag 2)	Hasselnøtt	Nasjonallab., NTNU

Tabell 13. Periodebetegnelse etter Bjerck et al. 2008.

Periodebetegnelser			Kalibrert alder BC/AD		Varighet (år)		Ukalibrert 14C-alder BP		Varighet (14C-år)	
Mesolittisk tid Eldre steinalder (ESA)	Tidligmesolittisk tid (TM)	TM1	9500	9000	500	1500	10020	9590	430	1120
		TM2	9000	8500	500		9590	9270	320	
		TM3	8500	8000	500		9270	8900	370	
	Mellommesolittisk tid (MM)	MM1	8000	7500	500	1500	8900	8400	500	1210
		MM2	7500	7000	500		8400	7970	430	
		MM3	7000	6500	500		7970	7690	280	
	Senmesolittisk tid (SM)	SM1	6500	6000	500	2500	7690	7110	580	2460
		SM2	6000	5500	500		7110	6560	550	
		SM3	5500	5000	500		6560	6090	470	
		SM4	5000	4500	500		6090	5680	410	
		SM5	4500	4000	500		5680	5230	450	
Neolittisk tid Yngre steinalder (YSA)	Tidligneolittisk tid (TN)	TN	4000	3300	700	2200	5230	4700	530	1730
	Mellomneolittisk tid (MN)	MNa	3300	2600	700		4700	4100	600	
		MNb	2600	2300	300		4100	3800	300	
	Senneolittisk tid (SN)	SN	2300	1800	500		3800	3500	300	
Bronsealder (BA)	Eldre bronsealder	EBA	1800	1200	600	1300	3500	2900	600	1060
	Yngre bronsealder	YBA	1200	500	700		2900	2440	460	
Eldre jernalder (EJA)	Førromersk jernalder	FRJA	500	0	500	1070	2440	2010	430	
	Romertid (RT)	YRT ERT	0 200	200 400	400		2010	1680	330	940
	Folkevandringstid	FVT	400	570	170		1680	1500	180	
Yngre jernalder (YJA)	Merovingertid	MVT	570	780	210	460	1500	1210	290	500
	Vikingtid	VT	780	1030	250		1210	1000	210	
Historisk tid	Middelalder	MA	1030	1536	506					
	Nyere tid	NT	1536	I dag	470					

Tabell 14. Dateringsresultater og vedartsbestemmelser fra lokaliteten.

Lab.ref.	IntrasisId	Kontekst	Materiale	Kalibrert alder BC/AD (1 og 2 σ)	14C Alder BP
TRa-12919	863	'101x115y NØ (mek.lag 2, omr.1)	Trekull. 1 fragment bark.,AAA-rest	68.2% sannsynlighet 5896BC (60.7%) 5835BC 5825BC (7.5%) 5812BC 95.4% sannsynlighet 5974BC (6.0%) 5952BC 5917BC (89.4%) 5777BC	6975 +24/-24
TRa-12920	864	'102x113y SV (mek.lag 2, omr.1)	Trekull. 2 fragments Betula sp.,AAA-rest	68.2% sannsynlighet 5882BC (68.2%) 5804BC 95.4% sannsynlighet 5900BC (95.4%) 5751BC	6958 +24/-24
TRa-12921	1143	'102X112Y SØ (mek.lag 2, omr.1)	Trekull. Seeds.,AAA-rest	68.2% sannsynlighet 5844BC (68.2%) 5770BC 95.4% sannsynlighet 5880BC (95.4%) 5746BC	6938 +22/-22

Lab.ref.	IntrasisId	Kontekst	Materiale	Kalibrert alder BC/AD (1 og 2 σ)	14C Alder BP
TRa-12922	1147	'Lag 1 i voll (787)	Trekull. 1 fragment Betula sp. 3 fragmenter Corylus sp. 4 fragmenter dicotyledon., AAA-rest	68.2% sannsynlighet 1115BC (68.2%) 1055BC 95.4% sannsynlighet 1189BC (1.9%) 1180BC 1155BC (1.3%) 1148BC 1129BC (92.2%) 1017BC	2904 +14/-14
TRa-12923	1148	'Lag 2 i voll (787)	Trekull. 1 fragment nøtteskall.,AAA-rest	68.2% sannsynlighet 5834BC (7.9%) 5826BC 5811BC (60.3%) 5754BC 95.4% sannsynlighet 5844BC (95.4%) 5738BC	6921 +18/-18
TRa-12924	1149	'Lag 3 i voll (787)	Trekull. 2 fragmenter Salix/Populus sp. 1 fragment Sorbus sp.,AAA-rest	68.2% sannsynlighet 5615BC (37.9%) 5585BC 5570BC (30.3%) 5544BC 95.4% sannsynlighet 5620BC (95.4%) 5527BC	6630 +19/-18
TRa-12925	1396	'Fra ildsted 1534 (område 1)	Trekull. nøtteskall.,AAA-rest	68.2% sannsynlighet 5774BC (68.2%) 5722BC 95.4% sannsynlighet 5837BC (2.6%) 5822BC 5815BC (92.8%) 5711BC	6873 +25/-25
TRa-12926	1475	'Lag 1400 (kulturlag)	Trekull. 1 fragment Coylus sp. 1 fragment Betula sp.,AAA-rest	68.2% sannsynlighet 5835BC (9.1%) 5825BC 5812BC (59.1%) 5751BC 95.4% sannsynlighet 5871BC (1.4%) 5863BC 5846BC (94.0%) 5733BC	6920 +23/-22
TRa-12927	1502	'Sand og kullflekk (1476)	Trekull. 1 fragment Salix/Populus sp. 1 fragment Betula sp. 1 fragment dicotyleonh., AAA-rest	68.2% sannsynlighet 5710BC (68.2%) 5666BC 95.4% sannsynlighet 5721BC (95.4%) 5645BC	6789 +18/-18
TRa-12928	1530	'Område 1, lag 1400 (kulturlag, topp)	Trekull. nøtteskalls., AAA-rest	68.2% sannsynlighet 5876BC (13.2%) 5857BC 5850BC (55.0%) 5786BC 95.4% sannsynlighet 5891BC (95.4%) 5750BC	6949 +24/-24
TRa-12929	1531	'Område 1, lag 1400 (kulturlag, bunn)	Trekull. nøtteskalls., AAA-rest	68.2% sannsynlighet 5728BC (44.1%) 5702BC 5693BC (24.1%) 5675BC 95.4% sannsynlighet 5736BC (95.4%) 5664BC	6821 +21/-21
TRa-12930	1532	'Brannlag i bunn av torv	Trekull. Bark.,AAA-rest	68.2% sannsynlighet 91BC (15.5%) 70BC 61BC (52.7%) 2AD 95.4% sannsynlighet 161BC (5.9%) 132BC 117BC (89.5%) 24AD	2042 +26/-26
TRa-12931	1577	'108x117y SV, mek.lag 2	Trekull. 1 fragment Sorbus sp. 1 fragment Pinus sp. + få biter for fragmentert, støv. Noe	68.2% sannsynlighet 5610BC (17.9%) 5591BC 5564BC (50.3%) 5516BC 95.4% sannsynlighet 5616BC (25.9%) 5581BC 5575BC (69.5%) 5488BC	6606 +26/-26

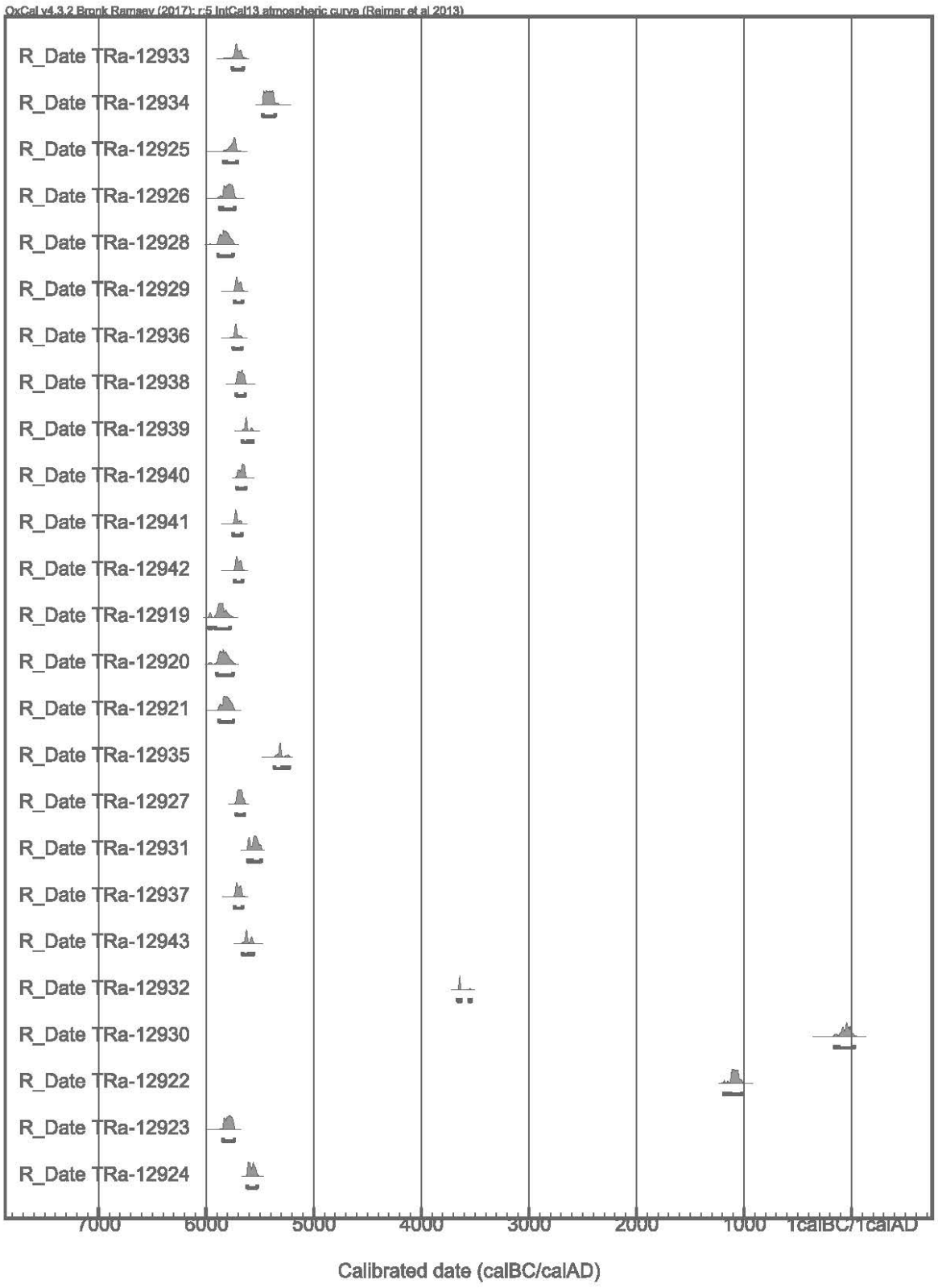
Lab.ref.	IntrasisId	Kontekst	Materiale	Kalibrert alder BC/AD (1 og 2 σ)	14C Alder BP
			sand. Intet materiale igjen.,AAA-rest		
TRa-12932	1581	'Område 3, mek.lag 2	Trekull. Bark.,AAA-rest	68.2% sannsynlighet 3652BC (68.2%) 3637BC 95.4% sannsynlighet 3662BC (84.7%) 3632BC 3559BC (10.7%) 3537BC	4843 +20/-19
TRa-12933	1693	'fett kullag fra tuft (1584)	Trekull. 2 fragments Salix/Populus.,AAA-rest	68.2% sannsynlighet 5734BC (47.6%) 5702BC 5694BC (20.6%) 5675BC 95.4% sannsynlighet 5754BC (95.4%) 5657BC	6829 +27/-27
TRa-12934	1694	'Fra ildsted i tuft (1534)	Trekull. 1 fragment Salix/Populus.,AAA-rest	68.2% sannsynlighet 5468BC (5.7%) 5461BC 5450BC (62.5%) 5377BC 95.4% sannsynlighet 5476BC (95.4%) 5360BC	6433 +23/-23
TRa-12935	200118	'Område 1 (100x112yNV, mek.lag 1)	Plantemateriale.,AAA	68.2% sannsynlighet 5341BC (68.2%) 5299BC 95.4% sannsynlighet 5363BC (81.3%) 5294BC 5266BC (14.1%) 5227BC	6330 +18/-18
TRa-12936	200128	'Område 1 (101x110ySV, lag 1400)	Plantemateriale.,AAA	68.2% sannsynlighet 5740BC (68.2%) 5711BC 95.4% sannsynlighet 5747BC (95.4%) 5671BC	6842 +18/-18
TRa-12937	200136	'Område 2 (106x118yNV, mek.lag 2)	Plantemateriale.,AAA	68.2% sannsynlighet 5725BC (68.2%) 5674BC 95.4% sannsynlighet 5736BC (95.4%) 5662BC	6817 +21/-21
TRa-12938	200144	'Område 1 (100x115yNØ, mek.lag 2)	Plantemateriale.,AAA	68.2% sannsynlighet 5710BC (68.2%) 5657BC 95.4% sannsynlighet 5720BC (95.4%) 5637BC	6778 +24/-24
TRa-12939	200147	'Område 1 (101x115ySV, mek.lag 2)	Plantemateriale.,AAA	68.2% sannsynlighet 5642BC (68.2%) 5617BC 95.4% sannsynlighet 5661BC (78.7%) 5612BC 5590BC (16.7%) 5565BC	6703 +20/-20
TRa-12940	200148	'Område 1 (102x113ySØ, mek.lag 2)	Plantemateriale.,AAA	68.2% sannsynlighet 5702BC (10.9%) 5692BC 5674BC (57.3%) 5639BC 95.4% sannsynlighet 5712BC (95.4%) 5634BC	6765 +19/-19
TRa-12941	200150	'Område 1 (103x110yNØ, mek.lag 2)	Plantemateriale.,AAA	68.2% sannsynlighet 5741BC (64.4%) 5706BC 5684BC (3.8%) 5679BC 95.4% sannsynlighet 5749BC (95.4%) 5667BC	6839 +20/-20

Lab.ref.	IntrasisId	Kontekst	Materiale	Kalibrert alder BC/AD (1 og 2 σ)	14C Alder BP
TRa-12942	200151	'Område 1 (103x111yNV, mek.lag 2)	Plantemateriale.,AAA	68.2% sannsynlighet 5726BC (41.2%) 5702BC 5694BC (27.0%) 5674BC 95.4% sannsynlighet 5737BC (95.4%) 5662BC	6819 +22/-22
TRa-12943	200152	'Område 2 (106x116yNØ, mek.lag 2)	Plantemateriale.,AAA	68.2% sannsynlighet 5638BC (51.8%) 5616BC 5584BC (16.4%) 5572BC 95.4% sannsynlighet 5661BC (65.3%) 5606BC 5595BC (30.1%) 5561BC	6695 +23/-23

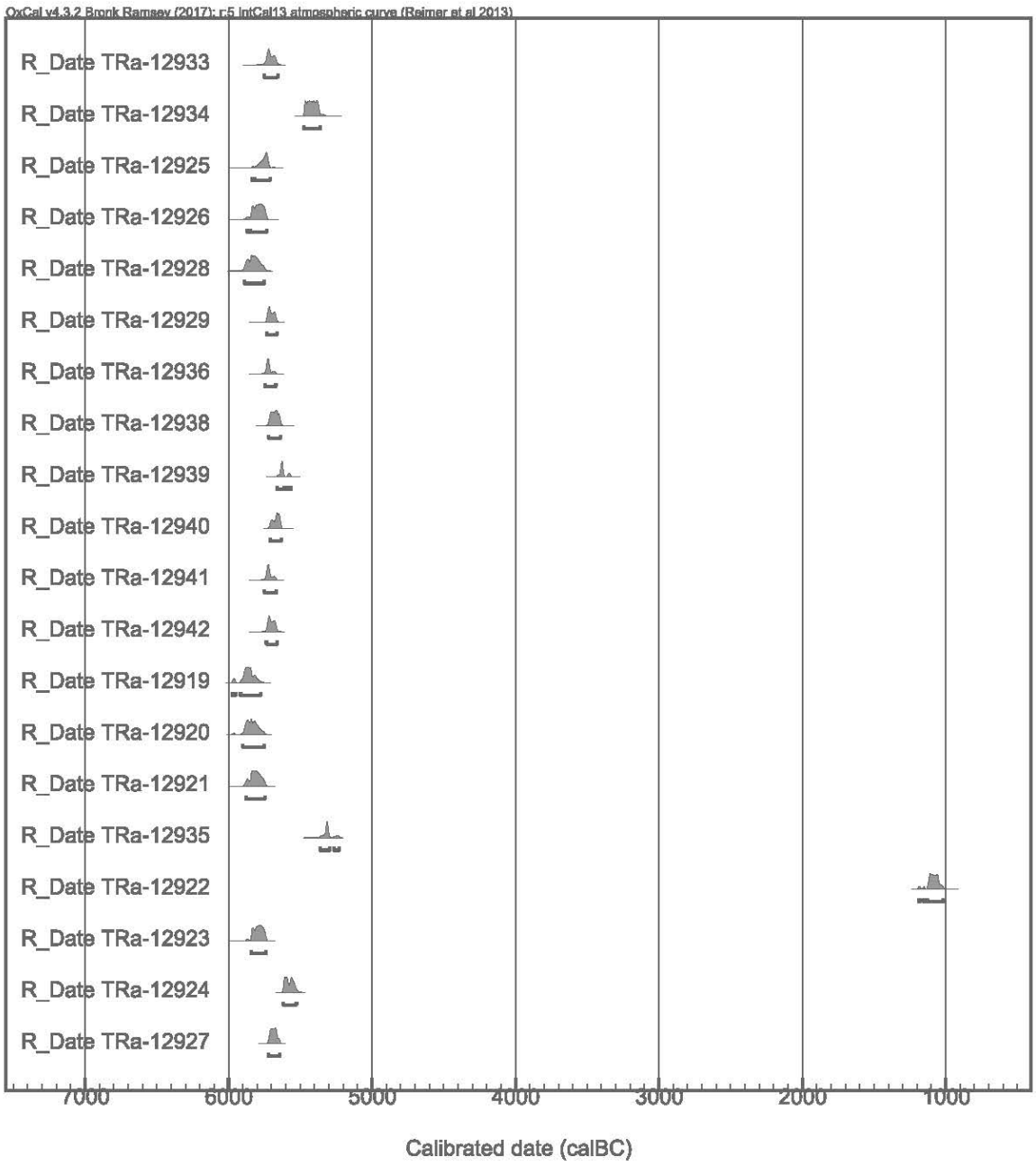
Tabell 15. Oversikt over dateringer (kronologisk).

Lab.ref.	IntrasisId	Kontekst	14C Alder BP	Periode
TRa-12930	1532	'Brannlag i bunn av torv	2042 +26/-26	FRJA-YRT
TRa-12922	1147	'Lag 1 i voll (787)	2904 +14/-14	YBA
TRa-12932	1581	'Område 3, mek.lag 2	4843 +20/-19	TN
TRa-12935	200118	'Område 1 (100x112yNV, mek.lag 1)	6330 +18/-18	SM3
TRa-12934	1694	'Fra ildsted i tuft (1534)	6433 +23/-23	SM3
TRa-12931	1577	Område 2: (108x117y SV, mek.lag 2)	6606 +26/-26	SM2-SM3
TRa-12924	1149	'Lag 3 i voll (787)	6630 +19/-18	SM2
TRa-12943	200152	Område 2 (106x116y NØ, mek.lag 2)	6695 +23/-23	SM2
TRa-12939	200147	'Område 1 (101x115y SV, mek.lag 2)	6703 +20/-20	SM2
TRa-12940	200148	'Område 1 (102x113y SØ, mek.lag 2)	6765 +19/-19	SM2
TRa-12938	200144	'Område 1 (100x115y NØ, mek.lag 2)	6778 +24/-24	SM2
TRa-12927	1502	'Sand og kullflekk (1476)	6789 +18/-18	SM2
TRa-12937	200136	Område 2 (106x118y NV, mek.lag 2)	6817 +21/-21	SM2
TRa-12942	200151	'Område 1 (103x111y NV, mek.lag 2)	6819 +22/-22	SM2
TRa-12929	1531	'Område 1, lag 1400 (kulturlag, bunn)	6821 +21/-21	SM2
TRa-12933	1693	'fett kullag fra tuft (1584)	6829 +27/-27	SM2
TRa-12941	200150	'Område 1 (103x110yNØ, mek.lag 2)	6839 +20/-20	SM2
TRa-12936	200128	'Område 1 (101x110ySV, lag 1400)	6842 +18/-18	SM2
TRa-12925	1396	'Fra ildsted 1534 (område 1)	6873 +25/-25	SM2
TRa-12926	1475	'Lag 1400 (kulturlag)	6920 +23/-22	SM2
TRa-12923	1148	'Lag 2 i voll (787)	6921 +18/-18	SM2
TRa-12921	1143	'102X112Y SØ (mek.lag 2, omr.1)	6938 +22/-22	SM2
TRa-12928	1530	'Område 1, lag 1400 (kulturlag, topp)	6949 +24/-24	SM2
TRa-12920	864	'102x113y SV (mek.lag 2, omr.1)	6958 +24/-24	SM2
TRa-12919	863	'101x115y NØ (mek.lag 2, omr.1)	6975 +24/-24	SM2

Tabell 16. OxCal-kurve over alle dateringer på lokaliteten.

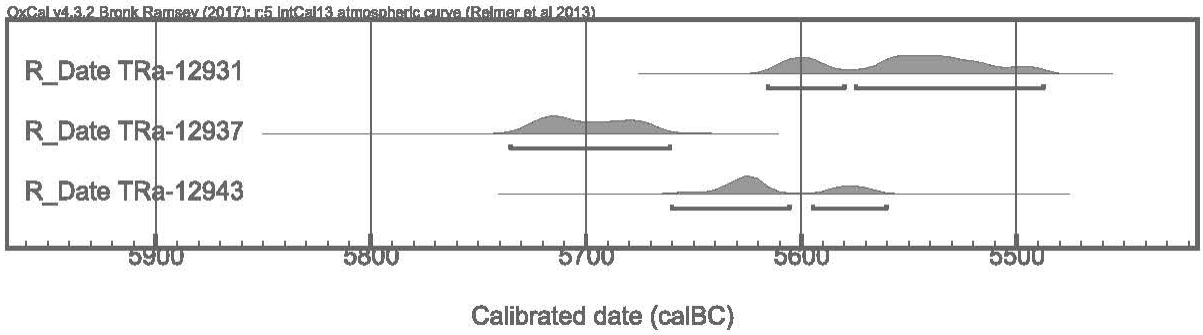


Tabell 17. OxCal-tabell over dateringer fra område 1.



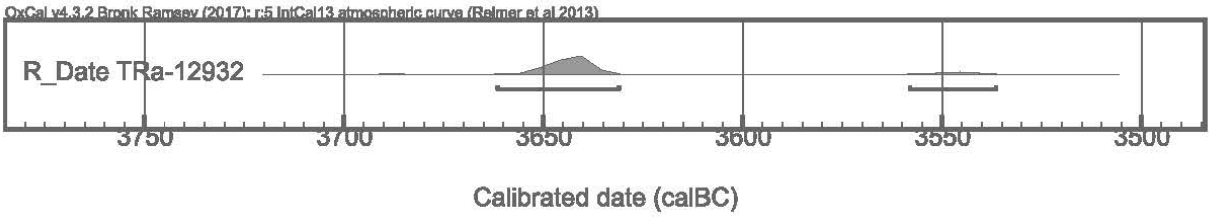
I område 1 er alle dateringene, bortsett fra en, innenfor perioden SM3 og SM2, med hovedvekt på SM2. Dateringen som viser en yngre fase (førromersk jernalder og yngre romertid) er trolig fra en naturlig lyngbrann, og har derfor ikke sammenheng med resten av materialet påvist under undersøkelsen på Fillan Trafo (Valen).

Tabell 18. OxCal-tabell over dateringer fra område 2.



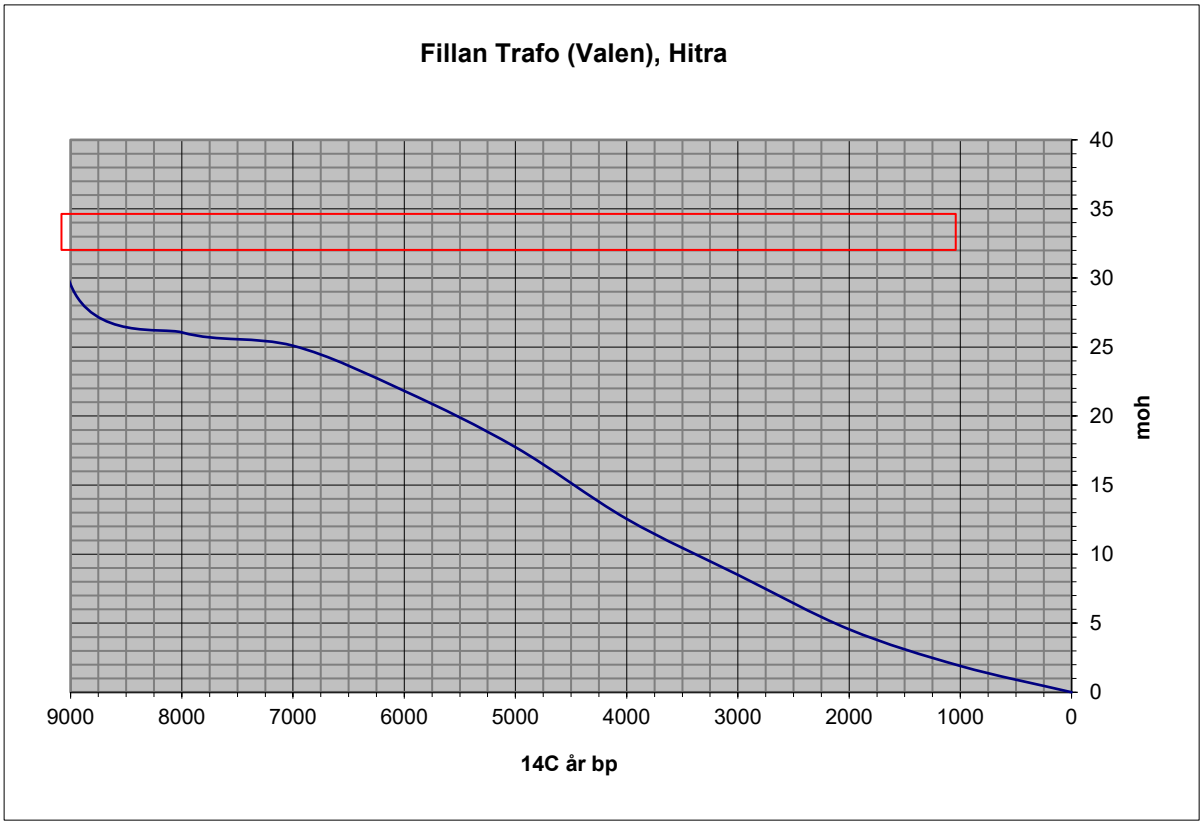
Område 2 har tre dateringer som faller innenfor en periode på ca. 300 år i SM2 og SM3.Trolig har området blitt besøkt flere ganger i denne perioden, i likhet med område 1.

Tabell 19. OxCal-tabell over dateringer fra område 3.



Område 3 har en datering til tidligneolittisk tid. Det ble ikke sendt inn flere dateringer fra dette området ettersom hovedprioritet var område 1 og 2. Den helretusjerte pilspissen (T27685:2012) var fra overgangen mellom område 3 og 1, noe som kan ses i sammenheng med den ene dateringen til tidligneolittisk tid, selv om pilspisser også kan være bortskutte piler. Det ble ikke funnet flere diagnostiske funn knyttet til neolittikum.

4.2.2. Strandlinjedatering



Figur 56. Utsnitt av strandlinjekurve fra Fillan Trafo (Isobase 72). Rød markering viser lokalitetsflaten. Område 1 lå på ca. 31 moh.

Lokaliteten ligger innenfor et område som er relativt godt dokumentert, ettersom kurven er basert på lokaliteter fra blant annet Hitra (Svendsen og Mangerud 1987). Dette gir derfor mindre sannsynlighet for feil i kurven.

Strandlinjekurven viser at i perioden senmesolittisk tid 2 og 3 var strandlinjen på mellom 23-25 meter over dagens havnivå. Det vil si at lokaliteten ligger flere meter over datidens strandlinje, noe som tyder på at menneskene ikke var like strandbundne som tidligere i mesolitikum. Dette stiller også spørsmål ved hvordan utvaskingslaget over lokaliteten har oppstått, ettersom tapes transgresjonen er på et lavere nivå i landskapet. En mulighet er at det ca. 10 cm tykke utvaskingslaget (eller deler av det) med funn kan ha oppstått i forbindelse med at området har hatt myrdannelse over lang tid. Myrdannelsen kan ha blandet spor fra menneskelig aktivitet fra lagene under sammen med silt, sand- og grusblandingen som har oppstått i bunn av myra ved hjelp av røtter og organismer (les mer i kap 4.3.1). En annen mulighet er at det har oppstått en mindre lokal naturhendelse som har resultert i at marine avsetninger har lagt seg som «et lokk» over lokaliteten. Det er lite trolig

at utvaskingslaget er deponert der av mennesker i forbindelse med grophuset, ettersom mikromorfologiske prøver fra området utenfor grophuset også viste spor etter marine avsetninger (se mer i kapittel 4.3.1).

4.3. Naturvitenskapelige prøver og analyser

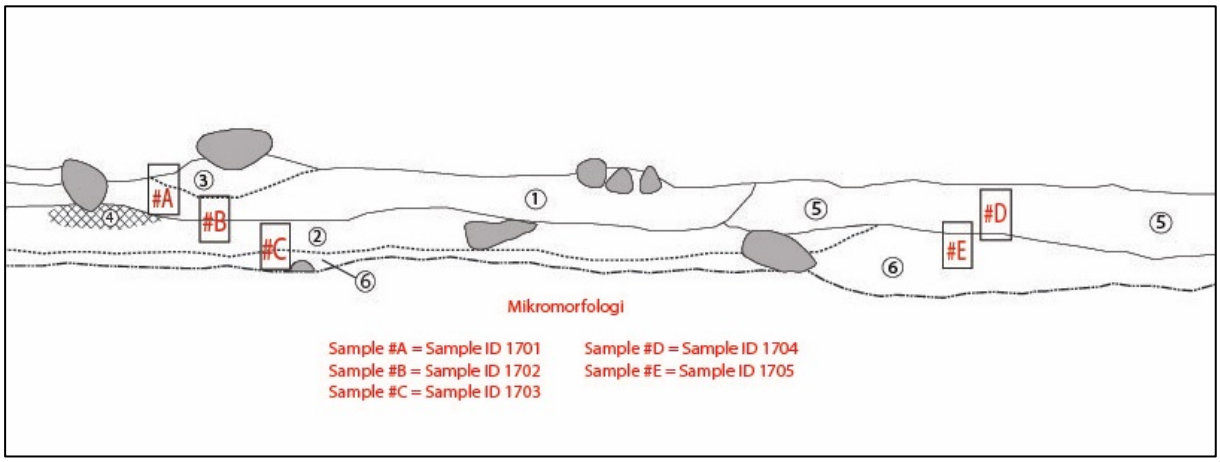
I tillegg til dateringer av 14C-materiale, ble det tatt ut prøver til pollen-, makrofossil- og mikromorfologiske analyser. Etter vurderinger gjort sammen med prosjektleder Merete Moe Henriksen, var det bare de mikromorfologiske prøvene som ble sendt inn til analyse.

4.3.1. Mikromorfologi

Det ble sendt inn 5 prøver for analyse av mikromorfologi som alle ble analysert av Dr. Richard Macphail ved Institute of Archaeology, University College London (UCL). Hensikten med de 5 mikromorfologiprøvene var å få svar på om det mørkere kullaget (lag 1584) i område 1 kunne være rester etter en tuft eller grophus, og hva som kan ha skjedd før og etter denne hendelsen, som igjen ville gi en bedre forståelse av lokaliteten.

Tabell 20. Oversikt over innsendte mikromorfologiprøver.

T-nr. og undernr.	ID i felt (og tegning)	Type prøve	Kontekst
T27685:2624	1701 (#A)	Mikromorfologi	Tuft, lag 3 og 1
T27685:2625	1702 (#B)	Mikromorfologi	Tuft, lag 1 og 2 (1584)
T27685:2626	1703 (#C)	Mikromorfologi	Tuft, lag 2 og 6 (1400)
T27685:2627	1704 (#D)	Mikromorfologi	Lag 5 og 6 (1400)
T27685:2628	1705 (#E)	Mikromorfologi	Lag 5 og 6 (1400)



Figur 57: Utsnitt av tegning (Figur 30. Rentegning av profil gjennom tuft.). Tegning: Karen Ø. Oftedal, NTNU Vitenskapsmuseet.



Figur 58. (Da62529_141) Innsetting av prøver i profil 4 til mikromorfologi: A, B og C. Foto: Øyunn Wathne Sæther, NTNU Vitenskapsmuseet.



Figur 59. (Da62529_142) Innsetting av prøver i profil 4 til mikromorfologi: D og E. Foto: Øyunn Wathne Sæther, NTNU Vitenskapsmuseet.

Lagbeskrivelser fra prøvene

Lag 6 (samme som lag 1400) består av kompakte og heterogene masser bestående av brun sand og grus med enkelte mørk brune siltsandkorn og grus. Det er spor etter røtter, både planterøtter og trerester. I rotkanalene ble det funnet trekull som tyder på menneskelig aktivitet. Lag 6 er mest sannsynlig den naturlige overflaten etter at isen smeltet her, ettersom grusen viser spor etter påvirkning av isdekke (Macphail 2018:3) med rester etter menneskelig aktivitet i overgangen til lagene over i form av trekull og skjørbrent stein.

Lag 2 (1584) består av svært dominant mørk brun humusholdig sand og grus med enkelte brune siltlommer. Grusen kan se ut til å være varmepåvirket (svakt kalkholdig biter) og det er trekull i laget samt fragmenter av humifisert trevirke. Dette organiske materialet er næringsrikt, og planter og røtter har derfor blandet sammen lagene. Det kan allikevel se ut til at lag 2 inneholder mulige rester etter et *in situ* tregulv med et tynt lag av trekull over. Et lignende funn er gjort på Longva, Haram på Sunnmøre, hvor det ble påvist et mesolittisk gulv av bark/konstruksjonsmateriale.

Lag 1 består av en blanding av brun humusholdig silt, sand og grus. Laget inneholder også rester etter trekull og humifiserte trefragmenter, men var forstyrret av tynne røtter. Prøvene viser at lag 1 og 2 har blitt blandet noe gjennom biologiske komponenter, men hovedtrekket er at det er mer silt i lag 1. Røtter i laget tyder også på at lokaliteten ble våtere i etterkant av at lag 1 har lagt seg over de andre lagene. Trolig er lag 1 marine avsetninger som har blitt deponert over lokaliteten og deretter blitt blandet med fragmenter fra boplassen (små mengder trekull og humifiserte trefragmenter etter tuften). Spørsmålet er hvordan disse marine avsetningene har oversvømt og dekket lokaliteten, da det er en høydeforskjell på mellom 5 og 7 meter fra datidens strandlinje til lokalitetsflaten, og dette derfor ikke kan ha skjedd i forbindelse med transgresjon. Macphail skriver i sin rapport at sporene i de marine avsetningene tyder på en oversvømmelse av lokaliteten som beskrives som en «low energy episode».

Lag 3 består av lys brun finkornet leire til silt, med spor etter trekull som trolig har flyttet seg til dette laget gjennom røtter. Laget har trolig oppstått som et resultat av våtmarksdekke.

Lag 5 er diffuse heterogene lag bestående av brun sand og grus. Massene består også av mørk brun grus og humusholdig sand med lommer av organisk materiale i form av planterester. De senere fyllene i lag 5 har trolig oppstått i forbindelse med en av periodene hvor området har vært våtmark, i likhet med lag 3.

Tolkning

Prøvene viste seg å være påvirket av myr- og våtmarksdannelse, både fra dagens myrdannelse og fra en tidligere periode hvor området har vært dominert av våtmark. Denne eldre våtmarksperioden har ført til jernutfelling og store menger rotdannelser. Begge disse fasene med stillestående vann i området har påvirket de arkeologiske sporene, og kan ha bidratt til oppbygging av utvaskingslaget som lå over store deler av lokaliteten.

Til tross for disse forstyrrelsene ble det gjort funn som kan tyde på menneskelig aktivitet i noen av lagene. Det mest påfallende ved mikromorfologianalysene var at et av lagene (ID1584, kalt lag 2 på tegning og i mikromorfologirapporten) inneholdt rester etter humifisert og mineralisert trevirke som kan være spor etter et *in situ* golv. Prøvene inneholdt også et tynt kullag i overgangen mellom lag 5 og 6 (lag 1400) som kan være deler av et ildsted som er spredt utover den daværende steinalder-overflaten. Lagene som har lagt seg over inneholder også noe trefiber som Mcphail mente kunne være rester etter en tuftkonstruksjon, men at denne har kollapset før lokaliteten har blitt oversvømt og dekket av marine

avsetninger. Trolig har derfor lokaliteten blitt forlatt på et tidspunkt før oversvømmelsen. Lag 1 (utvaskingslag) og 2 (1584), inneholdt også fragmenter av trekull som så ut til å være påvirket av saltvann, noe som tyder på at rester etter kulturlagene 1400 og 1584 har blandet seg med de marine avsetningene lokaliteten har blitt gradvis dekt med i etterkant av bosetningsfasen. Spørsmål som dukker opp etter mikromorfologianalysene er om det kan være en annen forklaring på de marine avsetningene, eller om de prøvene vi sendte inn er fra et for marginalt område til at vi med sikkerhet kan si at de har oppstått som følge av en marin oversvømmelse. Ved framtidige undersøkelser av tilsvarende lokaliteter bør man derfor vurdere om det skal tas ut flere mikromorfologiprøver fra deler av lokaliteten hvor det ikke er påvist tydelige kulturlag.

4.3.2. Okerprøve

Det ble gjort funn av oker på lokaliteten, og denne har blitt lagt inn som okerprøve i Musit (T27685:1552), slik at den kan brukes til videre forskning ved å undersøke sammensetningen av okerklumpen. Funnet er grundigere beskrevet i kap 4.1.12. Dersom pigmentene er blandet med fett, kan det være bevart DNA materiale i den. Det ble ikke prioritert å gjøre noe mer med denne okerprøven i første omgang.

5. Resultat

Undersøkelsen ved Fillan trafostasjon (Valen) høsten 2017 resulterte i en mengde interessante funn som gjenspeiler et attraktivt område for menneskene som levde her i steinalderen. Det ble funnet en stor mengde gjenstandsmateriale, totalt 11 554 gjenstander, det meste i flint. Det ble også påvist rester etter et grophus fra sen mesolittisk tid, samt et ildsted og tre kulturlag i sammenheng med denne boligflaten. Den store mengden gjenstandsfunn og rester etter både grophus og kulturlag tyder på lengre opphold og gjentagende aktivitet, men lokaliteten ser også ut til å ha vært gjenstand for kortere opphold, spesielt etter hovedfasen.

Kronologi og bruk

Det var først antatt at lokaliteten var fra mellommesolittisk tid på grunn av strandlinje-dateringer og funn fra registreringen. Gjenstandsmaterialet fra undersøkelsen viste derimot at lokaliteten var noe yngre. Både typologisk datering og kullprøvene viste at hovedbruksfasen var i senmesolittisk tid, i hovedsak SM2 og noe i SM3. Tidstypiske gjenstander var bipolare kjerner, mikroflekker, slipte gjenstander og trinnøkser. Gjenstander som viser til at lokaliteten også har blitt besøkt i andre perioder var den helretusjerte tangespissen (T27685:2012), som har likheter med A1 spisser fra mellomneolittisk tid. En av prøvene ble også datert til tidlig neolittisk tid. En annen gjenstand som skiller seg fra resten av det tidstypiske materialet er den mulige kjerneøksa (T27685:2045), som dateres til tidligmesolittisk og mellommesolittisk tid. Det var imidlertid ingen C14-dateringer fra denne delen av mesolitikum.

Det var gjenstander spredt over hele lokalitetsflaten, men med en tydelig konsentrasjon mot øst, hvor havneforholdene har vært gode, og det også har vært godt med ly. Innenfor område 1 og 2 kan det ha vært flere besøk (mulig samtidig) over en lengre periode fra SM2-SM3. På område 1 var det flere faktorer som tyder på at plassen har blitt benyttet over lengre tid ettersom det er brukt tid på å rydde flaten, og det ble gjort funn av rester etter et grophus. Den store andelen med gjenstandsfunn i utkastsonen like utenfor grophuset tyder også på mye aktivitet i dette området. Funnene viser også at boligflaten inne i grophuset kan ha blitt ryddet for produksjonsavfall. Gjenstandsfunnene gir ingen klare tegn på hvilke spesifikke aktiviteter som har vært utført på lokaliteten, men det kan være verdt å nevne at det er en del skrapere blant funnmaterialet, og at disse lå relativt konsentrert rundt boligen. Det kan indikere at det har pågått bearbeiding av skinn og huder på lokaliteten, og at denne aktiviteten har foregått utenfor grophuset.

Dateringene ble analysert på hasselnøttskall og kull, både fra lag og strukturer, og underveis i de 5 cm mekaniske lagene (i hovedsak hasselnøttskall). Resultatene av dateringene viste en tydelig hovedvekt i perioden SM2 og noe i SM3. Hele 19 av 25 prøver ble datert til SM2, 2 til SM3 og 1 til overgangen mellom SM2-3. De øvrige 3 dateringsprøvene fra område 3 ble datert til førromersk jernalder og romertid (lyngbrann), yngre bronsealder og tidligneolittisk tid.

Under senmesolittisk tid har havnivået stått ved ca. 23-25 moh, og lokalitetene ligger på 30-33 moh, det vil si at selve bosetningsflaten har ligget 5-7 m over datidens strandlinje. Dette tyder på at de trolig ikke har vært like strandbundne som i de tidligere periodene av mesolitikum. Til tross for et utvaskingslag med funn over boligstrukturene, tyder strandlinjekurven, kombinert med dateringene og den lave mengden med vannrullete flint, på at dette utvaskingslaget ikke har oppstått som følge av transgresjonen. Trolig er dette utvaskingslaget et resultat av en ukjent oversvømmelse der marine avsetninger har lagt seg som et lokk over boligstrukturene kombinert med at området har vært våtmark over to perioder.

Det er tre hovedfaktorer som tilsier at vi påviste en boligstruktur på lokaliteten. Det er først og fremst en oval nedgraving/bunngrop. Et annet element som indikerer dette er ildstedet som ligger innenfor denne nedgravingen. Sammen med de to kulturlagene som ble oppdaget i og rundt nedgravingen, tyder det på at det var rester etter et grophus. McPhail (2018) mener at rester etter humifisert trevirke i flere av de mikromorfologiske prøvene indikerer både et mulig golv og nedraste konstruksjonselementer, noe som styrker tolkningen av grophus i denne delen av området. Prøvene viste også at området har stått åpent en tid etter at lokaliteten har blitt forlatt, og at vær og vind har gjort at tufta har rast sammen for deretter å ha blitt oversvømt.

Metodiske resultater og bemerkninger

Under undersøkelsen ble det benyttet en kombinasjon av mekanisk graving og flateavdekking med maskin, for å både samle inn funn i utvaskingslaget og avdekke eventuelle strukturer under. Bruk av maskin for å flateavdekke under det funnrike laget ble prioritert for å gi et større datagrunnlag for tolkning av lokaliteten, ettersom det ikke ble påvist noen strukturer eller stratigrafiske lag i de øvre sjiktene.

På prosjektet på Fillan Trafo, samt et samtidig pågående steinalderprosjekt på Hitra Helsetun (Spjelkavik og Henriksen 2018) ble det i samråd med prosjektleder benyttet flateavdekking

på slutten av undersøkelsesperioden for å avdekke deler av lokaliteten. Dette er en metode som liten grad har blitt brukt ved undersøkelse av steinalderboplasser ved NTNU Vitenskapsmuseet, men blant annet ved Kulturhistorisk museum i Oslo er det en vanlig metode ved steinaldergravinger. Av tidsmessige årsaker ble det på Fillan Trafo prioritert å avdekke område 1, som hadde størst potensial for boligstrukturer.

Det ble påvist tre lag og 1 ildsted etter at vi flateavdekte deler av undersøkelsesområdet. Disse var det ikke mulig å observere i prøvekvadrantene ettersom de spredte seg over et relativt marginalt område, og også lå på et lavere nivå, forholdsvis dypt nede i grus med jernutfelling.

Undersøkelsen viste at en kombinasjon av mekanisk graving og flateavdekking med maskin kan avdekke flere aspekter ved en lokalitet enn om man bare gjennomfører maskinell avtorving og vanlig rutegraving, spesielt i områder som kan være berørt av naturlige forstyrrelser.

Litteratur

Auset, H. & Haug, A. 2017. Arkeologisk rapport i forbindelse med planer for bygging av ny trafostasjon på Fillan, Hitra kommune. Arkeologisk rapport, Sør-Trøndelag fylkeskommune, Regional utvikling – Areal og Miljø.

Bjerck, H. B., Åstveit, L. I., Gundersen, J., Meling, T., Jørgensen, G., & Normann, S. 2008. NTNU Vitenskapsmuseets arkeologiske undersøkelser Ormen Lange Nyhamna. *Tapir Akademisk Forlag, Trondheim*.

Bronk Ramsey, C. (2009). Bayesian analysis of radiocarbon dates. Radiocarbon, 51(1), 337-360.

Fretheim, Silje Elisabeth (2017). Mesolithic Dwellings. An empirical approach to past trends and present interpretations in Norway. Doktoravhandlinger ved NTNU.

Henriksen M. M. 2017. Prosjektplan for arkeologisk utgravning. Søknad for dispensasjon fra Kulturminneloven § 8.1, Utvidelse av Fillan Trafostasjon, Hitra commune, Sør-Trøndelag. NTNU Vitenskapsmuseet.

Jørgensen, E. K. 2017. Om vegetasjonsforstyrrelser: Konsekvenser for bevaringen av arkeologisk kontekstinformasjon i norske jordsmonn. Viking – Norsk arkeologisk årbok Vol 80, 157-180.

Macphail, R. I., 2018b. Fillan Trafo, Hitra, 2017/136, Norway: soil micromorphology. Institute of Archaeology, University College London.

NTNU Vitenskapsmuseet 2012. Definisjoner, steinaldernomenklatur, VM, V03 (August 2012).

Reimer, P. J., Bard, E., Bayliss, A., Beck, W. J., Blackwell, P. G., Bronk Ramsey, C., Van der Plicht, J. (2013). IntCal13 and Marine13 Radiocarbon Age Calibration Curves 0-50,000 Years cal BP. Radiocarbon, 55(4), 1869-1887.

Solem, T. & J. O. Solem 1997. Shoreline displacement on the coast of Sør-Trøndelag and Møre og Romsdal, central Norway; a botanical and zoological approach. Norsk geologisk tidsskrift 77/3, 193-202.

Spjelkavik, S.O.S. og Henriksen, M.M. 2018. NTNU Vitenskapsmuseet arkeologisk rapport 2018:26 Arkeologisk undersøkelse av steinalderlokalitet ved Hitra Helsetun, Hitra, Trøndelag

Svendsen, J. I. and Mangerud, J. 1987. Late Weichselian and holocene sea-level history for a cross-section of western Norway. 2(2), 113-132.

Watts, I. (2002). Ochre in the Middle Stone Age of Southern Africa: Ritualised Display or Hide Preservatives? The South African Archaeological Bulletin, 57(175), 1-14.

Vedlegg

Vedlegg 1 Funnsammendrag T27685

Vedlegg 2 Funnliste T27685

Vedlegg 3 Fotoliste, feltfoto Da62529

Vedlegg 4 Fotoliste fotogrammetri

Vedlegg 5 Spredningskart

Vedlegg 6 Rentegninger

Vedlegg 7 Strukturliste

Vedlegg 8 Resultater fra mikromorfologi (tabell)

Vedlegg 1 Sammendrag funn T27685

T27685

Boplassfunn fra **eldre steinalder/senmesolitikum** fra VALEN/FILLAN TRANSFORMATORSTASJON, VALEN (98 /1,4), HITRA K., TRØNDELAG.

Sammendrag, gjenstander

Flekke	
makroflekke	49
medioflekke	73
mikroflekk	172
Avslag	
Avslag	7062
makroavslag	3
makroavslag med bruksspor	4
medioavslag	32
medioavslag med bruksspor	189
mikroavslag	2972
mikroavslag med bruksspor	159
fragment	102
fragment med bruksspor	20
Diagnostisk avslag	
cortexflekke	7
flekkelignende avslag	72
eggoppskjerpingsavslag av skive-/kjerneøks	1
Kjerne	
konisk kjerne	4
kjølformet kjerne	3
håndtakskjerne	1
ensidig kjerne	1
ensidig kjerne med en plattform	6
bipolar kjerne	314
ubestemt kjerne	9
ubestemt kjerne med en plattform	12
ubestemt kjerne med flere plattformer	10
Kjernefragment	
Kjernefragment	20
bipolart kjernefragment	94
plattformkjernefragment	6
overløpen flekke	5
ubestemt kjernefragment	3
Prepareringsavslag	

ryggflekke	8
ryggmedioflekke	3
ryggmikroflekke	1
plattformavslag	4
skiveformet plattformavslag	1
vingeformet plattformavslag	4
flekkefront	1
Øks	
kjerneøks	1
trinnøks	1
spissnakket trinnøks	1
Meisel	
trinnmeisel	1
Kniv	
flekkekniv	1
skrå enderetusj	1
flekkekniv på brudd	1
annen flekkekniv	2
ubestemt bergartskniv	2
Pilspiss	
tangespiss med odd i proksimalenden	1
tangespiss med odd i distalenden	1
ubestemt tangespiss med kantretusj	1
Borspiss	
Borspiss	2
borspiss på avslag	1
borspiss på kjerne/kjernefragment	2
borspiss på ryggflekke	1
Skraper	
endeskraper på avslag	7
flekkeskraper	1
ubestemt skraper	12
Retusjert avslag	
Retusjert avslag	1
makroavslag med rett retusj	1
makroavslag med konkav retusj	4
retusjert medioavslag	7
medioavslag med rett retusj	9
medioavslag med konkav retusj	8
medioavslag med annen retusj	5
medioavslag med hjørneretusj	2
retusjert fragment	2
fragment med rett retusj	3
fragment med konkav retusj	1

fragment med annen retusj	2
Retusjert flekke	
retusjert medioflekke	2
medioflekke med rett enderetusj	2
medioflekke med annen retusj	4
Stikkel	
ubestemt stikkel	1
Slipeplate	
Slipeplate	3
Knakkestein	
Knakkestein	9
Slipestein	
Slipestein	3
annen slipestein	3
Emne	
ubestemt slipt emne	1
Fragment	
slipt fragment	3
Stein	
Stein	1
Hengesmykke	
annet hengesmykke	1
Brent leire	
Brent leire	1
Prøve	
trekullprøve	25
okerprøve	1
annen prøve	5
Knoll	
Knoll	7
Annet ubearbeidet råstoff	
Annet ubearbeidet råstoff	1

Sammendrag, råstoff

bergart	26
bergkrystall	182
flint	10953
grønnstein	3
jaspis	68
kvarts	228
kvartsitt	84
leire	1
minerogent materiale	5
nøtteskall	9

oker	1
sandstein	7
skifer	2
trekull	16
SUM	**11585**

Funnomstendighet: F. ved utgraving i forbindelse med bygging av ny trafostasjon på Valen. Lokaliteten (Askeladden ID 228908) var påvist av Trøndelag fylkeskommune gjennom positive prøvestikk og prøvesjakter høsten 2016 og våren 2017, og hadde et areal på 1544,74 m² (med sikringssone). Lokaliteten lå på mellom 31-33 moh. Lokaliteten lå i et utmarksområde, men i nærheten av den nåværende trafostasjonen og fylkesvei 714. Innenfor området ble det funnet 11 585 funn, hvorav mesteparten ble funnet i sørøstre del av lokaliteten. Av diagnostiske funn var en kniv i sandstein, lignende som fra Ormen Lange, datert til senmesolitikum. Det var også to trinnøkser og en trinnmeisel samt pilspisser. Funnene spredte seg over hele mesolitikum (8000-5500 f. Kr.), med hovedvekt på senmesolitikum (6000-5500 f. Kr.) og inn i neolitikum.

Metoden som ble brukt var graving av mekaniske lag på 5 cm i kvadranter, samt flateavdekking med maskin på deler av lokaliteten i etterkant. Det ble målt inn fire strukturer, hvorav ett ildsted og tre kulturlag. Kulturlagene lå i tilknytning til en svak forsenkning i samme område, som ble tolket som rester etter et grophus, hvor det ene laget var innenfor hustufta og det andre delvis i og utenfor. Ildstedet lå også inne i tufta, men det ble ikke påvist øvrige indikatorer på en tuft som stolpehull, grøfter, veggvoller, etc. Det ble sendt inn 25 prøver til datering, og dateringene spenner i tid fra senmesolitikum til yngre romertid. Det meste av aktiviteten på lokaliteten er fra senmesolitikum (SM2 og SM3). Det ble også sendt inn mikromorfologiske prøver av profilen i den mulige tufta for å få klarere svar på om dette var en tuft. Analysene viste spor etter et mulig hyttegulv og rester etter sammenraste konstruksjonselementer samt indikatorer på at lokaliteten har blitt oversvømt på et tidspunkt.

Feltleder: Karen Ørbog Oftedal. Prosjektleder: Merete Moe Henriksen.

Kartreferanse: EU89-UTM; Sone 32, **N***:* 7063718,0, **Ø***:* 200309,1, **H**: 31-33 moh.

Innberetning/litteratur: Oftedal, K.Ø. og Henriksen, M.M, 01.01.2019, Arkeologisk undersøkelse av steinalderlokalitet ved Fillan Trafostasjon (Valen), Hitra, Trøndelag. NTNU Vitenskapsmuseet arkeologisk rapport 2019.

Funnet av: Karen Ørbog Oftedal.

Funnår: **2017**.

Vedlegg 2 Funnliste T27685

Unr	Antall	Gjenstand	Form	Materiale	X	Y	Kvadrant	Mekanisk_Lag
1	8	Avslag	mikroavslag	flint	92	121	SV	1
2	15	Avslag		flint	92	121	SV	1
3	1	Avslag	fragment	flint	92	121	SV	1
4	1	Flekke	makroflekke	flint	92	121	SV	1
5	10	Avslag		flint	100	100	SV	1
6	14	Avslag	mikroavslag	flint	100	100	SV	1
7	1	Avslag	mikroavslag	kvartsitt	100	100	SV	1
8	30	Avslag		flint	100	111	NV	1
9	17	Avslag	mikroavslag	flint	100	111	NV	1
10	1	Avslag	mikroavslag	kvarts	100	111	NV	1
11	1	Flekke	medioflekke	flint	100	111	NV	1
12	1	Kjernefragment	bipolart kjernefragment	flint	100	111	NV	1
13	1	Retusjert avslag	retusjert medioavslag	flint	100	111	NV	1
14	35	Avslag		flint	100	111	NØ	1
15	11	Avslag	mikroavslag	flint	100	111	NØ	1
16	1	Kjerne	bipolar kjerne	bergkrystall	100	111	NØ	1
17	1	Skraper	ubestemt skraper	flint	100	111	NØ	1
18	1	Retusjert flekke	retusjert medioflekke	flint	100	111	NØ	1
19	10	Avslag		flint	100	112	SV	1
20	10	Avslag	mikroavslag	flint	100	112	SV	1
21	1	Avslag	mikroavslag	kvarts	100	112	SV	1
22	1	Kjerne	bipolar kjerne	flint	100	112	SV	1
23	23	Avslag		flint	100	112	NV	1
24	2	Avslag		jaspis	100	112	NV	1
25	5	Avslag	mikroavslag	flint	100	112	NV	1
26	1	Flekke	mikroflekke	flint	100	112	NV	1
27	1	Kjernefragment	bipolart kjernefragment	flint	100	112	NV	1
28	1	Skraper	ubestemt skraper	flint	100	112	NV	1
29	1	Retusjert avslag	retusjert medioavslag	flint	100	112	NV	1
30	18	Avslag		flint	100	113	NØ	1
31	8	Avslag	mikroavslag	flint	100	113	NØ	1
32	1	Avslag	mikroavslag	kvarts	100	113	NØ	1
33	1	Avslag	mikroavslag	bergkrystall	100	113	NØ	1
34	1	Flekke	mikroflekke	flint	100	113	NØ	1
35	1	Kjernefragment		flint	100	113	NØ	1
36	26	Avslag		flint	100	113	SV	1
37	1	Avslag		kvartsitt	100	113	SV	1
38	26	Avslag	mikroavslag	flint	100	113	SV	1

39	1	Flekke	mikroflekke	flint	100	113	SV	1
40	1	Diagnostisk avslag	flekkelignende avslag	flint	100	113	SV	1
41	1	Kjernefragment	bipolart kjernefragment	flint	100	113	SV	1
42	1	Kjerne	ensidig kjerne	flint	100	113	SV	1
43	34	Avslag		flint	100	113	SØ	1
44	1	Avslag		kvarts	100	113	SØ	1
45	13	Avslag	mikroavslag	flint	100	113	SØ	1
46	1	Flekke	makroflekke	flint	100	113	SØ	1
47	1	Flekke	mikroflekke	flint	100	113	SØ	1
48	1	Kjerne	bipolar kjerne	flint	100	113	SØ	1
49	1	Kjerne	ubestemt kjerne	flint	100	113	SØ	1
50	1	Retusjert flekke	retusjert medioflekke	flint	100	113	SØ	1
51	19	Avslag		flint	100	113	NV	1
52	1	Avslag		kvartsitt	100	113	NV	1
53	11	Avslag	mikroavslag	flint	100	113	NV	1
54	1	Avslag	medioavslag	flint	100	113	NV	1
55	1	Flekke	mikroflekke	flint	100	113	NV	1
56	1	Borspiss	borspiss på kjerne/kjernefragment	flint	100	113	NV	1
57	26	Avslag		flint	100	113	NØ	1
58	2	Avslag		kvarts	100	113	NØ	1
59	1	Avslag		bergkrystall	100	113	NØ	1
60	23	Avslag	mikroavslag	flint	100	113	NØ	1
61	3	Avslag	fragment	flint	100	113	NØ	1
62	1	Diagnostisk avslag	flekkelignende avslag	flint	100	113	NØ	1
63	48	Avslag		flint	100	114	SV	1
64	1	Avslag		bergkrystall	100	114	SV	1
65	24	Avslag	mikroavslag	flint	100	114	SV	1
66	3	Avslag	mikroavslag	bergkrystall	100	114	SV	1
67	1	Avslag	medioavslag	flint	100	114	SV	1
68	1	Avslag	medioavslag	flint	100	114	SV	1
69	1	Kjerne	bipolar kjerne	bergkrystall	100	114	SV	1
70	35	Avslag		flint	100	114	SØ	1
71	1	Avslag		bergart	100	114	SØ	1
72	1	Avslag		kvartsitt	100	114	SØ	1
73	3	Avslag		bergkrystall	100	114	SØ	1
74	20	Avslag	mikroavslag	flint	100	114	SØ	1
75	1	Avslag	mikroavslag	bergkrystall	100	114	SØ	1
76	1	Avslag	medioavslag	flint	100	114	SØ	1
77	1	Avslag	medioavslag	flint	100	114	SØ	1
78	1	Flekke	makroflekke	flint	100	114	SØ	1
79	1	Flekke	medioflekke	flint	100	114	SØ	1

80	1	Flekke	mikroflekke	flint	100	114	SØ	1
81	1	Diagnostisk avslag	flekkelignende avslag	flint	100	114	SØ	1
82	1	Diagnostisk avslag	flekkelignende avslag	flint	100	114	SØ	1
83	1	Kjerne	bipolar kjerne	flint	100	114	SØ	1
84	1	Kjerne	ubestemt kjerne	flint	100	114	SØ	1
85	1	Retusjert avslag	retusjert fragment	flint	100	114	SØ	1
86	35	Avslag		flint	100	114	NV	1
87	22	Avslag	mikroavslag	flint	100	114	NV	1
88	2	Avslag	mikroavslag	bergkrystall	100	114	NV	1
89	3	Avslag	fragment	flint	100	114	NV	1
90	1	Flekke	mikroflekke	flint	100	114	NV	1
91	1	Kjerne	bipolar kjerne	flint	100	114	NV	1
92	1	Kjernefragment	bipolart kjernefragment	flint	100	114	NV	1
93	40	Avslag		flint	100	114	NØ	1
94	1	Avslag		kvarts	100	114	NØ	1
95	1	Avslag		kvartsitt	100	114	NØ	1
96	1	Avslag		bergart	100	114	NØ	1
97	29	Avslag	mikroavslag	flint	100	114	NØ	1
98	1	Avslag	mikroavslag	kvarts	100	114	NØ	1
99	1	Avslag	medioavslag	flint	100	114	NØ	1
100	1	Diagnostisk avslag	flekkelignende avslag	flint	100	114	NØ	1
101	1	Diagnostisk avslag	flekkelignende avslag	bergkrystall	100	114	NØ	1
102	52	Avslag		flint	100	115	SV	1
103	12	Avslag	mikroavslag	flint	100	115	SV	1
104	1	Avslag	medioavslag	bergkrystall	100	115	SV	1
105	1	Flekke	mikroflekke	flint	100	115	SV	1
106	1	Kjerne	ensidig kjerne	flint	100	115	SV	1
107	1	Kjerne	bipolar kjerne	flint	100	115	SV	1
108	1	Retusjert flekke	retusjert medioflekke	flint	100	115	SV	1
109	27	Avslag		flint	100	115	NV	1
110	5	Avslag		kvarts	100	115	NV	1
111	1	Avslag	makroavslag	bergkrystall	100	115	NV	1
112	17	Avslag	mikroavslag	flint	100	115	NV	1
113	1	Avslag	medioavslag	flint	100	115	NV	1
114	1	Diagnostisk avslag	flekkelignende avslag	flint	100	115	NV	1
115	1	Kjerne	bipolar kjerne	flint	100	115	NV	1
116	1	Kjerne	bipolar kjerne	flint	100	115	NV	1
117	1	Knakkestein		bergart	100	115	NV	1
118	25	Avslag		flint	100	115	SØ	1
119	2	Avslag		kvarts	100	115	SØ	1
120	16	Avslag	mikroavslag	flint	100	115	SØ	1
121	1	Avslag	fragment	bergkrystall	100	115	SØ	1

122	1	Flekke	medioflekke	flint	100	115	SØ	1
123	1	Flekke	mikroflekke	flint	100	115	SØ	1
124	1	Kjerne	bipolar kjerne	bergkrystall	100	115	SØ	1
125	1	Kjernefragment	ubestemt kjernefragment	flint	100	115	SØ	1
126	50	Avslag		flint	100	115	NØ	1
127	2	Avslag		kvarts	100	115	NØ	1
128	1	Avslag	medioavslag	flint	100	115	NØ	1
129	24	Avslag	mikroavslag	flint	100	115	NØ	1
130	1	Avslag	medioavslag	flint	100	115	NØ	1
131	1	Flekke	makroflekke	flint	100	115	NØ	1
132	1	Flekke	medioflekke	flint	100	115	NØ	1
133	1	Flekke	medioflekke	flint	100	115	NØ	1
134	1	Flekke	mikroflekke	flint	100	115	NØ	1
135	1	Diagnostisk avslag	flekkelignende avslag	flint	100	115	NØ	1
136	1	Diagnostisk avslag	flekkelignende avslag	flint	100	115	NØ	1
137	1	Kjerne	bipolar kjerne	flint	100	115	NØ	1
138	3	Avslag		flint	100	116	SV	1
139	1	Flekke	mikroflekke	flint	100	116	SV	1
140	1	Kjerne	bipolar kjerne	flint	100	116	SV	1
141	21	Avslag		flint	100	118	SV	1
142	22	Avslag	mikroavslag	flint	100	118	SV	1
143	1	Avslag		bergkrystall	100	118	SV	1
144	1	Avslag	fragment	flint	100	118	SV	1
145	1	Flekke	mikroflekke	flint	100	118	SV	1
146	1	Flekke	mikroflekke	flint	100	118	SV	1
147	1	Retusjert avslag	retusjert medioavslag	flint	100	118	SV	1
148	16	Avslag		flint	101	106	NV	1
149	1	Avslag		kvarts	101	106	NV	1
150	1	Avslag	mikroavslag	kvarts	101	106	NV	1
151	1	Flekke	medioflekke	flint	101	106	NV	1
152	18	Avslag		flint	101	106	NØ	1
153	3	Avslag		bergkrystall	101	106	NØ	1
154	7	Avslag	mikroavslag	flint	101	106	NØ	1
155	1	Avslag	fragment	flint	101	106	NØ	1
156	1	Avslag	medioavslag	flint	101	106	NØ	1
157	1	Avslag	medioavslag	flint	101	106	NØ	1
158	1	Flekke	mikroflekke	flint	101	106	NØ	1
159	1	Kjerne	bipolar kjerne	flint	101	106	NØ	1
160	1	Kjerne	bipolar kjerne	flint	101	106	NØ	1
161	1	Kjerne	bipolar kjerne	flint	101	106	NØ	1
162	1	Kjernefragment	bipolart kjernefragment	flint	101	106	NØ	1

163	1	Retusjert avslag	retusjert medioavslag	flint	101	106	NØ	1
164	1	Retusjert flekke	retusjert medioflekke	flint	101	106	NØ	1
165	1	Knoll		flint	101	106	NØ	1
166	4	Avslag		flint	101	107	NV	1
167	3	Avslag	mikroavslag	flint	101	107	NV	1
168	1	Flekke	mikroflekke	flint	101	107	NV	1
169	1	Flekke	mikroflekke	flint	101	107	NV	1
170	11	Avslag		flint	101	107	NØ	1
171	1	Avslag		kvarts	101	107	NØ	1
172	10	Avslag	mikroavslag	flint	101	107	NØ	1
173	2	Avslag	mikroavslag	kvarts	101	107	NØ	1
174	13	Avslag		flint	101	108	SV	1
175	3	Avslag		kvarts	101	108	SV	1
176	3	Avslag	mikroavslag	flint	101	108	SV	1
177	1	Flekke	mikroflekke	flint	101	108	SV	1
178	1	Diagnostisk avslag	cortexflekke	flint	101	108	SV	1
179	1	Kjerne	bipolar kjerne	flint	101	108	SV	1
180	18	Avslag		flint	101	105	SØ	1
181	7	Avslag	mikroavslag	flint	101	105	SØ	1
182	1	Avslag	medioavslag	flint	101	105	SØ	1
183	1	Kjerne	bipolar kjerne	flint	101	105	SØ	1
184	1	Kjerne	bipolar kjerne	flint	101	105	SØ	1
185	21	Avslag	medioavslag	flint	101	105	NV	1
186	1	Flekke	mikroflekke	flint	101	105	NV	1
187	1	Avslag	mikroavslag	flint	101	105	NV	1
188	1	Kjerne	bipolar kjerne	flint	101	105	NV	1
189	13	Avslag		flint	101	108	NØ	1
190	1	Avslag		bergkrystall	101	108	NØ	1
191	6	Avslag	fragment	flint	101	108	NØ	1
192	1	Avslag	medioavslag	flint	101	108	NØ	1
193	1	Diagnostisk avslag	flekkelignende avslag	flint	101	108	NØ	1
194	18	Avslag		flint	101	109	SV	1
195	12	Avslag	mikroavslag	flint	101	109	SV	1
196	1	Avslag	medioavslag	flint	101	109	SV	1
197	2	Avslag	fragment	flint	101	109	SV	1
198	22	Avslag		flint	101	109	NV	1
199	3	Avslag		kvarts	101	109	NV	1
200	1	Avslag		bergkrystall	101	109	NV	1
201	1	Avslag		bergart	101	109	NV	1
202	12	Avslag	mikroavslag	flint	101	109	NV	1
203	2	Avslag	fragment	flint	101	109	NV	1
204	1	Flekke	mikroflekke	flint	101	109	NV	1

205	1	Flekke	mikroflekke	flint	101	109	NV	1
206	1	Kjerne	bipolar kjerne	flint	101	109	NV	1
207	1	Kjerne	bipolar kjerne	flint	101	109	NV	1
208	1	Kjernefragment		flint	101	109	NV	1
209	4	Avslag		flint	101	109	NØ	1
210	1	Avslag		kvarts	101	109	NØ	1
211	5	Flekke	mikroflekke	flint	101	109	NØ	1
212	20	Avslag		flint	101	110	SV	1
213	10	Avslag	mikroavslag	flint	101	110	SV	1
214	3	Avslag	fragment	flint	101	110	SV	1
215	1	Diagnostisk avslag	flekkelignende avslag	flint	101	110	SV	1
216	31	Avslag		flint	101	110	SØ	1
217	1	Avslag		bergkrystall	101	110	SØ	1
218	9	Avslag	mikroavslag	flint	101	110	SØ	1
219	1	Kjernefragment		flint	101	110	SØ	1
220	1	Prepareringsavslag	plattformavslag	flint	101	110	SØ	1
221	1	Skraper	endeskraper	flint	101	110	SØ	1
222	8	Avslag		flint	101	110	NV	1
223	3	Avslag	mikroavslag	flint	101	110	NV	1
224	1	Avslag	fragment	flint	101	110	NV	1
225	1	Flekke	mikroflekke	flint	101	110	NV	1
226	8	Avslag		flint	101	110	NØ	1
227	11	Avslag		flint	101	111	NV	1
228	1	Avslag		flint	101	111	NV	1
229	1	Avslag	mikroavslag	flint	101	111	NV	1
230	1	Flekke	mikroflekke	flint	101	111	NV	1
231	1	Kjernefragment	bipolart kjernefragment	flint	101	111	NV	1
232	9	Avslag		flint	101	111	NØ	1
233	3	Avslag	mikroavslag	flint	101	111	NØ	1
234	1	Diagnostisk avslag	flekkelignende avslag	flint	101	111	NØ	1
235	15	Avslag		flint	101	111	SV	1
236	1	Avslag		kvartsitt	101	111	SV	1
237	1	Avslag		jaspis	101	111	SV	1
238	18	Avslag	mikroavslag	flint	101	111	SV	1
239	2	Avslag	fragment	flint	101	111	SV	1
240	1	Avslag	medioavslag	flint	101	111	SV	1
241	1	Flekke	mikroflekke	flint	101	111	SV	1
242	1	Kjerne	bipolar kjerne	flint	101	111	SV	1
243	1	Borspiss		flint	101	111	SV	1
244	27	Avslag		flint	101	111	SØ	1
245	2	Avslag		jaspis	101	111	SØ	1
246	24	Avslag	mikroavslag	flint	101	111	SØ	1

247	1	Flekke	medioflekke	flint	101	111	SØ	1
248	1	Flekke	mikroflekke	flint	101	111	SØ	1
249	1	Kjerne	bipolar kjerne	flint	101	111	SØ	1
250	1	Kjerne	bipolar kjerne	flint	101	111	SØ	1
251	1	Prepareringsavslag	plattformavslag	flint	101	111	SØ	1
252	20	Avslag		flint	101	112	SV	1
253	8	Avslag		jaspis	101	112	SV	1
254	9	Avslag	mikroavslag	flint	101	112	SV	1
255	1	Avslag	medioavslag	flint	101	112	SV	1
256	1	Avslag	medioavslag	flint	101	112	SV	1
257	1	Kjerne	bipolar kjerne	flint	101	112	SV	1
258	1	Kjerne	bipolar kjerne	flint	101	112	SV	1
259	13	Avslag		flint	101	112	SØ	1
260	1	Avslag		jaspis	101	112	SØ	1
261	12	Avslag	fragment	flint	101	112	SØ	1
262	1	Avslag	medioavslag	flint	101	112	SØ	1
263	1	Kjernefragment		flint	101	112	SØ	1
264	13	Avslag		flint	101	112	NV	1
265	5	Avslag	mikroavslag	flint	101	112	NV	1
266	3	Avslag	mikroavslag	jaspis	101	112	NV	1
267	1	Avslag	medioavslag	flint	101	112	NV	1
268	1	Avslag	medioavslag	flint	101	112	NV	1
269	1	Avslag	medioavslag	flint	101	112	NV	1
270	1	Diagnostisk avslag	flekkelignende avslag	flint	101	112	NV	1
271	1	Kjerne	bipolar kjerne	flint	101	112	NV	1
272	1	Kjerne	bipolar kjerne	flint	101	112	NV	1
273	1	Kjernefragment		flint	101	112	NV	1
274	18	Avslag		flint	101	112	NØ	1
275	10	Avslag	mikroavslag	flint	101	112	NØ	1
276	1	Avslag		jaspis	101	112	NØ	1
277	1	Avslag	fragment	flint	101	112	NØ	1
278	1	Flekke	mikroflekke	flint	101	112	NØ	1
279	1	Kjerne	bipolar kjerne	flint	101	112	NØ	1
280	3	Avslag		flint	101	113	SV	1
281	1	Avslag		jaspis	101	113	SV	1
282	2	Avslag	mikroavslag	flint	101	113	SV	1
283	1	Avslag	medioavslag	flint	101	113	SV	1
284	1	Diagnostisk avslag	flekkelignende avslag	flint	101	113	SV	1
285	1	Kjernefragment	bipolart kjernefragment	flint	101	113	SV	1
286	17	Avslag		flint	101	113	SØ	1
287	4	Avslag	mikroavslag	flint	101	113	SØ	1
288	1	Kjerne	bipolar kjerne	flint	101	113	SØ	1

289	1	Kjerne	bipolar kjerne	flint	101	113	SØ	1
290	1	Kjernefragment	bipolart kjernefragment	flint	101	113	SØ	1
291	1	Kjerne	ensidig kjerne	flint	101	113	SØ	1
292	1	Skraper	ubestemt skraper	flint	101	113	SØ	1
293	16	Avslag		flint	101	113	NV	1
294	4	Avslag	mikroavslag	flint	101	113	NV	1
295	1	Avslag	medioavslag	flint	101	113	NV	1
296	1	Flekke	medioflekke	flint	101	113	NV	1
297	1	Kjerne	bipolar kjerne	flint	101	113	NV	1
298	1	Kjerne	bipolar kjerne	flint	101	113	NV	1
299	1	Kjerne	ubestemt kjerne	bergkrystall	101	113	NV	1
300	11	Avslag		flint	101	113	NØ	1
301	6	Avslag	mikroavslag	flint	101	113	NØ	1
302	1	Avslag		kvarts	101	113	NØ	1
303	1	Kjerne	bipolar kjerne	flint	101	113	NØ	1
304	26	Avslag		flint	101	114	SV	1
305	2	Avslag		kvarts	101	114	SV	1
306	1	Avslag		jaspis	101	114	SV	1
307	11	Avslag	mikroavslag	flint	101	114	SV	1
308	1	Avslag	mikroavslag	kvarts	101	114	SV	1
309	3	Avslag	fragment	flint	101	114	SV	1
310	1	Flekke	mikroflekke	flint	101	114	SV	1
311	1	Flekke	mikroflekke	kvartsitt	101	114	SV	1
312	1	Diagnostisk avslag	cortexflekke	flint	101	114	SV	1
313	1	Kjerne	bipolar kjerne	flint	101	114	SV	1
314	1	Kjerne	bipolar kjerne	flint	101	114	SV	1
315	1	Kjerne	bipolar kjerne	flint	101	114	SV	1
316	1	Kjerne	bipolar kjerne	flint	101	114	SV	1
317	1	Kjernefragment	bipolart kjernefragment	flint	101	114	SV	1
318	1	Kjernefragment	bipolart kjernefragment	flint	101	114	SV	1
319	31	Avslag		flint	101	114	SØ	1
320	4	Avslag		kvarts	101	114	SØ	1
321	20	Avslag	mikroavslag	flint	101	114	SØ	1
322	1	Avslag	mikroavslag	kvarts	101	114	SØ	1
323	1	Avslag	mikroavslag	kvartsitt	101	114	SØ	1
324	1	Avslag	fragment	flint	101	114	SØ	1
325	1	Avslag	medioavslag	flint	101	114	SØ	1
326	1	Diagnostisk avslag	flekkelignende avslag	kvartsitt	101	114	SØ	1
327	1	Kjerne	bipolar kjerne	flint	101	114	SØ	1
328	1	Kjerne	bipolar kjerne	flint	101	114	SØ	1
329	1	Kjerne	bipolar kjerne	flint	101	114	SØ	1

330	1	Kjernefragment	ubestemt kjernefragment	flint	101	114	SØ	1
331	23	Avslag		flint	101	114	NV	1
332	2	Avslag		kvarts	101	114	NV	1
333	1	Avslag		bergkrystall	101	114	NV	1
334	14	Avslag	mikroavslag	flint	101	114	NV	1
335	1	Avslag	mikroavslag	jaspis	101	114	NV	1
336	1	Avslag	medioavslag	flint	101	114	NV	1
337	1	Prepareringsavslag	ryggflekke	flint	101	114	NV	1
338	1	Kjerne	bipolar kjerne	flint	101	114	NV	1
339	1	Kjernefragment	plattformkjernefragment	flint	101	114	NV	1
340	19	Avslag		flint	101	114	NØ	1
341	1	Avslag		kvarts	101	114	NØ	1
342	2	Avslag		kvartsitt	101	114	NØ	1
343	18	Avslag	mikroavslag	flint	101	114	NØ	1
344	2	Avslag	mikroavslag	bergkrystall	101	114	NØ	1
345	1	Avslag	medioavslag	flint	101	114	NØ	1
346	1	Flekke	medioflekke	kvartsitt	101	114	NØ	1
347	1	Diagnostisk avslag	flekkelignende avslag	flint	101	114	NØ	1
348	1	Kjerne	håndtakskjerne	flint	101	114	NØ	1
349	1	Kjerne	ensidig kjerne	flint	101	114	NØ	1
350	1	Kjerne	bipolar kjerne	flint	101	114	NØ	1
351	1	Kjernefragment	bipolart kjernefragment	flint	101	114	NØ	1
352	1	Retusjert avslag	retusjert medioavslag	flint	101	114	NØ	1
353	30	Avslag		flint	101	115	SV	1
354	1	Avslag		kvartsitt	101	115	SV	1
355	1	Avslag		bergkrystall	101	115	SV	1
356	20	Avslag	mikroavslag	flint	101	115	SV	1
357	1	Avslag	mikroavslag	kvartsitt	101	115	SV	1
358	2	Avslag	mikroavslag	bergkrystall	101	115	SV	1
359	1	Avslag	fragment	flint	101	115	SV	1
360	1	Avslag	medioavslag	flint	101	115	SV	1
361	1	Flekke	mikroflekke	flint	101	115	SV	1
362	1	Diagnostisk avslag	flekkelignende avslag	flint	101	115	SV	1
363	1	Kjerne	bipolar kjerne	flint	101	115	SV	1
364	1	Kjernefragment	bipolart kjernefragment	flint	101	115	SV	1
365	1	Kjernefragment	bipolart kjernefragment	flint	101	115	SV	1
366	40	Avslag		flint	101	115	SØ	1
367	1	Avslag		kvarts	101	115	SØ	1
368	1	Avslag		kvartsitt	101	115	SØ	1
369	29	Avslag	mikroavslag	flint	101	115	SØ	1
370	1	Avslag	mikroavslag	kvarts	101	115	SØ	1

371	2	Avslag	fragment	flint	101	115	SØ	1
372	1	Avslag	medioavslag	flint	101	115	SØ	1
373	1	Kjerne	bipolar kjerne	flint	101	115	SØ	1
374	1	Kjerne	bipolar kjerne	flint	101	115	SØ	1
375	1	Kjerne	bipolar kjerne	bergkrystall	101	115	SØ	1
376	1	Kjernefragment	bipolart kjernefragment	flint	101	115	SØ	1
377	20	Avslag		flint	101	115	NV	1
378	2	Avslag		kvarts	101	115	NV	1
379	11	Avslag	mikroavslag	flint	101	115	NV	1
380	1	Avslag	mikroavslag	bergkrystall	101	115	NV	1
381	1	Avslag	fragment	flint	101	115	NV	1
382	1	Flekke	medioflekke	flint	101	115	NV	1
383	1	Flekke	medioflekke	kvartsitt	101	115	NV	1
384	1	Flekke	mikroflekke	flint	101	115	NV	1
385	1	Flekke	mikroflekke	flint	101	115	NV	1
386	1	Kjerne	bipolar kjerne	flint	101	115	NV	1
387	1	Kjerne	bipolar kjerne	flint	101	115	NV	1
388	31	Avslag		flint	101	115	NØ	1
389	21	Avslag	mikroavslag	flint	101	115	NØ	1
390	1	Avslag	medioavslag	flint	101	115	NØ	1
391	1	Flekke	medioflekke	flint	101	115	NØ	1
392	1	Flekke	mikroflekke	flint	101	115	NØ	1
393	1	Kjerne	bipolar kjerne	flint	101	115	NØ	1
394	1	Kjerne	bipolar kjerne	flint	101	115	NØ	1
395	1	Kjerne	ubestemt kjerne	kvartsitt	101	115	NØ	1
396	3	Avslag		flint	102	92	SV	1
397	1	Avslag	mikroavslag	flint	102	92	SV	1
398	1	Flekke	mikroflekke	flint	102	92	SV	1
399	2	Avslag		flint	102	94	SV	1
400	1	Avslag	fragment	flint	102	94	SV	1
401	2	Avslag		flint	102	96	SV	1
402	4	Avslag		flint	102	98	SV	1
403	2	Avslag	mikroavslag	flint	102	98	SV	1
404	1	Kjerne	bipolar kjerne	flint	102	98	SV	1
405	9	Avslag		flint	102	100	SV	1
406	6	Avslag	mikroavslag	flint	102	100	SV	1
407	1	Avslag	fragment	flint	102	100	SV	1
408	1	Kjerne	bipolar kjerne	bergkrystall	102	100	SV	1
409	1	Kjernefragment	bipolart kjernefragment	flint	102	100	SV	1
410	6	Avslag		flint	102	102	SV	1
411	2	Avslag	mikroavslag	flint	102	102	SV	1
412	1	Avslag	medioavslag	flint	102	102	SV	1

413	1	Flekke	mikroflekke	flint	102	102	SV	1
414	1	Kjerne	bipolar kjerne	flint	102	102	SV	1
415	1	Kjerne	bipolar kjerne	jaspis	102	102	SV	1
416	2	Avslag		flint	102	104	SV	1
417	1	Flekke	medioflekke	flint	102	104	SV	1
418	1	Kjerne	bipolar kjerne	flint	102	104	SV	1
419	4	Avslag		flint	102	106	SV	1
420	1	Avslag	fragment	flint	102	106	SV	1
421	2	Avslag	mikroavslag	flint	102	106	SV	1
422	2	Avslag	fragment	flint	102	106	SV	1
423	1	Flekke	medioflekke	flint	102	106	SV	1
424	1	Flekke	mikroflekke	bergkrystall	102	106	SV	1
425	1	Kjerne	ensidig kjerne	flint	102	106	SV	1
426	14	Avslag		flint	102	106	SØ	1
427	2	Avslag		bergkrystall	102	106	SØ	1
428	9	Avslag	mikroavslag	flint	102	106	SØ	1
429	1	Avslag	fragment	flint	102	106	SØ	1
430	1	Avslag	medioavslag	flint	102	106	SØ	1
431	1	Flekke	mikroflekke	flint	102	106	SØ	1
432	1	Flekke	mikroflekke	flint	102	106	SØ	1
433	1	Kjerne	bipolar kjerne	flint	102	106	SØ	1
434	1	Kjerne	bipolar kjerne	flint	102	106	SØ	1
435	1	Kjerne	bipolar kjerne	bergkrystall	102	106	SØ	1
436	1	Kjernefragment	bipolart kjernefragment	flint	102	106	SØ	1
437	3	Avslag		flint	102	106	NV	1
438	1	Avslag		kvarts	102	106	NV	1
439	1	Flekke	mikroflekke	flint	102	106	NV	1
440	1	Kjerne	ensidig kjerne	bergkrystall	102	106	NV	1
441	4	Avslag		flint	102	106	NØ	1
442	1	Avslag	mikroavslag	flint	102	106	NØ	1
443	1	Avslag	medioavslag	flint	102	106	NØ	1
444	1	Kjerne	bipolar kjerne	flint	102	106	NØ	1
445	6	Avslag		flint	102	107	SV	1
446	2	Avslag	mikroavslag	flint	102	107	SV	1
447	1	Avslag	mikroavslag	bergkrystall	102	107	SV	1
448	1	Avslag	medioavslag	flint	102	107	SV	1
449	1	Kjerne	bipolar kjerne	bergkrystall	102	107	SV	1
450	1	Kjernefragment	bipolart kjernefragment	flint	102	107	SV	1
451	1	Kjernefragment	bipolart kjernefragment	flint	102	107	SV	1
452	7	Avslag		flint	102	107	SØ	1
453	2	Avslag	mikroavslag	flint	102	107	SØ	1
454	1	Kjernefragment	bipolart kjernefragment	flint	102	107	SØ	1

455	12	Avslag		flint	102	107	NV	1
456	5	Avslag	mikroavslag	flint	102	107	NV	1
457	2	Avslag		kvarts	102	107	NV	1
458	1	Avslag	mikroavslag	kvartsitt	102	107	NV	1
459	1	Avslag	medioavslag	flint	102	107	NV	1
460	1	Skraper	flekkeskraper	flint	102	107	NV	1
461	8	Avslag		flint	102	107	NØ	1
462	5	Avslag	mikroavslag	flint	102	107	NØ	1
463	1	Avslag	mikroavslag	bergkrystall	102	107	NØ	1
464	1	Flekke	medioflekke	flint	102	107	NØ	1
465	1	Diagnostisk avslag	cortexflekke	flint	102	107	NØ	1
466	1	Kjerne	bipolar kjerne	flint	102	107	NØ	1
467	12	Avslag		flint	102	108	SV	1
468	1	Avslag		kvarts	102	108	SV	1
469	1	Avslag		bergkrystall	102	108	SV	1
470	2	Avslag	mikroavslag	flint	102	108	SV	1
471	1	Avslag	mikroavslag	bergkrystall	102	108	SV	1
472	1	Avslag	makroavslag	flint	102	108	SV	1
473	1	Avslag	medioavslag	flint	102	108	SV	1
474	1	Flekke	mikroflekke	flint	102	108	SV	1
475	1	Diagnostisk avslag	flekkelignende avslag	flint	102	108	SV	1
476	1	Kjerne	bipolar kjerne	flint	102	108	SV	1
477	14	Avslag		flint	102	108	SØ	1
478	1	Avslag		bergkrystall	102	108	SØ	1
479	1	Avslag		jaspis	102	108	SØ	1
480	8	Avslag	mikroavslag	flint	102	108	SØ	1
481	1	Avslag	medioavslag	flint	102	108	SØ	1
482	1	Avslag	medioavslag	flint	102	108	SØ	1
483	1	Kjernefragment	bipolart kjernefragment	flint	102	108	SØ	1
484	1	Skraper	endeskraper	flint	102	108	SØ	1
485	1	Retusjert avslag	retusjert medioavslag	flint	102	108	SØ	1
486	9	Avslag		flint	102	108	NV	1
487	2	Avslag	mikroavslag	flint	102	108	NV	1
488	1	Flekke	medioflekke	flint	102	108	NV	1
489	1	Kjerne	bipolar kjerne	bergkrystall	102	108	NV	1
490	13	Avslag		flint	102	108	NØ	1
491	1	Avslag	mikroavslag	kvarts	102	108	NØ	1
492	1	Avslag	medioavslag	flint	102	108	NØ	1
493	1	Flekke	mikroflekke	flint	102	108	NØ	1
494	1	Flekke	mikroflekke	flint	102	108	NØ	1
495	1	Diagnostisk avslag	flekkelignende avslag	flint	102	108	NØ	1
496	1	Kjerne	bipolar kjerne	flint	102	108	NØ	1

497	1	Kjerne	bipolar kjerne	kvarts	102	108	NØ	1
498	22	Avslag		flint	102	109	SV	1
499	1	Avslag		kvarts	102	109	SV	1
500	7	Avslag	mikroavslag	flint	102	109	SV	1
501	1	Flekke	medioflekke	kvartsitt	102	109	SV	1
502	1	Flekke	mikroflekke	flint	102	109	SV	1
503	17	Avslag		flint	102	109	SØ	1
504	1	Avslag		kvarts	102	109	SØ	1
505	5	Avslag	mikroavslag	flint	102	109	SØ	1
506	1	Flekke	mikroflekke	flint	102	109	SØ	1
507	1	Flekke	mikroflekke	flint	102	109	SØ	1
508	1	Fragment	slipt fragment	sandstein	102	109	SØ	1
509	19	Avslag		flint	102	109	NV	1
510	3	Avslag		kvarts	102	109	NV	1
511	9	Avslag	mikroavslag	flint	102	109	NV	1
512	1	Flekke	mikroflekke	flint	102	109	NV	1
513	1	Diagnostisk avslag	flekkelignende avslag	flint	102	109	NV	1
514	1	Kjerne	bipolar kjerne	flint	102	109	NV	1
515	1	Kjernefragment	bipolart kjernefragment	flint	102	109	NV	1
516	14	Avslag		flint	102	110	SV	1
517	1	Avslag	mikroavslag	flint	102	110	SV	1
518	1	Kjernefragment	bipolart kjernefragment	flint	102	110	SV	1
519	1	Fragment	slipt fragment	sandstein	102	110	SV	1
520	9	Avslag		flint	102	110	SØ	1
521	2	Avslag	mikroavslag	flint	102	110	SØ	1
522	7	Avslag		flint	102	110	NV	1
523	1	Avslag	mikroavslag	flint	102	110	NV	1
524	1	Flekke	mikroflekke	flint	102	110	NV	1
525	1	Kjerne	bipolar kjerne	flint	102	110	NV	1
526	1	Kjerne	bipolar kjerne	kvarts	102	110	NV	1
527	1	Prepareringsavslag	plattformavslag	flint	102	110	NV	1
528	2	Avslag		flint	102	110	NØ	1
529	1	Kjerne	bipolar kjerne	flint	102	110	NØ	1
530	5	Avslag		flint	102	111	SV	1
531	1	Avslag	mikroavslag	flint	102	111	SV	1
532	8	Avslag		flint	102	111	SØ	1
533	1	Avslag	mikroavslag	flint	102	111	SØ	1
534	12	Avslag		flint	102	111	NV	1
535	2	Avslag	mikroavslag	flint	102	111	NV	1
536	1	Kjerne	bipolar kjerne	flint	102	111	NV	1
537	1	Kjernefragment	bipolart kjernefragment	flint	102	111	NV	1
538	21	Avslag		flint	102	111	NØ	1

539	2	Avslag	mikroavslag	flint	102	111	NØ	1
540	1	Avslag	medioavslag	flint	102	111	NØ	1
541	1	Flekke	mikroflekke	flint	102	111	NØ	1
542	1	Flekke	mikroflekke	flint	102	111	NØ	1
543	1	Borspiss		flint	102	111	NØ	1
544	16	Avslag		flint	102	112	SV	1
545	1	Flekke	mikroflekke	flint	102	112	SV	1
546		Brent leire		leire	102	112	SV	1
547	35	Avslag		flint	102	112	SØ	1
548	12	Avslag	mikroavslag	flint	102	112	SØ	1
549	1	Flekke	medioflekke	flint	102	112	SØ	1
550	1	Flekke	mikroflekke	flint	102	112	SØ	1
551	1	Diagnostisk avslag	flekkelignende avslag	flint	102	112	SØ	1
552	1	Diagnostisk avslag	flekkelignende avslag	flint	102	112	SØ	1
553	1	Diagnostisk avslag	flekkelignende avslag	flint	102	112	SØ	1
554	1	Diagnostisk avslag	flekkelignende avslag	kvarts	102	112	SØ	1
555	1	Kjerne	bipolar kjerne	flint	102	112	SØ	1
556	1	Kjernefragment	bipolart kjernefragment	flint	102	112	SØ	1
557	13	Avslag		flint	102	112	NV	1
558	2	Avslag		bergkrystall	102	112	NV	1
559	1	Avslag		jaspis	102	112	NV	1
560	8	Avslag	mikroavslag	flint	102	112	NV	1
561	1	Flekke	mikroflekke	flint	102	112	NV	1
562	1	Kjerne	bipolar kjerne	flint	102	112	NV	1
563	1	Kjerne	ubestemt kjerne	flint	102	112	NV	1
564	13	Avslag		flint	102	112	NØ	1
565	2	Avslag		kvarts	102	112	NØ	1
566	1	Avslag		jaspis	102	112	NØ	1
567	6	Avslag	mikroavslag	flint	102	112	NØ	1
568	1	Flekke	mikroflekke	flint	102	112	NØ	1
569	1	Flekke	mikroflekke	flint	102	112	NØ	1
570	1	Flekke	mikroflekke	flint	102	112	NØ	1
571	1	Diagnostisk avslag	flekkelignende avslag	flint	102	112	NØ	1
572	1	Kjerne	bipolar kjerne	flint	102	112	NØ	1
573	25	Avslag		flint	102	113	SV	1
574	1	Avslag		kvarts	102	113	SV	1
575	1	Avslag		bergkrystall	102	113	SV	1
576	14	Avslag	mikroavslag	flint	102	113	SV	1
577	1	Flekke	mikroflekke	bergkrystall	102	113	SV	1
578	1	Knoll		flint	102	113	SV	1
579	21	Avslag		flint	102	113	SØ	1
580	14	Avslag	mikroavslag	flint	102	113	SØ	1

581	1	Flekke	makroflekke	flint	102	113	SØ	1
582	1	Flekke	mikroflekke	flint	102	113	SØ	1
583	1	Diagnostisk avslag	flekkelignende avslag	flint	102	113	SØ	1
584	18	Avslag		flint	102	113	NV	1
585	1	Avslag		kvarts	102	113	NV	1
586	5	Avslag	mikroavslag	flint	102	113	NV	1
587	1	Flekke	makroflekke	flint	102	113	NV	1
588	1	Kjernefragment	bipolart kjernefragment	flint	102	113	NV	1
589	11	Avslag		flint	102	113	NØ	1
590	1	Avslag		kvarts	102	113	NØ	1
591	1	Avslag		bergkrystall	102	113	NØ	1
592	15	Avslag	mikroavslag	flint	102	113	NØ	1
593	1	Avslag	mikroavslag	bergkrystall	102	113	NØ	1
594	1	Kjernefragment	bipolart kjernefragment	flint	102	113	NØ	1
595	1	Kjernefragment	bipolart kjernefragment	flint	102	113	NØ	1
596	33	Avslag		flint	102	114	SV	1
597	5	Avslag		kvarts	102	114	SV	1
598	1	Avslag		kvartsitt	102	114	SV	1
599	14	Avslag	mikroavslag	flint	102	114	SV	1
600	1	Avslag	mikroavslag	bergkrystall	102	114	SV	1
601	1	Flekke	mikroflekke	flint	102	114	SV	1
602	1	Flekke	mikroflekke	flint	102	114	SV	1
603	1	Kjerne	bipolar kjerne	flint	102	114	SV	1
604	1	Kjerne	bipolar kjerne	kvarts	102	114	SV	1
605	1	Kjernefragment	bipolart kjernefragment	flint	102	114	SV	1
606	1	Kjernefragment	bipolart kjernefragment	flint	102	114	SV	1
607	28	Avslag		flint	102	114	SØ	1
608	1	Avslag		kvarts	102	114	SØ	1
609	1	Avslag		bergkrystall	102	114	SØ	1
610	34	Avslag	mikroavslag	flint	102	114	SØ	1
611	1	Avslag	mikroavslag	kvarts	102	114	SØ	1
612	1	Avslag	makroavslag	flint	102	114	SØ	1
613	1	Flekke	mikroflekke	flint	102	114	SØ	1
614	1	Kjerne	bipolar kjerne	flint	102	114	SØ	1
615	1	Kjerne	bipolar kjerne	flint	102	114	SØ	1
616	1	Kjerne	bipolar kjerne	flint	102	114	SØ	1
617	1	Kjerne	bipolar kjerne	bergkrystall	102	114	SØ	1
618	1	Kjerne	ubestemt kjerne	flint	102	114	SØ	1
619	31	Avslag		flint	102	114	NV	1
620	1	Avslag		kvarts	102	114	NV	1
621	1	Avslag		kvartsitt	102	114	NV	1
622	1	Avslag		bergkrystall	102	114	NV	1

623	7	Avslag	mikroavslag	flint	102	114	NV	1
624	1	Avslag	mikroavslag	kvarts	102	114	NV	1
625	1	Kjernefragment	bipolart kjernefragment	flint	102	114	NV	1
626	18	Avslag		flint	102	114	NØ	1
627	1	Avslag		kvartsitt	102	114	NØ	1
628	11	Avslag	mikroavslag	flint	102	114	NØ	1
629	1	Kjerne	bipolar kjerne	flint	102	114	NØ	1
630	1	Kjerne	bipolar kjerne	flint	102	114	NØ	1
631	1	Kjerne	bipolar kjerne	bergkrystall	102	114	NØ	1
632	1	Kjernefragment	bipolart kjernefragment	flint	102	114	NØ	1
633	45	Avslag		flint	102	115	SV	1
634	2	Avslag		kvarts	102	115	SV	1
635	1	Avslag		kvartsitt	102	115	SV	1
636	5	Avslag		bergkrystall	102	115	SV	1
637	18	Avslag	mikroavslag	flint	102	115	SV	1
638	2	Avslag	mikroavslag	bergkrystall	102	115	SV	1
639	1	Flekke	mikroflekke	bergkrystall	102	115	SV	1
640	1	Kjerne	bipolar kjerne	flint	102	115	SV	1
641	1	Kjerne	bipolar kjerne	flint	102	115	SV	1
642	1	Kjerne	bipolar kjerne	flint	102	115	SV	1
643	1	Kjernefragment	bipolart kjernefragment	flint	102	115	SV	1
644	45	Avslag		flint	102	115	SØ	1
645	2	Avslag		kvarts	102	115	SØ	1
646	1	Avslag		bergkrystall	102	115	SØ	1
647	19	Avslag	mikroavslag	flint	102	115	SØ	1
648	1	Flekke	medioflekke	flint	102	115	SØ	1
649	1	Flekke	medioflekke	flint	102	115	SØ	1
650	1	Flekke	mikroflekke	flint	102	115	SØ	1
651	1	Flekke	mikroflekke	bergkrystall	102	115	SØ	1
652	1	Diagnostisk avslag	flekkelignende avslag	flint	102	115	SØ	1
653	1	Kjerne	bipolar kjerne	flint	102	115	SØ	1
654	1	Kjerne	bipolar kjerne	flint	102	115	SØ	1
655	1	Kjernefragment	bipolart kjernefragment	flint	102	115	SØ	1
656	1	Kjernefragment	bipolart kjernefragment	flint	102	115	SØ	1
657	32	Avslag		flint	102	115	NV	1
658	2	Avslag		kvarts	102	115	NV	1
659	15	Avslag	mikroavslag	flint	102	115	NV	1
660	1	Avslag	medioavslag	flint	102	115	NV	1
661	1	Kjerne	bipolar kjerne	flint	102	115	NV	1
662	1	Kjerne	bipolar kjerne	flint	102	115	NV	1
663	1	Kjerne	bipolar kjerne	flint	102	115	NV	1
664	1	Kjernefragment	bipolart kjernefragment	flint	102	115	NV	1

665	29	Avslag		flint	102	115	NØ	1
666	2	Avslag		kvarts	102	115	NØ	1
667	10	Avslag	mikroavslag	flint	102	115	NØ	1
668	1	Avslag	mikroavslag	bergkrystall	102	115	NØ	1
669	1	Flekke	mikroflekke	flint	102	115	NØ	1
670	1	Flekke	mikroflekke	flint	102	115	NØ	1
671	1	Flekke	mikroflekke	flint	102	115	NØ	1
672	1	Kjerne	bipolar kjerne	flint	102	115	NØ	1
673	1	Kjerne	bipolar kjerne	flint	102	115	NØ	1
674	1	Kjerne	bipolar kjerne	flint	102	115	NØ	1
675	1	Kjerne	ubestemt kjerne	kvarts	102	115	NØ	1
676	1	Kjernefragment		flint	102	115	NØ	1
677	1	Kjernefragment		flint	102	115	NØ	1
678	1	Kjernefragment		flint	102	115	NØ	1
679	30	Avslag		flint	102	116	NV	1
680	2	Avslag		kvarts	102	116	NV	1
681	18	Avslag	mikroavslag	flint	102	116	NV	1
682	1	Avslag	mikroavslag	kvarts	102	116	NV	1
683	1	Kjernefragment	bipolart kjernefragment	flint	102	116	NV	1
684	19	Avslag		flint	102	116	NØ	1
685	4	Avslag		kvarts	102	116	NØ	1
686	1	Avslag		bergkrystall	102	116	NØ	1
687	1	Avslag		jaspis	102	116	NØ	1
688	8	Avslag	mikroavslag	flint	102	116	NØ	1
689	1	Avslag	mikroavslag	kvartsitt	102	116	NØ	1
690	1	Flekke	medioflekke	flint	102	116	NØ	1
691	1	Flekke	mikroflekke	flint	102	116	NØ	1
692	1	Flekke	mikroflekke	flint	102	116	NØ	1
693	1	Kjerne	bipolar kjerne	flint	102	116	NØ	1
694	1	Kjerne	bipolar kjerne	flint	102	116	NØ	1
695	11	Avslag		flint	103	109	NV	1
696	2	Avslag		kvarts	103	109	NV	1
697	1	Flekke	medioflekke	flint	103	109	NV	1
698	1	Flekke	mikroflekke	flint	103	109	NV	1
699	1	Kjerne	bipolar kjerne	flint	103	109	NV	1
700	1	Kjerne	bipolar kjerne	flint	103	109	NV	1
701	15	Avslag		flint	103	109	NØ	1
702	2	Avslag		kvarts	103	109	NØ	1
703	1	Avslag	medioavslag	flint	103	109	NØ	1
704	1	Flekke	mikroflekke	flint	103	109	NØ	1
705	1	Diagnostisk avslag	flekkelignende avslag	flint	103	109	NØ	1
706	1	Kjerne	bipolar kjerne	flint	103	109	NØ	1

707	24	Avslag		flint	103	110	NV	1
708	3	Avslag		kvarts	103	110	NV	1
709	1	Flekke	mikroflekke	flint	103	110	NV	1
710	1	Kjerne	bipolar kjerne	flint	103	110	NV	1
711	1	Kjerne	bipolar kjerne	flint	103	110	NV	1
712	1	Kjerne	bipolar kjerne	flint	103	110	NV	1
713	35	Avslag		flint	103	110	NØ	1
714	1	Avslag		kvarts	103	110	NØ	1
715	7	Avslag	mikroavslag	flint	103	110	NØ	1
716	1	Kjerne	kjølformet kjerne	flint	103	110	NØ	1
717	1	Kjerne	bipolar kjerne	flint	103	110	NØ	1
718	1	Pilspiss	tangespiss	flint	103	110	NØ	1
719	9	Avslag		flint	103	111	NV	1
720	2	Avslag	mikroavslag	flint	103	111	NV	1
721	1	Kjerne	bipolar kjerne	flint	103	111	NV	1
722	1	Kjerne	bipolar kjerne	flint	103	111	NV	1
723	1	Avslag		flint	103	111	NØ	1
724	1	Avslag		jaspis	103	111	NØ	1
725	1	Flekke	mikroflekke	flint	103	111	NØ	1
726	1	Diagnostisk avslag	flekkelignende avslag	flint	103	111	NØ	1
727	1	Kjerne	bipolar kjerne	flint	103	111	NØ	1
728	1	Kjerne	bipolar kjerne	flint	103	111	NØ	1
729	1	Kjernefragment	bipolart kjernefragment	flint	103	111	NØ	1
730	12	Avslag		flint	103	112	NV	1
731	1	Kjerne	bipolar kjerne	flint	103	112	NV	1
732	1	Kjerne	bipolar kjerne	flint	103	112	NV	1
733	1	Kjerne	bipolar kjerne	flint	103	112	NV	1
734	1	Prepareringsavslag	ryggflekke	flint	103	112	NV	1
735	15	Avslag		flint	103	112	NØ	1
736	1	Avslag		kvartsitt	103	112	NØ	1
737	2	Avslag	mikroavslag	flint	103	112	NØ	1
738	1	Avslag	fragment	flint	103	112	NØ	1
739	1	Flekke	medioflekke	flint	103	112	NØ	1
740	1	Kjernefragment	bipolart kjernefragment	flint	103	112	NØ	1
741	1	Slipeplate		bergart	103	112		1
742	21	Avslag		flint	103	113	NV	1
743	4	Avslag	mikroavslag	flint	103	113	NV	1
744	1	Avslag	medioavslag	flint	103	113	NV	1
745	1	Flekke	makroflekke	flint	103	113	NV	1
746	1	Flekke	mikroflekke	flint	103	113	NV	1
747	1	Flekke	mikroflekke	bergkrystall	103	113	NV	1
748	1	Kjerne	bipolar kjerne	flint	103	113	NV	1

749	24	Avslag		flint	103	113	NØ	1
750	1	Avslag		kvarts	103	113	NØ	1
751	7	Avslag	mikroavslag	flint	103	113	NØ	1
752	1	Avslag	mikroavslag	bergkrystall	103	113	NØ	1
753	1	Diagnostisk avslag	flekkelignende avslag	flint	103	113	NØ	1
754	1	Kjerne	bipolar kjerne	bergkrystall	103	113	NØ	1
755	1	Kjerne	ubestemt kjerne	flint	103	113	NØ	1
756	25	Avslag		flint	103	114	NV	1
757	2	Avslag		bergkrystall	103	114	NV	1
758	6	Avslag	mikroavslag	flint	103	114	NV	1
759	9	Avslag		flint	103	114	NØ	1
760	2	Avslag	mikroavslag	flint	103	114	NØ	1
761	1	Flekke	makroflekke	flint	103	114	NØ	1
762	1	Flekke	mikroflekke	flint	103	114	NØ	1
763	1	Kjernefragment	bipolart kjernefragment	flint	103	114	NØ	1
764	10	Avslag		flint	104	93	SV	1
765	5	Avslag	mikroavslag	flint	104	93	SV	1
766	1	Avslag	mikroavslag	kvarts	104	93	SV	1
767	1	Flekke	mikroflekke	flint	104	93	SV	1
768	1	Flekke	mikroflekke	flint	104	93	SV	1
769	3	Avslag		flint	104	94	SV	1
770	5	Avslag	mikroavslag	flint	104	94	SV	1
771	4	Avslag		flint	104	95	SV	1
772	2	Avslag	mikroavslag	flint	104	95	SV	1
773	2	Avslag		flint	104	96	SV	1
774	1	Diagnostisk avslag	flekkelignende avslag	flint	104	96	SV	1
775	2	Avslag		flint	104	97	SV	1
776	1	Avslag		kvarts	104	97	SV	1
777	1	Avslag	mikroavslag	flint	104	97	SV	1
778	1	Avslag	medioavslag	flint	104	97	SV	1
779	1	Kjerne	bipolar kjerne	bergkrystall	104	97	SV	1
780	1	Avslag		flint	104	98	SV	1
781	2	Avslag		flint	104	102	SV	1
782	1	Flekke	makroflekke	flint	104	102	SV	1
783	2	Avslag		flint	104	104	SV	1
784	1	Avslag		kvarts	104	104	SV	1
785	4	Avslag		flint	104	106	SV	1
786	1	Avslag	mikroavslag	flint	104	106	SV	1
787	1	Kjerne	bipolar kjerne	flint	104	106	SV	1
788	41	Avslag		flint	104	108		1
789	1	Avslag		jaspis	104	108		1
790	25	Avslag	mikroavslag	flint	104	108		1

791	1	Flekke	mikroflekke	flint	104	108		1
792	1	Flekke	mikroflekke	flint	104	108		1
793	1	Diagnostisk avslag	flekkelignende avslag	flint	104	108		1
794	1	Kjerne	bipolar kjerne	flint	104	108		1
795	1	Kjerne	bipolar kjerne	flint	104	108		1
796	1	Kjerne	bipolar kjerne	flint	104	108		1
797	1	Kjerne	bipolar kjerne	flint	104	108		1
798	1	Kjernefragment	bipolart kjernefragment	flint	104	108		1
799	31	Avslag		flint	104	109		1
800	3	Avslag		kvarts	104	109		1
801	11	Avslag	mikroavslag	flint	104	109		1
802	1	Flekke	medioflekke	flint	104	109		1
803	1	Flekke	mikroflekke	flint	104	109		1
804	1	Flekke	mikroflekke	flint	104	109		1
805	1	Flekke	mikroflekke	flint	104	109		1
806	1	Flekke	mikroflekke	flint	104	109		1
807	1	Kjerne	bipolar kjerne	flint	104	109		1
808	1	Kjerne	bipolar kjerne	flint	104	109		1
809	1	Kjerne	bipolar kjerne	flint	104	109		1
810	1	Kjernefragment	plattformkjernefragment	flint	104	109		1
811	72	Avslag		flint	104	110		1
812	7	Avslag		kvarts	104	110		1
813	48	Avslag	mikroavslag	flint	104	110		1
814	4	Avslag	mikroavslag	kvarts	104	110		1
815	1	Flekke	makroflekke	flint	104	110		1
816	1	Flekke	makroflekke	flint	104	110		1
817	1	Flekke	medioflekke	flint	104	110		1
818	1	Flekke	mikroflekke	flint	104	110		1
819	1	Flekke	mikroflekke	flint	104	110		1
820	1	Diagnostisk avslag	flekkelignende avslag	flint	104	110		1
821	1	Kjerne	bipolar kjerne	flint	104	110		1
822	1	Kjerne	ubestemt kjerne	flint	104	110		1
823	1	Kjernefragment	bipolart kjernefragment	flint	104	110		1
824	11	Avslag		flint	104	111	SV	1
825	3	Avslag	mikroavslag	flint	104	111	SV	1
826	1	Flekke	medioflekke	flint	104	111	SV	1
827	3	Avslag		flint	104	111	SØ	1
828	1	Flekke	medioflekke	flint	104	111	SØ	1
829	14	Avslag		flint	104	111	NV	1
830	9	Avslag	mikroavslag	flint	104	111	NV	1
831	1	Kjerne	bipolar kjerne	flint	104	111	NV	1
832	1	Kjernefragment	plattformkjernefragment	flint	104	111	NV	1

833	6	Avslag		flint	104	111	NØ	1
834	6	Avslag	mikroavslag	flint	104	111	NØ	1
835	37	Avslag		flint	104	112		1
836	2	Avslag		kvarts	104	112		1
837	1	Avslag		bergkrystall	104	112		1
838	6	Avslag	mikroavslag	flint	104	112		1
839	1	Flekke	makroflekke	flint	104	112		1
840	1	Flekke	mikroflekke	flint	104	112		1
841	1	Flekke	mikroflekke	flint	104	112		1
842	1	Flekke	mikroflekke	flint	104	112		1
843	1	Kjerne	bipolar kjerne	flint	104	112		1
844	1	Kjernefragment	bipolart kjernefragment	flint	104	112		1
845	1	Knakkestein		kvartsitt	104	112		1
846	39	Avslag		flint	104	113		1
847	3	Avslag		kvarts	104	113		1
848	1	Avslag		kvartsitt	104	113		1
849	4	Avslag		jaspis	104	113		1
850	20	Avslag	mikroavslag	flint	104	113		1
851	1	Flekke	makroflekke	flint	104	113		1
852	1	Flekke	mikroflekke	bergkrystall	104	113		1
853	1	Kjerne	bipolar kjerne	flint	104	113		1
854	1	Kjernefragment	bipolart kjernefragment	flint	104	113		1
855	1	Kjernefragment	bipolart kjernefragment	flint	104	113		1
856	57	Avslag		flint	104	114		1
857	3	Avslag		kvartsitt	104	114		1
858	50	Avslag	mikroavslag	flint	104	114		1
859	1	Flekke	mikroflekke	flint	104	114		1
860	1	Kjerne	bipolar kjerne	flint	104	114		1
861	1	Kjerne	bipolar kjerne	flint	104	114		1
862	1	Kjerne	bipolar kjerne	flint	104	114		1
863	1	Kjerne	bipolar kjerne	flint	104	114		1
864	1	Kjernefragment	bipolart kjernefragment	flint	104	114		1
865	1	Prepareringsavslag	plattformavslag	flint	104	114		1
866	101	Avslag		flint	104	116		1
867	7	Avslag		kvarts	104	116		1
868	4	Avslag		kvartsitt	104	116		1
869	2	Avslag		bergkrystall	104	116		1
870	1	Avslag		jaspis	104	116		1
871	63	Avslag	mikroavslag	flint	104	116		1
872	3	Avslag	mikroavslag	bergkrystall	104	116		1
873	1	Flekke	mikroflekke	flint	104	116		1
874	1	Diagnostisk avslag	flekkelignende avslag	flint	104	116		1

875	1	Diagnostisk avslag	flekkelignende avslag	flint	104	116		1
876	1	Kjerne	bipolar kjerne	flint	104	116		1
877	1	Kjerne	bipolar kjerne	flint	104	116		1
878	1	Kjerne	bipolar kjerne	flint	104	116		1
879	1	Kjerne	bipolar kjerne	flint	104	116		1
880	1	Kjerne	bipolar kjerne	flint	104	116		1
881	1	Kjerne	bipolar kjerne	flint	104	116		1
882	1	Kjerne	bipolar kjerne	flint	104	116		1
883	1	Kjerne	bipolar kjerne	flint	104	116		1
884	1	Kjerne	bipolar kjerne	flint	104	116		1
885	1	Kjerne	bipolar kjerne	bergkrystall	104	116		1
886	1	Kjerne	ubestemt kjerne	bergkrystall	104	116		1
887	3	Avslag		flint	105	96	SV	1
888	2	Avslag		kvartsitt	105	96	SV	1
889	12	Avslag		flint	105	112	SV	1
890	1	Avslag	mikroavslag	flint	105	112	SV	1
891	1	Flekke	medioflekke	flint	105	112	SV	1
892	1	Kjerne	bipolar kjerne	flint	105	112	SV	1
893	10	Avslag		flint	105	112	SØ	1
894	13	Avslag		flint	105	112	NV	1
895	2	Avslag	mikroavslag	flint	105	112	NV	1
896	3	Avslag		flint	105	113	SV	1
897	1	Avslag		flint	105	113	SØ	1
898	6	Avslag		flint	105	115	SV	1
899	2	Avslag	mikroavslag	flint	105	115	SV	1
900	1	Diagnostisk avslag	flekkelignende avslag	flint	105	115	SV	1
901	14	Avslag		flint	105	115	SØ	1
902	1	Avslag		jaspis	105	115	SØ	1
903	1	Avslag	mikroavslag	flint	105	115	SØ	1
904	1	Flekke	medioflekke	flint	105	115	SØ	1
905	1	Flekke	medioflekke	flint	105	115	SØ	1
906	1	Kjerne	bipolar kjerne	flint	105	115	SØ	1
907	1	Kjerne	bipolar kjerne	flint	105	115	SØ	1
908	1	Kjernefragment	bipolart kjernefragment	flint	105	115	SØ	1
909	8	Avslag		flint	105	115	NV	1
910	1	Avslag		kvarts	105	115	NV	1
911	1	Avslag	mikroavslag	flint	105	115	NV	1
912	1	Kjerne	bipolar kjerne	flint	105	115	NV	1
913	14	Avslag		flint	105	115	NØ	1
914	1	Avslag		bergkrystall	105	115	NØ	1
915	1	Flekke	mikroflekke	flint	105	115	NØ	1
916	1	Diagnostisk avslag	flekkelignende avslag	flint	105	115	NØ	1

917	32	Avslag		flint	105	116	SV	1
918	1	Avslag		bergkrystall	105	116	SV	1
919	1	Avslag		jaspis	105	116	SV	1
920	19	Avslag	mikroavslag	flint	105	116	SV	1
921	1	Flekke	makroflekke	flint	105	116	SV	1
922	1	Kjerne	bipolar kjerne	flint	105	116	SV	1
923	1	Kjerne	bipolar kjerne	flint	105	116	SV	1
924	1	Kjerne	bipolar kjerne	bergkrystall	105	116	SV	1
925	1	Kjernefragment	bipolart kjernefragment	flint	105	116	SV	1
926	17	Avslag		flint	105	116	SØ	1
927	9	Avslag	mikroavslag	flint	105	116	SØ	1
928	1	Kjerne	bipolar kjerne	flint	105	116	SØ	1
929	1	Kjerne	bipolar kjerne	flint	105	116	SØ	1
930	1	Kjerne	bipolar kjerne	bergkrystall	105	116	SØ	1
931	30	Avslag		flint	105	116	NV	1
932	1	Avslag		kvarts	105	116	NV	1
933	1	Avslag		kvartsitt	105	116	NV	1
934	12	Avslag	mikroavslag	flint	105	116	NV	1
935	1	Flekke	mikroflekke	flint	105	116	NV	1
936	1	Kjerne	bipolar kjerne	flint	105	116	NV	1
937	1	Kjerne	bipolar kjerne	flint	105	116	NV	1
938	1	Kjerne	bipolar kjerne	kvarts	105	116	NV	1
939	38	Avslag		flint	105	116	NØ	1
940	1	Avslag		kvartsitt	105	116	NØ	1
941	3	Avslag		bergkrystall	105	116	NØ	1
942	24	Avslag	mikroavslag	flint	105	116	NØ	1
943	1	Avslag	mikroavslag	bergkrystall	105	116	NØ	1
944	1	Flekke	mikroflekke	flint	105	116	NØ	1
945	1	Kjerne	bipolar kjerne	flint	105	116	NØ	1
946	1	Kjerne	bipolar kjerne	flint	105	116	NØ	1
947	1	Kjerne	bipolar kjerne	flint	105	116	NØ	1
948	10	Avslag		flint	105	117	SØ	1
949	1	Avslag		jaspis	105	117	SØ	1
950	1	Avslag	mikroavslag	flint	105	117	SØ	1
951	1	Flekke	mikroflekke	flint	105	117	SØ	1
952	1	Kjerne	bipolar kjerne	flint	105	117	SØ	1
953	12	Avslag		flint	105	117	NØ	1
954	4	Avslag	mikroavslag	flint	105	117	NØ	1
955	1	Avslag		flint	105	118	NØ	1
956	1	Avslag		flint	106	89	SV	1
957	3	Avslag		flint	106	90	SV	1
958	1	Kjernefragment	plattformkjernefragment	flint	106	90	SV	1

959	7	Avslag		flint	106	92	SV	1
960	1	Avslag		kvarts	106	92	SV	1
961	2	Avslag	mikroavslag	flint	106	92	SV	1
962	3	Avslag		flint	106	92	SØ	1
963	1	Avslag	mikroavslag	flint	106	92	SØ	1
964	7	Avslag		flint	106	92	NV	1
965	1	Avslag		bergkrystall	106	92	NV	1
966	1	Avslag	mikroavslag	flint	106	92	NV	1
967	1	Kjerne	ubestemt kjerne	flint	106	92	NV	1
968	1	Kjernefragment	bipolart kjernefragment	flint	106	92	NV	1
969	2	Avslag		flint	106	92	NØ	1
970	1	Flekke	mikroflekke	flint	106	92	NØ	1
971	1	Prepareringsavslag	ryggflekke	flint	106	92	NØ	1
972	8	Avslag		flint	106	93	SV	1
973	3	Avslag	mikroavslag	flint	106	93	SV	1
974	1	Avslag	mikroavslag	bergkrystall	106	93	SV	1
975	1	Flekke	makroflekke	flint	106	93	SV	1
976	1	Flekke	medioflekke	flint	106	93	SV	1
977	4	Avslag		flint	106	93	SØ	1
978	4	Avslag		flint	106	93	NV	1
979	1	Slipestein	annen slipestein	bergart	106	93	NV	1
980	3	Avslag		flint	106	93	NØ	1
981	1	Avslag	mikroavslag	flint	106	95	SV	1
982	1	Avslag		flint	106	97	SV	1
983	1	Avslag		kvarts	106	97	SV	1
984	1	Avslag	mikroavslag	flint	106	97	SV	1
985	1	Avslag	mikroavslag	flint	106	99	SV	1
986	1	Flekke	mikroflekke	flint	106	99	SV	1
987	1	Flekke	mikroflekke	flint	106	99	SV	1
988	1	Kjerne	bipolar kjerne	flint	106	99	SV	1
989	1	Kjernefragment	bipolart kjernefragment	flint	106	99	SV	1
990	3	Avslag		flint	106	100	SV	1
991	2	Avslag	mikroavslag	flint	106	100	SV	1
992	3	Avslag		flint	106	102	SV	1
993	1	Avslag	mikroavslag	flint	106	102	SV	1
994	4	Avslag		flint	106	110	SV	1
995	2	Avslag	mikroavslag	flint	106	110	SV	1
996	5	Avslag		flint	106	115	SV	1
997	4	Avslag	mikroavslag	flint	106	115	SV	1
998	1	Flekke	mikroflekke	flint	106	115	SV	1
999	5	Avslag		flint	106	115	SØ	1
1000	3	Avslag	mikroavslag	flint	106	115	SØ	1

1001	2	Avslag		flint	106	115	NV	1
1002	3	Avslag	mikroavslag	flint	106	115	NV	1
1003	5	Avslag		flint	106	115	NØ	1
1004	1	Avslag		jaspis	106	115	NØ	1
1005	2	Avslag	mikroavslag	flint	106	115	NØ	1
1006	1	Flekke	mikroflekke	flint	106	115	NØ	1
1007	1	Kjernefragment	bipolart kjernefragment	bergkrystall	106	115	NØ	1
1008	18	Avslag		flint	106	116	SV	1
1009	1	Avslag		bergkrystall	106	116	SV	1
1010	6	Avslag	mikroavslag	flint	106	116	SV	1
1011	1	Flekke	makroflekke	flint	106	116	SV	1
1012	1	Kjerne	bipolar kjerne	flint	106	116	SV	1
1013	1	Kjerne	bipolar kjerne	flint	106	116	SV	1
1014	1	Kjernefragment	bipolart kjernefragment	flint	106	116	SV	1
1015	36	Avslag		flint	106	116	SØ	1
1016	19	Avslag	mikroavslag	flint	106	116	SØ	1
1017	3	Avslag	mikroavslag	bergkrystall	106	116	SØ	1
1018	2	Avslag	mikroavslag	jaspis	106	116	SØ	1
1019	1	Flekke	mikroflekke	flint	106	116	SØ	1
1020	1	Kjerne	bipolar kjerne	flint	106	116	SØ	1
1021	1	Kjerne	bipolar kjerne	flint	106	116	SØ	1
1022	1	Kjerne	ubestemt kjerne	bergkrystall	106	116	SØ	1
1023	1	Kjernefragment	bipolart kjernefragment	flint	106	116	SØ	1
1024	1	Kjernefragment	bipolart kjernefragment	flint	106	116	SØ	1
1025	1	Kjernefragment	bipolart kjernefragment	flint	106	116	SØ	1
1026	9	Avslag		flint	106	116	NV	1
1027	1	Avslag	mikroavslag	flint	106	116	NV	1
1028	1	Kjerne	bipolar kjerne	flint	106	116	NV	1
1029	1	Kjerne	bipolar kjerne	flint	106	116	NV	1
1030	1	Kjerne	bipolar kjerne	flint	106	116	NV	1
1031	29	Avslag		flint	106	116	NØ	1
1032	22	Avslag	mikroavslag	flint	106	116	NØ	1
1033	1	Avslag	mikroavslag	jaspis	106	116	NØ	1
1034	1	Diagnostisk avslag	flekkelignende avslag	flint	106	116	NØ	1
1035	1	Kjerne	bipolar kjerne	flint	106	116	NØ	1
1036	1	Kjerne	bipolar kjerne	flint	106	116	NØ	1
1037	1	Prepareringsavslag	plattformavslag	flint	106	116	NØ	1
1038	27	Avslag		flint	106	117	SØ	1
1039	11	Avslag	mikroavslag	flint	106	117	SØ	1
1040	1	Avslag	mikroavslag	jaspis	106	117	SØ	1
1041	1	Kjerne	bipolar kjerne	flint	106	117	SØ	1
1042	1	Kjerne	ubestemt kjerne	flint	106	117	SØ	1

1043	14	Avslag		flint	106	117	NØ	1
1044	7	Avslag	mikroavslag	flint	106	117	NØ	1
1045	1	Kjernefragment	bipolart kjernefragment	flint	106	117	NØ	1
1046	21	Avslag		flint	106	118	SV	1
1047	1	Avslag		kvartsitt	106	118	SV	1
1048	8	Avslag	mikroavslag	flint	106	118	SV	1
1049	1	Avslag	mikroavslag	bergkrystall	106	118	SV	1
1050	1	Avslag	fragment	jaspis	106	118	SV	1
1051	1	Slipestein	annen slipestein	bergart	106	118	SV	1
1052	12	Avslag		flint	106	118	SØ	1
1053	1	Avslag		bergkrystall	106	118	SØ	1
1054	7	Avslag	mikroavslag	flint	106	118	SØ	1
1055	1	Avslag	mikroavslag	bergkrystall	106	118	SØ	1
1056	1	Flekke	makroflekke	flint	106	118	SØ	1
1057		Slipestein		bergart	106	118	SØ	1
1058	27	Avslag		flint	106	118	NV	1
1059	1	Avslag		bergkrystall	106	118	NV	1
1060	14	Avslag	mikroavslag	flint	106	118	NV	1
1061	1	Avslag	mikroavslag	kvarts	106	118	NV	1
1062	1	Avslag	mikroavslag	bergkrystall	106	118	NV	1
1063	1	Kjernefragment	bipolart kjernefragment	flint	106	118	NV	1
1064	24	Avslag		flint	106	118	NØ	1
1065	23	Avslag	mikroavslag	flint	106	118	NØ	1
1066	1	Avslag	mikroavslag	jaspis	106	118	NØ	1
1067	1	Flekke	mikroflekke	flint	106	118	NØ	1
1068	1	Kjerne	bipolar kjerne	flint	106	118	NØ	1
1069	1	Avslag		flint	107	95	SV	1
1070	4	Avslag		flint	107	115	SV	1
1071	1	Avslag	mikroavslag	flint	107	115	SV	1
1072	1	Avslag	mikroavslag	kvarts	107	115	SV	1
1073	1	Avslag	mikroavslag	bergkrystall	107	115	SV	1
1074	1	Flekke	makroflekke	flint	107	115	SV	1
1075	1	Flekke	mikroflekke	flint	107	115	SV	1
1076	10	Avslag		flint	107	115	SØ	1
1077	3	Avslag	mikroavslag	flint	107	115	SØ	1
1078	1	Diagnostisk avslag	flekkelignende avslag	flint	107	115	SØ	1
1079	1	Kjerne	bipolar kjerne	flint	107	115	SØ	1
1080	2	Avslag	mikroavslag	flint	107	115	SV	1
1081	1	Avslag		flint	107	115	NØ	1
1082	3	Avslag	mikroavslag	flint	107	115	NØ	1
1083	1	Avslag	fragment	flint	107	115	NØ	1
1084	1	Kjerne	bipolar kjerne	flint	107	115	NØ	1

1085	8	Avslag		flint	107	116	SV	1
1086	1	Flekke	mikroflekke	flint	107	116	SV	1
1087	1	Flekke	mikroflekke	kvartsitt	107	116	SV	1
1088	1	Kjerne	bipolar kjerne	flint	107	116	SV	1
1089	1	Kjernefragment	bipolart kjernefragment	flint	107	116	SV	1
1090	1	Flekke	makroflekke	flint	107	116	SV	1
1091	9	Avslag		flint	107	116	SØ	1
1092	1	Avslag		kvarts	107	116	SØ	1
1093	4	Avslag	mikroavslag	flint	107	116	SØ	1
1094	1	Kjerne	bipolar kjerne	flint	107	116	SØ	1
1095	7	Avslag		flint	107	116	NV	1
1096	2	Avslag	mikroavslag	flint	107	116	NV	1
1097	1	Flekke	mikroflekke	flint	107	116	NV	1
1098	1	Skraper	ubestemt skraper	flint	107	116	NV	1
1099	9	Avslag		flint	107	116	NØ	1
1100	3	Avslag	mikroavslag	flint	107	116	NØ	1
1101	1	Avslag	medioavslag	flint	107	116	NØ	1
1102	17	Avslag		flint	107	117	SØ	1
1103	10	Avslag	mikroavslag	flint	107	117	SØ	1
1104	1	Avslag	mikroavslag	kvarts	107	117	SØ	1
1105	1	Avslag	mikroavslag	bergkrystall	107	117	SØ	1
1106	1	Avslag	medioavslag	flint	107	117	SØ	1
1107	1	Kjerne	bipolar kjerne	flint	107	117	SØ	1
1108	1	Kjernefragment	bipolart kjernefragment	flint	107	117	SØ	1
1109	10	Avslag		flint	107	117	NØ	1
1110	14	Avslag	mikroavslag	flint	107	117	NØ	1
1111	3	Avslag	mikroavslag	bergkrystall	107	117	NØ	1
1112	2	Avslag	mikroavslag	jaspis	107	117	NØ	1
1113	1	Retusjert avslag	retusjert medioavslag	flint	107	117	NØ	1
1114	17	Avslag		flint	107	118	SV	1
1115	1	Avslag		kvarts	107	118	SV	1
1116	9	Avslag	mikroavslag	flint	107	118	SV	1
1117	1	Avslag	mikroavslag	bergkrystall	107	118	SV	1
1118	1	Diagnostisk avslag	flekkelignende avslag	flint	107	118	SV	1
1119	1	Diagnostisk avslag	flekkelignende avslag	flint	107	118	SV	1
1120	29	Avslag		flint	107	118	SØ	1
1121	23	Avslag	mikroavslag	flint	107	118	SØ	1
1122	1	Avslag	mikroavslag	kvarts	107	118	SØ	1
1123	1	Avslag	mikroavslag	jaspis	107	118	SØ	1
1124	1	Flekke	mikroflekke	flint	107	118	SØ	1
1125	1	Kjerne	bipolar kjerne	flint	107	118	SØ	1
1126	1	Retusjert avslag	retusjert medioavslag	flint	107	118	SØ	1

1127	24	Avslag		flint	107	118	NV	1
1128	21	Avslag	mikroavslag	flint	107	118	NV	1
1129	1	Avslag	mikroavslag	kvarts	107	118	NV	1
1130	1	Flekke	mikroflekke	flint	107	118	NV	1
1131	1	Flekke	mikroflekke	flint	107	118	NV	1
1132	1	Kjerne	bipolar kjerne	flint	107	118	NV	1
1133	1	Kjerne	bipolar kjerne	flint	107	118	NV	1
1134	31	Avslag		flint	107	118	NØ	1
1135	1	Avslag		kvarts	107	118	NØ	1
1136	1	Avslag		bergkrystall	107	118	NØ	1
1137	43	Avslag	mikroavslag	flint	107	118	NØ	1
1138	1	Flekke	medioflekke	flint	107	118	NØ	1
1139	1	Flekke	mikroflekke	flint	107	118	NØ	1
1140	1	Diagnostisk avslag	cortexflekke	flint	107	118	NØ	1
1141	1	Kjerne	bipolar kjerne	flint	107	118	NØ	1
1142	15	Avslag		flint	107	119	SV	1
1143	1	Avslag		bergkrystall	107	119	SV	1
1144	2	Avslag	mikroavslag	flint	107	119	SV	1
1145	1	Flekke	mikroflekke	flint	107	119	SV	1
1146	1	Kjerne	bipolar kjerne	flint	107	119	SV	1
1147	1	Kjernefragment	bipolart kjernefragment	flint	107	119	SV	1
1148	16	Avslag		flint	107	119	SØ	1
1149	17	Avslag	mikroavslag	flint	107	119	SØ	1
1150	1	Avslag	mikroavslag	jaspis	107	119	SØ	1
1151	1	Avslag	medioavslag	flint	107	119	SØ	1
1152	1	Kjerne	bipolar kjerne	flint	107	119	SØ	1
1153	1	Kjerne	bipolar kjerne	flint	107	119	SØ	1
1154	14	Avslag		flint	107	119	NV	1
1155	1	Avslag		kvartsitt	107	119	NV	1
1156	20	Avslag	mikroavslag	flint	107	119	NV	1
1157	1	Avslag	medioavslag	flint	107	119	NV	1
1158	1	Avslag	medioavslag	flint	107	119	NV	1
1159	1	Avslag	medioavslag	flint	107	119	NV	1
1160	1	Flekke	makroflekke	flint	107	119	NV	1
1161	1	Diagnostisk avslag	cortexflekke	flint	107	119	NV	1
1162	1	Kjerne	bipolar kjerne	flint	107	119	NV	1
1163	1	Skraper	ubestemt skraper	flint	107	119	NV	1
1164	1	Avslag		flint	107	119	NV	1
1165	1	Annet ubearbeidet råstoff		sandstein	107	119	NV	1
1166	22	Avslag		flint	107	119	NØ	1
1167	1	Avslag		kvarts	107	119	NØ	1

1168	20	Avslag	mikroavslag	flint	107	119	NØ	1
1169	1	Avslag	fragment	flint	107	119	NØ	1
1170	1	Avslag	fragment	flint	107	119	NØ	1
1171	1	Kjerne	bipolar kjerne	flint	107	119	NØ	1
1172	1	Kjernefragment	bipolart kjernefragment	flint	107	119	NØ	1
1173	15	Avslag		flint	107	120	SV	1
1174	5	Avslag	mikroavslag	flint	107	120	SV	1
1175	1	Flekke	mikroflekke	flint	107	120	SV	1
1176	1	Kjernefragment	bipolart kjernefragment	flint	107	120	SV	1
1177	1	Kjernefragment	bipolart kjernefragment	flint	107	120	SV	1
1178	5	Avslag		flint	107	120	SØ	1
1179	1	Avslag	medioavslag	flint	107	120	SØ	1
1180	17	Avslag		flint	107	120	NV	1
1181	4	Avslag	mikroavslag	flint	107	120	NV	1
1182	1	Flekke	mikroflekke	flint	107	120	NV	1
1183	1	Diagnostisk avslag	flekkelignende avslag	flint	107	120	NV	1
1184	1	Kjerne	bipolar kjerne	flint	107	120	NV	1
1185	1	Kjerne	bipolar kjerne	flint	107	120	NV	1
1186	6	Avslag		flint	107	120	NØ	1
1187	1	Avslag		kvarts	107	120	NØ	1
1188	1	Avslag		jaspis	107	120	NØ	1
1189	1	Avslag	medioavslag	flint	107	120	NØ	1
1190	1	Flekke	mikroflekke	flint	107	120	NØ	1
1191	1	Kjerne	bipolar kjerne	flint	107	120	NØ	1
1192	2	Avslag	mikroavslag	flint	108	85	SV	1
1193	2	Avslag		flint	108	87	SV	1
1194	2	Avslag	mikroavslag	flint	108	87	SV	1
1195	1	Flekke	makroflekke	flint	108	87	SV	1
1196	1	Avslag		flint	108	89	SV	1
1197	1	Flekke	mikroflekke	flint	108	89	SV	1
1198	5	Avslag		flint	108	94	SV	1
1199	1	Avslag	mikroavslag	kvartsitt	108	96	SV	1
1200	1	Avslag		flint	108	98	SV	1
1201	4	Avslag		flint	108	100	SV	1
1202	1	Avslag	mikroavslag	flint	108	102	SV	1
1203	1	Avslag		flint	108	104	SV	1
1204	1	Avslag		flint	108	111	SV	1
1205	3	Avslag	mikroavslag	flint	108	111	SV	1
1206	5	Avslag		flint	108	116	SV	1
1207	3	Avslag	mikroavslag	flint	108	116	SV	1
1208	9	Avslag		flint	108	116	SØ	1
1209	3	Avslag	mikroavslag	flint	108	116	SØ	1

1210	1	Flekke	mikroflekke	flint	108	116	SØ	1
1211	1	Diagnostisk avslag	flekkelignende avslag	flint	108	116	SØ	1
1212	1	Kjerne	bipolar kjerne	flint	108	116	SØ	1
1213	11	Avslag		flint	108	116	NV	1
1214	3	Avslag	mikroavslag	flint	108	116	NV	1
1215	1	Avslag	mikroavslag	bergkrystall	108	116	NV	1
1216	1	Diagnostisk avslag	flekkelignende avslag	flint	108	116	NV	1
1217	5	Avslag		flint	108	116	NØ	1
1218	9	Avslag	mikroavslag	flint	108	116	NØ	1
1219	1	Avslag	medioavslag	flint	108	116	NØ	1
1220	1	Avslag		bergkrystall	108	116	NØ	1
1221	1	Kjerne	bipolar kjerne	flint	108	116	NØ	1
1222	1	Kjernefragment	bipolart kjernefragment	flint	108	116	NØ	1
1223	12	Avslag		flint	108	117	SØ	1
1224	1	Avslag		bergkrystall	108	117	SØ	1
1225	19	Avslag	mikroavslag	flint	108	117	SØ	1
1226	1	Avslag	mikroavslag	bergkrystall	108	117	SØ	1
1227	1	Retusjert avslag	retusjert medioavslag	flint	108	117	SØ	1
1228	1	Kjerne	bipolar kjerne	flint	108	117	SØ	1
1229	1	Kjernefragment	bipolart kjernefragment	flint	108	117	SØ	1
1230	14	Avslag		flint	108	117	NØ	1
1231	12	Avslag	mikroavslag	flint	108	117	NØ	1
1232	1	Flekke	mikroflekke	flint	108	117	NØ	1
1233	36	Avslag		flint	108	118	SV	1
1234	47	Avslag	mikroavslag	flint	108	118	SV	1
1235	1	Flekke	mikroflekke	flint	108	118	SV	1
1236	1	Kjerne	bipolar kjerne	flint	108	118	SV	1
1237	1	Kjerne	bipolar kjerne	flint	108	118	SV	1
1238	1	Kjernefragment	bipolart kjernefragment	flint	108	118	SV	1
1239	43	Avslag		flint	108	118	SØ	1
1240	2	Avslag		kvartsitt	108	118	SØ	1
1241	45	Avslag	mikroavslag	flint	108	118	SØ	1
1242	1	Avslag	medioavslag	flint	108	118	SØ	1
1243	1	Avslag	fragment	bergkrystall	108	118	SØ	1
1244	1	Flekke	medioflekke	flint	108	118	SØ	1
1245	1	Kjerne	bipolar kjerne	flint	108	118	SØ	1
1246	1	Kjerne	bipolar kjerne	flint	108	118	SØ	1
1247	1	Kjerne	bipolar kjerne	flint	108	118	SØ	1
1248	1	Borspiss	borspiss på avslag	flint	108	118	SØ	1
1249	1	Retusjert avslag	retusjert fragment	flint	108	118	SØ	1
1250	35	Avslag		flint	108	118	NV	1
1251	1	Avslag		jaspis	108	118	NV	1

1252	38	Avslag	mikroavslag	flint	108	118	NV	1
1253	1	Avslag	medioavslag	flint	108	118	NV	1
1254	1	Avslag	medioavslag	flint	108	118	NV	1
1255	1	Flekke	mikroflekke	flint	108	118	NV	1
1256	1	Kjerne	bipolar kjerne	flint	108	118	NV	1
1257	1	Kjerne	ubestemt kjerne	flint	108	118	NV	1
1258	53	Avslag		flint	108	118	NØ	1
1259	44	Avslag	mikroavslag	flint	108	118	NØ	1
1260	2	Avslag	mikroavslag	bergkrystall	108	118	NØ	1
1261	1	Avslag	fragment	flint	108	118	NØ	1
1262	1	Avslag	fragment	flint	108	118	NØ	1
1263	1	Flekke	makroflekke	flint	108	118	NØ	1
1264	1	Flekke	mikroflekke	flint	108	118	NØ	1
1265	1	Kjerne	bipolar kjerne	flint	108	118	NØ	1
1266	1	Kjerne	bipolar kjerne	flint	108	118	NØ	1
1267	1	Kjernefragment	bipolart kjernefragment	flint	108	118	NØ	1
1268	45	Avslag		flint	108	119	SV	1
1269	1	Avslag		jaspis	108	119	SV	1
1270	51	Avslag	mikroavslag	flint	108	119	SV	1
1271	1	Avslag	medioavslag	flint	108	119	SV	1
1272	1	Diagnostisk avslag	flekkelignende avslag	flint	108	119	SV	1
1273	1	Kjerne	bipolar kjerne	flint	108	119	SV	1
1274	1	Kjerne	bipolar kjerne	flint	108	119	SV	1
1275	1	Kjernefragment	bipolart kjernefragment	flint	108	119	SV	1
1276	1	Kjernefragment	bipolart kjernefragment	flint	108	119	SV	1
1277	39	Avslag		flint	108	119	SØ	1
1278	1	Avslag		kvartsitt	108	119	SØ	1
1279	28	Avslag	mikroavslag	flint	108	119	SØ	1
1280	1	Flekke	mikroflekke	flint	108	119	SØ	1
1281	1	Kjerne	bipolar kjerne	flint	108	119	SØ	1
1282	1	Kjerne	bipolar kjerne	flint	108	119	SØ	1
1283	1	Kjernefragment	bipolart kjernefragment	flint	108	119	SØ	1
1284	40	Avslag		flint	108	119	NV	1
1285	1	Avslag		bergkrystall	108	119	NV	1
1286	24	Avslag	mikroavslag	flint	108	119	NV	1
1287	1	Avslag	medioavslag	flint	108	119	NV	1
1288	1	Avslag	medioavslag	flint	108	119	NV	1
1289	1	Flekke	mikroflekke	flint	108	119	NV	1
1290	1	Flekke	mikroflekke	flint	108	119	NV	1
1291	1	Diagnostisk avslag	flekkelignende avslag	flint	108	119	NV	1
1292	1	Diagnostisk avslag	flekkelignende avslag	flint	108	119	NV	1
1293	1	Kjerne	bipolar kjerne	flint	108	119	NV	1

1294	1	Skraper	ubestemt skraper	flint	108	119	NV	1
1295	35	Avslag		flint	108	119	NØ	1
1296	29	Avslag	mikroavslag	flint	108	119	NØ	1
1297	1	Avslag	mikroavslag	flint	108	119	NØ	1
1298	1	Avslag	fragment	flint	108	119	NØ	1
1299	1	Avslag	medioavslag	flint	108	119	NØ	1
1300	1	Flekke	makroflekke	flint	108	119	NØ	1
1301	1	Flekke	makroflekke	flint	108	119	NØ	1
1302	1	Kjerne	bipolar kjerne	flint	108	119	NØ	1
1303	1	Kjerne	bipolar kjerne	flint	108	119	NØ	1
1304	26	Avslag		flint	108	120	SV	1
1305	16	Avslag	mikroavslag	flint	108	120	SV	1
1306	1	Flekke	makroflekke	flint	108	120	SV	1
1307	1	Flekke	medioflekke	flint	108	120	SV	1
1308	1	Diagnostisk avslag	flekkelignende avslag	flint	108	120	SV	1
1309	1	Diagnostisk avslag	flekkelignende avslag	flint	108	120	SV	1
1310	23	Avslag		flint	108	120	SØ	1
1311	15	Avslag	mikroavslag	flint	108	120	SØ	1
1312	1	Kjerne	bipolar kjerne	flint	108	120	SØ	1
1313	23	Avslag		flint	108	120	NV	1
1314	22	Avslag	mikroavslag	flint	108	120	NV	1
1315	1	Flekke	medioflekke	flint	108	120	NV	1
1316	18	Avslag		flint	108	120	NØ	1
1317	1	Avslag		kvartsitt	108	120	NØ	1
1318	1	Flekke	mikroflekke	flint	108	120	NØ	1
1319	1	Kjernefragment	bipolart kjernefragment	flint	108	120	NØ	1
1320	18	Avslag	mikroavslag	flint	108	120	NØ	1
1321	3	Avslag		flint	109	86	SV	1
1322	3	Avslag		flint	109	92	SV	1
1323	1	Avslag	mikroavslag	flint	109	92	SV	1
1324	1	Kjernefragment		flint	109	92	SV	1
1325	1	Kjernefragment		jaspis	109	92	SV	1
1326	2	Avslag		flint	109	94	SV	1
1327	2	Avslag		flint	109	95	SØ	1
1328	1	Avslag		flint	109	96	SV	1
1329	1	Avslag	mikroavslag	jaspis	109	96	SV	1
1330	1	Kjerne	ubestemt kjerne	flint	109	96	SV	1
1331	10	Avslag		flint	109	117	SØ	1
1332	8	Avslag	mikroavslag	flint	109	117	SØ	1
1333	1	Avslag	medioavslag	flint	109	117	SØ	1
1334	1	Kjerne	bipolar kjerne	flint	109	117	SØ	1
1335	1	Kjernefragment	bipolart kjernefragment	flint	109	117	SØ	1

1336	1	Knakkestein		bergart	109	117	SØ	1
1337	7	Avslag		flint	109	117	NØ	1
1338	1	Avslag	medioavslag	flint	109	117	NØ	1
1339	3	Avslag	mikroavslag	flint	109	117	NØ	1
1340	2	Avslag		kvartsitt	109	117	NØ	1
1341	1	Flekke	mikroflekke	flint	109	117	NØ	1
1342	1	Kjerne	bipolar kjerne	flint	109	117	NØ	1
1343	1	Kjernefragment	bipolart kjernefragment	flint	109	117	NØ	1
1344	1	Retusjert avslag	retusjert makroavslag	flint	109	117	NØ	1
1345	1	Retusjert avslag	retusjert makroavslag	flint	109	117	NØ	1
1346	1	Knakkestein		bergart	109	117	NØ	1
1347	8	Avslag		flint	109	118	SV	1
1348	1	Kjernefragment	bipolart kjernefragment	flint	109	118	SV	1
1349	9	Avslag		flint	109	118	SØ	1
1350	1	Avslag		kvarts	109	118	SØ	1
1351	5	Avslag	mikroavslag	flint	109	118	SØ	1
1352	14	Avslag		flint	109	118	NV	1
1353	6	Avslag	mikroavslag	flint	109	118	NV	1
1354	1	Avslag	medioavslag	flint	109	118	NV	1
1355	1	Avslag	medioavslag	flint	109	118	NV	1
1356	1	Kjerne	bipolar kjerne	flint	109	118	NV	1
1357	7	Avslag		flint	109	118	NØ	1
1358	3	Avslag	mikroavslag	flint	109	118	NØ	1
1359	13	Avslag		flint	109	119	SV	1
1360	1	Avslag	medioavslag	flint	109	119	SV	1
1361	1	Flekke	medioflekke	bergkrystall	109	119	SV	1
1362	1	Flekke	medioflekke	flint	109	119	SV	1
1363	20	Avslag		flint	109	119	SØ	1
1364	14	Avslag	mikroavslag	flint	109	119	SØ	1
1365	2	Avslag	mikroavslag	kvarts	109	119	SØ	1
1366	1	Flekke	makroflekke	flint	109	119	SØ	1
1367	1	Kjernefragment	bipolart kjernefragment	flint	109	119	SØ	1
1368	1	Hengesmykke	annet hengesmykke	skifer	109	119	SØ	1
1369	6	Avslag		flint	109	119	NV	1
1370	4	Avslag	mikroavslag	flint	109	119	NV	1
1371	1	Kjerne	bipolar kjerne	flint	109	119	NV	1
1372	10	Avslag	medioavslag	flint	109	119	NØ	1
1373	1	Kjerne	bipolar kjerne	flint	109	119	NØ	1
1374	6	Avslag	mikroavslag	flint	110	85	SV	1
1375	2	Avslag		flint	110	90	SV	1
1376	1	Avslag	medioavslag	flint	110	90	SV	1
1377	3	Avslag		flint	110	95	SV	1

1378	1	Avslag	medioavslag	flint	110	95	SV	1
1379	1	Kjerne	bipolar kjerne	flint	110	95	SV	1
1380	5	Avslag		flint	111	88	SV	1
1381	4	Avslag	mikroavslag	flint	111	88	SV	1
1382	1	Avslag		flint	111	92	SV	1
1383	1	Avslag		flint	111	93	SV	1
1384	1	Avslag	fragment	flint	111	93	SV	1
1385	1	Avslag		flint	112	85	SV	1
1386	1	Avslag	mikroavslag	flint	112	85	SV	1
1387	1	Avslag	medioavslag	flint	112	85	SV	1
1388	11	Avslag		flint	112	90	SV	1
1389	3	Avslag	mikroavslag	flint	112	90	SV	1
1390	1	Avslag	medioavslag	flint	112	90	SV	1
1391	1	Flekke	mikroflekke	flint	112	90	SV	1
1392	1	Avslag		flint	112	92	SV	1
1393	1	Flekke	mikroflekke	flint	112	93	SV	1
1394	1	Avslag		flint	112	94	SV	1
1395	1	Flekke	makroflekke	flint	112	95	SV	1
1396	3	Avslag		flint	114	92	SV	1
1397	1	Retusjert avslag	retusjert fragment	flint	114	92	SV	1
1398	18	Avslag		flint	100	113	SV	2
1399	1	Avslag	medioavslag	flint	100	113	SV	2
1400	7	Avslag	mikroavslag	flint	100	113	SV	2
1401	1	Flekke	makroflekke	flint	100	113	SV	2
1402	1	Kjerne	bipolar kjerne	flint	100	113	SV	2
1403	1	Kjernefragment	bipolart kjernefragment	flint	100	113	SV	2
1404	32	Avslag		flint	100	113	SØ	2
1405	12	Avslag	mikroavslag	flint	100	113	SØ	2
1406	1	Flekke	mikroflekke	flint	100	113	SØ	2
1407	1	Kjerne	bipolar kjerne	flint	100	113	SØ	2
1408	1	Kjernefragment	bipolart kjernefragment	flint	100	113	SØ	2
1409	13	Avslag		flint	100	113	NV	2
1410	12	Avslag	mikroavslag	flint	100	113	NV	2
1411	31	Avslag		flint	100	113	NØ	2
1412	2	Avslag		kvarts	100	113	NØ	2
1413	7	Avslag	mikroavslag	flint	100	113	NØ	2
1414	1	Kjernefragment		flint	100	113	NØ	2
1415	1	Kjernefragment	overløpen flekke	flint	100	113	NØ	2
1416	1	Prepareringsavslag	flekkefront	flint	100	113	NØ	2
1417	30	Avslag		flint	100	114	SV	2
1418	18	Avslag	mikroavslag	flint	100	114	SV	2
1419	1	Avslag	medioavslag	flint	100	114	SV	2

1420	1	Avslag	medioavslag	flint	100	114	SV	2
1421	1	Flekke	makroflekke	flint	100	114	SV	2
1422	14	Avslag		flint	100	114	SØ	2
1423	3	Avslag	mikroavslag	flint	100	114	SØ	2
1424	1	Avslag	medioavslag	flint	100	114	SØ	2
1425	1	Avslag	medioavslag	flint	100	114	SØ	2
1426	20	Avslag		flint	100	114	NV	2
1427	3	Avslag		kvarts	100	114	NV	2
1428	9	Avslag	mikroavslag	flint	100	114	NV	2
1429	1	Avslag	medioavslag	flint	100	114	NV	2
1430	1	Avslag	medioavslag	flint	100	114	NV	2
1431	1	Øks	trinnøks	grønnstein	100	114	NV	2
1432	22	Avslag		flint	100	114	NØ	2
1433	8	Avslag	mikroavslag	flint	100	114	NØ	2
1434	1	Kjerne	bipolar kjerne	flint	100	114	NØ	2
1435	1	Retusjert avslag	retusjert medioavslag	flint	100	114	NØ	2
1436	27	Avslag		flint	100	115	SV	2
1437	13	Avslag	mikroavslag	flint	100	115	SV	2
1438	2	Avslag	mikroavslag	bergkrystall	100	115	SV	2
1439	23	Avslag		flint	100	115	SØ	2
1440	10	Avslag	mikroavslag	flint	100	115	SØ	2
1441	1	Avslag	medioavslag	flint	100	115	SØ	2
1442	1	Avslag	medioavslag	flint	100	115	SØ	2
1443	1	Avslag	medioavslag	flint	100	115	SØ	2
1444	1	Flekke	mikroflekke	flint	100	115	SØ	2
1445	1	Kjerne	bipolar kjerne	flint	100	115	SØ	2
1446	1	Retusjert avslag		flint	100	115	SØ	2
1447	23	Avslag		flint	100	115	NV	2
1448	2	Avslag		kvarts	100	115	NV	2
1449	11	Avslag	mikroavslag	flint	100	115	NV	2
1450	1	Avslag	medioavslag	flint	100	115	NV	2
1451	1	Diagnostisk avslag	flekkelignende avslag	flint	100	115	NV	2
1452	1	Kniv	flekkekniv	flint	100	115	NV	2
1453	25	Avslag		flint	100	115	NØ	2
1454	20	Avslag	mikroavslag	flint	100	115	NØ	2
1455	1	Flekke	medioflekke	flint	100	115	NØ	2
1456	1	Kniv	flekkekniv	flint	100	115	NØ	2
1457	1	Retusjert avslag	retusjert fragment	flint	100	115	NØ	2
1458	14	Avslag		flint	101	113	SV	2
1459	7	Avslag	mikroavslag	flint	101	113	SV	2
1460	1	Avslag	mikroavslag	kvarts	101	113	SV	2
1461	1	Kjerne	bipolar kjerne	flint	101	113	SV	2

1462	29	Avslag		flint	101	113	SØ	2
1463	1	Avslag		kvartsitt	101	113	SØ	2
1464	12	Avslag	mikroavslag	flint	101	113	SØ	2
1465	2	Avslag	mikroavslag	kvarts	101	113	SØ	2
1466	1	Avslag	medioavslag	flint	101	113	SØ	2
1467	1	Avslag	fragment	bergkrystall	101	113	SØ	2
1468	1	Kjerne	bipolar kjerne	flint	101	113	SØ	2
1469	13	Avslag		flint	101	113	NV	2
1470	1	Avslag		bergkrystall	101	113	NV	2
1471	13	Avslag	mikroavslag	flint	101	113	NV	2
1472	1	Flekke	mikroflekke	flint	101	113	NV	2
1473	1	Kjerne	bipolar kjerne	flint	101	113	NV	2
1474	21	Avslag		flint	101	113	NØ	2
1475	2	Avslag		kvarts	101	113	NØ	2
1476	9	Avslag	mikroavslag	flint	101	113	NØ	2
1477	1	Avslag	medioavslag	flint	101	113	NØ	2
1478	1	Flekke	medioflekke	flint	101	113	NØ	2
1479	1	Flekke	medioflekke	flint	101	113	NØ	2
1480	1	Kjerne	bipolar kjerne	flint	101	113	NØ	2
1481	30	Avslag		flint	101	115	SV	2
1482	1	Avslag		kvartsitt	101	115	SV	2
1483	15	Avslag	mikroavslag	flint	101	115	SV	2
1484	1	Avslag	medioavslag	flint	101	115	SV	2
1485	1	Avslag	medioavslag	flint	101	115	SV	2
1486	1	Flekke	medioflekke	flint	101	115	SV	2
1487	1	Kjerne	bipolar kjerne	bergkrystall	101	115	SV	2
1488	25	Avslag		flint	101	115	SØ	2
1489	8	Avslag	mikroavslag	flint	101	115	SØ	2
1490	1	Avslag	medioavslag	flint	101	115	SØ	2
1491	1	Avslag	medioavslag	flint	101	115	SØ	2
1492	1	Retusjert flekke	retusjert medioflekke	flint	101	115	SØ	2
1493	11	Avslag		flint	101	115	NV	2
1494	5	Avslag	mikroavslag	flint	101	115	NV	2
1495	1	Avslag	mikroavslag	jaspis	101	115	NV	2
1496	13	Avslag		flint	101	115	NØ	2
1497	14	Avslag	mikroavslag	flint	101	115	NØ	2
1498	1	Diagnostisk avslag	flekkelignende avslag	flint	101	115	NØ	2
1499	30	Avslag		flint	101	114	SV	2
1500	2	Avslag		bergkrystall	101	114	SV	2
1501	10	Avslag	mikroavslag	flint	101	114	SV	2
1502	1	Flekke	medioflekke	flint	101	114	SV	2
1503	1	Kjerne	bipolar kjerne	flint	101	114	SV	2

1504	1	Kjerne	bipolar kjerne	flint	101	114	SV	2
1505	1	Retusjert flekke	retusjert medioflekke	flint	101	114	SV	2
1506	24	Avslag		flint	101	114	SØ	2
1507	1	Avslag		kvarts	101	114	SØ	2
1508	6	Avslag	mikroavslag	flint	101	114	SØ	2
1509	1	Diagnostisk avslag	flekkelignende avslag	flint	101	114	SØ	2
1510	1	Kjerne	bipolar kjerne	flint	101	114	SØ	2
1511	27	Avslag		flint	101	114	NV	2
1512	11	Avslag	mikroavslag	flint	101	114	NV	2
1513	3	Avslag	mikroavslag	kvarts	101	114	NV	2
1514	3	Avslag	mikroavslag	bergkrystall	101	114	NV	2
1515	1	Flekke	makroflekke	flint	101	114	NV	2
1516	1	Flekke	mikroflekke	flint	101	114	NV	2
1517	27	Avslag		flint	101	114	NØ	2
1518	9	Avslag	mikroavslag	flint	101	114	NØ	2
1519	1	Avslag	medioavslag	flint	101	114	NØ	2
1520	1	Kjerne	bipolar kjerne	bergkrystall	101	114	NØ	2
1521	5	Avslag		flint	102	111	SØ	2
1522	6	Avslag	mikroavslag	flint	102	111	SØ	2
1523	8	Avslag		flint	102	111	NV	2
1524	3	Avslag	mikroavslag	flint	102	111	NV	2
1525	13	Avslag		flint	102	111	NØ	2
1526	10	Avslag	mikroavslag	flint	102	111	NØ	2
1527	24	Avslag		flint	102	112	SV	2
1528	1	Avslag		bergkrystall	102	112	SV	2
1529	11	Avslag	mikroavslag	flint	102	112	SV	2
1530	1	Flekke	mikroflekke	bergkrystall	102	112	SV	2
1531	1	Prepareringsavslag	ryggflekke	flint	102	112	SV	2
1532	12	Avslag		flint	102	112	SØ	2
1533	1	Avslag		kvarts	102	112	SØ	2
1534	17	Avslag	mikroavslag	flint	102	112	SØ	2
1535	1	Avslag	medioavslag	flint	102	112	SØ	2
1536	15	Avslag		flint	102	112	NV	2
1537	6	Avslag	mikroavslag	flint	102	112	NV	2
1538	1	Avslag	mikroavslag	kvarts	102	112	NV	2
1539	1	Avslag	medioavslag	flint	102	112	NV	2
1540	1	Avslag	medioavslag	flint	102	112	NV	2
1541	1	Kjerne	bipolar kjerne	kvartsitt	102	112	NV	2
1542	15	Avslag		flint	102	112	NØ	2
1543	10	Avslag	mikroavslag	flint	102	112	NØ	2
1544	23	Avslag		flint	102	113	SV	2
1545	13	Avslag	mikroavslag	flint	102	113	SV	2

1546	14	Avslag		flint	102	113	SØ	2
1547	1	Avslag		kvarts	102	113	SØ	2
1548	1	Avslag		bergart	102	113	SØ	2
1549	9	Avslag	mikroavslag	flint	102	113	SØ	2
1550	1	Avslag	medioavslag	flint	102	113	SØ	2
1551	1	Avslag	medioavslag	flint	102	113	SØ	2
1552	1	Knakkestein		bergart	102	113	SØ	2
1553	18	Avslag		flint	102	113	NV	2
1554	2	Avslag		kvarts	102	113	NV	2
1555	1	Avslag		jaspis	102	113	NV	2
1556	8	Avslag	mikroavslag	flint	102	113	NV	2
1557	1	Retusjert avslag	retusjert fragment	flint	102	113	NV	2
1558	1	Retusjert avslag	retusjert medioavslag	flint	102	113	NV	2
1559	1	Retusjert avslag	retusjert fragment	flint	102	113	NV	2
1560	28	Avslag		flint	102	113	NØ	2
1561	1	Avslag		kvarts	102	113	NØ	2
1562	1	Avslag		bergart	102	113	NØ	2
1563	9	Avslag	mikroavslag	flint	102	113	NØ	2
1564	1	Avslag	fragment	flint	102	113	NØ	2
1565	1	Kjerne	bipolar kjerne	flint	102	113	NØ	2
1566	14	Avslag		flint	103	110	NV	2
1567	1	Avslag		kvarts	103	110	NV	2
1568	1	Avslag	mikroavslag	kvartsitt	103	110	NV	2
1569	1	Avslag	mikroavslag	bergkrystall	103	110	NV	2
1570	5	Avslag	mikroavslag	flint	103	110	NV	2
1571	1	Avslag	medioavslag	flint	103	110	NV	2
1572	1	Flekke	medioflekke	flint	103	110	NV	2
1573	1	Flekke	medioflekke	flint	103	110	NV	2
1574	1	Diagnostisk avslag	flekkelignende avslag	flint	103	110	NV	2
1575	23	Avslag		flint	103	110	NØ	2
1576	2	Avslag		kvarts	103	110	NØ	2
1577	15	Avslag	mikroavslag	flint	103	110	NØ	2
1578	2	Avslag	mikroavslag	kvarts	103	110	NØ	2
1579	1	Flekke	medioflekke	flint	103	110	NØ	2
1580	1	Kjerne	bipolar kjerne	flint	103	110	NØ	2
1581	1	Retusjert avslag	retusjert medioavslag	flint	103	110	NØ	2
1582	23	Avslag		flint	103	111	NV	2
1583	2	Avslag		kvarts	103	111	NV	2
1584	11	Avslag	mikroavslag	flint	103	111	NV	2
1585	1	Avslag	medioavslag	flint	103	111	NV	2
1586	1	Retusjert avslag	retusjert medioavslag	flint	103	111	NV	2
1587	1	Retusjert flekke	retusjert medioflekke	flint	103	111	NV	2

1588	1	Emne	ubestemt emne	bergart	103	111	NV	2
1589	10	Avslag		flint	103	111	NØ	2
1590	1	Avslag		kvarts	103	111	NØ	2
1591	2	Avslag	mikroavslag	flint	103	111	NØ	2
1592	1	Flekke	medioflekke	flint	103	111	NØ	2
1593	6	Avslag		flint	105	116	SV	2
1594	10	Avslag	mikroavslag	flint	105	116	SV	2
1595	1	Kjernefragment	bipolart kjernefragment	flint	105	116	SV	2
1596	3	Avslag	mikroavslag	flint	105	116	SØ	2
1597	1	Avslag	medioavslag	flint	105	116	SØ	2
1598	1	Skraper	ubestemt skraper	flint	105	116	SØ	2
1599	20	Avslag		flint	105	116	NV	2
1600	13	Avslag	mikroavslag	flint	105	116	NV	2
1601	16	Avslag		flint	105	116	NØ	2
1602	9	Avslag	mikroavslag	flint	105	116	NØ	2
1603	1	Avslag	mikroavslag	bergkrystall	105	116	NØ	2
1604	1	Avslag	medioavslag	flint	105	116	NØ	2
1605	2	Avslag		flint	106	93	SV	2
1606	1	Avslag	mikroavslag	flint	106	93	SV	2
1607	2	Avslag	mikroavslag	kvarts	106	93	SV	2
1608	1	Diagnostisk avslag	flekkelignende avslag	flint	106	93	SV	2
1609	14	Avslag		flint	106	116	SV	2
1610	1	Avslag		kvarts	106	116	SV	2
1611	2	Avslag		kvartsitt	106	116	SV	2
1612	7	Avslag	mikroavslag	flint	106	116	SV	2
1613	1	Avslag	medioavslag	flint	106	116	SV	2
1614	1	Kjerne	bipolar kjerne	flint	106	116	SV	2
1615	13	Avslag		flint	106	116	SØ	2
1616	2	Avslag		kvarts	106	116	SØ	2
1617	10	Avslag	mikroavslag	flint	106	116	SØ	2
1618	1	Avslag	fragment	bergkrystall	106	116	SØ	2
1619	1	Avslag	medioavslag	flint	106	116	SØ	2
1620	1	Flekke	makroflekke	flint	106	116	SØ	2
1621	1	Flekke	medioflekke	flint	106	116	SØ	2
1622	5	Avslag		flint	106	116	NV	2
1623	1	Avslag		kvartsitt	106	116	NV	2
1624	9	Avslag	mikroavslag	flint	106	116	NV	2
1625	1	Flekke	mikroflekke	flint	106	116	NV	2
1626	1	Øks	trinnøks	grønnstein	106	116	NV	2
1627	12	Avslag		flint	106	116	NØ	2
1628	6	Avslag	mikroavslag	flint	106	116	NØ	2
1629	7	Avslag		flint	106	117	NØ	2

1630	1	Avslag		kvarts	106	117	NØ	2
1631	2	Avslag	mikroavslag	flint	106	117	NØ	2
1632	7	Avslag		flint	106	118	NV	2
1633	1	Avslag		kvarts	106	118	NV	2
1634	10	Avslag	mikroavslag	flint	106	118	NV	2
1635	1	Flekke	mikroflekke	flint	106	118	NV	2
1636	1	Retusjert avslag	retusjert medioavslag	flint	106	118	NV	2
1637	8	Avslag		flint	106	118	NØ	2
1638	5	Avslag	mikroavslag	flint	106	118	NØ	2
1639	1	Kjerne	bipolar kjerne	flint	106	118	NØ	2
1640	1	Prepareringsavslag	plattformavslag	flint	106	118	NØ	2
1641	3	Avslag		flint	107	116	SV	2
1642	1	Avslag	mikroavslag	bergkrystall	107	116	SV	2
1643	1	Avslag	mikroavslag	flint	107	116	SV	2
1644	10	Avslag		flint	107	116	SØ	2
1645	1	Avslag	medioavslag	flint	107	116	SØ	2
1646	1	Flekke	mikroflekke	flint	107	116	SØ	2
1647	10	Avslag		flint	107	116	NV	2
1648	1	Avslag	fragment	flint	107	116	NV	2
1649	12	Avslag		flint	107	116	NØ	2
1650	3	Avslag		flint	107	117	SØ	2
1651	1	Kjerne	bipolar kjerne	flint	107	117	SØ	2
1652	1	Avslag		flint	107	117	NØ	2
1653	1	Avslag		flint	107	118	SV	2
1654	1	Avslag	mikroavslag	flint	107	118	SV	2
1655	6	Avslag		flint	107	118	SØ	2
1656	4	Avslag		flint	107	118	NØ	2
1657	3	Avslag	mikroavslag	flint	107	118	NØ	2
1658	1	Avslag	mikroavslag	flint	107	119	SV	2
1659	2	Avslag		flint	107	119	SØ	2
1660	2	Avslag	mikroavslag	flint	107	119	SØ	2
1661	1	Avslag		flint	107	119	NV	2
1662	4	Avslag	mikroavslag	flint	107	119	NV	2
1663	1	Kjerne	bipolar kjerne	flint	107	119	NV	2
1664	6	Avslag		flint	107	119	NØ	2
1665	3	Avslag	mikroavslag	flint	107	119	NØ	2
1666	1	Flekke	mikroflekke	bergkrystall	107	119	NØ	2
1667	2	Avslag		flint	108	117	SØ	2
1668	1	Avslag	mikroavslag	flint	108	117	SØ	2
1669	3	Avslag		flint	108	117	NØ	2
1670	1	Avslag	mikroavslag	flint	108	117	NØ	2
1671	1	Flekke	mikroflekke	flint	108	117	NØ	2

1672	11	Avslag		flint	108	118	SV	2
1673	3	Avslag	mikroavslag	flint	108	118	SV	2
1674	4	Avslag		flint	108	118	SØ	2
1675	18	Avslag	mikroavslag	flint	108	118	SØ	2
1676	8	Avslag		flint	108	118	NV	2
1677	7	Avslag	mikroavslag	flint	108	118	NV	2
1678	1	Kjerne	bipolar kjerne	flint	108	118	NV	2
1679	15	Avslag		flint	108	118	NV	2
1680	4	Avslag	mikroavslag	flint	108	118	NV	2
1681	1	Flekke	mikroflekke	flint	108	118	NV	2
1682	1	Kjerne	bipolar kjerne	flint	108	118	NV	2
1683	17	Avslag		flint	108	119	SV	2
1684	4	Avslag	mikroavslag	flint	108	119	SV	2
1685	1	Avslag	medioavslag	flint	108	119	SV	2
1686	1	Diagnostisk avslag	flekkelignende avslag	flint	108	119	SV	2
1687	5	Avslag		flint	108	119	SØ	2
1688	1	Avslag	fragment	bergkrystall	108	119	SØ	2
1689	15	Avslag	mikroavslag	flint	108	119	SØ	2
1690	7	Avslag		flint	108	119	NV	2
1691	9	Avslag	mikroavslag	flint	108	119	NV	2
1692	1	Kjerne	bipolar kjerne	flint	108	119	NV	2
1693	21	Avslag		flint	108	119	NØ	2
1694	2	Avslag	mikroavslag	flint	108	119	NØ	2
1695	1	Flekke	makroflekke	flint	108	119	NØ	2
1696	1	Meisel	trinnmeisel	sandstein	108	119	NØ	2
1697	5	Avslag		flint	108	120	SV	2
1698	2	Avslag	mikroavslag	flint	108	120	SV	2
1699	12	Avslag		flint	108	120	SØ	2
1700	4	Avslag	mikroavslag	flint	108	120	SØ	2
1701	1	Avslag	medioavslag	flint	108	120	SØ	2
1702	1	Avslag	medioavslag	flint	108	120	SØ	2
1703	1	Flekke	mikroflekke	flint	108	120	SØ	2
1704	17	Avslag		flint	108	120	NV	2
1705	1	Avslag		bergkrystall	108	120	NV	2
1706	7	Avslag	mikroavslag	flint	108	120	NV	2
1707	1	Flekke	mikroflekke	flint	108	120	NV	2
1708	1	Kjerne	bipolar kjerne	bergkrystall	108	120	NV	2
1709	1	Kjernefragment	bipolart kjernefragment	flint	108	120	NV	2
1710	1	Kjernefragment	bipolart kjernefragment	flint	108	120	NV	2
1711	3	Avslag		flint	108	120	NØ	2
1712	3	Avslag		flint	109	117	SØ	2
1713	3	Avslag	mikroavslag	flint	109	117	SØ	2

1714	1	Kjerne	bipolar kjerne	flint	109	117	SØ	2
1715	1	Kjernefragment	bipolart kjernefragment	flint	109	117	SØ	2
1716	3	Avslag		flint	109	117	NØ	2
1717	1	Kjerne	bipolar kjerne	flint	109	117	NØ	2
1718	12	Avslag		flint	109	118	SV	2
1719	1	Kjerne	bipolar kjerne	flint	109	118	SV	2
1720	10	Avslag		flint	109	118	SØ	2
1721	4	Avslag	mikroavslag	flint	109	118	SØ	2
1722	1	Avslag	fragment	jaspis	109	118	SØ	2
1723	1	Avslag	medioavslag	flint	109	118	SØ	2
1724	1	Diagnostisk avslag	flekkelignende avslag	flint	109	118	SØ	2
1725	3	Avslag		flint	109	118	NV	2
1726	1	Flekke	makroflekke	flint	109	118	NV	2
1727	2	Avslag		flint	109	118	NØ	2
1728	9	Avslag		flint	100	114	SV	3
1729	5	Avslag	mikroavslag	flint	100	114	SV	3
1730	1	Flekke	medioflekke	flint	100	114	SV	3
1731	3	Avslag		flint	100	114	SV	4
1732	1	Avslag	mikroavslag	flint	100	114	SV	4
1733	1	Avslag	medioavslag	flint	89	110		0
1734	1	Avslag		flint	89	120		0
1735	1	Flekke	mikroflekke	flint	89	120		0
1736	3	Avslag		flint	90	106		0
1737	1	Avslag		flint	90	108		0
1738	1	Flekke	makroflekke	flint	90	109		0
1739	1	Avslag		flint	90	115		0
1740	1	Avslag		jaspis	90	115		0
1741	1	Avslag		flint	90	116		0
1742	1	Avslag		flint	91	114		0
1743	1	Avslag		flint	91	115		0
1744	1	Avslag		flint	91	116		0
1745	1	Avslag		flint	91	117		0
1746	1	Avslag		flint	91	118		0
1747	1	Avslag	medioavslag	flint	91	118		0
1748	1	Kjernefragment		flint	91	118		0
1749	2	Avslag		flint	91	119		0
1750	3	Avslag		flint	91	120		0
1751	1	Avslag	mikroavslag	flint	91	120		0
1752	1	Kjerne	bipolar kjerne	flint	92	113		0
1753	2	Avslag		flint	92	117		0
1754	1	Avslag		kvarts	92	117		0
1755	1	Avslag	medioavslag	flint	92	117		0

1756	3	Avslag		flint	92	118		0
1757	1	Avslag	mikroavslag	flint	92	118		0
1758	5	Avslag		flint	92	119		0
1759	1	Avslag	mikroavslag	bergkrystall	92	119		0
1760	1	Avslag	fragment	bergkrystall	92	119		0
1761	3	Avslag		flint	92	121		0
1762	1	Avslag	mikroavslag	flint	92	121		0
1763	1	Avslag		flint	93	106		0
1764	2	Avslag		flint	93	114		0
1765	1	Avslag		kvartsitt	93	114		0
1766	1	Avslag		flint	93	115		0
1767	1	Avslag	medioavslag	flint	93	115		0
1768	1	Avslag		flint	93	116		0
1769	1	Kjerne	konisk kjerne	flint	93	116		0
1770	1	Kjernefragment	ubestemt kjernefragment	flint	93	116		0
1771	2	Avslag		flint	93	117		0
1772	1	Avslag		kvarts	93	117		0
1773	1	Avslag		bergkrystall	93	117		0
1774	3	Avslag	mikroavslag	flint	93	117		0
1775	1	Avslag		flint	93	118		0
1776	2	Avslag	mikroavslag	flint	93	118		0
1777	3	Avslag		flint	93	119		0
1778	4	Avslag	mikroavslag	flint	93	119		0
1779	2	Kjerne	bipolar kjerne	flint	93	119		0
1780	1	Kjerne	bipolar kjerne	flint	93	119		0
1781	1	Kjerne	bipolar kjerne	flint	93	119		0
1782	1	Avslag		flint	94	103		0
1783	2	Avslag		flint	94	112		0
1784	1	Kjerne	bipolar kjerne	flint	94	112		0
1785	1	Avslag	mikroavslag	flint	94	113		0
1786	4	Avslag		flint	94	114		0
1787	1	Avslag	medioavslag	flint	94	115		0
1788	1	Avslag	mikroavslag	flint	94	115		0
1789	2	Avslag		flint	94	116		0
1790	1	Avslag		flint	94	117		0
1791	2	Avslag		flint	94	118		0
1792	1	Kjerne	bipolar kjerne	flint	94	118		0
1793	2	Avslag		flint	94	119		0
1794	1	Kjerne	ubestemt kjerne	flint	94	119		0
1795	1	Avslag		flint	95	103		0
1796	2	Avslag		flint	95	110		0

1797	1	Avslag	fragment	flint	95	110		0
1798	1	Avslag		flint	95	110		0
1799	2	Avslag		flint	95	112		0
1800	1	Avslag		jaspis	95	112		0
1801	1	Kjerne	bipolar kjerne	flint	95	112		0
1802	2	Avslag		flint	95	114		0
1803	3	Avslag		flint	95	115		0
1804	1	Kjerne	ubestemt kjerne	flint	95	115		0
1805	2	Avslag		flint	95	116		0
1806	2	Avslag		flint	95	117		0
1807	1	Avslag		flint	95	119		0
1808	1	Avslag	mikroavslag	flint	95	119		0
1809	1	Avslag	medioavslag	flint	95	119		0
1810	1	Flekke	makroflekke	flint	95	119		0
1811	1	Flekke	makroflekke	flint	95	119		0
1812	1	Kjernefragment	overløpen flekke	flint	96	103		0
1813	4	Avslag		flint	96	105		0
1814	1	Kjerne	bipolar kjerne	flint	96	105		0
1815	1	Kjernefragment	overløpen flekke	flint	96	105		0
1816	2	Avslag		flint	96	107		0
1817	2	Avslag	mikroavslag	flint	96	107		0
1818	2	Avslag		flint	96	108		0
1819	3	Avslag	mikroavslag	flint	96	108		0
1820	3	Avslag		flint	96	109		0
1821	5	Avslag		flint	96	110		0
1822	3	Avslag		flint	96	111		0
1823	1	Flekke	mikroflekke	flint	96	111		0
1824	2	Avslag		flint	96	112		0
1825	1	Avslag	medioavslag	flint	96	112		0
1826	1	Avslag	medioavslag	flint	96	112		0
1827	4	Avslag	fragment	flint	96	112		0
1828	3	Avslag		flint	96	113		0
1829	2	Avslag		flint	96	114		0
1830	1	Avslag		flint	96	115		0
1831	13	Avslag		flint	96	117		0
1832	1	Avslag	fragment	flint	96	117		0
1833	1	Flekke	mikroflekke	flint	96	117		0
1834	1	Kjerne	bipolar kjerne	flint	96	117		0
1835	1	Kjernefragment	bipolart kjernefragment	flint	96	117		0
1836	3	Avslag		flint	96	118		0
1837	1	Avslag	medioavslag	flint	96	118		0
1838	2	Avslag		flint	96	119		0

1839	1	Kniv	flekkekniv	flint	96	119		0
1840	2	Avslag		flint	96	120		0
1841	1	Avslag	fragment	flint	96	120		0
1842	1	Kjerne	bipolar kjerne	flint	96	120		0
1843	1	Kjerne	bipolar kjerne	flint	96	120		0
1844	1	Prepareringsavslag	ryggflekke	flint	96	120		0
1845	1	Avslag		flint	97	98		0
1846	3	Avslag		flint	97	104		0
1847	4	Avslag		flint	97	105		0
1848	1	Kjerne	bipolar kjerne	flint	97	105		0
1849	1	Avslag		flint	97	106		0
1850	1	Avslag	mikroavslag	flint	97	106		0
1851	1	Kjerne	konisk kjerne	flint	97	106		0
1852	1	Avslag		flint	97	107		0
1853	1	Flekke	makroflekke	flint	97	108		0
1854	1	Prepareringsavslag	ryggflekke	flint	97	108		0
1855	1	Kniv	annen skiferkniv	sandstein	97	108		0
1856	1	Kniv	ubestemt bergartskniv	sandstein	97	109		0
1857	1	Slipeplate		sandstein	97	109		0
1858	4	Avslag		flint	97	110		0
1859	2	Avslag	mikroavslag	flint	97	110		0
1860	1	Skraper	ubestemt skraper	flint	97	110		0
1861	2	Avslag		flint	97	111		0
1862	1	Avslag		kvarts	97	111		0
1863	1	Flekke	makroflekke	flint	97	111		0
1864	6	Avslag		flint	97	112		0
1865	1	Avslag	medioavslag	flint	97	112		0
1866	1	Kjerne	bipolar kjerne	flint	97	112		0
1867	6	Avslag		flint	97	113		0
1868	1	Kjerne	bipolar kjerne	bergkrystall	97	113		0
1869	4	Avslag		flint	97	114		0
1870	1	Avslag		kvarts	97	114		0
1871	1	Avslag	fragment	flint	97	114		0
1872	1	Kjerne	bipolar kjerne	flint	97	114		0
1873	1	Kjerne	bipolar kjerne	flint	97	114		0
1874	2	Avslag		flint	97	115		0
1875	1	Avslag		bergkrystall	97	115		0
1876	2	Avslag	mikroavslag	flint	97	115		0
1877	1	Flekke	medioflekke	flint	97	115		0
1878	1	Avslag		flint	97	117		0
1879	1	Avslag	medioavslag	flint	97	117		0
1880	1	Kjerne	bipolar kjerne	flint	97	117		0

1881	1	Avslag		flint	97	118		0
1882	1	Kjerne	bipolar kjerne	flint	97	118		0
1883	3	Avslag		flint	97	119		0
1884	1	Retusjert avslag	retusjert fragment	flint	97	119		0
1885	2	Avslag		flint	97	120		0
1886	1	Avslag		bergkrystall	97	120		0
1887	1	Avslag		flint	98	96		0
1888	1	Kjerne	ubestemt kjerne	flint	98	98		0
1889	1	Flekke	medioflekke	flint	98	100		0
1890	1	Avslag	medioavslag	flint	98	101		0
1891	3	Avslag		flint	98	102		0
1892	1	Avslag		flint	98	103		0
1893	2	Avslag		flint	98	104		0
1894	2	Avslag		flint	98	107		0
1895	1	Avslag		flint	98	108		0
1896	1	Avslag	fragment	flint	98	108		0
1897	1	Avslag		kvarts	98	108		0
1898	1	Flekke	makroflekke	flint	98	108		0
1899	2	Avslag		flint	98	109		0
1900	1	Avslag	mikroavslag	flint	98	109		0
1901	1	Avslag	fragment	flint	98	109		0
1902	5	Avslag		flint	98	110		0
1903	3	Avslag		flint	98	111		0
1904	1	Flekke	makroflekke	flint	98	111		0
1905	1	Kjerne	bipolar kjerne	flint	98	111		0
1906	6	Avslag		flint	98	112		0
1907	1	Avslag		flint	98	112		0
1908	3	Avslag		flint	98	113		0
1909	1	Avslag	medioavslag	flint	98	113		0
1910	1	Avslag	fragment	flint	98	113		0
1911	1	Avslag	fragment	bergkrystall	98	113		0
1912	1	Knakkestein		kvartsitt	98	113		0
1913	7	Avslag		flint	98	114		0
1914	5	Avslag		flint	98	115		0
1915	10	Avslag		flint	98	116		0
1916	1	Avslag		kvarts	98	116		0
1917	1	Avslag	medioavslag	flint	98	116		0
1918	8	Avslag		flint	98	117		0
1919	2	Avslag	mikroavslag	flint	98	117		0
1920	1	Avslag	medioavslag	flint	98	117		0
1921	1	Flekke	makroflekke	flint	98	117		0
1922	3	Avslag		flint	98	118		0

1923	2	Avslag	mikroavslag	flint	98	118		0
1924	1	Kjernefragment		flint	98	118		0
1925	1	Avslag		flint	98	119		0
1926	1	Avslag		flint	98	120		0
1927	1	Avslag		flint	99	96		0
1928	1	Avslag		flint	99	97		0
1929	3	Avslag		flint	99	100		0
1930	1	Avslag	mikroavslag	flint	99	100		0
1931	1	Avslag	medioavslag	flint	99	100		0
1932	6	Avslag		flint	99	101		0
1933	1	Avslag		kvartsitt	99	101		0
1934	1	Flekke	medioflekke	flint	99	101		0
1935	1	Kjerne	bipolar kjerne	flint	99	101		0
1936	6	Avslag		flint	99	102		0
1937	1	Avslag		kvartsitt	99	102		0
1938	1	Avslag	mikroavslag	flint	99	102		0
1939	1	Flekke	medioflekke	flint	99	102		0
1940	4	Avslag		flint	99	103		0
1941	2	Avslag		flint	99	104		0
1942	1	Avslag		flint	99	106		0
1943	1	Avslag	mikroavslag	kvarts	99	106		0
1944	1	Flekke	medioflekke	flint	99	106		0
1945	1	Avslag		flint	99	107		0
1946	1	Diagnostisk avslag	flekkelignende avslag	flint	99	107		0
1947	1	Kjerne	bipolar kjerne	flint	99	107		0
1948	1	Avslag		flint	99	108		0
1949	1	Avslag		bergkrystall	99	108		0
1950	1	Avslag	fragment	flint	99	108		0
1951	1	Skraper	endeskraper	flint	99	108		0
1952	2	Avslag		flint	99	109		0
1953	1	Avslag		kvarts	99	109		0
1954	2	Avslag	mikroavslag	flint	99	100		0
1955	1	Avslag		kvarts	99	100		0
1956	1	Kjerne	bipolar kjerne	flint	99	100		0
1957	1	Kjernefragment	bipolart kjernefragment	flint	99	100		0
1958	14	Avslag		flint	99	111		0
1959	4	Avslag		flint	99	112		0
1960	2	Avslag	mikroavslag	flint	99	112		0
1961	1	Kjernefragment	overløpen flekke	flint	99	112		0
1962	1	Retusjert avslag	retusjert makroavslag	flint	99	112		0
1963	11	Avslag		flint	99	113		0
1964	1	Avslag		kvarts	99	113		0

1965	4	Avslag	mikroavslag	flint	99	113		0
1966	1	Avslag	medioavslag	flint	99	113		0
1967	1	Kjerne	bipolar kjerne	flint	99	113		0
1968	1	Kjerne	bipolar kjerne	flint	99	113		0
1969	1	Kjerne	bipolar kjerne	flint	99	113		0
1970	1	Kjerne	bipolar kjerne	flint	99	113		0
1971	1	Kjerne	bipolar kjerne	flint	99	113		0
1972	16	Avslag		flint	99	114		0
1973	2	Avslag		kvartsitt	99	114		0
1974	1	Avslag		bergart	99	114		0
1975	1	Avslag	medioavslag	flint	99	114		0
1976	2	Avslag	mikroavslag	flint	99	114		0
1977	1	Kjerne	bipolar kjerne	flint	99	114		0
1978	1	Kjerne	bipolar kjerne	flint	99	114		0
1979	1	Kjerne	bipolar kjerne	flint	99	114		0
1980	1	Kjernefragment		flint	99	114		0
1981	1	Kjernefragment	bipolart kjernefragment	flint	99	114		0
1982	25	Avslag		flint	99	115		0
1983	1	Avslag		kvarts	99	115		0
1984	2	Avslag	mikroavslag	flint	99	115		0
1985	1	Avslag	fragment	kvarts	99	115		0
1986	1	Flekke	mikroflekke	flint	99	115		0
1987	1	Kjerne	bipolar kjerne	flint	99	115		0
1988	14	Avslag		flint	99	116		0
1989	4	Avslag	mikroavslag	flint	99	116		0
1990	1	Avslag	fragment	jaspis	99	116		0
1991	1	Flekke	medioflekke	flint	99	116		0
1992	1	Retusjert avslag	retusjert medioavslag	flint	99	116		0
1993	7	Avslag		flint	99	117		0
1994	3	Avslag	mikroavslag	flint	99	117		0
1995	1	Avslag	medioavslag	flint	99	117		0
1996	1	Kjerne	ubestemt kjerne	flint	99	117		0
1997	1	Kjerne	bipolar kjerne	flint	99	117		0
1998	2	Avslag		flint	99	118		0
1999	2	Avslag	mikroavslag	flint	99	119		0
2000	1	Avslag	medioavslag	flint	99	119		0
2001	1	Kjerne	bipolar kjerne	flint	99	119		0
2002	1	Avslag		flint	99	120		0
2003	2	Avslag	mikroavslag	flint	99	120		0
2004	2	Avslag		flint	100	96		0
2005	1	Avslag		skifer	100	96		0
2006	1	Flekke	medioflekke	flint	100	99		0

2007	4	Avslag		flint	100	100		0
2008	1	Avslag		kvarts	100	100		0
2009	1	Flekke	makroflekke	flint	100	100		0
2010	1	Kjernefragment	bipolart kjernefragment	flint	100	100		0
2011	1	Prepareringsavslag	plattformavslag	flint	100	100		0
2012	1	Pilspiss	tangespiss	flint	100	100		0
2013	26	Avslag		flint	100	101		0
2014	1	Avslag	medioavslag	flint	100	101		0
2015	14	Avslag	mikroavslag	flint	100	101		0
2016	1	Diagnostisk avslag	flekkelignende avslag	flint	100	101		0
2017	1	Kjerne	ubestemt kjerne	flint	100	101		0
2018	1	Kjernefragment		flint	100	101		0
2019	1	Borspiss	borspiss på ryggflekke	flint	100	101		0
2020	5	Avslag		flint	100	102		0
2021	2	Avslag	mikroavslag	flint	100	102		0
2022	1	Avslag	fragment	flint	100	102		0
2023	1	Kjerne	bipolar kjerne	kvartsitt	100	102		0
2024	1	Avslag		flint	100	103		0
2025	1	Avslag	mikroavslag	flint	100	104		0
2026	1	Avslag		flint	100	104		0
2027	1	Avslag		flint	100	106		0
2028	1	Avslag	medioavslag	flint	100	106		0
2029	1	Avslag		flint	100	107		0
2030	1	Avslag	mikroavslag	flint	100	107		0
2031	2	Avslag		flint	100	108		0
2032	3	Avslag	mikroavslag	flint	100	108		0
2033	3	Avslag		flint	100	109		0
2034	1	Avslag		bergkrystall	100	109		0
2035	2	Avslag	mikroavslag	flint	100	109		0
2036	1	Avslag	medioavslag	bergkrystall	100	109		0
2037	1	Flekke	mikroflekke	kvarts	100	109		0
2038	1	Kjerne	bipolar kjerne	flint	100	109		0
2039	7	Avslag		flint	100	110		0
2040	2	Avslag	mikroavslag	flint	100	110		0
2041	1	Kjerne	bipolar kjerne	flint	100	110		0
2042	9	Avslag		flint	100	111		0
2043	1	Flekke	mikroflekke	flint	100	111		0
2044	1	Diagnostisk avslag	flekkelignende avslag	flint	100	111		0
2045	1	Øks	kjerneøks	flint	100	111		0
2046	1	Kjerne	bipolar kjerne	jaspis	100	111		0
2047	2	Avslag		flint	100	112		0
2048	1	Avslag	fragment	flint	100	112		0

2049	1	Kjernefragment	bipolart kjernefragment	flint	100	112		0
2050	1	Avslag		kvarts	100	113		0
2051	1	Avslag	fragment	flint	100	113		0
2052	1	Flekke	medioflekke	flint	100	113		0
2053	11	Avslag		flint	100	114		0
2054	1	Avslag	mikroavslag	flint	100	114		0
2055	1	Avslag	medioavslag	flint	100	114		0
2056	1	Avslag	medioavslag	flint	100	114		0
2057	1	Flekke	mikroflekke	flint	100	114		0
2058	1	Kjerne	bipolar kjerne	flint	100	114		0
2059	1	Kjerne	bipolar kjerne	bergkrystall	100	114		0
2060	16	Avslag		flint	100	116		0
2061	3	Avslag	mikroavslag	flint	100	116		0
2062	1	Flekke	makroflekke	flint	100	116		0
2063	1	Kjerne	bipolar kjerne	flint	100	116		0
2064	21	Avslag		flint	100	117		0
2065	2	Avslag		bergkrystall	100	117		0
2066	10	Avslag	mikroavslag	flint	100	117		0
2067	1	Avslag	medioavslag	flint	100	117		0
2068	1	Flekke	medioflekke	flint	100	117		0
2069	1	Diagnostisk avslag	cortexflekke	flint	100	117		0
2070	5	Avslag		flint	100	118		0
2071	7	Avslag		flint	100	119		0
2072	5	Avslag	mikroavslag	flint	100	119		0
2073	1	Kjerne	ubestemt kjerne	flint	100	119		0
2074	6	Avslag		flint	100	120		0
2075	1	Avslag		kvarts	100	120		0
2076	1	Avslag		jaspis	100	120		0
2077	2	Avslag	mikroavslag	flint	100	120		0
2078	1	Avslag	medioavslag	flint	100	120		0
2079	1	Avslag		flint	101	91		0
2080	1	Avslag		flint	101	96		0
2081	1	Avslag		kvarts	101	96		0
2082	1	Avslag		flint	101	97		0
2083	1	Avslag	medioavslag	flint	101	97		0
2084	1	Flekke	makroflekke	flint	101	99		0
2085	1	Kjerne	ubestemt kjerne	flint	101	99		0
2086	11	Avslag		flint	101	100		0
2087	1	Avslag	medioavslag	flint	101	100		0
2088	1	Avslag	medioavslag	flint	101	100		0
2089	1	Avslag	medioavslag	flint	101	100		0
2090	10	Avslag	mikroavslag	flint	101	100		0

2091	1	Kjerne	bipolar kjerne	flint	101	100		0
2092	1	Kjernefragment		flint	101	100		0
2093	1	Kjernefragment		flint	101	100		0
2094	9	Avslag		flint	101	101		0
2095	1	Kjerne	bipolar kjerne	flint	101	101		0
2096	6	Avslag		flint	101	102		0
2097	1	Avslag	fragment	flint	101	102		0
2098	3	Avslag		flint	101	103		0
2099	1	Flekke	medioflekke	flint	101	104		0
2100	1	Kjerne	ubestemt kjerne	flint	101	104		0
2101	1	Avslag	medioavslag	flint	101	105		0
2102	3	Avslag		flint	101	106		0
2103	1	Retusjert avslag	retusjert medioavslag	flint	101	106		0
2104	1	Avslag		kvarts	101	107		0
2105	1	Avslag	medioavslag	flint	101	107		0
2106	1	Kjernefragment		flint	101	107		0
2107	1	Avslag		flint	101	108		0
2108	1	Avslag		kvarts	101	108		0
2109	1	Avslag	medioavslag	flint	101	108		0
2110	1	Kjerne	ensidig kjerne	flint	101	108		0
2111	17	Avslag		flint	101	110		0
2112	2	Avslag		kvarts	101	110		0
2113	1	Avslag		flint	101	110		0
2114	3	Avslag	mikroavslag	flint	101	110		0
2115	1	Flekke	medioflekke	flint	101	110		0
2116	1	Diagnostisk avslag	flekkelignende avslag	flint	101	110		0
2117	2	Avslag		flint	101	113		0
2118	2	Avslag	medioavslag	flint	101	113		0
2119	1	Avslag	fragment	bergart	101	113		0
2120	3	Avslag		flint	101	114		0
2121	1	Avslag	makroavslag	bergart	101	114		0
2122	1	Kjerne	ubestemt kjerne	flint	101	114		0
2123	11	Avslag		flint	101	115		0
2124	1	Avslag		bergkrystall	101	115		0
2125	1	Avslag	mikroavslag	jaspis	101	115		0
2126	1	Flekke	mikroflekke	flint	101	115		0
2127	1	Skraper	ubestemt skraper	flint	101	115		0
2128	20	Avslag		flint	101	115		0
2129	1	Avslag	medioavslag	flint	101	115		0
2130	7	Avslag	mikroavslag	flint	101	115		0
2131	10	Avslag		flint	101	118		0
2132	1	Avslag		kvarts	101	118		0

2133	4	Avslag	mikroavslag	flint	101	118		0
2134	1	Avslag	medioavslag	flint	101	118		0
2135	1	Avslag	medioavslag	flint	101	118		0
2136	1	Avslag	medioavslag	flint	101	118		0
2137	1	Diagnostisk avslag	flekkelignende avslag	flint	101	118		0
2138	1	Retusjert avslag	retusjert fragment	flint	101	118		0
2139	1	Avslag	fragment	flint	101	118		0
2140	11	Avslag		flint	101	119		0
2141	2	Avslag		flint	101	120		0
2142	1	Skraper	endeskraper	kvartsitt	102	91		0
2143	1	Avslag		flint	102	91		0
2144	2	Avslag		flint	102	94		0
2145	2	Avslag		flint	102	95		0
2146	2	Avslag		flint	102	98		0
2147	1	Flekke	mikroflekke	flint	102	98		0
2148	1	Avslag		flint	102	100		0
2149	1	Avslag	medioavslag	flint	102	100		0
2150	3	Avslag		flint	102	101		0
2151	1	Avslag	medioavslag	flint	102	102		0
2152	1	Flekke	mikroflekke	flint	102	102		0
2153	1	Avslag		flint	102	105		0
2154	1	Avslag	medioavslag	flint	102	105		0
2155	1	Avslag	fragment	flint	102	105		0
2156	1	Diagnostisk avslag	flekkelignende avslag	flint	102	108		0
2157	1	Avslag		flint	102	109		0
2158	1	Avslag	medioavslag	flint	102	109		0
2159	1	Flekke	medioflekke	flint	102	109		0
2160	11	Avslag		flint	102	116		0
2161	3	Avslag	mikroavslag	flint	102	116		0
2162	1	Avslag	medioavslag	flint	102	116		0
2163	1	Kjerne	bipolar kjerne	flint	102	116		0
2164	1	Kjernefragment	bipolart kjernefragment	flint	102	116		0
2165	12	Avslag		flint	102	117		0
2166	1	Avslag		kvarts	102	117		0
2167	1	Avslag	medioavslag	flint	102	117		0
2168	3	Avslag	mikroavslag	flint	102	117		0
2169	1	Kjerne	bipolar kjerne	flint	102	117		0
2170	1	Kjerne	bipolar kjerne	flint	102	117		0
2171	22	Avslag		flint	102	118		0
2172	1	Avslag		kvarts	102	118		0
2173	1	Avslag		bergkrystall	102	118		0
2174	1	Avslag		jaspis	102	118		0

2175	3	Avslag	mikroavslag	flint	102	118		0
2176	1	Flekke	medioflekke	flint	102	118		0
2177	1	Kjerne	bipolar kjerne	flint	102	118		0
2178	1	Kjerne	bipolar kjerne	flint	102	118		0
2179	1	Kjerne	bipolar kjerne	bergkrystall	102	118		0
2180	1	Diagnostisk avslag	avslag fra økseproduksjon	flint	102	118		0
2181	7	Avslag		flint	102	119		0
2182	1	Avslag	medioavslag	flint	102	119		0
2183	1	Kjerne	bipolar kjerne	flint	102	119		0
2184	4	Avslag		flint	102	120		0
2185	1	Avslag	mikroavslag	flint	102	120		0
2186	1	Kjernefragment	plattformkjernefragment	flint	102	120		0
2187	1	Prepareringsavslag	ryggflekke	flint	103	87		0
2188	2	Avslag		flint	103	91		0
2189	1	Kjerne	bipolar kjerne	flint	103	91		0
2190	5	Avslag		flint	103	92		0
2191	1	Avslag		kvartsitt	103	92		0
2192	1	Avslag	mikroavslag	flint	103	92		0
2193	1	Flekke	makroflekke	flint	103	92		0
2194	1	Kjerne	bipolar kjerne	flint	103	92		0
2195	1	Avslag		flint	103	93		0
2196	1	Avslag		flint	103	94		0
2197	2	Avslag		flint	103	102		0
2198	1	Avslag		flint	103	104		0
2199	1	Flekke	mikroflekke	flint	103	104		0
2200	1	Avslag		flint	103	105		0
2201	1	Avslag		bergkrystall	103	106		0
2202	3	Avslag		flint	103	107		0
2203	5	Avslag		flint	103	108		0
2204	3	Avslag		flint	103	109		0
2205	1	Avslag		flint	103	110		0
2206	1	Avslag		flint	103	111		0
2207	2	Flekke	mikroflekke	flint	103	111		0
2208	3	Avslag		flint	103	112		0
2209	1	Avslag	mikroavslag	flint	103	112		0
2210	6	Avslag		flint	103	113		0
2211	1	Avslag	medioavslag	flint	103	113		0
2212	12	Avslag		flint	103	114		0
2213	4	Avslag	mikroavslag	flint	103	114		0
2214	1	Avslag	medioavslag	flint	103	114		0
2215	1	Flekke	mikroflekke	flint	103	114		0

2216	11	Avslag		flint	103	115		0
2217	2	Avslag		kvarts	103	115		0
2218	1	Avslag	fragment	flint	103	115		0
2219	1	Diagnostisk avslag	flekkelignende avslag	flint	103	115		0
2220	18	Avslag		flint	103	116		0
2221	3	Avslag		kvarts	103	116		0
2222	1	Avslag		bergkrystall	103	116		0
2223	1	Retusjert avslag	retusjert medioavslag	flint	103	116		0
2224	13	Avslag		flint	103	117		0
2225	1	Avslag		bergkrystall	103	117		0
2226	1	Avslag	medioavslag	flint	103	117		0
2227	2	Avslag	mikroavslag	flint	103	117		0
2228	13	Avslag		flint	103	118		0
2229	3	Avslag	mikroavslag	flint	103	118		0
2230	1	Avslag	mikroavslag	kvartsitt	103	118		0
2231	1	Flekke	medioflekke	flint	103	118		0
2232	1	Flekke	mikroflekke	flint	103	118		0
2233	1	Kjernefragment	bipolart kjernefragment	flint	103	118		0
2234	1	Kjernefragment	bipolart kjernefragment	kvartsitt	103	118		0
2235	1	Skraper	ubestemt skraper	flint	103	118		0
2236	7	Avslag		flint	103	119		0
2237	1	Avslag		bergkrystall	103	119		0
2238	2	Avslag	mikroavslag	flint	103	119		0
2239	1	Kjerne	bipolar kjerne	flint	103	119		0
2240	1	Kjerne	ubestemt kjerne	flint	103	119		0
2241	1	Avslag	fragment	flint	104	90		0
2242	1	Flekke	makroflekke	flint	104	90		0
2243	2	Avslag		flint	104	91		0
2244	1	Avslag		kvartsitt	104	91		0
2245	3	Avslag		flint	104	92		0
2246	1	Avslag	medioavslag	flint	104	92		0
2247	1	Avslag		flint	104	93		0
2248	3	Avslag		kvartsitt	104	93		0
2249	1	Avslag		bergkrystall	104	93		0
2250	1	Avslag	medioavslag	flint	104	93		0
2251	2	Avslag	mikroavslag	flint	104	93		0
2252	1	Kjerne	bipolar kjerne	flint	104	93		0
2253	1	Avslag	fragment	kvartsitt	104	93		0
2254	2	Avslag		flint	104	95		0
2255	1	Avslag		flint	104	96		0
2256	1	Flekke	medioflekke	flint	104	101		0
2257	1	Skraper	endeskraper	flint	104	101		0

2258	2	Avslag		flint	104	102		0
2259	2	Avslag		flint	104	104		0
2260	1	Avslag		flint	104	106		0
2261	3	Avslag		flint	104	115		0
2262	1	Avslag	medioavslag	flint	104	115		0
2263	5	Avslag		flint	104	115		0
2264	2	Avslag	mikroavslag	flint	104	115		0
2265	3	Avslag		flint	104	119		0
2266	2	Avslag		flint	105	84		0
2267	3	Avslag		flint	105	87		0
2268	1	Avslag		flint	105	92		0
2269	1	Avslag		kvartsitt	105	92		0
2270	1	Flekke	makroflekke	flint	105	92		0
2271	1	Prepareringsavslag	plattformavslag	flint	105	92		0
2272	2	Avslag		flint	105	93		0
2273	1	Retusjert avslag	retusjert medioavslag	flint	105	93		0
2274	1	Avslag		bergkrystall	105	97		0
2275	1	Avslag	mikroavslag	flint	105	101		0
2276	2	Avslag	makroavslag	flint	105	104		0
2277	1	Kjerne	bipolar kjerne	flint	105	107		0
2278	2	Avslag		flint	105	108		0
2279	3	Avslag		flint	105	109		0
2280	1	Stikkel	ubestemt stikkel	flint	105	111		0
2281	1	Avslag	mikroavslag	flint	105	113		0
2282	3	Avslag		flint	105	117		0
2283	2	Avslag	mikroavslag	flint	105	117		0
2284	1	Kjerne	bipolar kjerne	flint	105	117		0
2285	1	Retusjert avslag	retusjert medioavslag	flint	105	117		0
2286	1	Avslag		flint	105	118		0
2287	1	Diagnostisk avslag	flekkelignende avslag	flint	105	118		0
2288	2	Avslag		flint	106	87		0
2289	1	Avslag	mikroavslag	flint	106	87		0
2290	1	Diagnostisk avslag	flekkelignende avslag	flint	106	87		0
2291	1	Avslag		flint	106	86		0
2292	1	Avslag		flint	106	88		0
2293	1	Flekke	mikroflekke	flint	106	89		0
2294	1	Avslag	mikroavslag	flint	106	90		0
2295	1	Diagnostisk avslag	cortexflekke	flint	106	90		0
2296	2	Avslag		flint	106	100		0
2297	1	Avslag	fragment	flint	106	101		0
2298	1	Flekke	medioflekke	flint	106	101		0
2299	1	Avslag		flint	106	103		0

2300	1	Avslag	mikroavslag	flint	106	103		0
2301	1	Avslag		flint	103	111		0
2302	2	Avslag		flint	106	112		0
2303	2	Avslag		flint	106	117		0
2304	1	Avslag	mikroavslag	flint	106	117		0
2305	1	Diagnostisk avslag	flekkelignende avslag	flint	106	117		0
2306	1	Avslag	medioavslag	flint	106	119		0
2307	3	Avslag		flint	106	120		0
2308	1	Avslag	medioavslag	flint	106	120		0
2309	1	Avslag		flint	107	85		0
2310	1	Retusjert avslag	retusjert medioavslag	flint	107	85		0
2311	1	Avslag		flint	107	87		0
2312	1	Avslag		flint	107	88		0
2313	1	Kjerne	bipolar kjerne	flint	107	88		0
2314	1	Avslag		flint	107	89		0
2315	1	Avslag		flint	107	90		0
2316	1	Avslag		flint	107	92		0
2317	1	Avslag		flint	107	93		0
2318	1	Prepareringsavslag	ryggflekke	flint	107	93		0
2319	1	Avslag		flint	107	94		0
2320	1	Flekke	mikroflekke	flint	107	96		0
2321	1	Avslag		flint	107	100		0
2322	1	Avslag		flint	107	102		0
2323	1	Avslag	medioavslag	flint	107	102		0
2324	1	Avslag	medioavslag	flint	107	103		0
2325	1	Avslag		flint	107	117		0
2326	1	Avslag		kvarts	108	84		0
2327	3	Avslag		flint	108	85		0
2328	1	Avslag	fragment	flint	108	87		0
2329	1	Avslag	fragment	flint	108	88		0
2330	1	Flekke	mikroflekke	flint	108	88		0
2331	1	Avslag		flint	108	91		0
2332	2	Avslag	mikroavslag	flint	108	91		0
2333	1	Retusjert avslag	retusjert medioavslag	flint	108	91		0
2334	1	Avslag		flint	108	94		0
2335	4	Avslag		flint	108	97		0
2336	1	Avslag		flint	108	99		0
2337	1	Kjerne	bipolar kjerne	flint	108	101		0
2338	2	Avslag		flint	108	103		0
2339	1	Avslag		kvarts	108	104		0
2340	1	Retusjert avslag	retusjert medioavslag	flint	108	104		0
2341	1	Avslag		flint	108	108		0

2342	1	Avslag		flint	108	114		0
2343	1	Avslag		flint	108	117		0
2344	1	Avslag		flint	109	81		0
2345	1	Avslag	mikroavslag	flint	109	81		0
2346	1	Avslag		kvarts	109	83		0
2347	1	Avslag	medioavslag	flint	109	83		0
2348	1	Retusjert avslag	retusjert medioavslag	flint	109	85		0
2349	2	Avslag		flint	109	86		0
2350	2	Avslag		flint	109	87		0
2351	4	Avslag		flint	109	89		0
2352	3	Avslag	mikroavslag	flint	109	89		0
2353	2	Avslag		flint	109	92		0
2354	2	Avslag		flint	109	93		0
2355	1	Avslag		flint	109	94		0
2356	1	Avslag		kvartsitt	109	94		0
2357	1	Kjerne	bipolar kjerne	kvartsitt	109	94		0
2358	1	Avslag		flint	109	95		0
2359	1	Flekke	medioflekke	flint	109	97		0
2360	1	Avslag		flint	109	105		0
2361	1	Avslag		flint	109	115		0
2362	1	Avslag		bergart	109	115		0
2363	2	Avslag		flint	109	116		0
2364	2	Avslag	fragment	flint	109	116		0
2365	2	Avslag		flint	109	117		0
2366	1	Avslag		flint	109	119		0
2367	1	Avslag		flint	113	91		0
2368	1	Kjerne	bipolar kjerne	flint	113	92		0
2369	1	Avslag		flint	113	96		0
2370	1	Avslag		flint	114	90		0
2371	1	Avslag		kvarts	114	90		0
2372	1	Knakkestein		bergart	114	101		0
2373	1	Avslag		jaspis	115	84		0
2374	1	Avslag	mikroavslag	flint	115	94		0
2375	1	Diagnostisk avslag	flekkelignende avslag	flint	115	94		0
2376	2	Avslag		flint	115	95		0
2377	1	Avslag		flint	116	95		0
2378	91	Avslag		flint				
2379	1	Avslag	medioavslag	flint				
2380	1	Avslag	medioavslag	flint				
2381	31	Avslag	mikroavslag	flint				
2382	1	Avslag		kvarts				
2383	2	Avslag		kvartsitt				

2384	1	Avslag	fragment	bergkrystall				
2385	1	Flekke	medioflekke	flint				
2386	1	Flekke	medioflekke	flint				
2387	1	Flekke	medioflekke	flint				
2388	1	Diagnostisk avslag	flekkelignende avslag	flint				
2389	1	Kjerne	konisk kjerne	flint				
2390	1	Kjerne	kjølformet kjerne	flint				
2391	1	Kjerne	bipolar kjerne	flint				
2392	1	Kjerne	ubestemt kjerne	flint				
2393	1	Kjerne	ubestemt kjerne	flint				
2394	1	Kjerne	ubestemt kjerne	flint				
2395	1	Kjernefragment		flint				
2396	1	Kjernefragment	bipolart kjernefragment	flint				
2397	1	Skraper	endeskraper	bergart				
2398	1	Stein		kvarts				
2399	5	Avslag		flint				BL1
2400	5	Avslag	mikroavslag	flint				BL1
2401	2	Avslag		flint				BL2
2402	2	Avslag	mikroavslag	flint				BL2
2403	3	Avslag		flint				BL3
2404	4	Avslag		flint				BL1
2405	12	Avslag		flint				
2406	8	Avslag	mikroavslag	flint				
2407	1	Flekke	makroflekke	flint				
2408	1	Flekke	mikroflekke	flint				
2409	1	Diagnostisk avslag	flekkelignende avslag	flint				
2410	7	Avslag		flint				
2411	1	Flekke	mikroflekke	flint				
2412	1	Prepareringsavslag	plattformavslag	flint				
2413	10	Avslag		flint				
2414	1	Avslag		kvarts				
2415	2	Avslag	mikroavslag	flint				
2416	1	Avslag		flint	101	110		
2417	1	Avslag	mikroavslag	flint	101	110		
2418	2	Avslag		flint				
2419	1	Avslag	mikroavslag	flint				
2420	1	Flekke	mikroflekke	flint				
2421	1	Kjerne	konisk kjerne	flint				
2422	1	Kniv	flekkekniv	flint				
2423	1	Pilspiss	tangespiss	flint				1
2424	1	Skraper	ubestemt skraper	flint	108	117	SV	
2425	1	Avslag		flint	110	84		0

2426	1	Avslag		flint	110	85		0
2427	1	Avslag		flint	110	86		0
2428	3	Avslag		flint	110	86		0
2429	1	Avslag	mikroavslag	flint	110	86		0
2430	1	Kjernefragment	bipolart kjernefragment	flint	110	86		0
2431	10	Avslag		flint	110	87		0
2432	5	Avslag	mikroavslag	flint	110	87		0
2433	1	Flekke	medioflekke	flint	110	87		0
2434	1	Flekke	mikroflekke	flint	110	87		0
2435	1	Kjerne	bipolar kjerne	flint	110	87		0
2436	1	Kjerne	bipolar kjerne	flint	110	87		0
2437	3	Avslag		flint	110	88		0
2438	2	Avslag	mikroavslag	flint	110	88		0
2439	1	Kjerne	bipolar kjerne	flint	110	88		0
2440	2	Avslag		flint	110	89		0
2441	1	Avslag	mikroavslag	flint	110	89		0
2442	6	Avslag		flint	110	91		0
2443	1	Flekke	mikroflekke	flint	110	91		0
2444	1	Knakkestein		bergart	110	91		0
2445	3	Avslag		flint	110	92		0
2446	1	Avslag		flint	110	94		0
2447	3	Avslag	mikroavslag	flint	110	94		0
2448	1	Retusjert avslag	retusjert medioavslag	flint	110	94		0
2449	1	Avslag		flint	110	99		0
2450	2	Avslag		flint	110	104		0
2451	1	Avslag	fragment	flint	110	114		0
2452	1	Avslag	fragment	flint	110	115		0
2453	1	Avslag		flint	110	116		0
2454	2	Avslag		flint	110	117		0
2455	1	Kjerne	ubestemt kjerne	flint	110	117		0
2456	1	Avslag	medioavslag	flint	110	118		0
2457	1	Avslag	fragment	flint	110	118		0
2458	1	Avslag	fragment	kvartsitt	110	118		0
2459	1	Avslag	makroavslag	flint	111	83		0
2460	1	Avslag		flint	111	85		0
2461	1	Avslag		flint	111	86		0
2462	3	Avslag		flint	111	89		0
2463	1	Avslag	medioavslag	flint	111	89		0
2464	1	Flekke	medioflekke	flint	111	89		0
2465	3	Avslag		flint	111	90		0
2466	1	Avslag	mikroavslag	flint	111	90		0
2467	2	Avslag		flint	111	91		0

2468	1	Avslag		kvarts	111	91		0
2469	1	Avslag		kvartsitt	111	91		0
2470	2	Avslag		flint	111	92		0
2471	1	Avslag		kvarts	111	92		0
2472	1	Avslag		flint	111	94		0
2473	1	Flekke	mikroflekke	flint	111	104		0
2474	1	Avslag		flint	111	105		0
2475	1	Knakkestein		bergart	111	107		0
2476	1	Avslag	fragment	flint	111	114		0
2477	1	Avslag		flint	111	116		0
2478	1	Avslag		flint	111	117		0
2479	1	Avslag	fragment	flint	111	118		0
2480	1	Avslag	fragment	flint	111	118		0
2481	1	Avslag		flint	112	86		0
2482	2	Avslag		flint	112	90		0
2483	1	Prepareringsavslag	ryggflekke	flint	112	97		0
2484	1	Avslag		flint	112	104		0
2485	1	Avslag		flint	113	86		0
2486	72	Avslag		flint				
2487	1	Avslag		kvarts				
2488	1	Avslag		kvartsitt				
2489	1	Avslag		bergkrystall				
2490	1	Avslag	medioavslag	flint				
2491	1	Avslag	medioavslag	flint				
2492	1	Avslag	medioavslag	flint				
2493	1	Avslag	medioavslag	flint				
2494	1	Avslag	medioavslag	flint				
2495	1	Avslag	medioavslag	flint				
2496	13	Avslag	mikroavslag	flint				
2497	1	Avslag	fragment	flint				
2498	1	Avslag	fragment	flint				
2499	1	Avslag	fragment	flint				
2500	1	Flekke	makroflekke	flint				
2501	1	Kjerne	bipolar kjerne	flint				
2502	1	Kjerne	bipolar kjerne	flint				
2503	1	Kjerne	bipolar kjerne	flint				
2504	1	Kjerne	ubestemt kjerne	flint				
2505	1	Kjerne	ubestemt kjerne	flint				
2506	1	Retusjert avslag	retusjert medioavslag	flint				
2507	1	Retusjert avslag	retusjert medioavslag	flint				
2508	1	Knoll		flint				
2509	1	Knoll		flint				

2510	437	Avslag		flint				
2511	7	Avslag		kvarts				
2512	8	Avslag		bergkrystall				
2513	5	Avslag		kvartsitt				
2514	5	Avslag		jaspis				
2515	1	Avslag	medioavslag	flint				
2516	1	Avslag	medioavslag	flint				
2517	1	Avslag	medioavslag	flint				
2518	1	Avslag	medioavslag	flint				
2519	1	Avslag	medioavslag	flint				
2520	1	Avslag	medioavslag	flint				
2521	1	Avslag	medioavslag	flint				
2522	1	Avslag	medioavslag	flint				
2523	1	Avslag	medioavslag	flint				
2524	1	Avslag	medioavslag	flint				
2525	1	Avslag	medioavslag	flint				
2526	1	Avslag	medioavslag	flint				
2527	1	Avslag	medioavslag	flint				
2528	1	Avslag	medioavslag	flint				
2529	1	Avslag	medioavslag	flint				
2530	1	Avslag	medioavslag	flint				
2531	1	Avslag	medioavslag	flint				
2532	1	Avslag	medioavslag	flint				
2533	1	Avslag	medioavslag	flint				
2534	49	Avslag	mikroavslag	flint				
2535	1	Avslag	fragment	flint				
2536	1	Avslag	fragment	flint				
2537	1	Avslag	fragment	flint				
2538	1	Avslag	fragment	flint				
2539	1	Avslag	fragment	flint				
2540	1	Avslag	fragment	flint				
2541	1	Avslag	fragment	flint				
2542	1	Avslag	fragment	bergkrystall				
2543	1	Avslag	fragment	bergkrystall				
2544	1	Avslag	fragment	bergkrystall				
2545	1	Avslag	fragment	bergkrystall				
2546	1	Flekke	medioflekke	flint				
2547	1	Flekke	medioflekke	flint				
2548	1	Flekke	medioflekke	flint				
2549	1	Flekke	mikroflekke	flint				
2550	1	Flekke	mikroflekke	flint				
2551	1	Flekke	mikroflekke	flint				

2552	1	Flekke	mikroflekke	flint				
2553	1	Flekke	mikroflekke	flint				
2554	1	Diagnostisk avslag	flekkelignende avslag	flint				
2555	1	Diagnostisk avslag	flekkelignende avslag	flint				
2556	1	Diagnostisk avslag	flekkelignende avslag	flint				
2557	1	Kjerne	kjølformet kjerne	flint				
2558	1	Kjerne	bipolar kjerne	flint				
2559	1	Kjerne	bipolar kjerne	flint				
2560	1	Kjerne	bipolar kjerne	flint				
2561	1	Kjerne	bipolar kjerne	flint				
2562	1	Kjerne	bipolar kjerne	flint				
2563	1	Kjerne	bipolar kjerne	flint				
2564	1	Kjerne	bipolar kjerne	flint				
2565	1	Kjerne	bipolar kjerne	flint				
2566	1	Kjerne	bipolar kjerne	flint				
2567	1	Kjerne	bipolar kjerne	flint				
2568	1	Kjernefragment		bergkrystall				
2569	1	Kjernefragment	bipolart kjernefragment	flint				
2570	1	Kjernefragment	bipolart kjernefragment	flint				
2571	1	Kjernefragment	bipolart kjernefragment	flint				
2572	1	Kjernefragment	bipolart kjernefragment	flint				
2573	1	Kjernefragment	plattformkjernefragment	flint				
2574	1	Prepareringsavslag	ryggflekke	flint				
2575	1	Prepareringsavslag	ryggflekke	flint				
2576	1	Prepareringsavslag	ryggflekke	flint				
2577	1	Kjernefragment	overløpen flekke	flint				
2578	1	Kniv	flekkekniv	flint				
2579	1	Skraper	endeskraper	flint				
2580	1	Skraper	ubestemt skraper	flint				
2581	1	Borspiss	borspiss på kjerne/kjernefragment	flint				
2582	1	Retusjert avslag	retusjert medioavslag	flint				
2583	1	Retusjert avslag	retusjert makroavslag	flint				
2584	1	Retusjert avslag	retusjert makroavslag	flint				
2585	1	Retusjert avslag	retusjert medioavslag	flint				
2586	1	Retusjert avslag	retusjert medioavslag	flint				
2587	1	Retusjert avslag	retusjert medioavslag	flint				
2588	1	Retusjert avslag	retusjert medioavslag	flint				
2589	1	Retusjert flekke	retusjert medioflekke	flint				
2590	1	Slipeplate		bergart				
2591	1	Slipestein		bergart				
2592	1	Slipestein		bergart				

2593	1	Slipestein	annen slipestein	bergart				
2594	1	Fragment	slipt fragment	grønnstein				
2595	1	Knoll		flint				
2596	1	Knoll		flint				
2597	1	Knoll		flint				
2598		Prøve	trekullprøve	kull				
2599		Prøve	trekullprøve	kull				
2600		Prøve	trekullprøve	kull				
2601		Prøve	trekullprøve	kull				
2602		Prøve	trekullprøve	kull				
2603		Prøve	trekullprøve	kull				
2604		Prøve	trekullprøve	kull				
2605		Prøve	trekullprøve	kull				
2606		Prøve	trekullprøve	kull				
2607		Prøve	trekullprøve	kull				
2608		Prøve	trekullprøve	kull				
2609		Prøve	trekullprøve	kull				
2610		Prøve	trekullprøve	kull				
2611		Prøve	trekullprøve	kull				
2612		Prøve	trekullprøve	kull				
2613		Prøve	trekullprøve	kull				
2614		Prøve	trekullprøve	nøtteskall				
2615		Prøve	trekullprøve	nøtteskall				
2616		Prøve	trekullprøve	nøtteskall				
2617		Prøve	trekullprøve	nøtteskall				
2618		Prøve	trekullprøve	nøtteskall				
2619		Prøve	trekullprøve	nøtteskall				
2620		Prøve	trekullprøve	nøtteskall				
2621		Prøve	trekullprøve	nøtteskall				
2622		Prøve	trekullprøve	nøtteskall				
2623	1	Prøve	okerprøve	oker				
2624	1	Prøve	annen prøve	minerogent materiale				
2625	1	Prøve	annen prøve	minerogent materiale				
2626	1	Prøve	annen prøve	minerogent materiale				
2627	1	Prøve	annen prøve	minerogent materiale				
2628	1	Prøve	annen prøve	minerogent materiale				

Vedlegg 3 Fotoliste, feltfoto Da62529

Da-nummer	Motiv	Sett mot	Struktur/ Objekt	Fotograf	Opptaksdato
Da62529_001	Oversiktfoto før vi begynte med maskin, fra veien.	vest		Karen Ørbog Oftedal	22.08.2017
Da62529_002	Oversiktfoto før vi begynte med maskin.	sør		Karen Ørbog Oftedal	22.08.2017
Da62529_003	Oversiktfoto før vi begynte med maskin.	vest		Karen Ørbog Oftedal	22.08.2017
Da62529_004	Oversiktfoto før vi begynte med maskin, trafo og såldestasjon i bakgrunn.	sørøst		Karen Ørbog Oftedal	22.08.2017
Da62529_005	Arbeidsfoto under opprens.	nordøst		Karen Ørbog Oftedal	25.08.2017
Da62529_006	Krafsing etter maskin.	nordøst		Karen Ørbog Oftedal	25.08.2017
Da62529_007	Opprens av hovedflate. Fortsatt en del torv i topp.	vest		Karen Ørbog Oftedal	29.08.2017
Da62529_008	Avdekking med maskin, Magnus i godt humør. Eystein krafser foran maskin.	vest		Karen Ørbog Oftedal	29.08.2017
Da62529_009	Teamwork med slange og vannproblematikk.	øst		Karen Ørbog Oftedal	29.08.2017
Da62529_010	Oversikt over felt, vestlig del.	vest		Karen Ørbog Oftedal	29.08.2017
Da62529_011	Funn, merkelig sten med tydelig bearbeidet/bruksspor langs ene kanten.	vest		Karen Ørbog Oftedal	29.08.2017
Da62529_012	Flintavslag, makro.	vest		Karen Ørbog Oftedal	29.08.2017
Da62529_013	Div funn.	vest		Karen Ørbog Oftedal	29.08.2017
Da62529_014	Oversiktsfoto av østlig felt med overflatefunn, før opprens med graveskje.	nord		Karen Ørbog Oftedal	29.08.2017
Da62529_015	Oversiktsfoto av østlig felt med overflatefunn, før opprens med graveskje.	nord		Karen Ørbog Oftedal	29.08.2017
Da62529_016	Bipolar kjerne.	nord		Karen Ørbog Oftedal	29.08.2017
Da62529_017	Oversikt felt øst, før opprens.	sør		Karen Ørbog Oftedal	29.08.2017
Da62529_018	Oversiktfoto vestdel av feltet.	vest		Karen Ørbog Oftedal	31.08.2017
Da62529_019	Oversikt, norddel av feltet.	nordvest		Karen Ørbog Oftedal	31.08.2017
Da62529_020	Oversiktsfoto av østlig del av feltet.	sørøst		Karen Ørbog Oftedal	31.08.2017
Da62529_021	Arbeidsfoto, opprens og fjerning av røtter.	nordøst		Karen Ørbog Oftedal	04.09.2017

Da62529_022	Fjerning av rot på østlig del av felt.	nord		Karen Ørbog Oftedal	04.09.2017
Da62529_023	Oversikt over vestlig del av feltet, rotvekst i forgrunn.	nordvest		Karen Ørbog Oftedal	04.09.2017
Da62529_024	Struktur 224, foto med målestokk 1meter. Mulig rotvelt.	nord		Helene Blyverket	04.09.2017
Da62529_025	Struktur 224 uten målestokk. Mulig rotvelt.	nord		Helene Blyverket	04.09.2017
Da62529_026	Kvadrat 104X/94Y SV: profil at lag 1 set mod syd. Der ses tørv under sandlaget. Sandlaget er ca 3 cm tykt.	sør		Signe Groot Terkelsen	05.09.2017
Da62529_027	Antatt rotvelt og dens utstrekning.	nordvest	255	Eystein Østmoe	04.09.2017
Da62529_028	Profilfoto av profil 255 gjennom rotvelt 224, sett mot NV.	nordvest	224	Øyunn Wathne Sæther	04.09.2017
Da62529_029	Profilfoto av vestre del av profil 255 i rotvelt 224, sett mot NV.	nordvest	21696	Øyunn Wathne Sæther	04.09.2017
Da62529_030	Profilfoto av østre del av profil 255 i rotvelt 224, sett mot NV.	nordvest	21696	Øyunn Wathne Sæther	04.09.2017
Da62529_031	A profile, dug to find the layer underneath. The dark brown layer goes deeper and it contains mostly deteriorated stones. I dug NV square and a little bit of SV which goes into profile. No finds. Photos with a measuring stick.	sør	255	Katarzyna Rózanska	11.09.2017
Da62529_032	A profile, dug to find the layer underneath. The dark brown layer goes deeper and it contains mostly deteriorated stones. I dug NV square and a little bit of SV which goes into profile. No finds. Photos without a measuring stick.	sør	255	Katarzyna Rózanska	11.09.2017
Da62529_033	Photo with measuring sticks facing west. Fire place(?) surrounded by 11 stones (not burned? No traces of burning). Spot of charcoal in the middle mixed with orange and deep brown soil with spots of light sand and medium size gravel, surrounded by light yellow sand. SENERE AVSKREVET.Facing west: Stone circle: lenght - 135 cm, width - 115cm. Spot of charcoal: lenght +/-80cm, width +/-60cm.	vest		Katarzyna Rózanska	14.09.2017
Da62529_034	Photo without measuring sticks facing west.Fire place(?) surrounded by 11 stones (not burned? No traces of burning). Spot of charcoal in the middle mixed with orange and deep brown soil with spots of light sand and medium size gravel, surrounded by light yellow sand. SENERE AVSKREVET. Facing west:Stone circle: lenght - 135 cm, width - 115cm. Spot of charcoal: lenght +/-80cm, width +/-60cm.	vest		Katarzyna Rózanska	14.09.2017
Da62529_035	Prøvestikk 1 sør for anleggsvei.	sør		Eystein Østmoe	14.09.2017
Da62529_036	Prøvestikk 2 sør for anleggsvei.	vest	21502	Eystein Østmoe	14.09.2017
Da62529_037	Foto av funn: slipeplate.			Karen Ørbog Oftedal	15.09.2017
Da62529_038	Fotot av funn: flekke.			Karen Ørbog Oftedal	15.09.2017

Da62529_039	Arbeidsfoto, graving i regnvær.	sørsørøst		Karen Ørbog Oftedal	15.09.2017
Da62529_040	Kniv i rosa og grønn sandstein, med fasetter.			Karen Ørbog Oftedal	20.09.2017
Da62529_041	Kniv i rosa og grønn sandstein.			Karen Ørbog Oftedal	20.09.2017
Da62529_042	Kniv i rosa og grønn sandstein.			Karen Ørbog Oftedal	20.09.2017
Da62529_043	Kniv i rosa og grønn sandstein.			Karen Ørbog Oftedal	20.09.2017
Da62529_044	Kniv i rosa og grønn sandstein, eggen.			Karen Ørbog Oftedal	20.09.2017
Da62529_045	Arbeidsbilde: Helene ved såldestasjonen.			Karen Ørbog Oftedal	20.09.2017
Da62529_046	Kniv i to fragmenter, sandstein.			Karen Ørbog Oftedal	20.09.2017
Da62529_047	Oversiktsfoto, område 1 og 2. Etter åpning av siste del av feltet (høyspenten var koblet av). Stikkstenger markerer høyspentgrøft.	nord-nordøst		Karen Ørbog Oftedal	21.09.2017
Da62529_048	Oversiktsfoto, område 3 etter opprens.	nord-nordvest		Karen Ørbog Oftedal	21.09.2017
Da62529_049	Funn: tangespiss med retusjerte sider på en allerede patinert flekke.			Karen Ørbog Oftedal	21.09.2017
Da62529_050	Funn: fragment av konisk mikroflekkekjerne.			Karen Ørbog Oftedal	21.09.2017
Da62529_051	Oversiktsfoto, etter avdekking av siste del av feltet (sørøstre del). Posene er overflatefunn,			Karen Ørbog Oftedal	21.09.2017
Da62529_052	Oversiktsfoto, etter avdekking av siste del av feltet (sørøstre del). Posene er overflatefunn. Kristin gjør klart til droneflyving.			Karen Ørbog Oftedal	21.09.2017
Da62529_053	Kristin flyr drone over feltet.			Karen Ørbog Oftedal	21.09.2017
Da62529_054	Dronefoto over lokalitet.			Kristin Eriksen	21.09.2017
Da62529_055	Dronefoto over lokalitet.			Kristin Eriksen	21.09.2017
Da62529_056	Dronefoto over lokalitet.			Kristin Eriksen	21.09.2017
Da62529_057	Dronefoto over lokalitet. Område 1 under graving av mekanisk lag 1.			Kristin Eriksen	21.09.2017
Da62529_058	Dronefoto over lokalitet. Område 1 og 2 under graving av mekanisk lag 1.			Kristin Eriksen	21.09.2017
Da62529_059	Dronefoto over lokalitet. Område 1 og 2 under graving av mekanisk lag 1.			Kristin Eriksen	21.09.2017
Da62529_060	Dronefoto over lokalitet. Område 1 og 2 under graving av mekanisk lag 1.			Kristin Eriksen	21.09.2017
Da62529_061	Dronefoto over lokalitet. Område 1 og 2 under graving av mekanisk lag 1.			Kristin Eriksen	21.09.2017

Da62529_062	Dronefoto over lokalitet. Område 1 og 2 under graving av mekanisk lag 1.			Kristin Eriksen	21.09.2017
Da62529_063	Dronefoto over lokalitet. Område 1 og 2 under graving av mekanisk lag 1.			Kristin Eriksen	21.09.2017
Da62529_064	Oversiktsfoto over feltet fra kollen på andre siden av Hitterveien.	sørvest		Karen Ørbog Oftedal	21.09.2017
Da62529_065	Oversiktsfoto: Dagens trafostasjon med såldestasjon i forgrunn. Foto tatt fra kollen på andre siden av Hitterveien.	sør		Karen Ørbog Oftedal	21.09.2017
Da62529_066	Trinnøks, in situ. Øksa ligger i mek.lag 2 i rute			Karen Ørbog Oftedal	26.09.2017
Da62529_067	Oversiktsfoto av lokalitet, panorama.	nord		Åge Hojem	27.09.2017
Da62529_068	Arbeidsfoto, Katarzyna dokumenterer en kvadrant.	sørvest		Åge Hojem	27.09.2017
Da62529_069	Arbeidsfoto, alle poser inneholder minst et funn.	sørvest		Åge Hojem	27.09.2017
Da62529_070	Arbeidsfoto, Eystein graver kvadrant.	sørvest		Åge Hojem	27.09.2017
Da62529_071	Funnfoto, stor skraper i bergart.			Åge Hojem	27.09.2017
Da62529_072	Funnfoto, stor skraper i bergart.			Åge Hojem	27.09.2017
Da62529_073	Funnfoto, slipeplate med målestokk.			Åge Hojem	27.09.2017
Da62529_074	Funnfoto, bergartskniv i to fragmenter med målestokk.			Åge Hojem	27.09.2017
Da62529_075	Funnfoto, bergartskniv i to fragmenter med målestokk.			Åge Hojem	27.09.2017
Da62529_076	Arbeidsfoto, dokumentasjon i brakke.			Åge Hojem	27.09.2017
Da62529_077	Arbeidsfoto, Eystein og Karen diskuterer funnspredninger i kvadranter.	sørøst		Åge Hojem	27.09.2017
Da62529_078	Oversiktsfoto, område 3 etter graving av mek. Lag 1.			Karen Ørbog Oftedal	28.09.2017
Da62529_079	Oversiktsfoto, område 1 og 2., etter graving av mek. Lag 1.	nordøst		Karen Ørbog Oftedal	28.09.2017
Da62529_080	Oversiktsfoto, område 1 og 2., etter graving av mek. Lag 1.	nordøst		Karen Ørbog Oftedal	28.09.2017
Da62529_081	Arbeidsfoto og foto av voll i forkant. Med 1 m målestokk.	øst		Karen Ørbog Oftedal	28.09.2017
Da62529_082	Foto av voll (intrasisid 787).			Karen Ørbog Oftedal	28.09.2017
Da62529_083	Snitt i voll (intrasis 787), i paln med 50 cm målestokk.	nord		Karen Ørbog Oftedal	28.09.2017
Da62529_084	Oversiktsfoto: Delvis område 1 og 2 under graving av mek. Lag 1.	sør		Karen Ørbog Oftedal	29.09.2017

Da62529_085	Oversiktsfoto: område 1 under graving av mek. Lag 1.	sør		Karen Ørbog Oftedal	29.09.2017
Da62529_086	Oversiktsfoto: område 1 under graving av mek. Lag 1.	sør		Karen Ørbog Oftedal	29.09.2017
Da62529_087	Oversiktsfoto: område 2 under graving av mek lag. 1. Lag i rotvelt ca midten av bilde (brunere parti).	vest		Karen Ørbog Oftedal	29.09.2017
Da62529_088	Område 1, Signe graver mek. Lag 1.	vest		Karen Ørbog Oftedal	29.09.2017
Da62529_089	Område 1, Signe graver mek. Lag 1.	nord		Karen Ørbog Oftedal	29.09.2017
Da62529_090	Kullflekk (intrasisid: 865) i rute 102x/109y. Formentlig avvist, da det ikke ser ud til at forsette ned i lag 2. Set mod nord og øst. (avskrevet)	nord	528	Signe Groot Terkelsen	03.10.2017
Da62529_091	Arbeidsfoto. Signe, Eystein og Øyunn graver mekanisk lag 2.	vest-sørvest		Karen Ørbog Oftedal	04.10.2017
Da62529_092	Snitt gjennom voll (intrasisid: 787) i plan. Med 1 m målestokk og nordpil.	sør-sørvest		Karen Ørbog Oftedal	04.10.2017
Da62529_093	Profil i voll tatt mot nord, med 1 m målestokk.	nord		Karen Ørbog Oftedal	04.10.2017
Da62529_094	Profil i voll tatt mot sør, med 1 m målestokk.	sør		Karen Ørbog Oftedal	04.10.2017
Da62529_095	Fjerning av lag ved hjelp av maskin på utkikk etter strukturer. Aur i forkant og og siltholdige masse ovver mot berget (der Helene krafser).			Karen Ørbog Oftedal	05.10.2017
Da62529_096	Kullflekk (intrasisid: 1150) med 40 cm målestokk og nordpil.	nord		Signe Groot Terkelsen	05.10.2017
Da62529_097	Kullflekk (intrasisid: 1150) med 40 cm målestokk og nordpil, i plan.	nord		Signe Groot Terkelsen	05.10.2017
Da62529_098	Kullflekk (intrasisid: 1150) med 40 cm målestokk og nordpil, snittet.	nord		Signe Groot Terkelsen	05.10.2017
Da62529_099	Kullflekk (intrasisid: 1150), uten målestokk og nordpil, snittet.	nord		Signe Groot Terkelsen	05.10.2017
Da62529_100	Oversiiktsfoto under flateavdekking med maskin.	nord-nordøst		Karen Ørbog Oftedal	05.10.2017
Da62529_101	Oversiiktsfoto under flateavdekking med maskin.	nord		Karen Ørbog Oftedal	05.10.2017
Da62529_102	Arbeidsfoto, fjerning av masser for å se etter strukturer i undergrunn. Kulturlag kan sees som brunt lag bak Helene og Eystein.			Karen Ørbog Oftedal	05.10.2017
Da62529_103	Arbeidsfoto, fjerning av masser for å se etter strukturer i undergrunn. Kulturlag kan sees som brunt lag bak Helene og Eystein. Øyunn måler med CPOS.	sør		Karen Ørbog Oftedal	05.10.2017
Da62529_104	Oversiktsfoto oav rotvelt og kulturlag etter fjerning av masser med maskin.			Karen Ørbog Oftedal	09.10.2017
Da62529_105	Frost i felt.	nord		Karen Ørbog Oftedal	10.10.2017
Da62529_106	Oversiktfoto med fotostang av undergrunn og kulturlag etter fjerning av ovenforliggende lag med maskin.			Karen Ørbog Oftedal	10.10.2017
Da62529_107	Oversiktsfoto område 1 og 2 etter fjerning av lag med maskin.			Karen Ørbog Oftedal	10.10.2017

Da62529_108	Profil 8, i område 2. Med 1 m målestokk.	vest		Karen Ørbog Oftedal	11.10.2017
Da62529_109	Profil 8, i område 2. Med 1 m målestokk. Detalj, sørligste del.			Karen Ørbog Oftedal	11.10.2017
Da62529_110	Profil 8, i område 2. Med 1 m målestokk. Detalj, midtparti.			Karen Ørbog Oftedal	11.10.2017
Da62529_111	Profil 8, i område 2. Med 1 m målestokk. Detalj,			Karen Ørbog Oftedal	11.10.2017
Da62529_112	Ildsted (intrasisid: 1534) i tuft (1584). Men målestokk.	nord		Eystein Østmoe	11.10.2017
Da62529_113	Ildsted (intrasisid: 1534) i tuft (1584). Men målestokk.	nordøst		Eystein Østmoe	11.10.2017
Da62529_114	Fyllskifte (kullholdig kulturlag i tufta).	sør		Karen Ørbog Oftedal	11.10.2017
Da62529_115	Oversiktsfoto av tufta. Massene over er fjernet maskinellt sør for profilbenk og for hånd nord for profilbenk.	nord		Signe Groot Terkelsen	12.10.2017
Da62529_116	Oversiktsfoto av tufta. Massene over er fjernet maskinellt sør for profilbenk og for hånd nord for profilbenk.			Signe Groot Terkelsen	12.10.2017
Da62529_117	Pollenprøver i profil 8.	vest		Eystein Østmoe	12.10.2017
Da62529_118	Oversikt over profil i tufta (4 og 7 slått sammen). Eystein og Øyunn måler inn georeferanser til fotogrammetri.	nord		Karen Ørbog Oftedal	12.10.2017
Da62529_119	Oversikt over profil i tufta (4 og 7 slått sammen). Eystein og Øyunn måler inn georeferanser til fotogrammetri. Det brune kulturlaget (intrasisid: 1400) i forgrunnen.	nord		Karen Ørbog Oftedal	12.10.2017
Da62529_120	Oversiktsfoto område 1 og 2 etter fjerning av lag med maskin.			Karen Ørbog Oftedal	12.10.2017
Da62529_121	Arbeidsfoto, innmåling av georeferanser og oversikt over profil for tuft.	nord		Karen Ørbog Oftedal	12.10.2017
Da62529_122	Arbeidsfoto, innmåling av georeferanser og oversikt over profil for tuft.	sør		Karen Ørbog Oftedal	12.10.2017
Da62529_123	Profil 4 og 7 (slått sammen).			Karen Ørbog Oftedal	12.10.2017
Da62529_124	Profil 4 og 7 (slått sammen). Detalj vestilg del 1.	nord		Karen Ørbog Oftedal	12.10.2017
Da62529_125	Profil 4 og 7 (slått sammen). Detalj vestilg del 2.			Karen Ørbog Oftedal	12.10.2017
Da62529_126	Profil 4 og 7 (slått sammen). Detalj midtre del.			Karen Ørbog Oftedal	12.10.2017
Da62529_127	Profil 4 og 7 (slått sammen). Detalj vestilg del 1.			Karen Ørbog Oftedal	12.10.2017
Da62529_128	Profil 4 og 7 (slått sammen). Detalj vestilg del 2.			Karen Ørbog Oftedal	12.10.2017
Da62529_129	Ildsted (intrasis: 1534), snittet, i plan.			Karen Ørbog Oftedal	12.10.2017
Da62529_130	Ildsted (intrasis: 1534), snittet, i plan.			Karen Ørbog Oftedal	12.10.2017

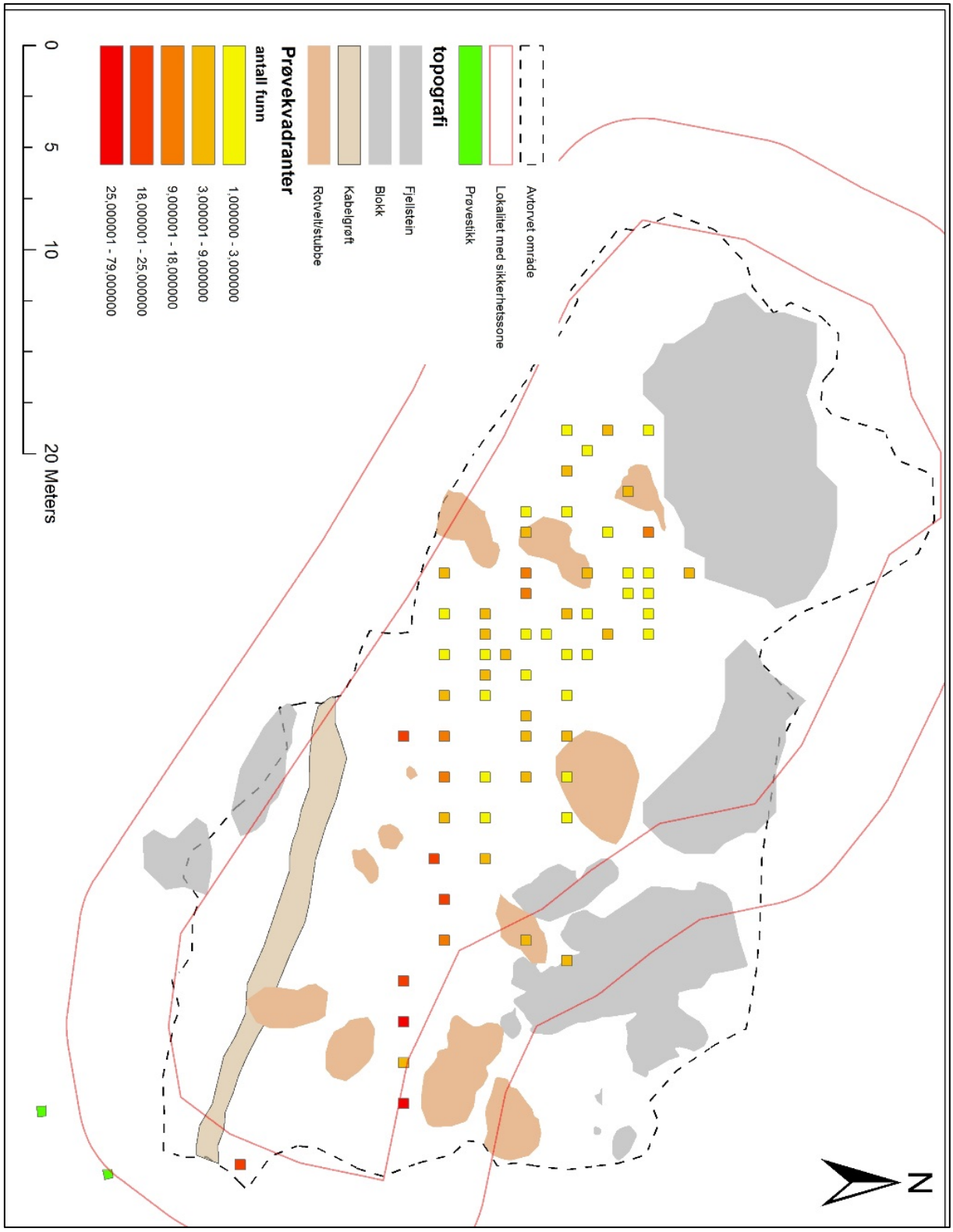
Da62529_131	Ildsted (intrasis: 1534), snittet, profil.			Karen Ørbog Oftedal	12.10.2017
Da62529_132	Ildsted (intrasis: 1534), snittet, profil.			Karen Ørbog Oftedal	12.10.2017
Da62529_133	Snitt ned i lag i tufta. Gravd ned til steril (leire).			Karen Ørbog Oftedal	12.10.2017
Da62529_134	Profil 9. Begynner i øst.	sør		Eystein Østmoe	12.10.2017
Da62529_135	Profil 9. Begynner i øst.	sør		Eystein Østmoe	12.10.2017
Da62529_136	Profil 9. Begynner i øst.	sør		Eystein Østmoe	12.10.2017
Da62529_137	Profil 10. Første i vest.	nord		Eystein Østmoe	12.10.2017
Da62529_138	Profil 10. Første i vest.	nord		Eystein Østmoe	12.10.2017
Da62529_139	Fordypning i lag 1400 ved kullflekk/ildsted. Med 40 cm målestokk og nordpil.	sørvest		Øyunn Wathne Sæther	13.10.2017
Da62529_140	Profilfoto av kullflekk/ildsted 1534 etter nytt snitt. Med 40 cm målestokk og nordpil.	sørøst	10015	Øyunn Wathne Sæther	13.10.2017
Da62529_141	Mikromorfologiprøver i profil 4.	nord		Øyunn Wathne Sæther	13.10.2017
Da62529_142	Pollenprøver i profil 4.	nord		Øyunn Wathne Sæther	13.10.2017
Da62529_143	Mikromorfologiprøver i profil 7.	nord		Karen Ørbog Oftedal	13.10.2017
Da62529_144	Flekker, øverst fra venstre: T27685:2549, T27685:2199, T27685:2320, T27685:2473. Nederst, fra venstre: T27685:1190, T27685:1210, T27685:1290, T27685:1289.			Åge Hojem	15.05.2018
Da62529_145	Kjerner, øverst fra venstre: Kjølformet kjerne T27685:716, ensidig kjerne T27685:42, forarbeid til konisk kjerne T27685:1851. Nederst fra venstre: kjølformet kjerne T27685:2557, fragment av konisk kjerne (mikroflekker) og konisk kjerne (mikroflekker) T27685:1769.			Åge Hojem	15.05.2018
Da62529_146	Bipolare kjerner i ulike type råstoff. Fra venstre i kvartsitt T27685:1541, bergkrystall T27685:2059 og i jaspis T27685:2046.			Åge Hojem	15.05.2018
Da62529_147	Skrapere øverst fra venstre: ubestemt skraper T27685:2424, endeskraper på avslag T27685: 2257, ubestemt skraper T27685:2235. Nederst fra venstre: ubestemt skraper T27685:1163, endeskraper på avslag T27685:221, ubestemt skraper T27685:17 og endeskraper på avslag T27685:2579.			Åge Hojem	15.05.2018
Da62529_148	Skrapere øverst fra venstre: ubestemt skraper T27685:2424, endeskraper på avslag T27685: 2257, ubestemt skraper T27685:2235. Nederst fra venstre: ubestemt skraper T27685:1163, endeskraper på avslag T27685:221, ubestemt skraper T27685:17 og endeskraper på avslag T27685:2579.			Åge Hojem	15.05.2018
Da62529_149	Borspisser, øverst fra venstre: Borspiss på ryggflekke T27685:2019, borspiss på kjernefragment T27685:56, nederst fra venstre: T27685:543, borspiss på kjernefragment, borspiss på avslag T27685:1248. Foto: Åge Hojem/NTNU Vitenskapsmuseet			Åge Hojem	15.05.2018

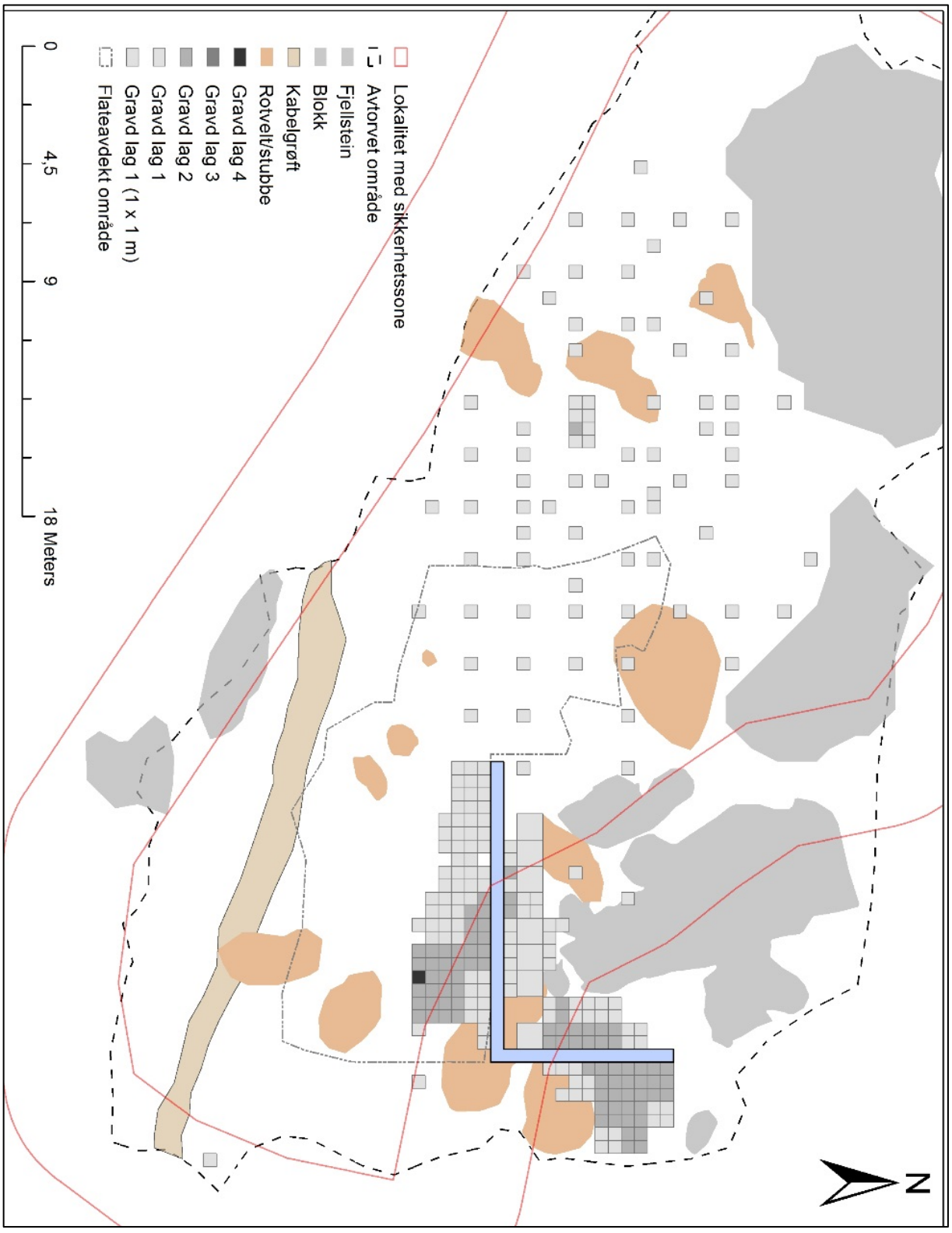
Da62529_150	Flekkekniver fra venstre: T27685:2422, flekkekniv på brudd T27685:1452, T27685:1456, Flekkekniv med skrå enderetusj T27685:1839 og annen flekkekniv T27685:2578. Foto: Åge Hojem/NTNU Vitenskapsmuseet.			Åge Hojem	15.05.2018
Da62529_151	Pilspisser, fra venstre: T27685:2012 (ubestemt tangespiss), T27685:2423 (tangespiss med odd i distalenden) og T27685:718 (tangespiss med odd i proksimalenden).			Åge Hojem	15.05.2018
Da62529_152	Stikkel: T27685:2780 (ubestemt stikkel, noe usikker).			Åge Hojem	15.05.2018
Da62529_153	Hengesmykke: T27685:1368 (hengesmykke i skifer).			Åge Hojem	15.05.2018
Da62529_154	Økser, meisel og emne, fra venstre: T27685:1431 (spissnakket ttrinnøks), T27685:1626 (trinnøks), T27685:1696 (trinnmeisel), T27685:1588 (ubestemt slipt emne, mulig meisel) og T27685:2045 (kjerneøks).			Åge Hojem	15.05.2018
Da62529_155	Slipeplater, fra venstre: T27685:741 og T27685:1857. Foto: Åge Hojem/NTNU Vitenskapsmuseet.			Åge Hojem	15.05.2018
Da62529_156	Fra venstre: skraper i lokal bergart (T27685:2397) og T27685:2119 trolig også hatt en lik funksjon som en skraper. Åge Hojem/ NTNU Vitenskapsmuseet			Åge Hojem	15.05.2018

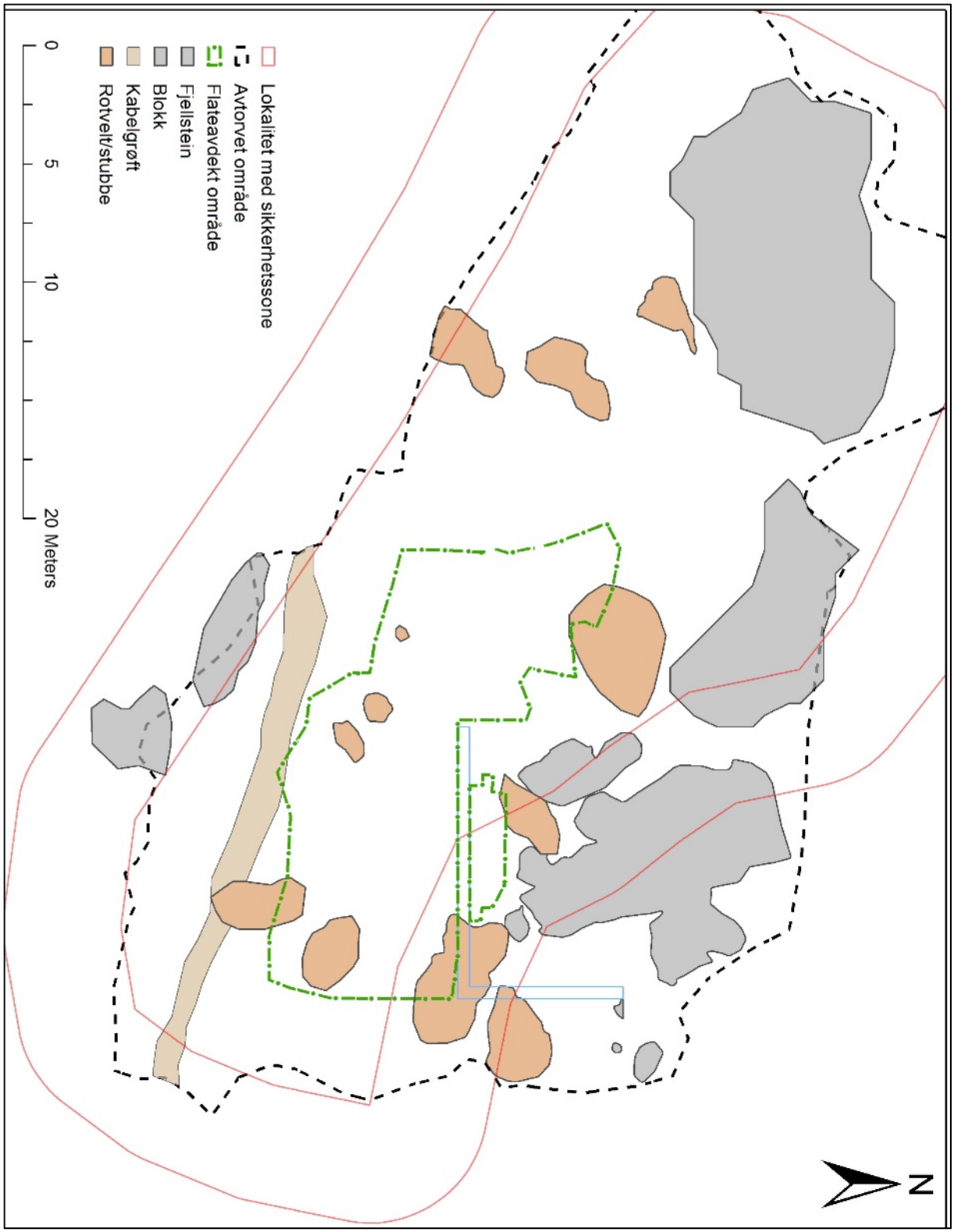
Vedlegg 4 Fotoliste fotogrammetri

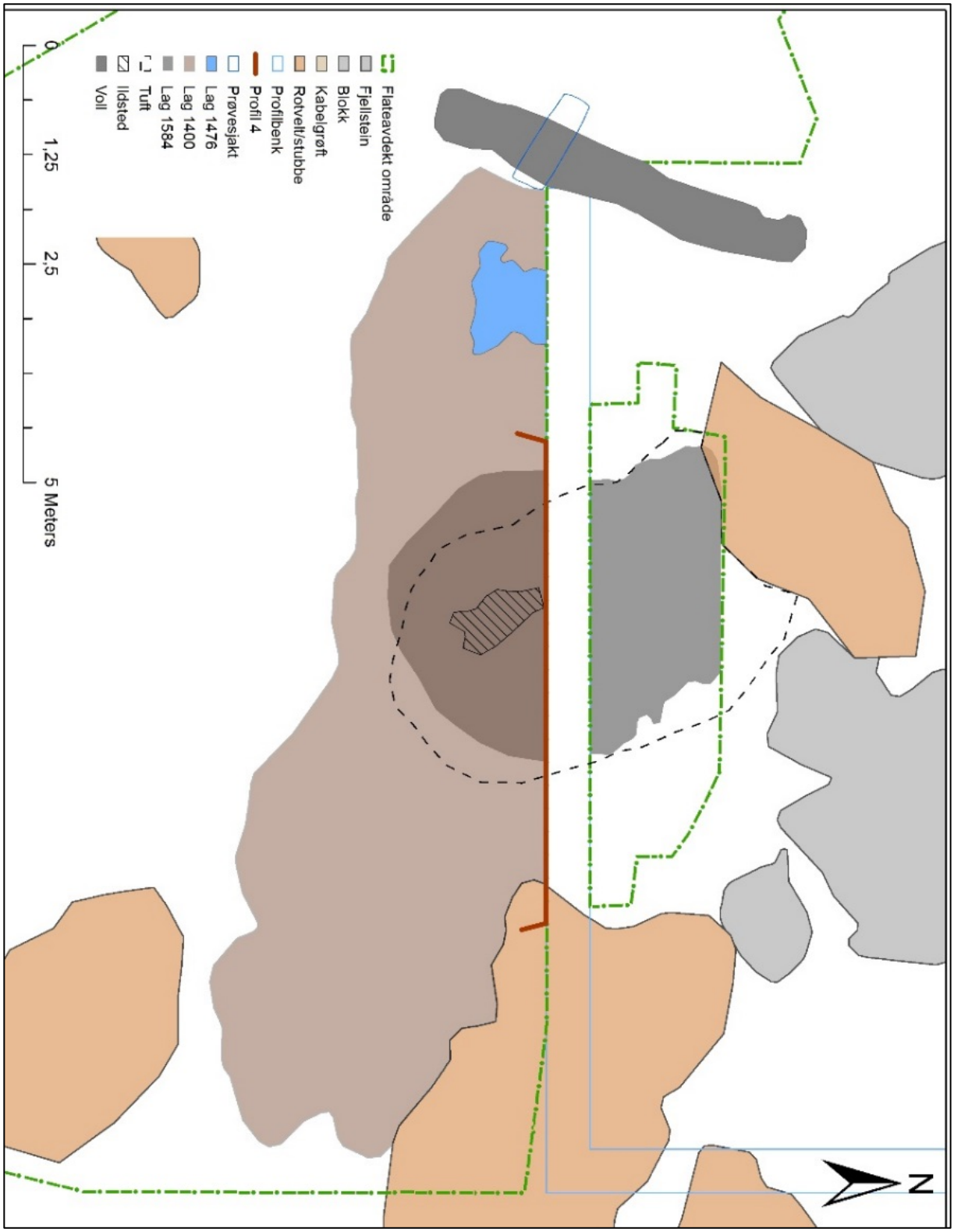
Da. nr.	Motiv	Antall grunnlagsfoto	Fotograf	Dato grunnlagsfoto
Da62530	Oversikt, alle områder etter opprens	273	Karen Ø. Oftedal	31.08.17
Da62531	Område 1 og 2 etter gravd mek. lag 1	58	Karen Ø. Oftedal	02.10.17
Da62532	Område 1 Etter gravd mek. lag 2	42	Karen Ø. Oftedal	05.10.17
Da62533	Område 2 etter gravd lag 2 og område 1 etter flateavdekking	120	Karen Ø. Oftedal	10.10.17
Da62534	Tuft	181	Karen Ø. Oftedal	12.10.17

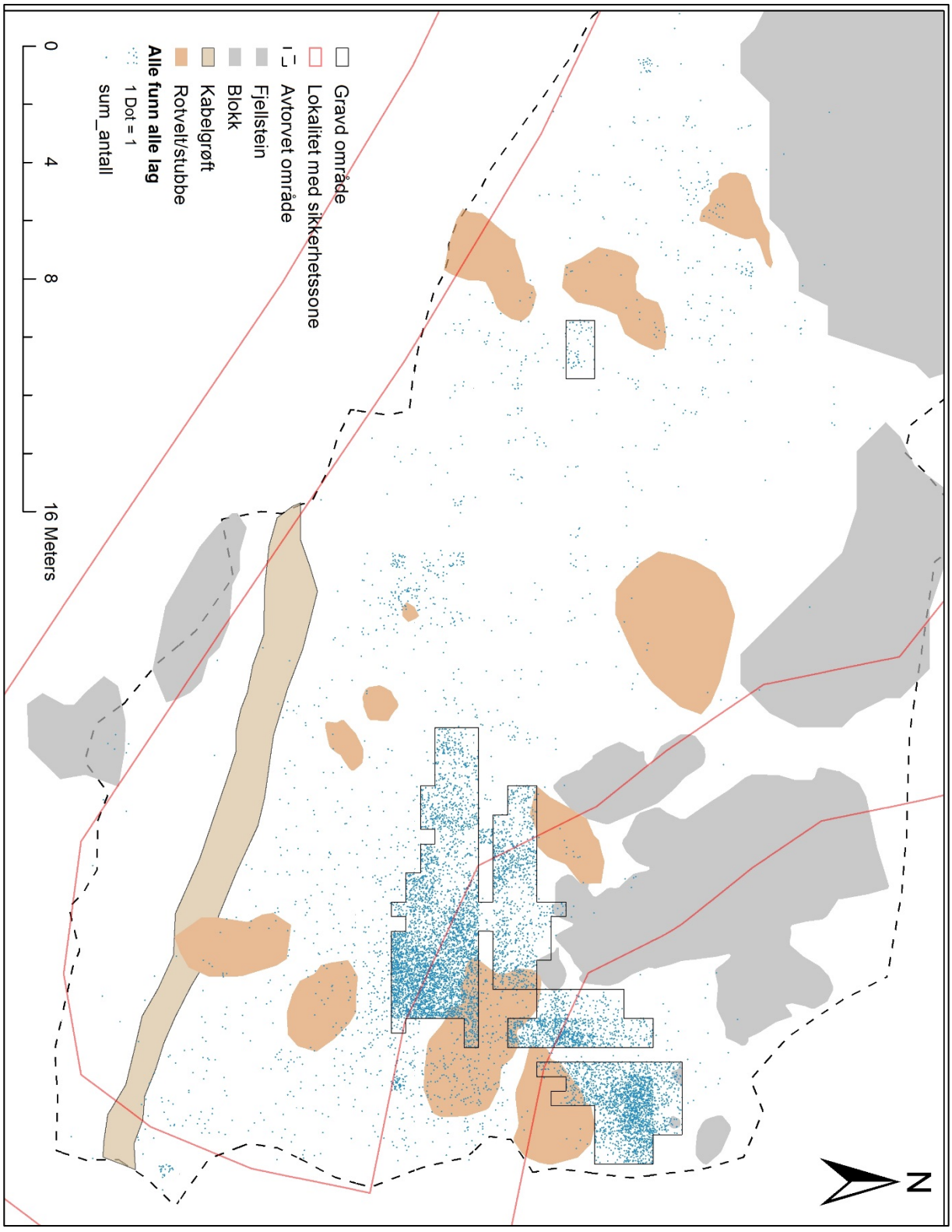
Vedlegg 5 Spredningskart



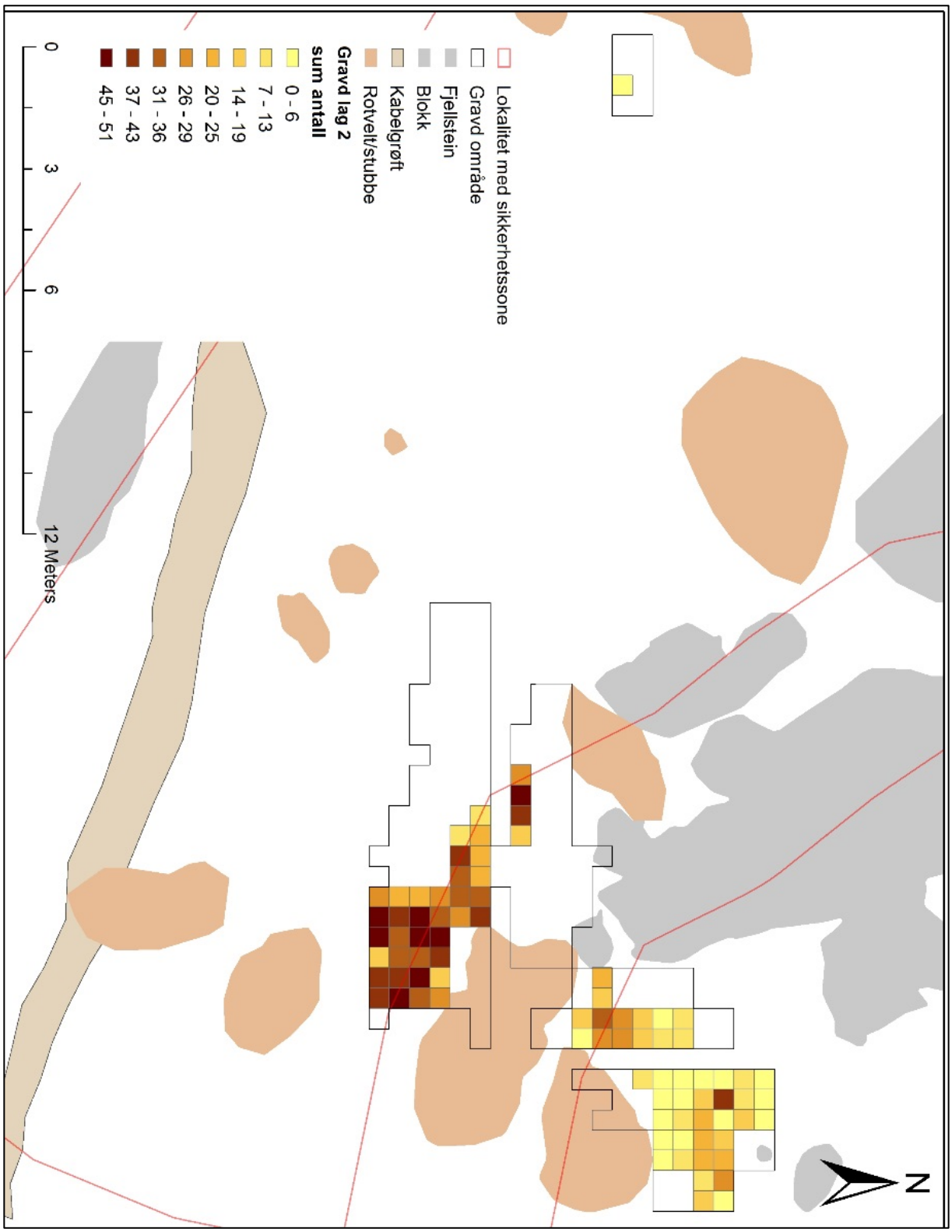

Lokalitet med sikkerhetssone
Avtorvet område
Fjellstein
Blokk
Kabelgrøft
Rotvelt/stubbe
Gravd lag 4
Gravd lag 3
Gravd lag 2
Gravd lag 1
Gravd lag 1 (1 x 1 m)
Flateavdekt område
0
4,5
9
18 Meters
N

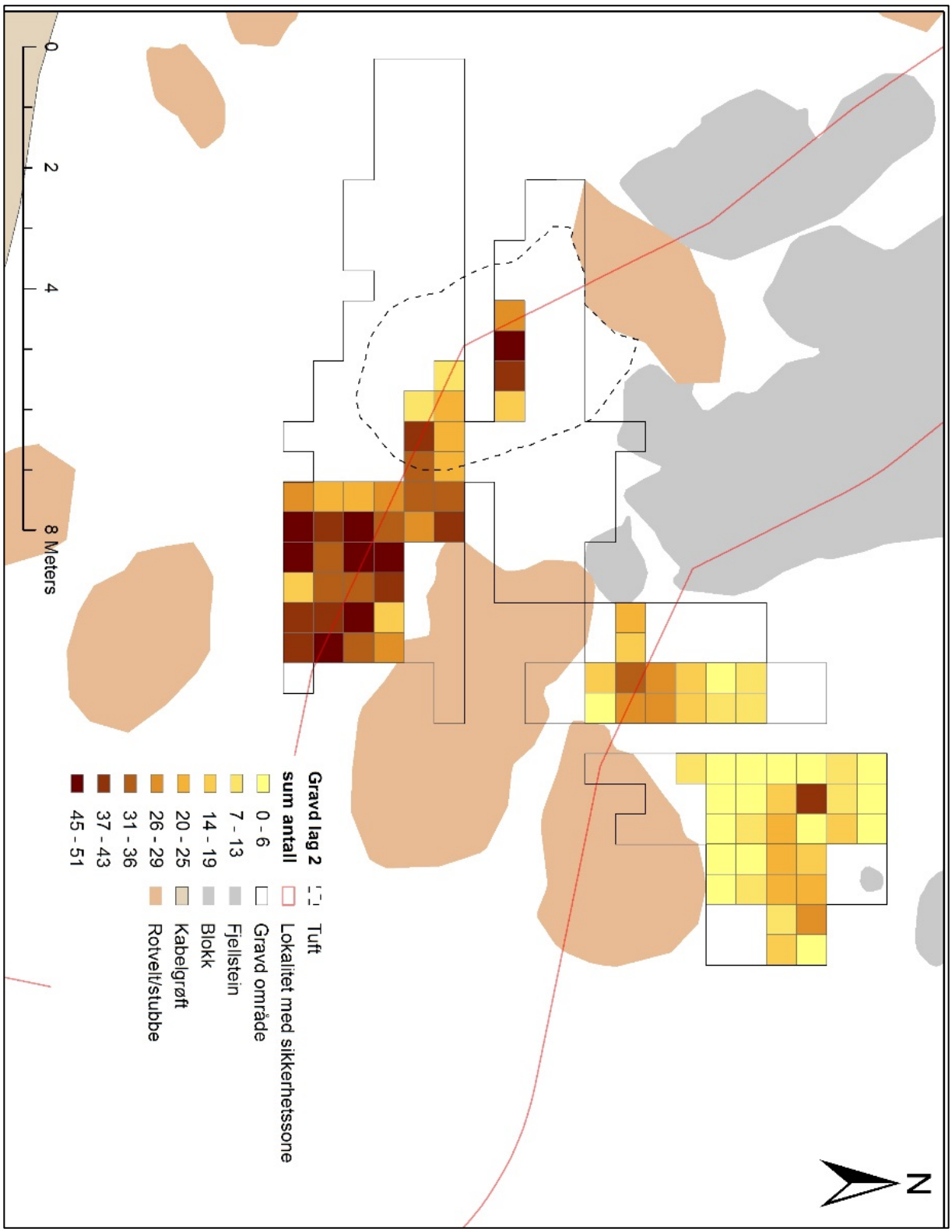

Lokalitet med sikkerhetssone
Avtorvet område
Flateavdekt område
Fjellstein
Blokk
Kabelgrøft
Rotvelt/stubbe
0
5
10
20 Meters
N

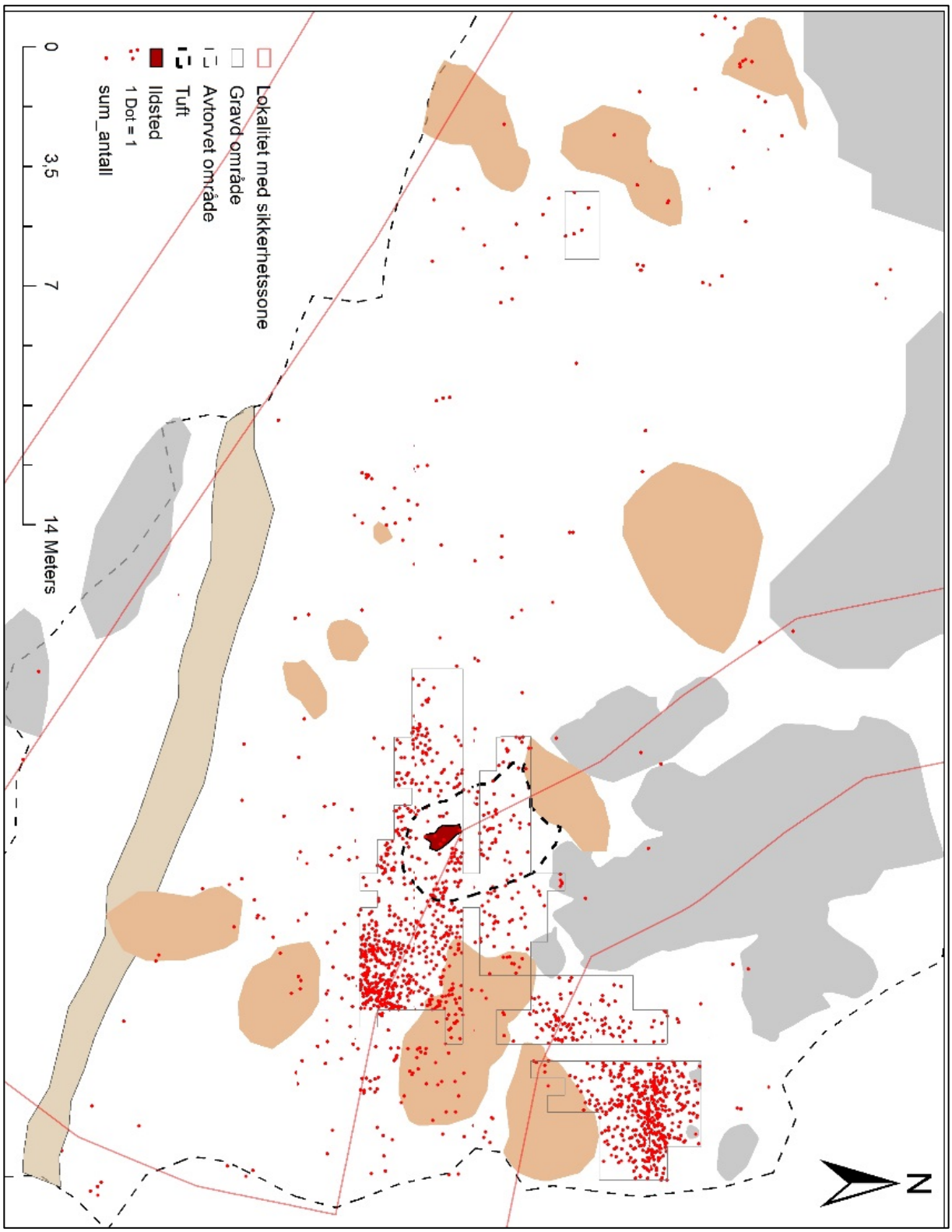

Flateavdekt område
Fjellstein
Blokk
Kabelgrøft
Rotvelt/stubbe
Profilbenk
Profil 4
Prøvesjakt
Lag 1476
Lag 1400
Lag 1584
Tuft
Ildsted
Voll
0
1,25
2,5
5 Meters
N

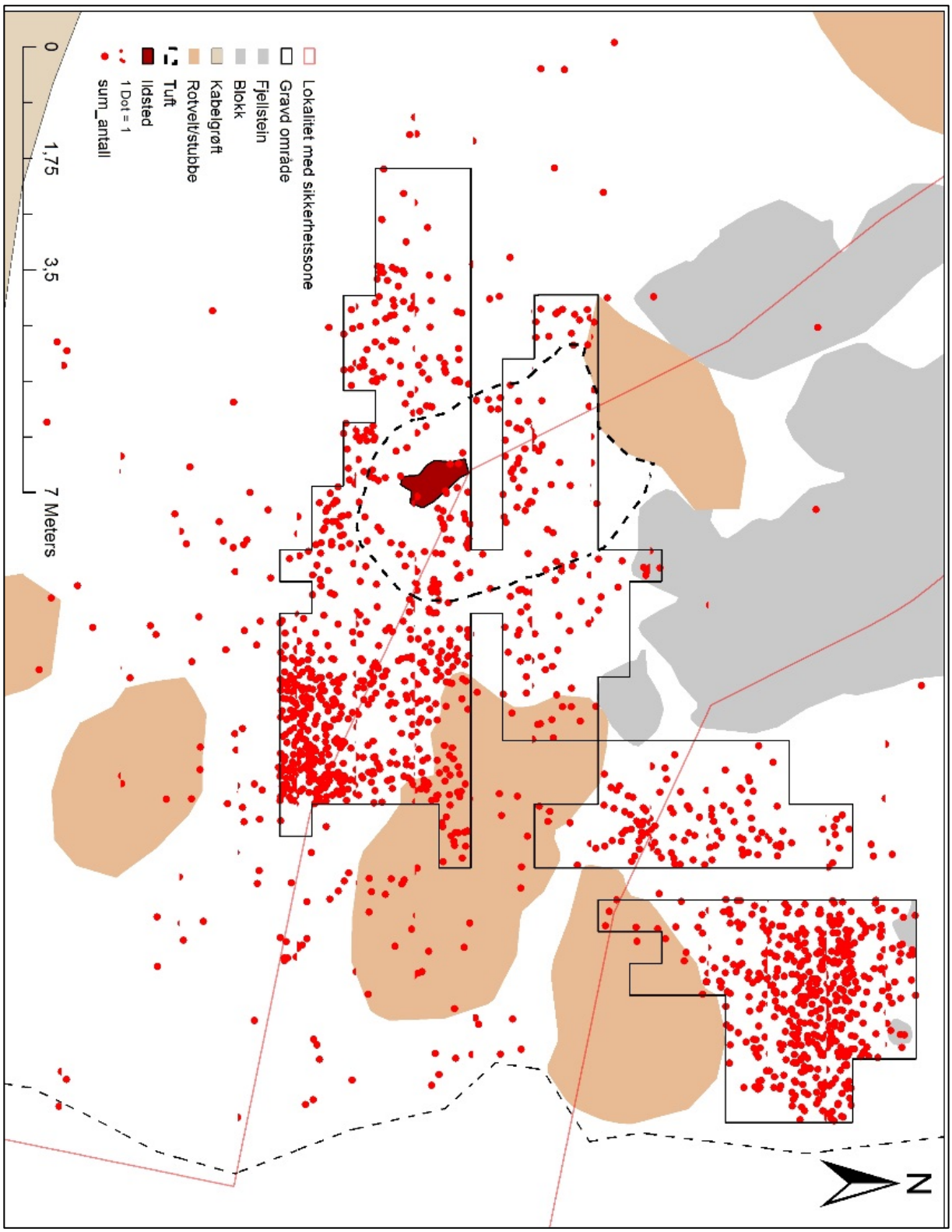

Gravd område
Lokalitet med sikkerhetssone
Avtorvet område
Fjellstein
Blokk
Kabelgrøft
Rotvelt/stubbe
Alle funn alle lag
1 Dot = 1
sum_antall
0
4
8
16 Meters
N

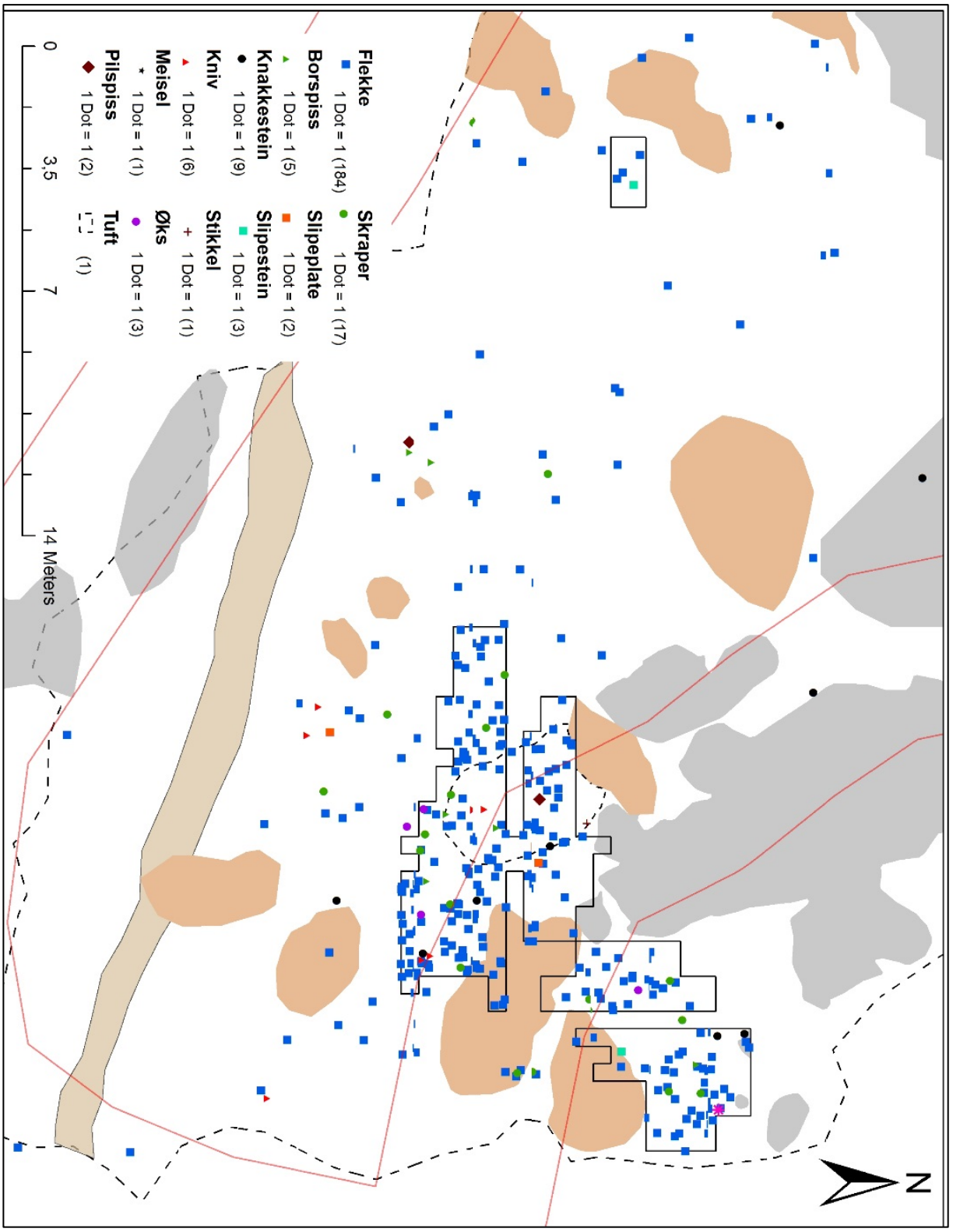

Profilbenk
Fjellstein
Blokk
Kabelgrøft
Rotvelt/stubbe
Gravd lag 1
sum_antall
1 - 8
9 - 18
19 - 29
30 - 39
41 - 51
52 - 69
71 - 117
140 - 195
Funntomme kvadranter
0
3,75
7,5
15 Meters
N


Lokalitet med sikkerhetssone
Gravd område
Fjellstein
Blokk
Kabelgrøft
Rotvelt/stubbe
Gravd lag 2
sum antall
0 - 6
7 - 13
14 - 19
20 - 25
26 - 29
31 - 36
37 - 43
45 - 51
0
3
6
12 Meters
N

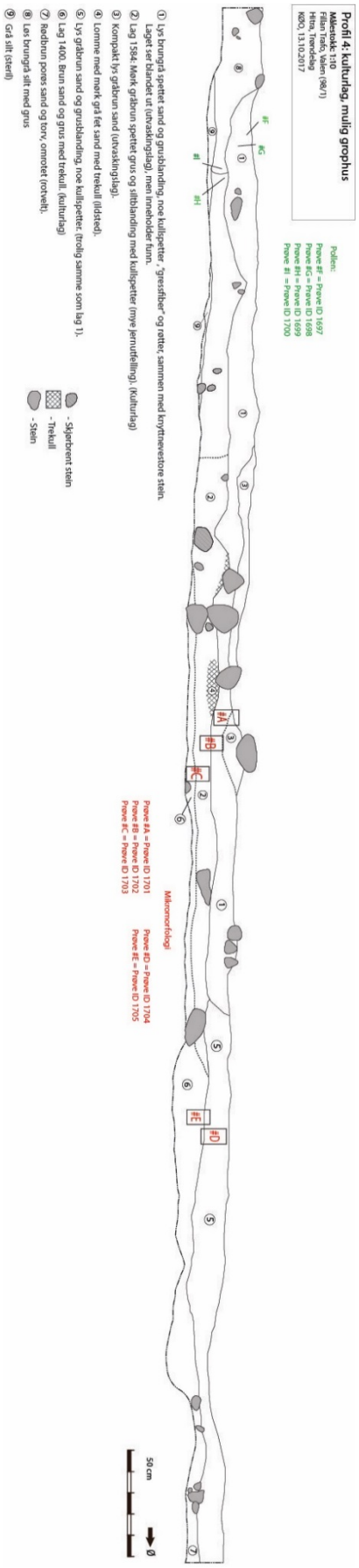

N
0
2
4
8 Meters
Gravd lag 2
sum antall
0 - 6
7 - 13
14 - 19
20 - 25
26 - 29
31 - 36
37 - 43
45 - 51
Tuft
Lokalitet med sikkerhetssone
Gravd område
Fjellstein
Blokk
Kabelgrøft
Rotvelt/stubbe

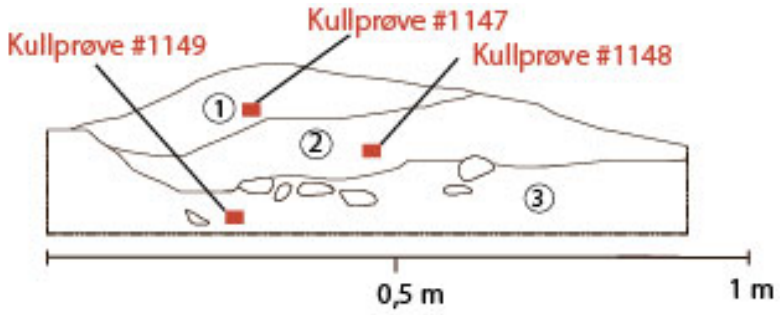

Lokalitet med sikkerhetssone
Gravd område
Avtorvet område
Tuft
Ildsted
1 Dot = 1
sum_antall
0
3,5
7
14 Meters
N


Lokalitet med sikkerhetssone
Gravd område
Fjellstein
Blokk
Kabelgrøft
Rotvelt/stubbe
Tuft
Ildsted
1 Dot = 1
sum_antall
0
1,75
3,5
7 Meters
N


Flekke
1 Dot = 1 (184)
Skraper
1 Dot = 1 (17)
Borspiss
1 Dot = 1 (5)
Slipeplate
1 Dot = 1 (2)
Knakkestein
1 Dot = 1 (9)
Slipestein
1 Dot = 1 (3)
Kniv
1 Dot = 1 (6)
Stikkel
1 Dot = 1 (1)
Meisel
1 Dot = 1 (1)
Øks
1 Dot = 1 (3)
Pilspiss
1 Dot = 1 (2)
Tuft
(1)
0
3,5
7
14 Meters
N

Vedlegg 6 Rentegninger



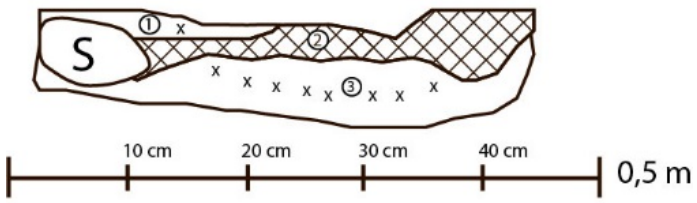


Voll (787)

Målestokk: 1:10
Fillan Trafo, Valen (98/1)
Hitra, Trøndelag
KØO, 04.10.2017

① Gråbrun finkornet sand, m. kullspetter med "gressfiber", utvaskingslag
② Brungrå grus m. hvite kalksteiner
③ Brun, fet organisk grus, m. "gressfiber"

Profil av ildsted (1534)
Målestokk: 1:10
Fillan Trafo, Valen (98/1)
Hitra, Trøndelag
ØWS, 12.10.17
Snittet NØ-SV



① Brun fet kullholdig silt
② Tykt fett kullag (svart)
③ Brun sandholdig og kullholdig silt
x Trekull

Vedlegg 7 Strukturliste

Intrasis ID	Overordnet kontekst	Subclass	Undersøkt	Kommentar
787	Ca 3 m vest for den mulige tufta	Voll	Delvis	Tolket som en naturlig voll, men kan ha hatt en funksjon som vind- og vannsperre. 2904 +14/-14 (YBA), 6630 +19/-18 (SM2) og 6921 +18/-18 (SM2) (fra 3 forskjellige lag, se kap. 4.2.1.)
1400	Lag rundt mulig tuft	Lag	I plan	Sjakt gjennom for uttak av prøver og tegning av profil. 6821 +21/-21, 6920 +23/-22 og 6949 +24/-24 (alle SM2)
1584	Lag inne i tuft	Lag	I plan + sjakt	Sjakt gjennom for uttak av prøver og tegning av profil. 6829 +27/-27 (SM2)
1534	I lag 1400	Ildsted	Delvis	Snittet, funn av flekkekniv. Innsendt datering: - 6433 +23/-23 (SM3) og -6873 +25/-25 (SM2)
1476	Over lag 1400	Lag	I plan	Flekk med sand og kull. Usikker funksjon. Datering til 6789 +18/-18 (SM2)
865	I mek lag 1	Kullflekk	Totalgravd	Avskrevet
1150	I mek lag 1	Kullflekk	Totalgravd	Avskrevet
1251		Mulig stolpehull	Totalgravd	Avskrevet
1262		Mulig stolpehull	Totalgravd	Avskrevet
1271		Mulig stolpehull	Totalgravd	Avskrevet

Vedlegg 8 Resultater fra mikromorfologianalyse (tabell)

Table 1: Fillan Trafo, Hitra, 2017/136, Norway: soil micromorphology samples and counts

Thin section	Rel. depth	Layer	MFT	SMT	Voids	Gravel	Stones	Fungal sclerotia	Woody root-trace?	Non-woody root-trace	Wood Plant-Res
1701	0-35 mm	L3	D1	3b,2b	35-55%	ffff	fff	a*		aaa	
1701	35-75 mm	L1	B2	2a,2b,3a	40-65%	ff	(f)	a*	a	aaa	
1702	0-20 mm	L1	C1	3a(2a,2b)	40%	ff				aaa	
1702	20-75 mm	L2	B1	2a,2b(1a)	65%	fff/ff	(f)	a*	?	aaa	aaa
1703	0-35/35-75 mm	L2/L6	A1	2a,2b,1a	40-50%(10%)	fff	(fff)		??	a*	?
1704	0-30	L5(L3??)	D1	3b(2a,2b)	25%	0/ff	0/f			aaa	
1704	30-75 mm	L5/L6	A1(B1)	2a,2b,1a(3a)	40%	fff/ffff	ff/fff			aaa/aa	
1705	0-75 mm	L5/L6	A1(B1)	2a,2b,1a	65%	fff		a*	?	aa	aaa

Table 1, cont.

Thin section	Rel. depth	Layer	Amorph. OM	Charcoal	Burnt mineral?	Matrix ZL infills	matrix pans	2ndary Fe	Sesquiox	Thin burrows	Broad burrows
1701	0-35 mm	L3	aaa	aa		aaaa	aaaa	aa		aa	
1701	35-75 mm	L1	aaaa	aaa(aaaa)	a*?			a*	aa	aa	aa
1702	0-20 mm	L1		a*	a*			a*	a	aaaa	a
1702	20-75 mm	L2	(aaaa)	a	aa				aaaa	aaaa	aa
1703	0-35/35-75 mm	L2/L6		a	?	(a*)	a		aaaa	aaaa	aa

1704	0-30	L5(L3??)						a*		a	
1704	30-75 mm	L5/L6	aa	a (aa)	(aa)		?	a*	aa	aaa	
1705	0-75 mm	L5/L6	aaa	(a)	a			a*	aaa	aaaa	aaaa
Table 1, cont.											
Thin	**Rel.**	**Layer**	**Very thin**	**Very thin**	**Thin**						
section	**depth**		**Org. excr.**	**O-M excr.**	**O-M excr.**						
1701	0-35 mm	L3	aaa	aaa							
1701	35-75 mm	L1	aaaa	aa	a						
1702	0-20 mm	L1	aaa	aa	a						
1702	20-75 mm	L2	aaaa	aaaaa	a						
1703	0-35/35-75 mm	L2/L6	aaa	aaaaa	a						
1704	0-30	L5(L3??)	a								
1704	30-75 mm	L5/L6	aaa	a	a						
1705	0-75 mm	L5/L6	aaaa	aaa	aa						

* - very few 0-5%, f - few 5-15%, ff - frequent 15-30%, fff - common 30-50%, ffff - dominant 50-70%, fffff - very dominant >70%;

a - rare <2% (a*1%; a-1, single occurrence), aa - occasional 2-5%, aaa - many 5-10%, aaaa - abundant 10-20%, aaaaa - very abundant >20%

Table 2: Fillan Trafo, Hitra, 2017/136, Norway: soil micromorphology descriptions and preliminary interpretations

Microfacies type (MFT)/Soil microfabric type (SMT)	**Sample No.**	**Depth (relative depth)** **Soil Micromorphology (SM)**	**Preliminary Interpretation and Comments**
		0-75 mm SM: ; *Microstructure*: ; *Coarse Mineral*: C:F ; *Organic and Anthropogenic*: ; *Fine Fabric*: ; *Pedofeatures*:	
MFT D1/SMT 3b, 2b	1701	0-75 mm 0-35 mm SM: mainly pale brown fine sandy silt loam (SMT 3b) amongst medium stones and gravel, channel fills of humic sands (SMT 2b) over thin layers of silt loam and silty clay at ~30-35 mm depth (SMT 3b; see textural pedofeatures); *Microstructure*: massive, channel, pellety with probable relict layering, 35-55% voids, channels and complex packing voids; *Coarse Mineral*: C:F of SMT 3b=75:25 and 20:80, moderately sorted coarse silt and fine sands, with layers of fine silty clay, with dominant gravel and sands, with large stone present (>30mm); *Organic and Anthropogenic*: many browned and blackened non-woody roots, sub-horizontal concentrations of many fine and coarse wood charcoal (max 7mm), and trace amounts of fungal sclerotia; *Fine Fabric*: SMT 3b: dusty pale greyish brown to pale brown (PPL), moderate interference	Layer 3 Mainly pale brown fine sandy silt loam amongst medium stones and gravel, channel fills of humic sands over thin layers of silt loam and silty clay at ~30-35 mm depth, and with dominant gravel and sands, with large stone present (>30mm). Many browned and blackened non-woody roots, sub-horizontal concentrations of many fine and coarse wood charcoal (max 7mm), and trace amounts of fungal sclerotia, were noted. The layer is characterised by abundant silty clay, silt loam thin beds, often micaceous and with very fine and fine detrital charcoal concentrations in places, occasional very weak iron staining of organic matter-associated fabric and some roots, occasional very thin burrows, many very thin organic and organo-mineral excrements associated with channels.

		colours (open to close porphyric, stipples speckled b-fabric, XPL), grey to pale greyish brown (OIL), variants of weakly humic stained to many very fine amorphous and charred organic matter in micaceous silty clays; *Pedofeatures*: *Textural*: abundant silty clay, silt loam thin beds, often micaceous and with very fine and fine detrital charcoal concentrations in places; *Amorphous*: occasional very weak iron staining of organic matter-associated fabric and some roots; *Fabric*: occasional very thin burrows; *Excrements*: many very thin organic and organo-mineral excrements associated with channels.	*Wetland-rooted remains of fine silty clay to fine sandy silt loam sediment layers. Intact layers include examples of concentrating (locally) detrital fine charcoal (possibly from fireplace deposits). (cf. Goldcliff Mesolithic inundation site). Upwards presumably layered silty clays and silts-fine sands were moderately mixed by wetland plant rooting. Minor modern humic soil-filled channels occur. Origin of large stone is unknown.*
MFT B2/SMT 2a, 2b, 3a		35-75 mm SM: Heterogeneous with brown humic to organic sands and silts (SMT 2a, 2b), frequent weakly humic silts and fine sands and associated silty clay (SMT 3a); *Microstructure*: channel massive and pellety, 40-65% voids, complex packing voids, with channels, chambers; *Coarse Mineral*: C:F as 2a, 2b and 3a, frequent gravel and small stones (max 14mm); *Organic and Anthropogenic*: trace of fungal sclerotia, areas of abundant fine and coarse wood charcoal (max >7mm), example of probable conifer woody root (probably weakly iron stained – max 4mm), occasional non-woody roots, showing humification, and possible trace of burnt rock, with areas of abundant pellety amorphous	Layer 1 Heterogeneous with brown humic to organic sands and silts, frequent weakly humic silts and fine sands and associated silty clay. There are frequent gravel and small stones (max 14mm), trace of fungal sclerotia, areas of abundant fine and coarse wood charcoal (max >7mm), example of probable conifer woody root (probably weakly iron stained – max 4mm), occasional non-woody roots, showing humification, and possible trace of burnt rock, with areas of abundant pellety amorphous organic matter. A trace of iron impregnations of roots and silt loam, with many organo-sesquioxidic features (see below), occasional

		organic matter; *Fine Fabric*: as SMT 2a, 2b and 3a; *Pedofeatures*: *Amorphous*: trace of iron impregnations of roots and silt loam, with many organo-sesquioxidic features (see below); *Fabric*: occasional thin and broad burrows; *Excrements*: abundant very thin organic excrements, occasional very thin and rare thin organo-mineral excrements.	thin and broad burrows, abundant very thin organic excrements, occasional very thin and rare thin organo-mineral excrements. *Very mixed soil and hut layers with a concentration of fine and coarse charcoal characterising the anthropogenic activity (spread from the supposed fireplace; Karen Ørbog Oftedal, NTNU, pers. comm.). This material has probably encouraged recent tree rooting and humic soil mixing.*
MFT C1/SMT 3a (2a,2b)	1702	0-75 mm 0-20 mm SM: Heterogeneous with dominant mixed brown weakly humic silts and fine sands and associated silty clay (SMT 3a), with few mixed brown humic sands and silts (SMT 2a, 2b); *Microstructure*: weakly massive, with pellety and channel, 40% voids, complex packing voids, channels and chambers; *Coarse Mineral*: C:F of SMT 3a=0:100 with much more dominant mixed 60:40, as SMT 2a, with frequent gravel (max 8mm); *Organic and Anthropogenic*: trace of fine charcoal (<0.5mm), many non-woody roots, often browned and blackened, with possible rare burnt sand; *Fine Fabric*: SMT 3a: brown (PPL), isotropic to extremely low interference colours (porphyric, undifferentiated to stipple speckled b-fabric, XPL), yellow brown to grey (OIL), very weakly humic or mixed weakly humic stained with included abundant very fine	Layer 1 Heterogeneous with dominant mixed brown weakly humic silts and fine sands and associated silty clay, with few mixed brown humic sands and silts, with frequent gravel (max 8mm). A trace of fine charcoal (<0.5mm), many non-woody roots, often browned and blackened, with possible rare burnt sand, a trace of iron impregnations of roots and silt loam, with rare sesquioxidic features (see below), abundant thin and rare broad burrows, and many very thin organic excrements, occasional very thin and rare thin organo-mineral excrements, were recorded. *There has been biomixing between Layers 1 and 2, but the main change upwards is the presence of finer non-sesquioxidic fine silt loam soil, which also has traits of being iron-depleted. The layer includes only a trace of fine charcoal. Non-woody rooting (now*

		amorphous organic matter fragments; *Pedofeatures*: *Amorphous*: trace of iron impregnations of roots and silt loam, with rare sesquioxidic features (see below); *Fabric*: abundant thin and rare broad burrows; *Excrements*: many very thin organic excrements, occasional very thin and rare thin organo-mineral excrements.	*partially humified – browned and blackened) suggestes that the site became wetter due to this silt loam layer formation (deposition?).*
MFT B1/SMT 2a, 2b (1a)		20-75 mm SM: Heterogeneous with very dominant very dark brown humic sands and gravels (2a and 2b), with few brown silt loam mainly as clasts (SMT 1a) at 20-75 mm (Layer 2); *Microstructure*: fragmented massive, pellety and fine blocky, open 65% voids, complex packing voids, channels and chambers; *Coarse Mineral*: C:F as SMT 1a, 2a and 2b, frequent gravel becoming common upwards – example of 15mm-size small stone; *Organic and Anthropogenic*: possible occasional burnt gravel (weakly calcined and with traces of rubefication?), rare fine charcoal (e.g., conifer?), trace amounts of fungal sclerotia, areas of very abundant amorphous organic matter (humified woody material? – some 5mm across) with traces of tissue content and occasional very fine roots (0.25mm), with occasional/many possible woody remains – e.g. 2mm thick across the whole thin section (woody roots??) and associated with a 'layer' of rare fine charcoal (max 1.5mm); many later partially	Layer 2 Heterogeneous with very dominant very dark brown humic sands and gravels, with few brown silt loam mainly as clasts at 20-75 mm (Layer 2) and frequent gravel becoming common upwards – example of 15mm-size small stone. There are possible occasional burnt gravel (weakly calcined and with traces of rubefication?), rare fine charcoal (e.g., conifer?), trace amounts of fungal sclerotia, areas of very abundant amorphous organic matter (humified woody material? – some 5mm across) with traces of tissue content and occasional very fine roots (0.25mm), with occasional/many possible woody remains – e.g. 2mm thick across the whole thin section (woody roots??) and associated with a 'layer' of rare fine charcoal (max 1.5mm); many later partially humified non-woody fine (1.00-1.5mm) roots. Abundant polymorphic (pellety) with trace of monomorphic organo-sesquioxides, abundant thin and occasional

		humified non-woody fine (1.00-1.5mm) roots; *Fine Fabric*: as SMT 1a, 2a and 2b; *Pedofeatures*: *Amorphous*: abundant polymorphic (pellety) with trace of monomorphic organo-sesquioxides; *Fabric*: abundant thin and occasional broad burrows; *Excrements*: very abundant very thin (now-mineralised) organic, very abundant very thin and rare thin organo-mineral excrements.	broad burrows, and very abundant very thin (now-mineralised) organic, very abundant very thin and rare thin organo-mineral excrements. *The massive and fine pellety soil structure and sesquioxidic subsoil formation (Bhs horizon) is due to post-depositional podzol formation. This layer includes a small concentration of charcoal and may also contain burnt sand and gravel of anthropogenic origin. Moreover, patches of amorphous and partially humified plant remains – some possibly woody – occur, including a possible discontinuous layer with a scatter of rare wood charcoal above it. It is possible that the organic remains are relict of a hut's constructional material, including a possible floor. (Sunken feature huts elsewhere – British Columbia – can have similar features of collapse and bioworking). Lastly, non-woody rooting affected the soil and possibly the organic remains, and this may record the onset of poor drainage.*
MFT A1/SMT 2a, 2b, 1a	1703	0-75 mm SM: moderately heterogeneous brown sands and gravels (SMT 1a) with very few dark brown (SMT 2a) silty sands and gravels at 35-75 mm depth (Layer 6), becoming more strongly heterogeneous upwards (0-35 mm depth; Layer 2), with common dark brown fine material; *Microstructure*: fragmented massive, with pellety, and fine blocky (Layer 6) and with	Layer 2/Layer 6 Moderately heterogeneous brown sands and gravels with very few dark brown silty sands and gravels at 35-75 mm depth (Layer 6), becoming more strongly heterogeneous upwards (0-35 mm depth; Layer 2), with common dark brown fine material. Layers are poorly sorted to unsorted, with clasts of fine sandy silt loam (with embedded grains), silts,

		subhorizontal fissuring in Layer 2, 50% voids (10% intra-ped voids) becoming 40% voids upwards, complex packing voids, channels and fissures; *Coarse Mineral*: C:F (Coarse:Fine limit at ~10μm), 1a=80:20, 2a,2b=85:15, poorly sorted to unsorted, with clasts of fine sandy silt loam (with embedded grains), silts, fine to very coarse sand, common gravel (max 8mm) with possible small stone concentration at 20-40mm depth (Layer 2/Layer 6 boundary?), quartz, feldspar, feldspar-rich igneous rocks, metamorphic rock fragments, micas, magnetite present; *Organic and Anthropogenic*: rare wood charcoal (max 3mm) in channels, many channel-associated partially humified, weakly sesquioxide-stained, probable woody root residues (possible wood??) and trace of non-woody stained root residues; *Fine Fabric*: SMT 1a: brown (PPL), very low to low interference colours (porphyric and microaggregated, stipple speckled b-fabric, XPL), dull yellowish brown (OIL), minerogenic; SMT 2a-2b: darkish brown to very dark brown (PPL), very to extremely low interference colours (open porphyric and microaggregated, stipple speckled b-fabric, XPL), dark brown to very dark brown (OIL), probably weakly humic and sesquioxidic stained, trace of very fine charcoal humic with very abundant very fine amorphous organic matter, with many very fine charcoal and rare plant	fine to very coarse sand, common gravel (max 8mm) with possible small stone concentration at 20-40mm depth (Layer 2/Layer 6 boundary ?). Rare wood charcoal (max 3mm) in channels, many channel-associated partially humified, weakly sesquioxide-stained, woody residues (possible wood/root??) and trace of non-woody stained root residues, occur. There is a rare trace of matrix and dusty clay void infills in fine sandy silt loam and rare humic matrix loamy panning, abundant polymorphic (pellety) with minor monomorphic organo-sesquioxides, abundant thin and occasional broad burrows, and many very thin (now-mineralised) organic, very abundant very thin and rare thin organo-mineral excrements. *Soil layers have been very strongly affected by post-depositional biological and pedological processes. The chief effects are through woody rooting and podzolisation. Layers 2 and 4 are acting as subsoil Bh and Bhs horizons, with woody root residues also being affected by illuvial sesquioxide staining. Some tangential rooting may be picking out cool climate (winter?) ice lensing or other layering(??). Rare subsoil clasts, which are unaffected by podzolisation, show compact fine sandy silt loam character with matrix infills for example, of probable late glacial origin (paleosols). Human activity is recorded by rare wood*

		tissues; *Pedofeatures*: *Textural*: rare trace of matrix and dusty clay void infills in fine sandy silt loam and rare humic matrix loamy panning; *Amorphous*: abundant polymorphic (pellety) with minor monomorphic organo-sesquioxides; *Fabric*: abundant thin and occasional broad burrows; *Excrements*: many very thin (now-mineralised) organic, very abundant very thin and rare thin organo-mineral excrements.	*charcoal bioworked down-profile along rooting channels.*
MFT D1/SMT 3b (2a,2b)

		more frequent upwards (SMT 3a), and includes small patch of humic soil associated with possible burnt rock fragments and charcoal (65-75mm); *Microstructure*: massive, channel and pellety, 45% voids, mainly channels with complex packing voids and chambers; *Coarse Mineral*: C:F as 2a, 2b and 3a, dominant gravel and stones (max >25mm) at the base, becoming common gravel with small stones (max >15mm), upwards; *Organic and Anthropogenic*: occasional to many non-woody roots (upwards), with rare fine wood charcoal throughout but with occasional charcoal and small concentration of likely burnt rock fragments at 65-75 mm depth, and with occasional pellety amorphous organic matter; *Fine Fabric*: as SMT 2a, 2b and 3a; *Pedofeatures*: *Amorphous*: trace of iron impregnations of roots and silt loam, with occasional organo-sesquioxidic features; *Fabric*: many thin burrows; *Excrements*: many very thin organic excrements, rare very thin and thin organo-mineral excrements.	and includes small patch of humic soil associated with possible burnt rock fragments and charcoal (65-75mm). Dominant gravel and stones (max >25mm) occur at the base, becoming common gravel with small stones (max >15mm), upwards. There are occasional to many non-woody roots (upwards), with rare fine wood charcoal throughout but with occasional charcoal and small concentration of likely burnt rock fragments at 65-75 mm depth, and with occasional pellety amorphous organic matter, with a trace of iron impregnations of roots and silt loam, with occasional organo-sesquioxidic features, many thin burrows, and many very thin organic excrements, rare very thin and thin organo-mineral excrements. *These levels are characterised by small amounts of occupation material (charcoal and burnt rock fragments), which have been diluted by natural soil fills and affected both by overlying inundation sediments (Layer 3-like material in Layer 5) – non-woody rooting – and more recent podzolisation.*
	1705	0-75 mm SM: Diffusely heterogeneous with fragmented brown sands and gravels (SMT 1a) and dark brown and very dark (SMT 2a and SMT 2b) moderately to strongly humic silty sands and gravels, and dark brown patches of amorphous	Layer 5/Layer 6 Diffusely heterogeneous with fragmented brown sands and gravels and dark brown and very dark moderately to strongly humic silty sands and gravels, and dark brown patches of amorphous organic matter and humified plant

		organic matter and humified plant remains especially concentrated at 10-30mm and 65 mm depths; *Microstructure*: fragmented massive with poorly formed blocky and prisms, 65% voids, simple, complex packing voids, with channels and chambers; *Coarse Mineral*: C:F, as SMT 1a, 2a and 2b, with common gravel (max 8mm); *Organic and Anthropogenic*: occasional browned and blackened non-woody roots, trace of fungal sclerotia. possible rare fire cracked rocks (max 7mm), with rare coarse wood charcoal at 0-10 mm (10mm), with many scattered humified and sometimes iron-stained stained amorphous organic matter and (woody?) plant remains, often strongly fragmented into very thin organic excrements; *Fine Fabric*: as SMT 1a, 2a and 2b; *Pedofeatures*: *Amorphous*: trace of iron impregnation of plant material and roots, with many weakly formed organo-sesquioxides – polymorphoic fabrics; *Fabric*: abundant thin and broad burrows; *Excrements*: abundant very thin organic and many very thin and occasional thin organo-mineral excrements.	remains especially concentrated at 10-30mm and 65 mm depths. In the layers are common gravel (max 8mm), occasional browned and blackened non-woody roots, trace of fungal sclerotia. possible rare fire cracked rocks (max 7mm), with rare coarse wood charcoal at 0-10 mm (10mm), with many scattered humified and sometimes iron-stained stained amorphous organic matter and (woody?) plant remains, often strongly fragmented into very thin organic excrements. A trace of iron impregnation of plant material and roots, with many weakly formed organo-sesquioxides – polymorphoic fabrics, abundant thin and broad burrows, and abundant very thin organic and many very thin and occasional thin organo-mineral excrements, occur. *Strongly fragmented Layers 5 and 6, with possible concentrations of amorphous organic matter /possible constructional wood (other plant?) remains of the hut. These materials have been partially worked by rooting and acidophyle invertebrate mesofauna associated with likely recent podzolisation. An example of coarse charcoal of likely anthropogenic origin occurs alongside possibly calcined/burnt rock material.*

NTNU Vitenskapsmuseet er en enhet ved Norges teknisk-naturvitenskapelige universitet, NTNU.

NTNU Vitenskapsmuseet skal utvikle og formidle kunnskap om natur, kultur og vitenskap. Museet skal sikre og forvalte de vitenskapelige samlingene og aktivisere dem gjennom forskning, formidling og undervisning.

Seksjon for arkeologi og kulturhistorie har forvaltningsansvar for automatisk fredete kulturminner og skipsfunn i Nordmøre, Sør-Trøndelag, Nord-Trøndelag, nordlige Romsdal og Nordland til og med Rana. Seksjonen foretar arkeologiske undersøkelser på kulturminner over og under vann, i henhold til kulturminneloven.

ISBN 978-82-8322-181-7

ISSN 2387-3965

© NTNU Vitenskapsmuseet
Publikasjonen kan siteres fritt med kildeangivelse

www.ntnu.no/vitenskapsmuseet

NTNU
Vitenskapsmuseet